

SCHEMAS ELECTRONIQUE

J. MORNAND



Dunod

LA BIBLIOTHÈQUE DU TECHNICIEN

Jean MORNAND

Technologie d'électronique

Tome 1 — (*Première F₂*)

Tome 2 — (*Terminale F₂*)

Électronique analogique — Exercices et problèmes corrigés (*BTS, DUT*).

Collection HÉBERT

Électricité — Électronique (*classes de Premières F*)

Électronique (*classe Terminale F₂*)

Machines électriques — Électronique de puissance (*classes Terminales F₁, F₃*)

Serge CŒURDACIER

Électricité (*classes de Premières et Terminales F*)

Électronique

- 1 — Les composants discrets non linéaires
- 2 — Amplification basses fréquences, commutation
- 3 — Amplification hautes fréquences, réaction

Arsène PEREZ-MAS — Jean-Michel FOUCHET

Électronique pratique (*Formation continue*)

Pierre CABANIS

Électronique digitale (*Formation continue*)

ESCHEMAS D'ÉLECTRONIQUE

Jean MORNAND

Ingénieur des Arts et Métiers
Professeur de technologie à l'IUT d'Angers

Classe terminale F₂
Classes de techniciens supérieurs
Instituts universitaires de technologie
Formation continue

Dunod

TABLE DES MATIÈRES

GÉNÉRALITÉS

| | |
|---|----|
| Référence des normes | 1 |
| Écritures | 2 |
| Symboles de l'électrotechnique | 3 |
| Symboles des grandeurs | 4 |
| Notations | 5 |
| Transistors | 6 |
| Notations | 7 |
| Symboles graphiques | 8 |
| Dessins et schémas | 12 |
| Schémas développés. Nomenclatures | 14 |

A REDRESSEMENT DE PETITE PUISSANCE

| | |
|--|----|
| A 1 Redressement d'une alternance | 17 |
| A 2 Redressement de deux alternances | 19 |
| A 3 Filtrage. Doubleurs de tension | 21 |
| A 4 - A 6 Stabilisation de tension | 23 |
| A 7 Applications | 29 |

B AMPLIFICATION A.F.

| | |
|---|----|
| B 1 Transistor en EC | 31 |
| B 2 Les trois montages du transistor | 33 |
| B 3 Transistor amplificateur | 35 |
| B 4 Polarisation et stabilisation des transistors | 37 |
| B 5 Amplification à courant continu | 39 |
| B 6 Montage Darlington | 41 |
| B 7 Amplification classes A et A' | 43 |
| B 8 Déphaseurs | 45 |
| B 9 - B 10 Etages symétriques | 47 |
| B 11 - B 12 Amplification à large bande | 51 |

C RÉACTION NÉGATIVE

| | |
|---------------------------------|----|
| C 1 Principe | 55 |
| C 2 Réaction en tension | 57 |
| C 3 Réaction en intensité | 59 |
| C 4 Applications | 61 |

D CIRCUITS INTÉGRÉS

| | |
|---|----|
| D 1 - D 2 Constitution interne | 63 |
| D 3 - D 4 Amplificateur opérationnel | 67 |
| D 5 Compensation en fréquence | 71 |
| D 6 Règles d'utilisation | 73 |
| D 7 - D 11 Amplificateur opérationnel | 75 |
| D 12 - D 13 Applications | 87 |

E APPAREILS AMPLIFICATEURS

| | |
|---|-----|
| E 1 Radio-récepteurs et électrophones | 91 |
| E 2 Électrophones | 93 |
| E 3 Microphones | 95 |
| E 4 Tubes et cellules photo-électriques | 97 |
| E 5 Magnétophones | 99 |
| E 6 Haut-parleurs | 101 |
| E 7 Réverbération-stéréophonie | 103 |
| E 8 Haut-parleurs combinés | 105 |
| E 9 Mélangeurs, contrôle de puissance | 107 |
| E 10 - E 11 Circuits correcteurs | 109 |
| E 12 Contrôle de tonalité | 113 |
| E 13 - E 14 Applications | 115 |

F SIGNAUX RECTANGULAIRES

| | |
|---|-----|
| F 1 Différenciation - Intégration | 119 |
| F 2 Ecrétage | 121 |
| F 3 - F 5 Bascule astable | 123 |
| F 6 Bascule monostable | 129 |
| F 7 Bascules bistables | 131 |
| F 8 Bascules à hystérésis | 133 |
| F 9 Applications | 135 |

G SIGNAUX EN DENTS DE SCIE

| | |
|---|-----|
| G 1 Intégrateurs | 137 |
| G 2 Intégrateur Miller | 139 |
| G 3 Relaxateurs | 141 |
| G 4 Circuits de charge et de décharge | 143 |
| G 5 Générateurs de rampe de courant | 145 |
| G 6 Applications | 147 |

H OSCILLOGRAPHE

| | |
|--|-----|
| H 1 Généralités | 149 |
| H 2 Tube cathodique et réglages | 151 |
| H 3 Alimentations | 153 |
| H 4 - H 5 Bases de temps | 155 |
| H 6 - H 7 Amplificateur de déviation verticale | 159 |
| H 8 Synchronisation - Marquage | 163 |
| H 9 Commutateur électronique | 165 |
| H 10 Dispositifs annexes | 167 |
| H 11 Applications | 169 |

J SIGNAUX SINUSOÏDAUX

| | |
|---|-----|
| J 1 Oscillateurs RC à déphasage | 171 |
| J 2 Oscillateurs RC à filtre | 173 |
| J 3 Oscillateurs RC à pont de Wien | 175 |
| J 4 - J 6 Oscillateurs LC à transistors | 177 |
| J 7 - J 8 Oscillateurs à quartz | 183 |
| J 9 Oscillateurs hyperfréquences | 187 |
| J 11 Applications | 189 |

K ÉMISSION - RÉCEPTION

| | |
|---|-----|
| K 1 Multiplicateurs - Amplificateurs RF | 191 |
| K 2 Modulation d'amplitude | 193 |
| K 3 Modulation de fréquence | 195 |
| K 4 - K 6 Changement de fréquence | 197 |
| K 7 Circuits d'entrée | 203 |
| K 8 Fréquence intermédiaire | 205 |
| K 9 Détection | 207 |
| K 10 Discrimination | 209 |
| K 11 - K 12 Applications | 211 |

L CONVERTISSEURS

| | |
|--------------------------------------|-----|
| L 1 Généralités | 215 |
| L 2 Numérique - analogique | 217 |
| L 3 - L 4 Analogique-numérique | 219 |
| L 5 Caractéristiques | 223 |

| | |
|-------------------|-----|
| COMPLÉMENTS | 224 |
|-------------------|-----|

GÉNÉRALITÉS

RÉFÉRENCE DES NORMES

1

| | | |
|---|--------------|---|
| 1962 | SITELESC 323 | Symboles littéraux pour tubes électroniques. |
| 1969 | CEI 148 | Symboles littéraux pour dispositifs à semi-conducteurs (<i>pas de norme française</i>). |
| 1983 | NF X 02-003 | Principes de l'écriture des nombres, des unités, des grandeurs. |
| 1974 | 004 | Noms et symboles des unités de mesure. |
| 1983 | 006 | Le système international d'unités. Description et règles d'emploi. |
| 1963 | 010 | Sous-multiples décimaux du degré (unités d'angle). |
| 1967 | 050 | Principales unités de mesure américaines et anglaises. |
| 1981 | 101 | Symboles algébriques, géométriques et vectoriels. |
| 1981 | 103 | Symboles de la mécanique rationnelle. |
| 1982 | 109 | Symboles du calcul symbolique. Transformation de Laplace. |
| 1982 | 110 | Symboles du calcul matriciel. |
| 1972 | 111 | Symboles de l'algèbre tensoriel. |
| 1979 | 114 | Symboles et vocabulaire du calcul ensembliste. |
| 1979 | 119 | Symboles et vocabulaire relatifs au calcul booléen. |
| 1983 | 202 | Grandeurs, unités et symboles des phénomènes périodiques. |
| 1983 | 205 | Grandeurs, unités et symboles d'électricité et de magnétisme. |
| 1983 | 206 | Grandeurs, unités, symboles : rayonnements électromagnétique et optique. |
| 1983 | 207 | Grandeurs, unités et symboles d'acoustique. |
| 1972 | 06-006 | Symboles de la statistique, du calcul des probabilités. |
| 1967 | NF C 03-000 | Symbole littéraux utilisés en électricité. |
| SCHEMAS DES INSTALLATIONS ELECTRIQUES | | |
| 1973 | NF C 03-151 | Schémas, diagrammes, tableaux : définitions et classification. |
| 1973 | 152 | Repérage d'identification des éléments. |
| 1975 | 153 | Recommandations générales pour l'établissement des schémas. |
| 1976 | 154 | Recommandations générales pour l'établissement des schémas des circuits. |
| 1976 | 155 | Établissement des schémas et tableaux des connexions extérieures. |
| 1980 | 156 | Établissement des schémas et tableaux des connexions intérieures. |
| 1982 | 190 | GRAF CET. Description des systèmes logiques de commande. |
| SYMBOLES GRAPHIQUES POUR SCHEMAS ELECTRIQUES | | |
| 1970 | NF C 03-108 | Opérateurs logiques binaires. |
| 1984 | NF C 03-201 | Généralités, index général. Tables de correspondance. |
| 1984 | 202 | Éléments de symboles, symboles d'application générale. |
| 1984 | 203 | Conducteurs et dispositifs de connexion. |
| 1984 | 204 | Composants passifs. |
| 1984 | 205 | Semiconducteurs et tubes électroniques. |
| 1984 | 206 | Production, transformation et conversion de l'énergie électrique. |
| 1984 | 207 | Appareillage et dispositifs de commande et de protection. |
| 1984 | 208 | Appareils de mesure, lampes et dispositifs de signalisation. |
| 1984 | 209 | Télécommunications : commutation et équipements périphériques. |
| 1984 | 210 | Télécommunications : transmission. |
| 1984 | 211 | Schémas et plans d'installation, architecturaux et topographiques. |
| 1984 | 212 | Opérateurs logiques binaires. |
| 1984 | 213 | Opérateurs analogiques. |

| MULTIPLES, SOUS-MULTIPLES | | | ALPHABET GREC | | | | | |
|---------------------------|-------|-------|---------------|------------|---------|------------|------------|---------|
| 10 ¹² | téra | T | A | α | alpha | N | ν | nu |
| 10 ⁹ | giga | G | B | β | bêta | Ξ | ξ | ksi |
| 10 ⁶ | méga | M | Γ | γ | gamma | Π | π | pi |
| 10 ³ | kilo | k | Δ | δ | delta | P | ρ | rhô |
| 10 ² | hecto | h | E | ϵ | epsilon | Σ | σ | sigma |
| 10 | déca | da | Z | ζ | dzêta | T | τ | tau |
| 1 | — | — | H | η | êta | Υ | υ | upsilon |
| 10 ⁻¹ | déci | d | Θ | θ | thêta | Φ | φ | phi |
| 10 ⁻² | centi | c | K | κ | kappa | X | χ | khi |
| 10 ⁻³ | milli | m | Λ | λ | lambda | Ψ | ψ | psi |
| 10 ⁻⁶ | micro | μ | M | μ | mu | Ω | ω | oméga |
| 10 ⁻⁹ | nano | n | | | | | | |
| 10 ⁻¹² | pico | p | | | | | | |

| ÉCRITURE DES NOMBRES ET UNITÉS | Exemples : |
|--|--|
| Séparation des nombres en tranches : | 50 363,018 6 0,000 48 |
| Multiplication des nombres : | 228 × 5 |
| Multiplication littérale : | ab ou $a.b$ $a(b+c)$ |
| Division : | $\frac{17}{8}$ ou 17/8 ou 17 : 8 $\frac{a}{b}$ ou a/b ou $a : b$ |
| Expressions mixtes : | $2ab$ $3(b+c)$ |
| (Dans les cas compliqués on fera usage des puissances négatives) | $\frac{ab}{c} = ab/c = abc^{-1}$ $\frac{a/b}{c} = (a/b)/c = ab^{-1}c^{-1}$ |
| | $(a+b)/(c+d) = \frac{a+b}{c+d}$ $a + \frac{b}{c} + d = a + b/c + d$ |
| Expressions trigonométriques : | $\frac{\sin x}{3} = (\sin x) : 3 = (\sin x)/3$ |
| Expressions logarithmiques : | $10 \lg x = 10 \log_{10} x$ $\ln x = \log_e x$ |
| Unités : rapport d'unités | $\frac{m}{s}$ ou m/s ou $m s^{-1}$ |
| unités dérivant d'un nom propre | singulier : 1 watt ou 1 W |
| | pluriel : 10 watts ou 10 W |
| degrés, minutes, secondes | températures : 2,5 °C 12 K |
| | angles : 1° 2' 10" |
| | temps : 1 h 25 mn 10 s |
| Incertitude sur une grande A : absolue | $\pm \Delta A$ ou $A \pm \Delta A$ près |
| relative | $\frac{\Delta A}{A}$ ou $A \pm \frac{1}{5}$ près ou $A \pm 20\%$ près |

GÉNÉRALITÉS

SYMBOLES DE L'ÉLECTROTECHNIQUE

| GRANDEURS | | UNITÉS | | GRANDEURS | | UNITÉS | |
|------------------------|------------------|----------------------------|-------------------|------------------------|-------------|---------------------|-------------------|
| Quantité d'électricité | Q | coulomb | C | Courant | I | ampère | A |
| Champ électrique | E | volt par mètre | V/m | Densité de courant | J | ampère/mètre carré | A/m ² |
| Potentiel | V | volt | V | Champ magnétique | H | ampère/mètre | A/m |
| Tension, d.d.p. | $U (V)$ | volt | V | Induction magnétique | B | tesla | T |
| Force électromotrice | E | volt | V | Flux magnétique | Φ | weber | Wb |
| Permittivité absolue | ϵ | farad par mètre | F/m | Perméabilité absolue | μ | henry par mètre | H/m |
| — relative | ϵ_r | sans dimension | | — relative | μ_r | sans dimension | — |
| — du vide | ϵ_0 | farad par mètre | F/m | — du vide | μ_0 | henry par mètre | H/m |
| Capacité | C | farad | F | Inductance propre | L | henry | H |
| Résistance | R | ohm | Ω | — mutuelle | M | henry | H |
| Résistivité | ρ | ohm-mètre | Ωm | Réactance | X | ou R , ou R_m | H ⁻¹ |
| Conductance | G | $G = 1/R$ siemens | S | Perméance | A | $A = 1/R_m$ | H |
| Conductivité | γ, σ | $\gamma = 1/\rho$ | S/m | Facteur de qualité | Q | sans dimension | — |
| Réactance | X | ohm | Ω | Angle de pertes | S | radian | rd |
| Impédance | Z | $Z = R + jX$ | Ω | Déphasage | φ | radian | rd |
| Susceptance | B | $B = 1/X$ siemens | S | Facteur de couplage | k | sans dimension | — |
| Admittance | Y | $Y = 1/Z$ siemens | S | — de dispersion | σ | $\sigma = 1 - k^2$ | — |
| Longueur d'onde | λ | mètre | m | Nombre de spires | N | sans dimension | — |
| Temps | t | seconde | s | Nombre de phases | m | sans dimension | — |
| Période | T | seconde | s | Force | F | newton | N |
| Constante de temps | ρ | seconde | s | Travail | W | joule | J |
| Fréquence | $f (v)$ | hertz | Hz | Energie | W | joule | J |
| Pulsation | ω | radian/seconde | rd/s | Puissance active | P | watt | W |
| Fréquence de rotation | n | tour/minute | tr/mn | — réactive | Q | volt ampère réactif | VAR |
| Vitesse de propagation | C | mètre/seconde | m/s | — apparente | S | voltampère | VA |
| Constante : | | | | Rendement | ν | sans dimension | % |
| de propagation | γ | $\gamma = \alpha + j\beta$ | — | Température thermodyn. | T | degré Kelvin | K |
| de phase | β | — | — | — usuelle | $t(\theta)$ | degré Celsius | °C |
| d'affaiblissement | α | — | — | Coefficient de t | α | sans dimension | deg ⁻¹ |
| Intensité lumineuse | I | candéla | cd | Quantité de chaleur | Q | joule | J |
| Luminance | L | candéla/m ² | cd/m ² | Chaleur massique | c | joule/kg. degré | J/kg. deg |
| Flux lumineux | Φ | lumen | lm | | | | |
| Eclairement | E | lux | lx | | | | |
| Quantité de lumière | Q | lumen-seconde | lm.s | | | | |
| Exitance lumineuse | M | lumen/m ² | lm/m ² | | | | |

GRANDEURS VARIABLES DANS LE TEMPS

| | Cas 1 | Cas 2 A | Cas 2 B |
|----------------------|--|--------------------------|--------------------------|
| Valeur instantanée | x | X | x |
| Valeur efficace | X | X_{eff} | x_{eff} |
| Valeur de crête | \hat{x}, \hat{X} x_m, X_m | $\bar{\hat{X}}$ X_m | \bar{x} x_m |
| Valeur moyenne | \bar{x}, \bar{X} x_{av}, X_{av} | \bar{X} X_{av} | \bar{x} x_{av} |
| Valeur minimale | \check{x}, \check{X} x_{min}, X_{min} | \check{X} X_{min} | \check{x} x_{min} |
| Valeur crête à creux | $(\hat{x} - \check{x})$ $(\hat{X} - \check{X})$ | $(X_m - X_{min})$ | $(x_m - x_{min})$ |

Cas 1: s'applique quand les lettres majuscules ou minuscules sont disponibles.

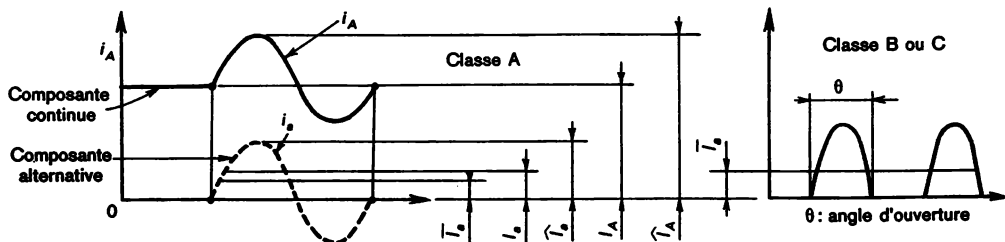
Cas 2: s'applique quand la lettre majuscule ou minuscule est seule disponible.

REPRÉSENTATION COMPLEXE DES GRANDEURS

| | | |
|-------------------|---|---|
| Partie réelle | X' | $\text{Re } X$ |
| Partie imaginaire | X'' | $\text{Im } X$ |
| Valeur complexe | $\underline{X} = X' + jX''$ $\underline{X} = X e^{j\varphi}$ | $X = \text{Re } X + j \text{Im } X$ $X = X e^{j\varphi}$ |

Les deux ensembles des colonnes peuvent être utilisés indifféremment.

TENSIONS ET COURANTS



Grandeurs: valeurs instantanées \rightarrow minuscules; autres valeurs \rightarrow majuscules.

Indices: valeurs par rapport au zéro \rightarrow majuscules; par rapport à la C.C. \rightarrow minuscules.

Exemples: valeurs continues: $V_A, I_A, V_G, \dots, V_{CE}, I_B, V_{CC}, V_{BB}, \dots$

valeurs instantanées par rapport à la composante continue: $v_a, i_a, v_{ce}, i_b, \dots$

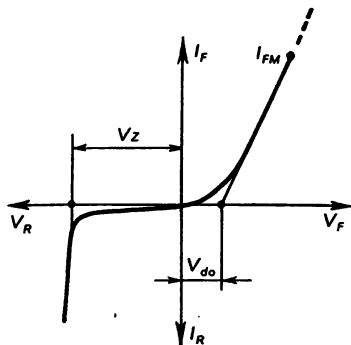
valeurs instantanées par rapport au zéro: $v_A, i_A, v_G, \dots, v_{CE}, I_B, v_{BE}, \dots$

valeurs efficaces: $V_a, I_a, V_g, \dots, V_{ce}, I_b, V_{be}, \dots$

valeurs moyennes: $\bar{V}_a, \bar{I}_a, \bar{V}_{be}, \dots$

valeurs complexes: $\underline{V}_a, \underline{I}_a, \underline{V}_{be}, \dots$

DIODES



Tensions directes : V_F v_f Courants directs : I_F i_f
 Tensions inverses : V_R v_r Courants inverses : I_R i_r
 Courant moyen de sortie (redressé) : I_0
 Tension moyenne de sortie (redressée) : V_0
 Temps de recouvrement direct : t_{fr}
 Temps de recouvrement inverse : t_{rr}
 Résistance série d'une diode : R_s
 Résistance dynamique sens direct : $r_{dF} = \frac{\Delta V_F}{\Delta I_F}$
 Tension de seuil : V_{d0}
 Tension de zener : V_Z
 Limites d'utilisation : I_{FM} V_{RM}

TUBES

Coefficient d'amplification : K Tension de source d'alimentation : V_B
 Pente statique : S Tension de coupure : V_{Gc}
 Résistance interne : ρ Tensions et courant de repos : V_{OA} V_{OG} I_{OA}
 Pente dynamique : S' Courant et tension de filament : I_f V_f
 Pente de conversion : S_c

ÉCRITURE DES VARIATIONS

$t \nearrow$ $|I_C| \nearrow$ $|V_{BE}| \searrow$ $|R_E I_E| \nearrow$ etc.

ou écrire en toutes lettres { la tension base collecteur diminue
 la chute de tension aux bornes de R_E augmente
 le potentiel de collecteur devient plus négatif, etc.

AMPLIFICATION

Amplification en courant, en tension, en puissance : A_i A_v A_p
 Unités : Néper : Np décibel : dB
 Gain (expression de l'amplification en décibels) : G_i G_v G_p
 Bande passante, à 3 dB, à n dB : B B_3 B_n
 Distorsion, due à l'harmonique 2, totale : d d_2 d_{tot}
 Taux de modulation : m Angle de phase : Φ
 Fréquence de coupure : f_c Taux de réaction : B

INDICES POUVANT ACCOMPAGNER LES SYMBOLES DE GRANDEURS U , I , ...

| | | | | | |
|---------------------|-----|------------|-----|-------------|-----|
| Court-circuit | cc | Bruit | b | Variable | var |
| Coupure, conversion | c | Entrée | e | Pointe | po |
| Direct | dir | Sortie | s | Redressé | red |
| Inverse | inv | Sinusoidal | sin | Utilisation | u |
| Extinction | ext | Surcharge | sur | Modulé | mod |
| Amorçage | am | Total | tot | Porteuse | p |
| | | Thermique | th | | |

Tensions et courants de repos: V_{OCE} I_{OB} V_{OBE} V_{OCE} Tensions et courants résiduels: V_{CEO} I_{BO} V_{BEO} I_{CO} Tension de déchet: V_d Tension de saturation: V_{CEsat} Résistance thermique: R_{th} Température ambiante: t_{amb} Température du boîtier: t_{case} Température de jonction: t_j

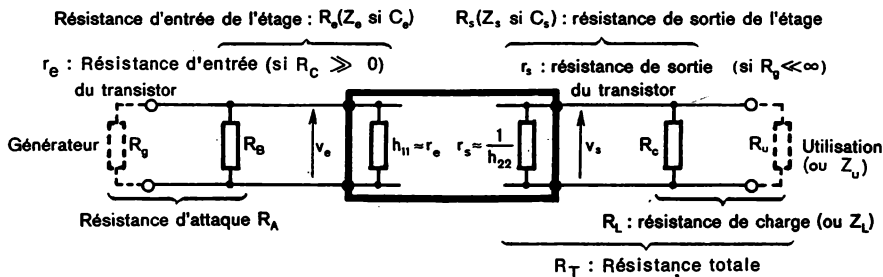
Montages émetteur commun: EC; base commune: BC; collecteur commun: CC

Indices des grandeurs statiques pour les 3 montages: EBC

Indices des grandeurs dynamiques pour les 3 montages: e b c

Fréquences de coupure: f_{h21e} f_{h21b} ... (f_a f_β f_y déconseillés)Admittance de sortie: h_{22e} (α , β , γ déconseillés)Rapport de transfert direct de courant: h_{21e} (Nota: pour les valeurs statiquesImpédance d'entrée: h_{11e} et non dynamiquesRapport de transfert inverse de la tension: h_{12e} remplacer ebc par EBC.)Sources de tension: V_{CC} V_{BB} V_{EE} Fréquence maximale d'oscillation: f_{max} Fréquence de transition: f_T Pente $g_m = \Delta I_c / \Delta V_{BE}$

IMPÉDANCES D'ENTRÉE ET DE SORTIE

NOMENCLATURE
DES
FRÉQUENCES

| Appellations métriques recommandées AFNOR | Bande des f . | Abréviations |
|---|-----------------|--------------|
| myriamétriques | < 30 kHz | VLF (TBF) |
| kilométriques | 30 à 300 kHz | LF (BF) |
| hectométriques | 300 à 3 000 kHz | MF GO |
| décamétriques | 3 à 30 MHz | HF PO |
| métriques | 30 à 300 MHz | VHF (THF) OC |
| décimétriques | 300 à 3 000 MHz | UHF OTC |
| centimétriques | 3 à 30 GHz | SHF |
| millimétriques | 30 à 300 GHz | EHF |

MA (ou AM): modulation en amplitude

MF (ou FM): modulation en fréquence

MI (ou IM): modulation en impulsion

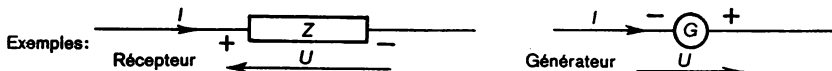
AF: audio-fréquences

RF: radiofréquences

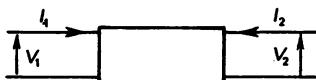
VF: vidéofréquences

TENSIONS ET COURANTS

- ① - Les flèches indiquant les tensions sont représentées hors circuit.
- La flèche a sa pointe vers le plus (+), son empennage vers le moins (-).
- ② - Les flèches indiquant les courants sont représentées sur le circuit.
- Dans les calculs on adoptera comme sens positif (+) le sens de la flèche, que ce soit pour un courant continu ou pour un courant instantané.
- On aura intérêt à adopter comme sens positif le sens réel du courant s'il est connu (sens conventionnel en sens inverse du déplacement des électrons dans un récepteur).



③ Quadripôle



- Les courants d'entrée et de sortie sont comptés positifs quand ils se dirigent vers le quadripôle.
- Les tensions sont comptées positives du pôle commun vers le pôle d'entrée ou de sortie.

④ Tubes: un seul indice affecté aux tensions d'électrodes avec la cathode comme référence.

Exemple: V_G , V_A .

Transistors: deux indices affectés aux tensions d'électrodes avec l'émetteur comme référence.

Exemple: V_{BE} , V_{CE} .

Quadripôle: 1: indice des signaux d'entrée

2: indice des signaux de sortie

11: entrée

12: transfert en inverse

22: sortie

21: transfert en direct.

COMPOSANTS DES CIRCUITS

- ① Pour les paramètres: internes au transistor (ou au tube) → minuscules
externes au transistor (ou au tube) → majuscules.
- ② Pour les indices: en continu ou valeurs statiques → majuscules
en alternatif ou valeurs dynamiques → minuscules.

Exemples:

- Valeurs nominales en continu des composants externes: R_A , R_{G_2} , R_E , G_{G_2} , G_E ...

- Valeurs des paramètres internes en alternatif: c_{ag} , c_{fk} , r_{gk} , $r_{bb'}$, r_{eb} , r_{cb} ...

SYMBOLES GRAPHIQUES POUR SCHÉMAS

Les symboles des pages 8 à 11 suivantes ne représentent qu'une faible partie de ceux que contiennent l'ensemble des normes NF C 03 - 201 à 211 éditées par l'AFNOR en 1984. Il faut y ajouter les numéros 212 opérateurs logiques binaires (1984) et 213 opérateurs analogiques (1979): voir pages 225 et 226.

8

GÉNÉRALITÉS SYMBOLES GRAPHIQUES

D'après normes
NF C 03
202 à 211
1984

| | | | | | |
|--|---|--|--|--|--------------------------------------|
| | Courant continu | | Dérivation (2 variantes) | | Oscillographe |
| | Courant alternatif | | Terre | | Compteur d'impulsions électriques |
| | Indication de la fréquence | | Masse (2 variantes) | | Symbole général à courant continu |
| | Fréquences: industrielles acoustiques radioélectr. | | Masse mise à la terre | | Symbole général à courant alternatif |
| | Courant monophasé triphasé avec neutre | | Élément de pile ou d'accumulat. | | Voltmètre à courant continu |
| | Courant continu et alternatif | | Batterie d'accumulateurs ou de piles | | Voltmètre à courant alternatif |
| | Courant ondulé | | Indication des caractéristiques des éléments | | Ampèremètre à courant continu |
| | Système monophasé, 50 Hz | | | | Ampèremètre à courant alternatif |
| | Système triphasé, 50 Hz, 220 V | | Interrupteur | | Wattmètre |
| | Système triphasé avec neutre 50 Hz, 380 V | | Disjoncteur | | Phasemètre |
| | Organe de commande d'un relais | | Rupteur | | Fréquencemètre |
| | Relais électromagnétique | | Contact à commande manuelle | | Ohmmètre |
| | Conducteur flexible | | Bouton poussoir retour automatique | | Ondemètre |
| | Deux conducteurs (2 variantes) | | Commutateur à 4 directions | | Thermomètre Pyromètre |
| | n conducteurs | | Commutateur à 3 circuits indépendants | | Tachymètre |
| | Croisement de 2 conducteurs sans connexion élect. | | | | Redresseur en pont |
| | Double dérivation (2 variantes) | | | | Symbole général à courant continu |
| | | | | | Symbole général à courant alternatif |

GÉNÉRALITÉS

SYMBOLES GRAPHIQUES

9

| | | | | | |
|--|--|--|---|--|--|
| | Variabilité intrinsèque | | Bobine à noyau magnétique | | Condensateur variable |
| | Variabilité intrinsèque non linéaire | | Noyau avec entrefer | | Condensateur ajustable |
| | Variabilité extrinsèque | | Inductance variable à noyau magnétique | | Condensateur différentiel réglable |
| | Variabilité extrinsèque non linéaire | | Bobine ajustable | | Condensateur variable à double armature mobile $C_1 + C_2 = \text{Constante}$ |
| | Ajustement prédéterminé | | Inductance avec contact mobile | | Condensateur variable à double armature mobile $C_1 = C_2$ |
| | Variabilité extrinsèque continue | | Transformateur (2 variantes) | | Couple thermo-électrique |
| | Variabilité extrinsèque par échelons | | Transformateur avec indication de polarité | | Ligne de séparation d'un appareil |
| | Indication du nombre d'échel. | | Autotransformateur | | Liaison mécan. Variante si l'espace disponible est faible |
| | Impédance | | Condensateur | | Sens de mouvement: translation rotation |
| | Résistance | | Condensateur avec indication de l'armature ext. ou mobile | | Commande par levier |
| | Résistance (2 variantes) Le rectangle doit être préféré | | Condensateur de traversée sans connexion de sortie | | entraînement rectiligne |
| | Résistance avec prise fixe | | Condensateur de traversée avec connexion de sortie sur une armature | | entraînement circulaire |
| | Potentiomètre à contact mobile | | Condensateur électrolytique (2 variantes) | | Bornes |
| | Résistance variable | | Condensateur céramique correcteur de dérive | | Fusible |
| | Résistance ajustable | | Condensateur à semi-conducteur | | Fiche de connecteur (2 variantes) |
| | Thermistance | | | | Prise de connecteur (2 variantes) |
| | Varistance | | | | Prise coaxiale |
| | Inductance. Bobine (2 variantes) Le 1 ^{er} symbole doit être préféré | | | | |

GÉNÉRALITÉS

SYMBOLES GRAPHIQUES

D'après normes
NF C 03
202 à 211
1984

| | | | | | |
|--|---|--|--|--|---|
| | Enveloppe de tube. Ajouter un point pour tube à gaz | | Thyratron | | Diac |
| | Cathode : chauffage indirect (2 variantes) | | Stabilisateur de tension | | Triac |
| | Cathode : chauffage direct chauffage indir. | | Indicateur d'accord | | Thyristor Gachette N |
| | Cathode liquide : symbole général avec igniteur | | Oscilloscope | | Thyristor Gachette P |
| | Diode à vide | | Tube luminescent (Indicateur au néon) | | Transistor NPN (PNP : inverser la flèche) |
| | Triode | | Tube fluorescent | | Transistor NPN (Collecteur relié à l'enveloppe) |
| | Double triode | | Tube photo-électrique | | Transistor NPN à avalanche |
| | Pentode | | Tube stabilisateur de tension | | Transistor unijonction base type N |
| | Pentode avec connexion interne de g ₃ | | Diode à S.C. (2 variantes) Le 1 ^{er} symbole doit être préféré | | TEC (Transistor à effet de champ) Canal N |
| | Tétrode à faisceau électronique | | Diode dépendant de la températ. | | TEC (= FET) Canal P. |
| | Hexode | | Diode à capacité variable | | TECGI (TEC à grille isolée = MOST) Canal P à enrichissement |
| | Triode-hexode | | Diode tunnel | | Photodiode |
| | Tube à rayons X | | Diode régulatrice de tension (Diode Zener) | | Phototransistor |
| | Photomultiplicateur | | Diode Schottky | | Cellule photovoltaïque |
| | Tube-compteur | | Diode électroluminescente | | Photorésistance |

GÉNÉRALITÉS

SYMBOLES GRAPHIQUES

11

| | | | | | |
|--|---|--|--|--|--|
| | Photocoupleur | | Filtre passe-haut | | Haut-parleur électrodynamique |
| | Magnéto-résistance | | Ecrêteur | | Tête de lecture piézoélectrique stéréophonique |
| | Générateur de Hall | | Décteur | | Cadre |
| | Générateur | | Correcteur de distorsion | | |
| | Générateur d'ondes sinusoïdales | | Modulateur ou démodulateur | | Antenne à barreau de ferrite |
| | Générateur de courants en dents de scie | | Dispositif à retard | | Antennes symbole général polarisation verticale polarisation horizontale |
| | Générateur d'impulsions | | Ligne d'affaiblissement | | |
| | Changeur de fréquence | | Amplificateur magnétique | | Antennes d'émission de réception |
| | Multiplieur de fréquence | | Déphaseur | | Doublet |
| | Diviseur de fréquence | | Microphone | | Doublet replié |
| | Inverseur d'impulsion | | Écouteur | | Doublet replié |
| | Amplificateur (2 variantes) | | Haut-parleur | | Doublet replié |
| | Dispositif de préaccentuation | | Tête de transducteur | | Doublet replié |
| | Dispositif de désaccentuation | | électrostatique piézoélectrique | | n éléments directs un élément réflecteur |
| | Compresseur | | à bobine mobile à fer mobile magnétostrictif | | Voyant lumineux |
| | Expanseur | | stéréophonique photoélectrique | | Voyant mécanique |
| | Compensateur de phase | | électret | | Câble coaxial (symbole général) |
| | Filtre | | Microphone électrostatique | | Coaxial : conducteur externe relié à la masse |
| | passé-bas | | Ecouteur magnétique | | Câble coaxial sous écran |
| | passé-bande | | | | |
| | éliminateur | | | | |

Exemples d'application

Symboles complémentaires

I - CLASSIFICATION DE DESSINS**1° Schémas de principe****a) Schémas fonctionnels (ou schémas synoptiques ou organigrammes)**

Ils indiquent sous une forme simplifiée les différents étages; on inscrit dans un rectangle généralement la fonction de chaque étage et éventuellement les réglages.

Un exemple de schéma unifilaire est donné à la figure 1 en H1.

b) Schémas développés

Tous les éléments ayant une fonction électrique y sont représentés en utilisant les symboles conventionnels (fig. 1).

c) Schémas équivalents

Ils sont obtenus à partir des schémas développés. Ils sont destinés à faciliter un raisonnement ou ils servent de base de départ pour les calculs (fig. 14 B3).

2° Dessins d'implantation

Ce sont des dessins d'ensemble (sans le câblage et les petits éléments électriques tels que résistances et condensateurs) montrant avec précision la forme, les dimensions, la disposition des pièces constituant la tôlerie, les accessoires et mécanismes fixés sur cette tôlerie. Les règles du dessin en construction mécanique sont applicables (disposition des vues, cotes, repères...).

3° Plans de câblage

Ils doivent représenter avec une précision aussi grande que possible la disposition des fils de câblage, des éléments électriques complémentaires aux dessins d'implantation tels que résistances et condensateurs. Les éléments de tôlerie et les pièces mécaniques peuvent être simplifiés et représentés en traits fins.

On peut utiliser les dessins de câblage traditionnel ou de circuits imprimés (fig. 2), ou des photographies du prototype.

Aucune norme n'existe pour préciser les traits à employer sur les plans de câblage. Si des traits conventionnels sont nécessaires pour différencier les fils de masse, HT +, secteur, chauffage, blindage, etc., il peut être utile de préciser ces conventions sur les dessins. Certaines firmes utilisent un code de couleurs.

Les valeurs sont inscrites sur les éléments, ou à défaut à côté.

4° Dessins de définition

Les dessins de définition de produit fini sont des dessins destinés à faire foi dans les relations entre services de conception et services de réalisation. Ils définissent complètement et sans ambiguïté les exigences auxquelles doit satisfaire le produit, dans l'état de finition prescrit.

Ils comportent les cotes fonctionnelles qui expriment directement les conditions requises et notamment celles d'interchangeabilité.

Exemples. — Dessin d'ensemble d'un réducteur, dessin de détail d'un pignon, etc.

5° Dessins d'opérations

Ce sont les dessins issus des dessins de définition et qui permettront la fabrication.

Exemples. — Dessins de découpage, de cambrage, d'usinage, d'assemblage, de contrôle, etc.

Ils ne comportent que les seules indications nécessaires à la réalisation de (ou des) opérations envisagées.

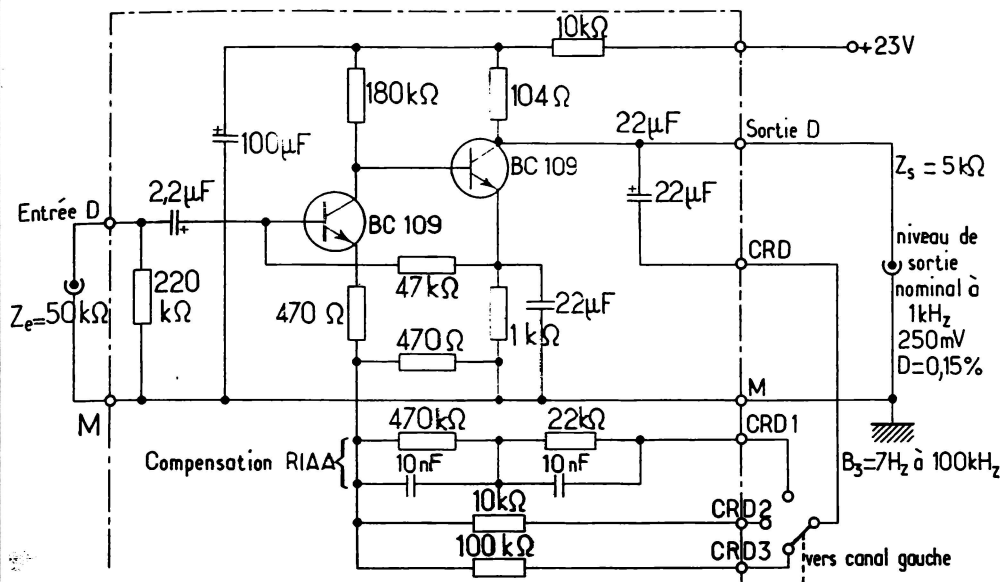


Fig. 1 — Schéma développé d'un préamplificateur stéréophonique. Seul le canal droit est représenté

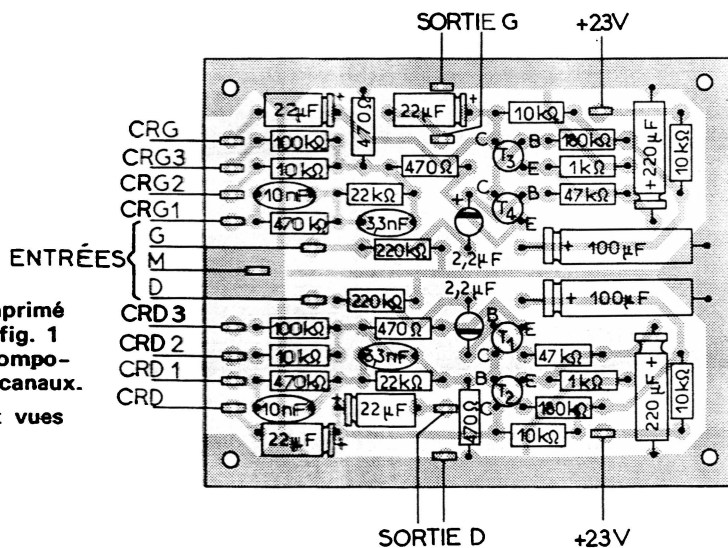


Fig. 2 — Circuit imprimé correspondant à la fig. 1 et comportant les composants relatifs aux 2 canaux. Les connexions sont vues par transparence.

II - DISPOSITION DES SCHÉMAS

Nous donnons ici un certain nombre de principes qui ne sont pas absolus, mais qui doivent être appliqués chaque fois que possible afin de faciliter la lecture et la compréhension des schémas.

- Lecture horizontale de gauche à droite en respectant la disposition des étages donnée par les schémas fonctionnels. Le signal entre à gauche et sort à droite.
- Utiliser de préférence une ligne de masse et une ligne d'alimentation.
- En plaçant la ligne d'alimentation au-dessus des transistors et la ligne de masse en dessous, on obtient le minimum de coupures sur le schéma.
- Tous les étages de rétroaction, d'asservissement seront placés en-dessous de la ligne de masse et le signal va de droite à gauche.
- Les étages symétriques sont placés tête-bêche de part et d'autre de la ligne de masse: certains amplificateurs comportant un étage de sortie symétrique, les amplificateurs stéréophoniques, les oscillateurs des générateurs à battements.
- Les lignes de réaction négative doivent être dégagées des circuits normaux et peuvent être placées par exemple au-dessus des transistors ou au-dessous de la masse (fig. 1).
- Les circuits complexes d'impédances R , L , C doivent être tracés en respectant la disposition du circuit de base dont ils sont issus (circuits en L , en T , en H).

- On trouvera des compléments sur les dispositions des schémas en consultant la norme NFC 03-154 (1976) : « Schémas, diagrammes, tableaux, recommandations pour l'établissement des schémas des circuits - 43 pages ». Elle fournit en particulier des exemples complets de schémas développés montrant diverses dispositions recommandées.

III - NOMENCLATURES

1° Nomenclature électrique (fig. 4)

Elle ne comporte que les éléments électriques apparaissant sur le schéma développé. Des colonnes « fonction », « fournisseur », etc., peuvent éventuellement être ajoutées. Les désignations doivent être complètes et sans ambiguïté. En matériel professionnel, ces désignations sont longues (type, modèle, catégorie, classe), et les constructeurs adoptent une codification simplifiant les désignations (normes UTE, normes internes, notices des constructeurs).

Les repères comportent une lettre caractéristique du type de matériel et un numéro d'ordre. Le schéma développé montre les éléments :

- avec valeurs sans repères s'il n'y a pas de nomenclature (fig. 1);
- avec repères sans valeurs;
- avec repères et valeurs (fig. 3). C'est une méthode plus longue mais facilitant la lecture et évitant des erreurs.

Sur les schémas compliqués, il peut être utile d'ajouter une grille de recherche: les repères sont placés dans la grille à l'alignement de l'élément correspondant du schéma.

2° Nomenclature mécanique

Elle est annexée au plan de câblage et comporte tous les éléments mécaniques de réglage ou de fixation (chassis, accouplements, œilletons, axes, etc.). On groupera les pièces par affinités: pièces normalisées, pièces standardisées, etc.

Les nomenclatures sont écrites à la main, au normographe ou à la machine à écrire.

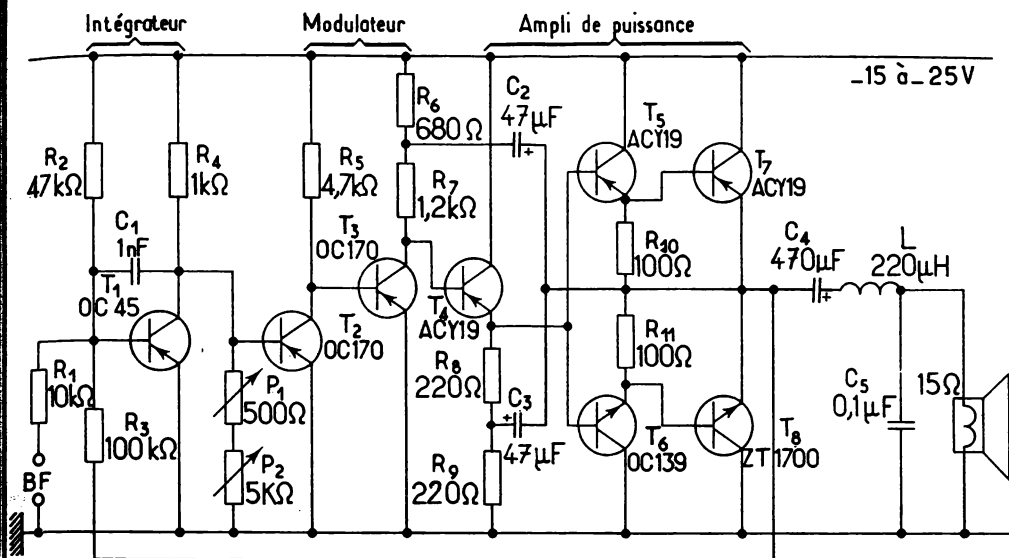


Fig. 3 — Exemple de schéma développé. Amplificateur classe D à boucle de réaction positive

| | | | | | | | |
|----------------|----------------|-----------------|---------|------|------|--------|---------------|
| T ₁ | Transistor | AC 125 | | | | | Ampli. B.F. |
| Tr1 | Transformateur | Adaptation B.F. | 7kΩ, 2Ω | | | | |
| L ₁ | Bobine | Noyau stéarite | 2,75mH | | | ± 10 | Sous blindage |
| P ₁ | Potentiomètre | Au graphite | 500 kΩ | | 1 | ± 20 | Linéaire |
| R ₂ | Résistance | Bobinée | 1 000 Ω | | 10 | ± 10 | |
| R ₄ | Résistance | Agglomérée | 27 kΩ | | 1/4 | ± 5 | |
| CV1 | C. variable | A air | 490 pF | | | | |
| C ₂ | C. ajustable | Au mica | 6-10 pF | 100 | | | |
| C ₁ | Condensateur | Céramique | 470 pF | 500 | | ± 10 | Tubulaire |
| Rp | DÉSIGNATION | TYPE | VALEUR | U(V) | P(W) | Tol(%) | OBSERVATION |

Fig. 4 — Exemple de nomenclature

I - DÉFINITION

Le redressement d'un courant alternatif est une opération par laquelle un courant alternatif est transformé en courant unidirectionnel.

II - PRINCIPAUX TYPES DE REDRESSEURS

Actuellement les redresseurs au silicium ont supplanté tous les autres dispositifs. Ils peuvent redresser des tensions alternatives de plus de 1000 V avec un courant direct moyen atteignant 70 A (refroidissement à air naturel).

Pour les alimentations de petite puissance il existe des ponts de Graëtz miniatures enrobés sous résine époxy (1).

III - REDRESSEMENT A UNE ALTERNANCE

1° Débit sur résistance pure

a) ρ négligeable devant la résistance d'utilisation R_u (fig. 1 à 3)

Le débit ne provoque, à travers la diode, qu'une chute de tension négligeable et l'expression de la tension moyenne est :

$$\bar{V} = \hat{V}/\pi.$$

b) ρ non négligeable devant R_u (2) (fig. 4 et 5)

$$\bar{V} = \frac{\hat{V}}{\pi(1 + \rho/R_u)} = R_u \bar{I}.$$

ρ/R_u petit : redressement à tension élevée, petite puissance. Prendre $R_u > 100 \rho$.

ρ/R_u grand : redressement à tension faible, grande puissance. Prendre $R_u = 10 \rho$.

c) Variantes

Sans transformateur (fig. 6) : économique, tension d'utilisation peu différente de la tension du secteur.

Avec transformateur (fig. 7) : encombrant, lourd et cher. Les tensions obtenues dépendent du rapport de transformation. Bonne sécurité, car le secteur n'est pas appliqué directement sur l'utilisation (saturation du transformateur).

Avec auto-transformateur (fig. 8) : plus économique que le précédent, mais le circuit d'utilisation n'est plus isolé du secteur.

2° Débit sur résistance avec C d'entrée (fig. 9 à 13)

Le condensateur d'entrée diminue considérablement le taux d'ondulation et augmente la tension et le courant redressés. Prévoir éventuellement, quel que soit le montage, une résistance additionnelle de sécurité en série avec le redresseur.

Le taux d'ondulation (3) sera d'autant plus faible que la constante de temps du circuit de décharge sera plus grande devant la période T :

$$R_u C \gg T \quad R_u C f \gg 1 \quad \text{avec } T = 1/f.$$

R_u et f étant déterminés, on a intérêt à utiliser un condensateur C grand. Néanmoins on est limité dans sa valeur par l'intensité maximale tolérée par la diode. Le débit serait exagéré lors de la mise en service.

Dans tous les cas de redressement monoalternance la tension inverse maximale supportée par le redresseur est \bar{V} : choisir sur catalogue $V_{RWM} \gg \bar{V}$.

(1) Voir les modèles et les caractéristiques des redresseurs sur l'ouvrage de technologie d'électronique, du même auteur.

(2) Remplacer ρ par la résistance équivalente de source ($\rho + r_2 + n^2 r_1$) dans les formules ci-dessus lorsqu'on emploie un transformateur (fig. 7).

(3) Taux d'ondulation : rapport de la valeur efficace de l'ondulation à la valeur moyenne de la grandeur ou à la valeur continue dans le cas de débit sur condensateur.

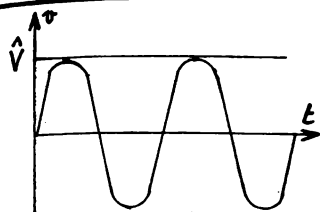


Fig. 1 - Tension d'alimentation

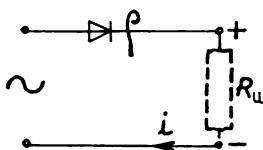


Fig. 2 - Schéma type

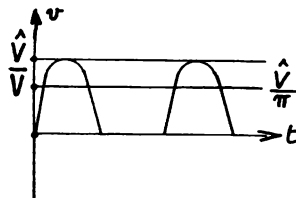


Fig. 3 - Tension redressée

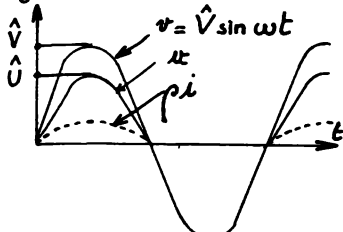


Fig. 4 - Graphique des tensions

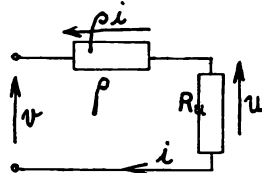


Fig. 5 - Schéma équivalent

Dans le sens direct :

$$u = v - \rho \cdot i$$

$$i = \frac{v}{R_u + \rho}$$

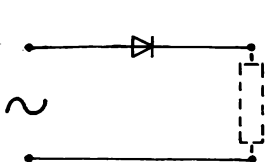


Fig. 6 - Sans transformateur

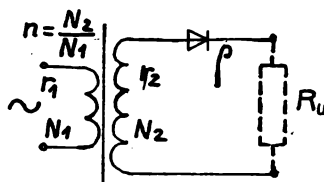


Fig. 7 - Avec transformateur

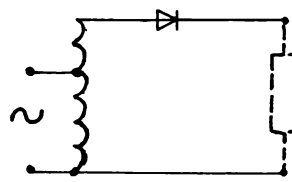


Fig. 8 - Avec auto-transformateur

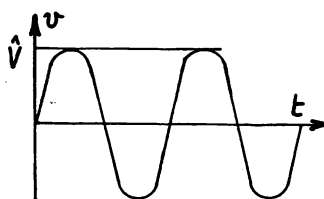


Fig. 9 - Tension d'alimentation

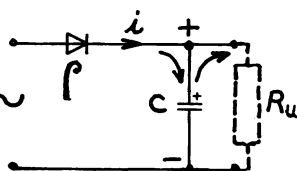


Fig. 10 - Schéma type

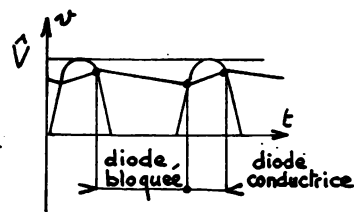


Fig. 11 - Tension redressée

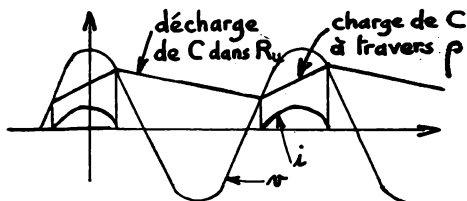


Fig. 12 - Débit sur condensateur

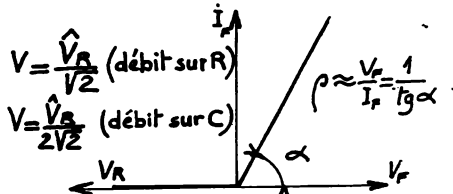


Fig. 13 - Caractéristique de redressement

IV - REDRESSEMENT DE DEUX ALTERNANCES

L'utilisation de deux alternances permet :

- de diviser par deux l'intensité instantanée, ce qui soulage le redresseur;
- de doubler la fréquence d'ondulation (100 Hz) avec diminution du taux d'ondulation facilitant ainsi le filtrage ⁽¹⁾;
- d'augmenter la tension continue obtenue, toutes autres valeurs étant égales.

1° Transformateur à point milieu

a) Débit sur résistance pure (fig. 14)

Les deux alternances sont utilisées (fig. 16). Le sens des courants instantanés pendant les deux alternances est indiqué sur la figure.

Si la résistance directe ρ est négligeable ⁽²⁾ : $\bar{V} = 2 \frac{\hat{V}}{\pi}$.

Si la résistance ρ n'est pas négligeable devant la résistance R_u :

$$\bar{V} = \frac{2 \hat{V}}{\pi (1 + 2 \rho / R_u)}$$

b) Débit sur condensateur

Influence des paramètres pour débit sur condensateur C d'entrée (fig. 17) :

V augmente si la résistance d'utilisation R_u augmente, si ρ diminue ;

ΔV diminue si R_u augmente, si C augmente (c'est-à-dire si la constante de temps $\tau = R_u C$ augmente).

Dans les deux cas choisir le redresseur tel que $V_{RWM} \geq \hat{V}$ (tension max. inverse supportée).

2° Pont de Graëtz (fig. 15)

La tension redressée a les mêmes propriétés que celle obtenue avec transformateur à point milieu.

La tension inverse supportée par chacune des diodes est deux fois plus faible que dans le cas d'un transformateur à point milieu. (Emploi plus fréquent avec les redresseurs au silicium.)

Le montage peut être utilisé sans transformateur, et dans le cas où celui-ci est nécessaire, il faut deux fois moins de spires au secondaire et 2 sorties au lieu de 3 (transformateur moins coûteux).

Actuellement les redresseurs au silicium ont remplacé les autres types, étant donné leurs caractéristiques remarquables et leur bas prix de revient. Il est souvent nécessaire de prévoir une résistance additionnelle R_s en série avec le redresseur afin de le protéger contre la surintensité au départ. (Le condensateur d'entrée non encore chargé constituant un court-circuit.)

Si le courant débité est élevé, on utilise après le redresseur une inductance d'entrée, ce qui permet de diminuer la valeur du condensateur d'entrée et la valeur des pointes de courant. Ce montage n'est utilisé que pour le redressement double alternance car, en monoalternance, la valeur de la bobine devient excessive (fig. 18).

Pour éviter les tensions transitoires supérieures à V_{RSM} ⁽³⁾ on place soit au primaire, soit au secondaire, un circuit RC dit d'amortissement.

Une autre disposition (fig. 19) permet d'obtenir deux tensions symétriques par rapport à la masse. Ce schéma est particulièrement bien adapté à l'alimentation des amplificateurs opérationnels.

(1) Noter qu'une ondulation à 50 Hz, bien que plus difficile à filtrer qu'une ondulation à 100 Hz, est moins décelée par l'oreille (voir courbes d'iso-sensation de l'oreille).

(2) Remplacer ρ par la résistance équivalente de source ($\rho + r_2 + n^2 r_1$) dans les formules ci-dessus lorsqu'on emploie un transformateur.

(3) V_{RSM} : tension inverse de pointe accidentelle que peut supporter le redresseur.

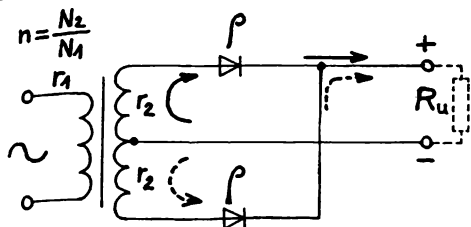
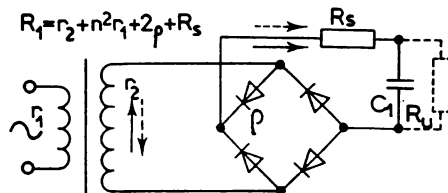


Fig. 14 — Transformateur à point milieu



Choisir la résistance totale de sécurité $R_1 = 1 \text{ à } 10\%$ de R_u

Fig. 15 — Pont de Graëtz, débit sur C

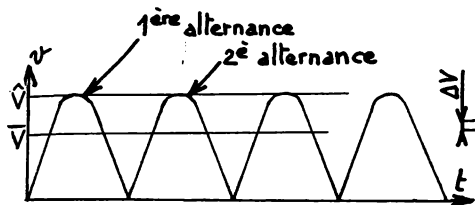


Fig. 16 — Débit sur résistance pure

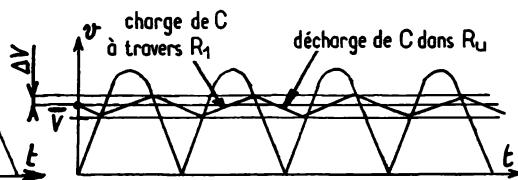


Fig. 17 — Débit avec C d'entrée

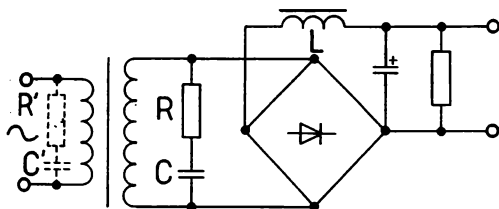


Fig. 18 — Pont de Graëtz, débit sur L

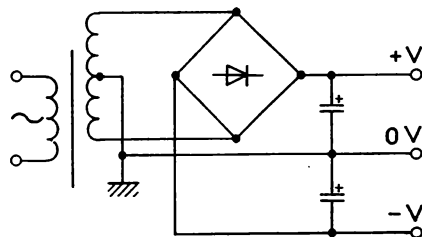


Fig. 19 — Pont de Graëtz. Autre disposition

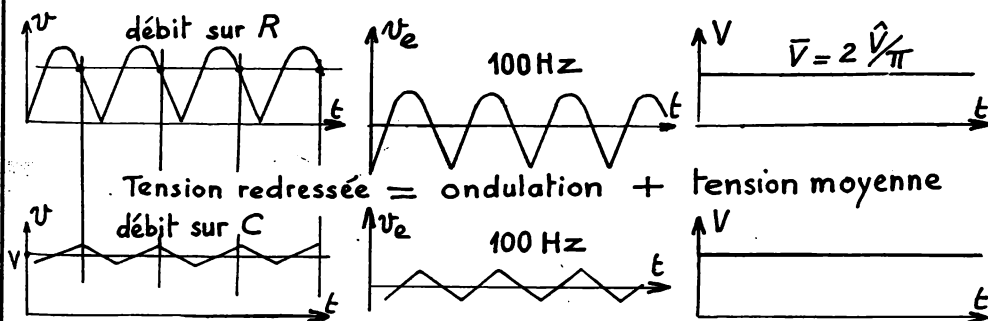


Fig. 20 — Equivalence de la tension redressée

V - FILTRAGE

Les filtres utilisés ici sont des filtres passe-bas qui doivent laisser passer le courant continu ($f = 0$) et arrêter le courant alternatif ($f = 50$ ou 100 Hz).

La figure 20, montre que la tension redressée équivaut à la somme d'une tension alternative et d'une tension continue.

À la sortie du filtre, on ne doit plus retrouver que la tension continue. Les condensateurs de filtrage sont montés en parallèle sur la charge, car leur impédance doit être faible vis-à-vis de celle de la charge

$$Z = \frac{1}{2\pi fC} \ll R_L$$

Les formules donnant l'efficacité des filtres (pour courants faibles) sont les suivantes :

• Filtre LC (fig. 21) efficacité $a = v_e / v_s = \omega^2 LC$

• Filtre RC (fig. 22) efficacité $a = v_e / v_s = \omega RC$

Ce filtre est moins efficace, mais moins onéreux.

• Filtres en cascade (fig. 24) efficacité $a = a_1 \cdot a_2$

Ce montage permet d'avoir éventuellement une prise (+ HT) pour intensité élevée.

Choisir pour l'efficacité les valeurs suivantes :

$1/a < 5\%$ pour l'alimentation d'amplificateurs RF non modulée ;

$1/a < 2,5\%$ pour l'alimentation d'amplificateurs RF modulée ;

$1/a < 0,5\%$ pour l'alimentation de radio récepteurs ou d'amplificateurs AF de puissance ;

$1/a < 1\%$ pour l'alimentation d'étages oscillateurs ;

$1/a < 0,1\%$ pour l'alimentation d'étages préamplificateurs ou de correcteurs AF.

Filtre avec condensateur C d'entrée (fig. 23). Nous avons vu le rôle du condensateur (il diminue l'ondulation).

Filtre avec inductance L d'entrée (fig. 24) utilisé dans le cas de débits élevés.

VI - DOUBLEURS DE TENSION

Ces montages ne nécessitent pas l'emploi d'un transformateur. Ils fournissent au maximum $2\sqrt{V}$ à vide, alors que les montages précédents ne fournissent que \sqrt{V} .

Inconvénient : le circuit d'utilisation n'est pas séparé du secteur.

1° Montage Latour (fig. 25 et 26) ou doubleur en pont

Le condensateur C_1 se charge pendant une alternance et le condensateur C_2 pendant l'autre alternance.

Les tensions des deux condensateurs s'ajoutent pour alimenter la charge. A vide, on a : $\bar{V} = 2\sqrt{V}$.

La (HT +) n'est pas fixée par rapport au secteur (montage flottant).

2° Montage Schenkel (fig. 27) ou doubleur de tension inverse

Pendant une alternance le condensateur C_1 se charge à travers le redresseur S_1 à la tension \sqrt{V} .

Pendant l'alternance opposée le redresseur S_1 est soumis à la tension $2\sqrt{V}$.

Le condensateur C_2 se charge à travers le redresseur S_2 sous la tension $2\sqrt{V}$.

Inconvénient : le condensateur C_1 subit le passage d'un courant alternatif. La tension d'ondulation est plus grande que dans le montage précédent.

VII - MULTIPLICATEURS DE TENSION

Montage Greinacher (fig. 29) ou multiplicateur en échelle. Il est constitué par une suite de doubleurs Schenkel en série ; la tension inverse $2\sqrt{V}$ aux bornes du redresseur S_2 est utilisée pour charger un troisième condensateur, et ainsi de suite.

Un tripleur peut être constitué par un doubleur Schenkel, plus un redresseur simple en série (fig. 28), un quadrupleur par 2 doubleurs en série.

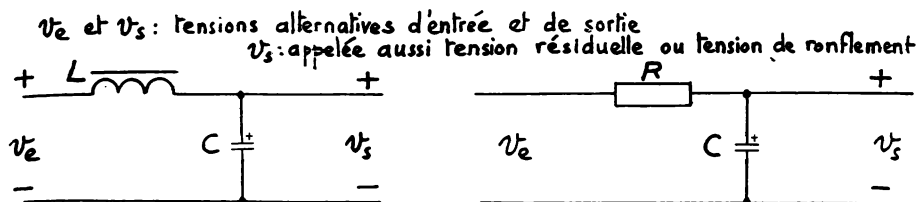


Fig. 21 — Filtre L C

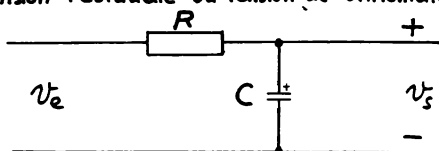


Fig. 22 — Filtre R C

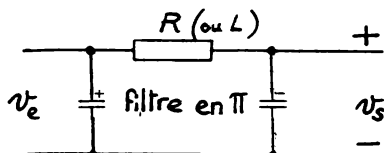


Fig. 23 — Filtre avec C d'entrée

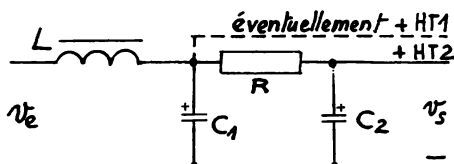


Fig. 24 — Filtre avec L d'entrée

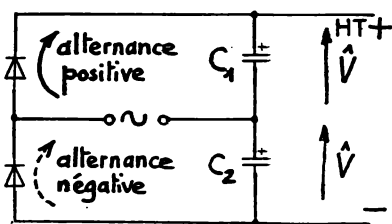


Fig. 25 — Doubleur de tension Latour

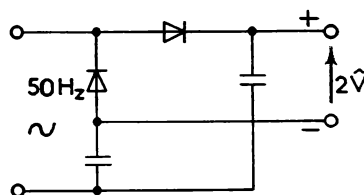


Fig. 26 — Autre disposition

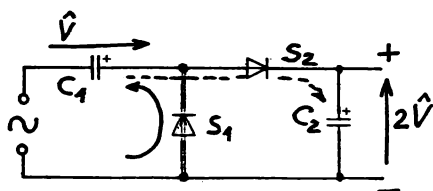


Fig. 27 — Doubleur de tension Schenkel

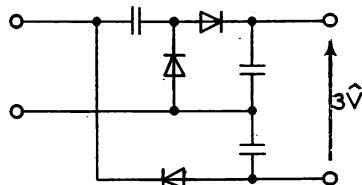


Fig. 28 — Tripleur de tension

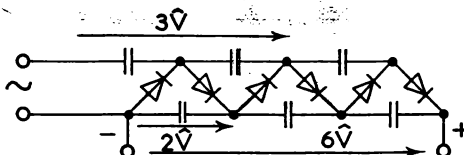


Fig. 29 — Multiplicateur de tension. Montage Greinacher

VIII - STABILISATION DE LA TENSION ALTERNATIVE DU SECTEUR

Elle a pour but de stabiliser la tension d'utilisation malgré des variations de la tension alternative du secteur pouvant atteindre 10 à 15 %.

1° Transformateur à fer-saturé (fig. 30)

Un flux magnétique unidirectionnel produit par un enroulement supplémentaire traversé par un courant continu se superpose au flux alternatif déterminé par le courant alternatif du secteur. Le transformateur travaille ainsi près de la saturation et le courant est limité.

La puissance de commande est de 0,3 à 3 % de la puissance totale utile. Ce système est surtout utilisé pour des appareils professionnels avec des puissances assez élevées.

2° Transformateur à ferro-résonance (fig. 31)

Pour certaines valeurs de C et L à la fréquence du secteur, le courant du circuit atteint une valeur limite à la résonance qui ne dépend plus guère de la tension. Si la tension du secteur varie entre 90 et 130 volts par exemple, la tension au secondaire ne varie que de 108 à 112 volts.

3° Réguvolt (fig. 32)

C'est un régulateur de tension du type magnétique qui combine les deux systèmes précédents «fer-saturé» et «ferro-résonance». Il comporte, en plus des enroulements primaire et secondaire, un enroulement compensateur bobiné sur le primaire et créant au secondaire une tension en opposition de phase avec les variations entre A et B . Le shunt magnétique S dérive le flux magnétique lorsque le secondaire arrive près de la saturation.

Le condensateur C a pour but de parfaire la stabilisation par suite de la résonance.

La tension de sortie est stabilisée à $\pm 1\%$ pour des variations de la tension du secteur de $\pm 15\%$.

IX - STABILISATION DE LA TENSION CONTINUE PAR DIODE ZENER

1° Caractéristiques

Ce sont des diodes au silicium dont on utilise la caractéristique inverse (fig. 33). On remarque que la tension reste pratiquement constante pour une variation importante du courant. Le claquage de la jonction n'est pas destructif tant que la température de jonction maximale n'est pas dépassée ($I_R < I_{Rmax}$).

- La tension stabilisée, pour un élément, va de 2 V à 75 V.
- Le courant inverse maximal est compris entre 5 mA et 2 A suivant diode.
- Le coefficient de température est négatif ($V_Z < 5$ V), ou positif ($V_Z > 5$ V). Il en résulte un facteur de variation S_Z allant de -2 à $+50$ mV/°C pour la série de diodes de 2 V à 75 V. Ce sont les diodes de 7 à 10 V qui présentent la meilleure caractéristique de régulation.

2° Schéma (fig. 34)

Le calcul de la résistance de stabilisation se fait pour maintenir V_L sensiblement constante si V_B varie (stabilisation amont) ou si I_L varie (stabilisation aval). Pour avoir un bon facteur de stabilisation ⁽¹⁾ on choisit $V_B = 2 V_L$.

Une diode zéner se comporte vis-à-vis de la tension résiduelle de ronflement de secteur comme un condensateur de plusieurs milliers de microfarads.

3° Variantes ⁽²⁾

Fig. 35 - Régulation par deux diodes en série: cette disposition permet de stabiliser des tensions plus élevées avec prise intermédiaire.

Fig. 36 - Régulation par cellules en cascade: le facteur de stabilisation global est le produit des facteurs de stabilisation de chaque cellule. La tension de sortie peut être ajustée par R_2 .

Fig. 37 - Source de très faible tension de référence.

$$(1) \text{ Facteur de stabilisation: } S_F = \frac{\Delta V_Z}{V_Z} \cdot \frac{V_B}{\Delta V_B}. \text{ Il doit être le plus faible possible.}$$

(2) Voir aussi source de tension de référence avec amplificateur opérationnel en D11.

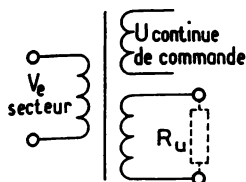


Fig. 30 — Transformateur à fer saturé

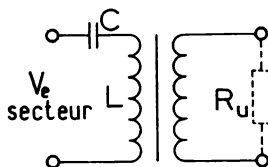


Fig. 31 — Transformateur à résonance

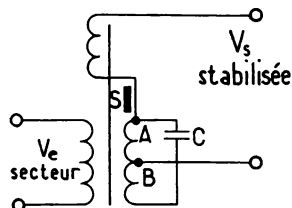


Fig. 32 — Réguvolt

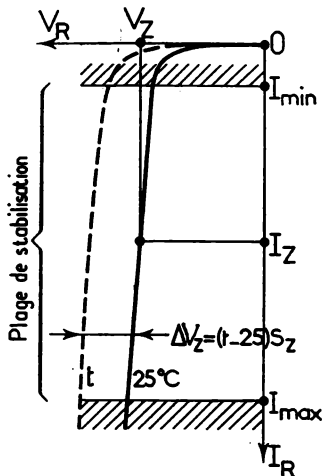


Fig. 33 — Caractéristique courant-tension d'une diode Zéner

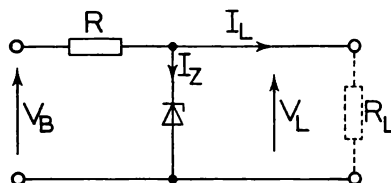


Fig. 34 — Régulation par diode Zéner

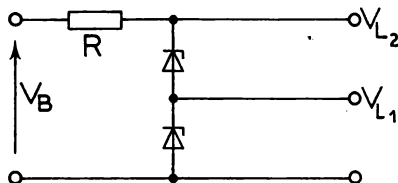


Fig. 35 — Régulation par 2 diodes en série

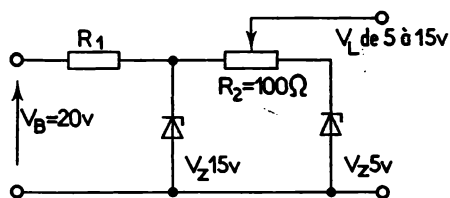


Fig. 36 — Régulation par cellules en cascade

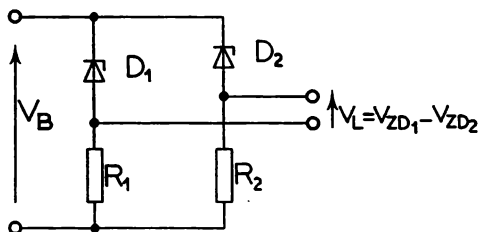


Fig. 37 — Source de très faible tension de référence

X - STABILISATION D'UNE TENSION CONTINUE PAR TRANSISTOR

Les inconvénients de la stabilisation par diode de régulation sont :

- la gamme des courants dans la charge, limitée ;
- le facteur de stabilisation $S = dV_L / dV_B$ qui \neq si $I_L \neq$;
- le courant maximal dans la charge, qui doit être inférieur au courant maximal dans la diode, car si on débranche accidentellement la charge R_L , la diode est endommagée.

On obtient donc une grande amélioration en utilisant les stabilisations à transistors. Le facteur de stabilisation peut devenir inférieur à 1%.

1° Stabilisation par transistor en parallèle (fig. 38)

Elle est réservée aux alimentations de forte puissance.

a) Stabilisation *amont*

Si $|V_B| \neq |V_{BE}| \neq |I_B| \neq |I_C| \neq$ d'où la chute de tension dans R' , soit une variation de V_L beaucoup plus faible.

b) Stabilisation *aval*

Si on remplace R_B par une diode Zener, la tension à ses bornes est sensiblement constante avec $\Delta I_Z = \Delta I_L / h_{21E}$. Si $|V_L| \neq |V_{BE}| \neq |I_E| \neq$ soit $|V_R| \neq$ donc $|V_L| \neq$. On constate bien l'effet de régulation.

2° Stabilisation par transistor en série (fig. 39)

a) Stabilisation *amont*

Le transistor peut être considéré en montage EC, d'où une variation ΔV_{BE} qui est h_{21E} fois $<$ que $\Delta V_{CE} = \Delta V_{CB}$ proportionnelle à ΔV_B .

b) Stabilisation *aval*

On peut considérer si $V_B = C^e$ le transistor monté CC, avec $r_s = 1/g_m$ (10 à 100 Ω). L'alimentation est un générateur de courant à faible résistance interne, d'où I_L est plus constante si I_L varie.

3° Stabilisation avec tension de référence (fig. 40)

Lorsqu'on remplace R_B par une diode Zener (ou un fort condensateur) sa tension aux bornes étant constante, elle est dite tension de référence et seule la variation aux bornes de R_B intervient.

L'emploi d'un potentiomètre permet de régler V_L entre 0 et V_Z environ (à V_{BE} près).

4° Stabilisation asservie ou amplifiée (fig. 41)

T_1 : transistor ballast amplificateur de courant.

T_2 : transistor comparateur amplificateur de tension d'erreur.

Le potentiel de base de T_2 est asservi au potentiel de sortie.

On peut raisonner sur les variations de tensions et courants, ou plus directement voir s'il y a bien asservissement en faisant le total des déphasages le long de la boucle suivie par le signal de contre-réaction (voir chapitre C). On doit obtenir 180° (opposition de phase). Ici partant du curseur de P le signal entre sur la base de T_2 , sort sur le collecteur de T_2 (180°) entre sur la base de T_1 , ressort sur l'émetteur de T_1 (0°). Total 180° : il y a bien opposition de phase.

- Les variations de V_L sont réduites à moins de $1/1000$ de ΔV_B .
- T_2 compare une fraction de la tension de sortie à la tension de référence.
- Le potentiomètre P permet d'ajuster la valeur de V_L .
- La sensibilité \neq car on applique sur la base de T_1 la variation $\Delta V_L \cdot A_{VT_2}$.
- Le facteur de stabilisation est divisé par h_{21T_2} .
- La résistance interne de l'alimentation est divisée par A_{VT_2} .
- C rend le montage moins sensible aux perturbations dues aux fréquences élevées.

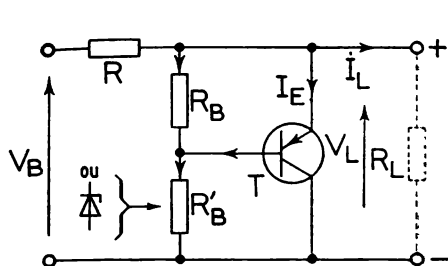


Fig. 38 — Stabilisation par T en parallèle

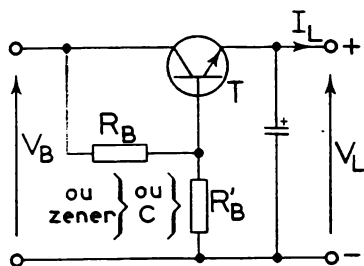


Fig. 39 — Stabilisation par T en série

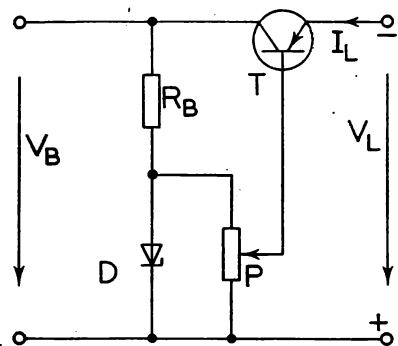


Fig. 40 — Variante de la fig. 39

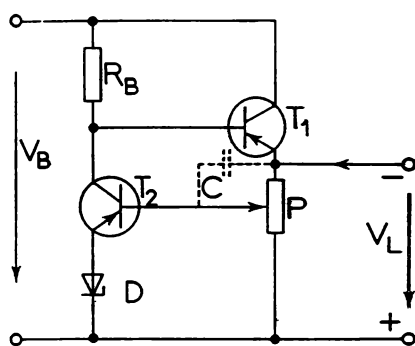


Fig. 41 — Stabilisation asservie

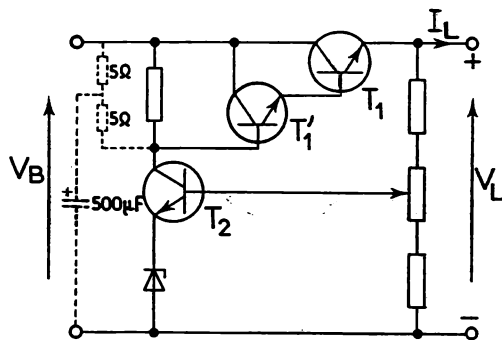


Fig. 42 — Accroissement de $I_{L\max}$

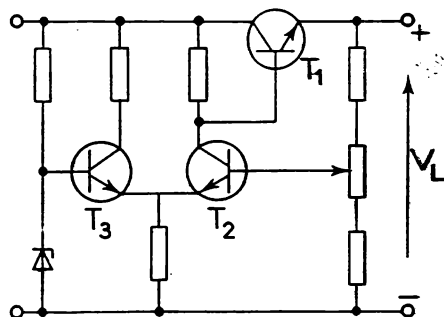


Fig. 43 — Réduction de l'effet dû à Δt par montage différentiel

Variante : Fig. 42 - L'emploi d'un montage Darlington à la place de T_1 permet d'augmenter le courant maximal dans la charge et de réduire la résistance de sortie du montage. Le filtre en pointillés permet une réduction du taux d'ondulation.

Fig. 43 - L'emploi d'un amplificateur différentiel à la place de T_2 permet de réduire l'effet des variations de température Δt surtout sensible sur le transistor $T_2 (V_{BE2}, r)$. Avec une paire différentielle l'augmentation est la même sur T_2 et T_3 et les deux tensions comparées sont indépendantes de t (dérive thermique $< 10 \mu V/^{\circ}C$).

5° Limitation de courant (fig. 44)

Lorsque I_L atteint une certaine valeur, V_R atteint la tension de seuil ($V_{BE2} = 0.6 \text{ à } 0.8 \text{ V}$) qui rend T_2 conducteur, $|V_{CE2}| = |V_{BE1}|$ d'où $I_{BT1} \searrow$ et $|V_{CE1}| \nearrow$ (voir caractéristiques $I_C(V_{CE})$ des transistors avec droite de charge). La tension V_L s'effondre en sortie. La deuxième partie de la courbe $V_L(I_L)$ peut être utilisée comme principe de régulateur de courant. Une diode électroluminescente dans le circuit dérivé de T_2 permet de signaler le dépassement du seuil (surcharge).

Une variante (montage à disjoncteur ou à délestage) est utilisée sur les alimentations stabilisées à circuits intégrés (fig. 45). Dans ce cas le courant de sortie s'effondre en même temps que la tension.

6° Stabilisation à circuits intégrés

Les principes étudiés ci-dessus servent de base à la réalisation d'alimentations stabilisées à circuits intégrés : régulation série (fig. 46) ou parallèle, avec amplificateur de courant supplémentaire à transistors pour forts débits (fig. 47). Leur avantage réside dans la réduction des prix et de l'encombrement. On peut équiper ainsi chaque carte de circuits intégrés d'une alimentation stabilisée individuelle.

L'intégration comprend généralement :

- un ballast,
- un ampli. de comparaison.
- une diode Zener ou mieux une tension de référence élaborée à partir d'un transistor et donnant une régulation plus stable dans le temps.
- une protection limitant le courant de sortie,
- une protection thermique.
- une protection de la charge en cas de court-circuit du ballast.

7° Stabilisation d'intensité (fig. 48)

Si $|I_L| \nearrow$ la chute de tension dans $R_1 \nearrow$, comme $V_Z = C^e$, $|V_{BE1}| \searrow$ d'où $I_B \searrow$ et $|I_L| \searrow$. Il y a bien régulation. Avec un transistor supplémentaire on peut réaliser une alimentation de puissance (fig. 49). Les alimentations stabilisées en courant ont des résistances internes de quelques dizaines de $k\Omega$.

8° Alimentations à découpage (fig. 56)

Elles sont réservées pour des alimentations à forte consommation (Téléviseurs...).

Avantages : Le poids et le volume sont divisés par 6 à 10 et le rendement atteint 70 à 80 % (30 à 50 % pour une alimentation ordinaire qui nécessite des radiateurs de grandes dimensions pour dissiper l'énergie perdue).

Suppression du transformateur de secteur, volumineux. Il est remplacé par un transfo. d'impulsions à ferrite dont les pertes magnétiques sont réduites et qui supporte un fort courant sans saturation.

Inconvénients : Facteur de stabilisation moins bon que les alimentations à régulation série (10^{-3} au lieu de 10^{-4}). Courant de départ important (forte chute en ligne). Il faut des blindages efficaces pour éviter les parasites provoqués par la tension hachée à 20 kHz.

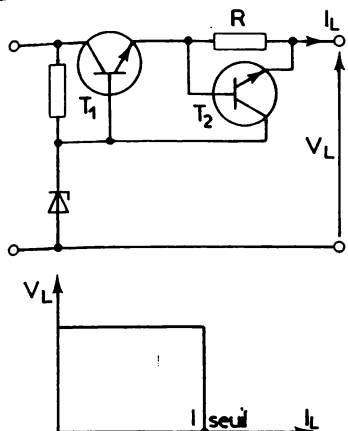
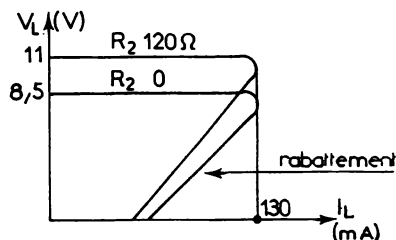


Fig. 44 — Limitation de courant



$$V_L = V_1 \left(1 + \frac{R_2}{R_1} \right) + I_G R_2 \text{ (voir Fig 46)}$$

$$V_B = 18V$$

$$V_L = 8,5 \text{ à } 11V$$

$$R_S \approx 100 \text{ m}\Omega \text{ (résistance de sortie)}$$

Fig. 45 — Caractéristiques du TBA 435

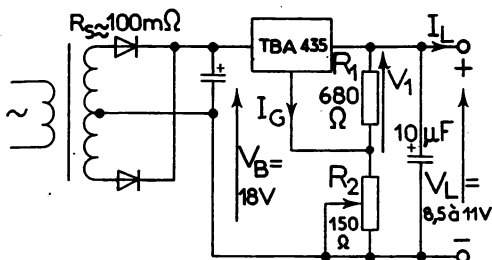


Fig. 46 — Alimentation à circuit intégré
 $R_S = 100 \text{ m}\Omega$ — Sortie réglable 8,5 à 11 V
 $I_L < 130 \text{ mA}$ $S \leq 1 \%$

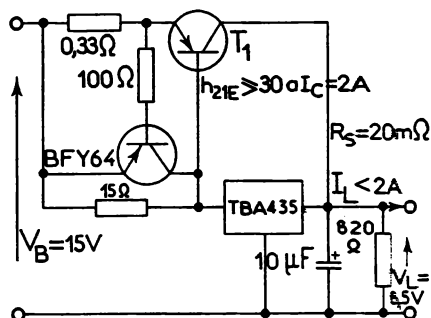


Fig. 47 — Alimentation à circuit intégré
de puissance $I_L < 2 \text{ A}$

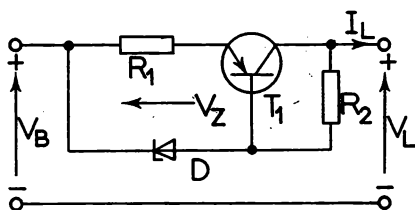


Fig. 48 — Régulation d'intensité

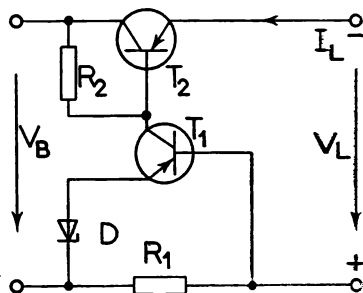


Fig. 49 — Régulation d'intensité
de puissance

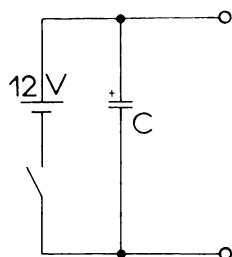


Fig. 50 — Alimentation sur pile

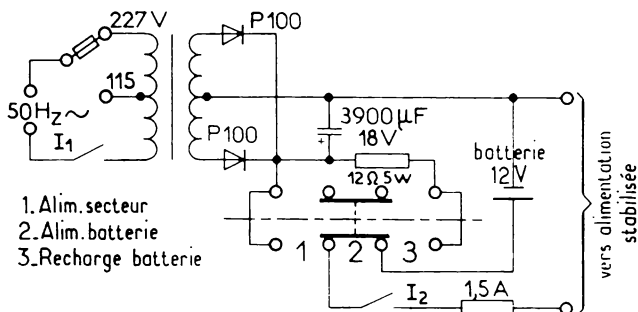


Fig. 51 — Alimentation mixte batterie-secteur

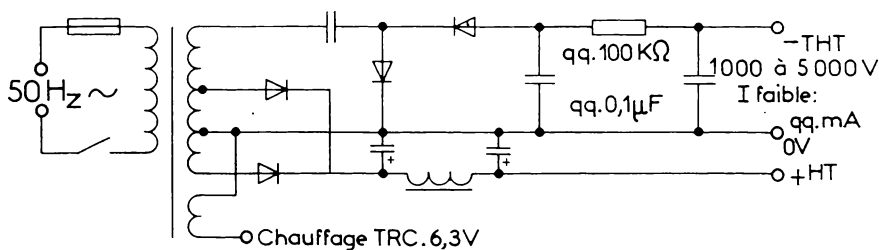


Fig. 52 — Alimentation pour oscillographe

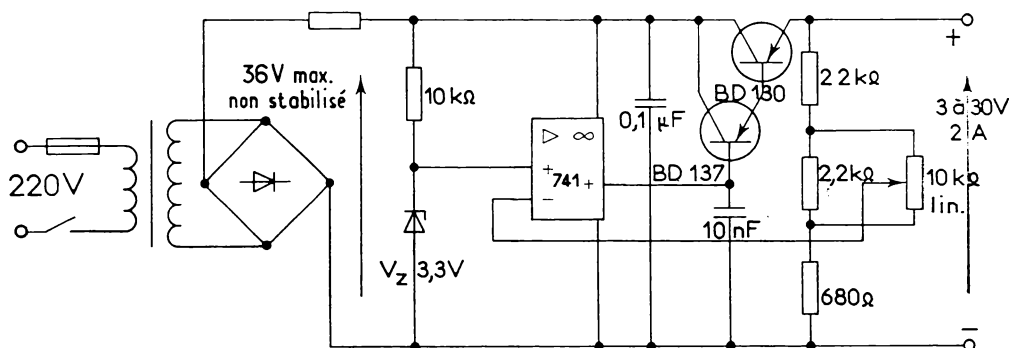
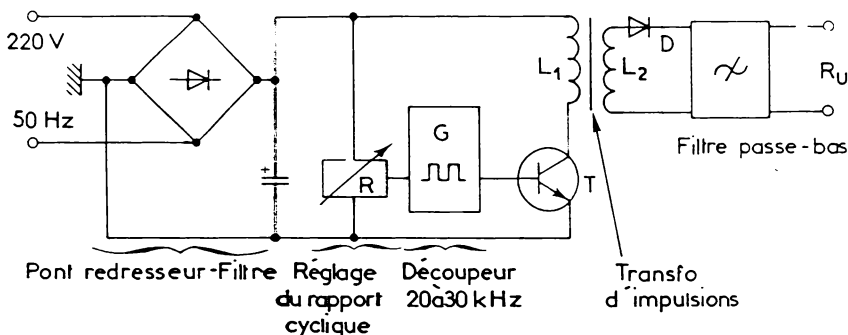
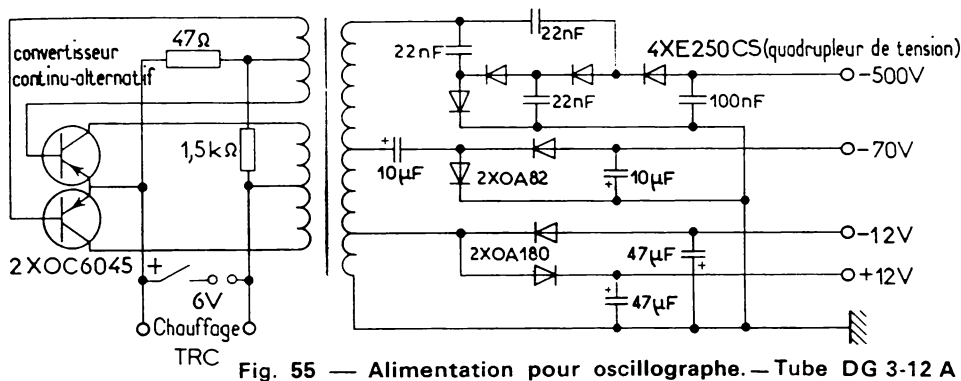
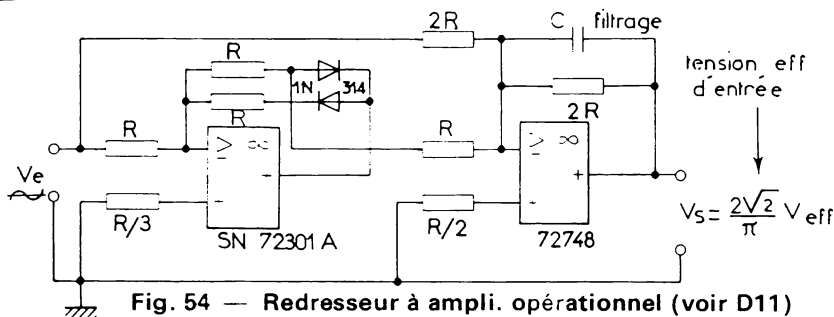


Fig. 53 — Alimentation stabilisée avec circuit intégré



Etat 1 du signal découpé: T bloqué. L_1 se charge à travers l'entrée. D bloquée
 Etat 2: T ouvert. Sur-tension apparaît aux bornes de L_1 (loi de Lenz). V change de signe et la puissance est transmise au secondaire à travers D débloquée.
 $20\text{ kHz} \rightarrow 50\text{ }\mu\text{s} \ll 20\text{ ms} \rightarrow 50\text{ Hz}$. On peut admettre que L_1 se charge à $U\text{ C}^{\text{te}}$.
 $V_{RU} \sim \frac{1}{2} L_1^2 (I\text{:courant au moment du passage de l'état 1 à l'état 2})$

Fig. 56 — Principe d'une alimentation à découpage

1 - TRANSISTOR EN EC ⁽¹⁾. GÉNÉRALITÉS

Les montages à transistors présentent une borne commune aux circuits d'entrée et de sortie du quadripôle: d'où l'expression «émetteur-commun» ou EC, équivalente à «cathode commune» d'une triode à vide. Le montage EC est le plus utilisé.

1° Fonctionnement en continu ⁽²⁾ (fig. 1)

La tension positive de la base par rapport à l'émetteur abaisse la barrière de potentiel. L'émetteur injecte des électrons dans la base à travers la jonction émetteur-base. L'épaisseur de la base étant faible, les électrons abordent la jonction collecteur-base sans se recombiner aux trous libres de la base. Ils sont alors propulsés dans le collecteur après avoir traversé la jonction collecteur-base. (Rappelons que le déplacement d'un trou positif correspond au déplacement d'un électron en sens inverse.) En réalité un faible pourcentage d'électrons (3 % environ) se recombinent dans la base donnant naissance au courant de base.

$$I_E + I_B + I_C = 0 \text{ (avec les conventions de signes du quadripôle) } ^{(3)}$$

2° Fonctionnement en alternatif (fig. 2)

Si on applique un signal alternatif sur la base, on le retrouve amplifié sur le collecteur. Pour une faible variation du courant i_b , on peut commander une variation importante du courant i_c , et obtenir un transfert de puissance appréciable (ce qui fait tout l'intérêt du transistor).

Pour un PNP quand la tension négative de base augmente, I_b et I_c augmentent.

Pour un NPN quand la tension positive de base augmente, I_b et I_c augmentent.

— La base est commandée par ses variations de courant.

— La base et le collecteur ont des polarités de même signe, négatives pour un PNP, positives pour un NPN.

— Le montage EC amplifie en courant et en tension.

Les trois sortes d'utilisations sont :

- Transistors pour signaux forts* : utiliser les méthodes graphiques sur les réseaux de caractéristiques.
- Transistors pour signaux faibles* : en AF, utiliser les paramètres h , en HF les paramètres y .
- Transistors pour commutation* : tenir compte des temps de réponse.

3° Réseaux de caractéristiques (fig. 3)

Les quatre réseaux sont établis à partir des paramètres I_B I_C V_{BE} V_{CE} .

- Réseau I_C (V_{CE})* : caractéristique de sortie

Chaque caractéristique est relevée à courant I constant. Le courant collecteur I_C dépend fortement du courant I_B , mais peu de la tension.

La tension de déchet est très faible et ne dépasse guère 0,5 V.

$$\text{Admittance de sortie : } \frac{\Delta I_C}{\Delta V_{CE}} = \operatorname{tg} \varphi_{22} = h_{22e}.$$

(1) EC : émetteur commun ; BC : base commune ; CC : collecteur commun.

(2) Le schéma étudié utilise un transistor NPN. Dans le cas d'un transistor PNP, il faut inverser les polarités et raisonner physiquement avec les courants de trous positifs au lieu des courants d'électrons négatifs.

(3) Le courant est compté positif lorsqu'il se dirige vers le transistor.

En traits interrompus : trajet des électrons

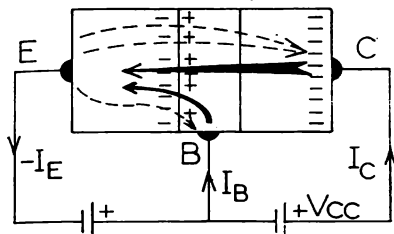


Fig. 1 — Transistor NPN en E. C.

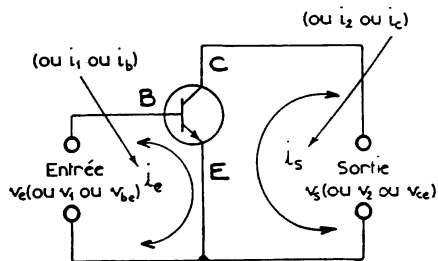


Fig. 2 — Schéma simplifié du point de vue alternatif

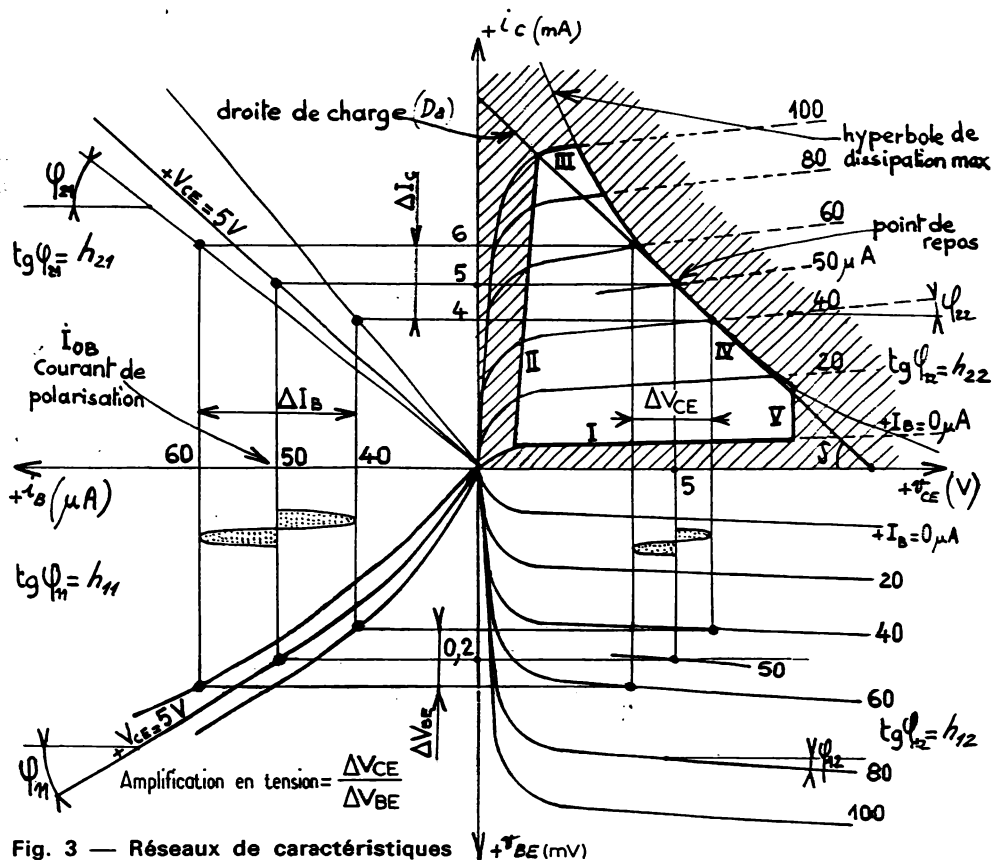


Fig. 3 — Réseaux de caractéristiques $V + V_{BE} \text{ (mV)}$

Le choix du point de repos et le tracé de la droite de charge doivent être tels que le point de fonctionnement ne tombe pas dans la zone hachurée limitée par les lignes I à V . L'amplitude du signal d'entrée doit être limitée en conséquence.

- Ligne I: Caractéristique $I_B = 0$.
- Ligne II: Limite des tensions de déchet.
- Ligne III: Courant collecteur maximal admissible.
- Ligne IV: Dissipation maximale $P = V_{CE} I_C$ (hyperbole).
- Ligne V: Tension collecteur-émetteur maximale admissible.

b) Réseau $I_C(I_B)$. Caractéristiques de transfert

Elles permettent de savoir comment varie le courant I_C , en fonction du courant I_B , la tension V_{CE} étant constante. On peut vérifier l'amplification en courant ($\Delta I_C / \Delta I_B$).

$$\text{Amplification en courant: } \beta = \frac{\Delta I_C}{\Delta I_B} = \text{tg } \varphi_{21} = h_{21e}.$$

c) Réseau $V_{BE}(I_B)$. Caractéristiques d'entrée

Elles renseignent sur la valeur de la tension nécessaire entre base et émetteur (tension de polarisation) pour obtenir un courant de base donné (courant de polarisation) déterminant un certain courant collecteur.

$$\text{Impédance d'entrée: } \frac{\Delta V_{BE}}{\Delta I_B} = \text{tg } \varphi_{11} = h_{11e}.$$

d) Réseau $V_{BE}(V_{CE})$. Caractéristiques de réaction

Elles permettent de déterminer le rapport de réaction, c'est-à-dire l'influence de la variation de la tension de sortie sur la tension d'entrée.

$$\text{Rapport de réaction: } \frac{\Delta V_{BE}}{\Delta V_{CE}} = \text{tg } \varphi_{12} = h_{12e}.$$

La réaction faible ($\approx 10^{-4}$) est négligeable dans la plupart des cas.

e) Relations entre les paramètres hybrides

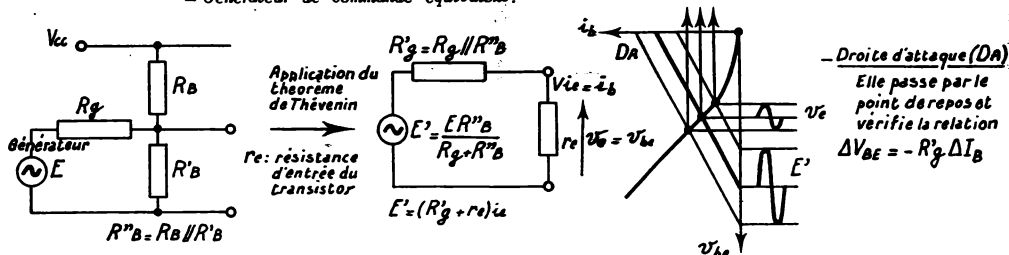
$$\begin{aligned} v_{be} &= h_{11} \cdot i_b + h_{12} \cdot v_{ce} \quad (\text{ou } v_1 = h_{11} \cdot i_1 + h_{12} \cdot v_2) \\ i_c &= h_{21} \cdot i_b + h_{22} \cdot v_{ce} \quad (\text{ou } i_2 = h_{21} \cdot i_1 + h_{22} \cdot v_2) \end{aligned}$$

- Indices: 11, entrée; 22, sortie;
21, transfert en direct; 12, transfert en inverse;
1, indice des signaux d'entrée; 2, indice des signaux de sortie.

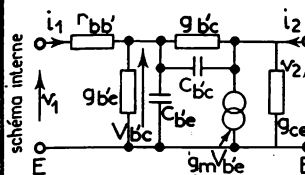
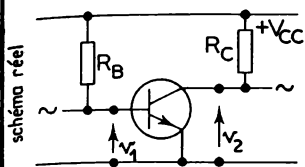
II - TRANSISTOR AMPLIFICATEUR - MONTAGE EC

1° Schémas et relations usuelles

- Notation des courants, tensions, résistances: voir pages 4 à 7.
- Schéma réel (fig. 21).
- Générateur de commande équivalent:

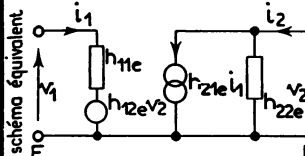


MONTAGE EC fig 4 à 6



$$10\Omega < r_{bb'} < 100\Omega \quad 1\text{pF} < C_{bc} < 10\text{pF} \quad 100\text{pF} < C_{be} < 1000\text{pF}$$

$$20\text{k}\Omega < r_{ce} < 200\text{k}\Omega \quad 200\text{k}\Omega < r_{bc} < 20\text{M}\Omega \quad r_{be} \text{ qq.k}\Omega$$



$$r_e = r_{bb'} + r_{be} \left(1 - \frac{g_{ce}}{2g_{ce} + 1/R_L} \right)$$

si $R_L \ll r_{ce}$ $r_e \approx r_{bb'} + r_{be}$

$r_e \approx h_{11e}$ moyenne 0,5 à 2k Ω

$$C_e = C_{be} + C_{bc}(1 + g_m R_L)$$

$$r_s = \frac{r_{ce}}{2} \left(1 + \frac{r_{be}}{r_{be} + 2(r_{bb'} + R_g)} \right)$$

si $R_g \gg r_{bb'} + r_{be}$ $r_s \approx \frac{r_{ce}}{2}$

$r_s \approx \frac{1}{h_{22e}}$ moyenne 10 à 100k Ω

$A_i = \frac{h_{21e}}{1 + 2R_L/r_{ce}}$ si $R_L \ll r_{ce}$

$A_i \approx h_{21e}$ grande 50 à 200

$A_v \approx \frac{-h_{21e} R_L}{r_{bb'} + r_{be}}$ si $R_L \ll r_{ce}$

$A_v \approx -\frac{h_{21e} R_L}{h_{11e}} = -g_m R_L$ moyenne 100 à 200

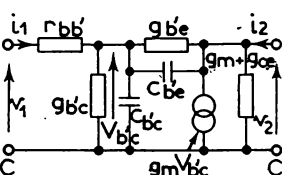
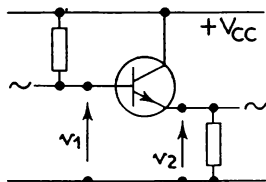
$$\varphi = 180^\circ$$

$$A_p = |A_v| A_i = \frac{(h_{21})^2}{h_{11}} R_L$$

$$G_p = 25 \text{ à } 60 \text{ dB}$$

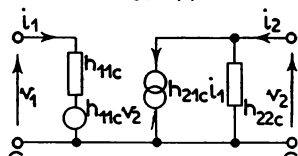
$$f_{h21e} = \frac{1}{2\pi r_{be} C_{be}} \approx 15 \text{ kHz}$$

MONTAGE CC fig 7 à 9



$$10\Omega < r_{bb'} < 100\Omega \quad 1\text{pF} < C_{bc} < 10\text{pF} \quad 100\text{pF} < C_{be} < 1000\text{pF}$$

$$20\text{k}\Omega < r_{ce} < 200\text{k}\Omega \quad 200\text{k}\Omega < r_{bc} < 20\text{M}\Omega \quad r_{be} \text{ qq.k}\Omega$$



$$r_e \approx r_{bb'} + r_{be} + (h_{21e} + 1) R_L$$

si $R_L \ll r_{ce}$

$r_e \approx h_{11e} + h_{21e} R_L$

grande 200k Ω

$$r_s \approx r_e + (r_{bb'} + R_g)(1 + h_{21b})$$

si $R_g \ll h_{21e} r_{ce}$

$r_s \approx \frac{h_{11e}}{h_{21e}} \approx \frac{1}{g_m}$

faible 10 Ω à 100 Ω

$A_i \approx -(h_{21e} + 1)$

50 à 200

$$A_v \approx \frac{R_L}{R_L + r_e + r_{bb'}(1 + h_{21b})}$$

si $R_L \ll r_{ce}$

$$A_v = \frac{g_m R_L}{1 + g_m R} < 1 \approx 1$$

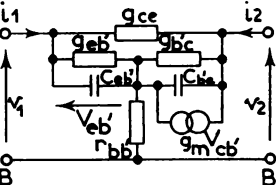
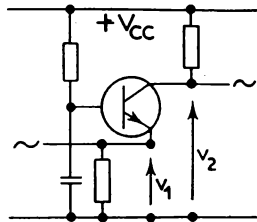
$$\varphi = 0$$

$$A_p = A_v A_i$$

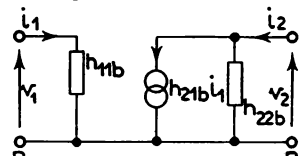
$$G_p = 5 \text{ à } 15 \text{ dB}$$

$$f_{h21c} \approx f_{h21e} \approx 15 \text{ kHz}$$

MONTAGE BC fig 10 à 12



Pente: $g_m = 10 \text{ à } 70 \text{ mA/V}$



$$r_e \approx r_{eb'} + r_{bb'}(1 + h_{21b})$$

$r_e \approx \frac{h_{11e}}{h_{21e} + 1}$

faible 30 à 100 Ω

$r_s \approx \frac{h_{21e} r_{ce}}{2}$ si $R_g \ll h_{21e} r_e + r_{bb'}$

$r_s \approx$

1 à 10M Ω

$A_i \approx h_{21b}$

petite -0,95

si $R_L \ll h_{21e} r_{ce}$

$v \approx \frac{-h_{21b} R_L}{r_e + r_{bb'}(1 + h_{21b})}$ si $R_L \ll r_{ce}$

$A_v \approx g_m R_L$ moy. 100 à 200

$$\varphi = 0^\circ$$

$$A_p = A_v A_i$$

$$G_p = 15 \text{ à } 25 \text{ dB}$$

$$f_{h21b} \approx \frac{1}{2\pi r_e C_{be}} \approx 450 \text{ kHz}$$

$$h_{11e} = r_{bb'} + r_{be} \quad h_{12e} = r_{be}/r_{bc}$$

$$h_{21e} = g_m r_{be} = \beta$$

$$h_{22e} = 2g_{ce} = 2/r_{ce}$$

— *Commande par tension* (excitation en tension): $\boxed{R'_g \ll r_e}$ et $v_e = E'$. Toute la tension du générateur est appliquée à l'entrée. La droite d'attaque D_A est horizontale.

— *Commande par courant* (excitation en courant): $\boxed{R'_g \gg r_e}$ et on a $i_e = E/R'_g$. Le courant d'entrée est indépendant de la résistance d'entrée. La droite d'attaque D_I est verticale.

— *Commande réelle du transistor ou commande mixte*: en réalité la commande est intermédiaire entre les deux cas précédents. La droite d'attaque est oblique (voir figure du bas de la page 32). Sur la figure 17, on remarque que la commande par courant provoque moins de distorsion harmonique que la commande par tension.

— *Commande adaptée*: $\boxed{R'_g = r_e}$. Dans ce cas, on montre que le transfert de puissance entre le générateur et le transistor est maximal.

— *Schéma équivalent en alternatif* (fig. 14)

La sortie est équivalente à un générateur de courant $h_{21}i_b$ et de résistance interne r_s (on peut écrire encore $\rho = r_s = 1/h_{22e}$).

— *Pente d'un transistor* (fig. 17)

Pente interne (ou intrinsèque):
$$g_m = \frac{\Delta I_C}{\Delta V_{BE}} = \frac{h_{21e}}{h_{11e}} \quad \text{à } V_{CE} \text{ constante.}$$

Pente externe:
$$S = \frac{g_m}{1 + j r_{bb} \cdot C_{b'e} \omega} \quad 10 < S < 70 \text{ mA/V.}$$

En audio-fréquences A.F. on a: $S = g_m = y_{21}$ (y : paramètre admittance).

— *Droite de charge en continu* (D_c) (fig. 16) ⁽¹⁾

$V_{CE} = V_{CC} - R_C I_C$ (de la forme $y = b + ax$).

Elle est tracée sur le réseau $i_C(v_{CE})$ et permet de connaître les valeurs des courants et tensions au repos (I_{C0} , V_{CE0}). Elle coupe l'axe des tensions au point $V_{CE} = V_{CC}$.

— *Droite de charge en alternatif* (D_a): elle passe par le point de repos et vérifie la relation:

$$\boxed{\Delta V_{CE} = -R_L \cdot \Delta I_C} \quad \text{avec} \quad R_L = R_C \parallel R_L.$$

Pour éviter que le signal atteigne, pour les fortes amplitudes, les zones à distorsion (écrêtage, courbure des caractéristiques), le point de repos doit se trouver environ au milieu de (D_a) et, si l'on veut éviter l'emballement thermique du transistor: $V_{CE0} < V_{CC}/2$.

2° Différents modes de liaison

— *Liaison RC* (fig. 13)

La résistance R_B fixe le courant I_{0B} de polarisation. C_L permet de calculer chaque étage indépendamment en continu. Ce mode de liaison est simple et économique.

$$\boxed{C_L \gg \frac{1}{2\pi(R_{sT_1} + R_{eT_2})f_b}}$$

f_b : fréquence de coupure basse à -3 dB;
 R_{sT_1} : résistance de sortie de l'étage T_1 ;
 R_{eT_2} : résistance d'entrée de l'étage T_2 ;

$C_L = 0,1 \text{ à } 10 \mu\text{F}$ avec U_{acc} quelques volts, du type électrochimique alumine ou tantale.

— *Liaison par transformateur* (fig. 15 et voir B7)

Les transformateurs sont encombrants et coûteux et on cherche à les éviter. Ils permettent néanmoins un gain d'insertion en tension et une meilleure adaptation d'impédances.

— *Liaison directe* (voir B5)

Elle permet l'élargissement de la bande passante vers les très basses fréquences, mais les étages ne peuvent plus être calculés indépendamment du point de vue continu. La stabilisation des étages en température est plus délicate à réaliser.

(1) Dans le cas où l'étage comporte une résistance d'émetteur la droite de charge en continu devient:

$$V_{CE} = V_{CC} - (R_C + R_E) I_C.$$

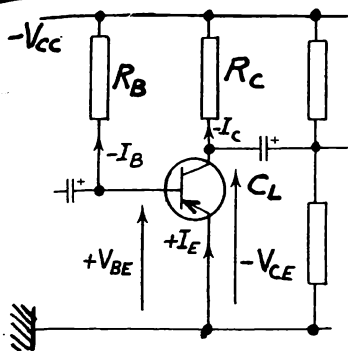


Fig. 13 — Liaison RC
Pour un NPN inverser tous
les signes ainsi que les sens
des courants et tensions

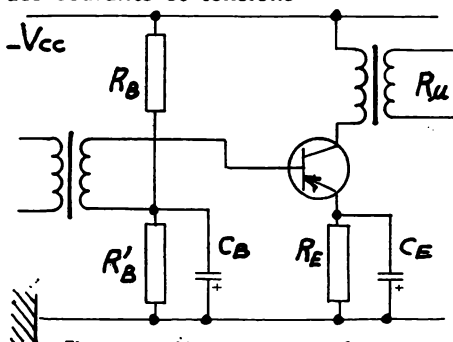


Fig. 15 — Liaison par transfo.

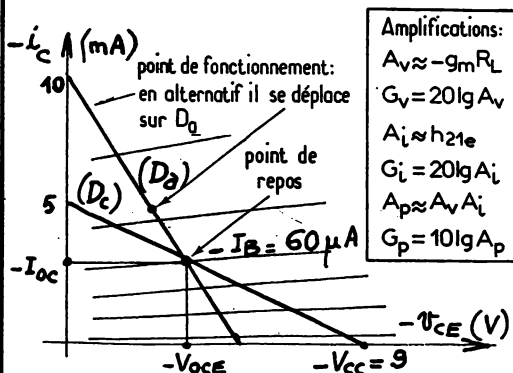


Fig. 16 — Droites de charge

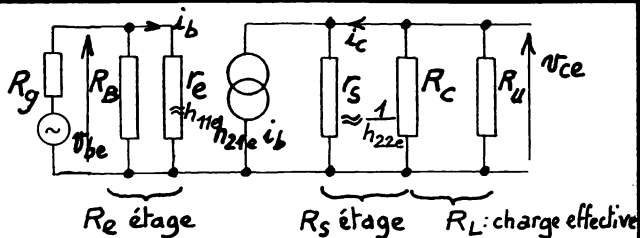


Fig. 14 — Schéma équivalent
Les valeurs des résistances r_e et r_s en fonction des
éléments physiques du transistor sont données à la
page 33

$$R \text{ d'entrée du transistor } r_e = \frac{h_{ie} + \Delta h_e R_c}{1 + h_{22e} R_c} \quad r_e \approx h_{ie}$$

$$R \text{ de sortie du transistor } r_s = \frac{1}{h_{22e}} \cdot \frac{h_{ie} + R_g}{\Delta h_{ie} + R_g} \quad r_s \approx \frac{1}{h_{22e}}$$

$$\Delta h_e = h_{ie} h_{22e} - h_{12e} h_{21e}$$

$$R \text{ d'entrée de l'étage } R_e = R_B // r_e$$

$$R \text{ de sortie de l'étage } R_s = R_C // r_s$$

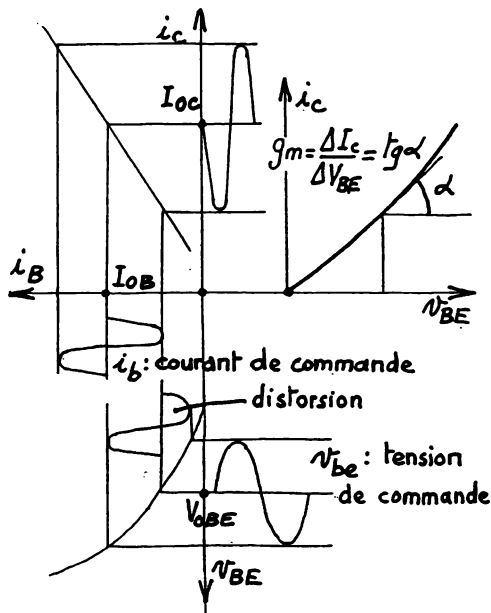


Fig. 17 — Commande du transistor

III - POLARISATION ET STABILISATION

1° Polarisation d'un transistor à effet de champ (TEC ou FET)

Elle consiste à rendre négative la porte (ou grille) par rapport à la source. On utilise généralement la polarisation dite automatique (fig. 18). La porte est reliée à la masse par R_G à travers laquelle il ne passe aucun courant. La porte est donc au potentiel de la masse. La chute de tension à travers R_S assure la polarisation. On l'appelle automatique car si pour une cause quelconque $|I_D|$ / $|V_{GS}|$ / et $|I_D|$ (régulation). On choisit la tension au repos $V_{OG} = V_P/2$ et on a $I_{OD} = \frac{I_{DSS}}{(V_P/V_{OG})^2}$.

2° Polarisation d'un transistor bipolaire

a) *Par pont diviseur entre V_{CC} et la masse* (fig. 21). C'est le pont diviseur R_B , R'_B qui fixe la tension de polarisation V_{OBE} . Pour rendre V_{BM} plus constant quelle que soit la variation sur I_B on fait traverser le pont diviseur par un courant $\gg I_B$. Afin d'obtenir une bonne stabilité thermique on complète par R_E .

b) *Par pont diviseur entre collecteur et point commun* (fig. 20). Il y a réaction négative, d'où l'amplification en courant diminue (voir C3). La stabilité en température est améliorée.

c) *Par liaison directe*. Chaque transistor sert à polariser le suivant (voir B5).

3° Stabilisation thermique des T bipolaires (fig. 19)

- Transistor au Ge : c'est la variation ΔI_{CB_0} , qui est prépondérante ($I_{CB_0} \times 2$ pour $\Delta t = 10^\circ\text{C}$). I_{CB_0} de quelques μA est donné sur catalogues. On montre que $I_C = h_{21E}(I_B + I_{CB_0})$ donc quand t / I_C .

- Facteur de stabilité $S = \frac{\Delta I_C}{\Delta I_{CB_0}} \begin{cases} S < 10 & \text{stabilité satisfaisante} \\ S < 5 & \text{stabilité excellente.} \end{cases}$

- Transistor au Si : c'est la variation ΔV_{BE} qui est prépondérante ($\Delta V_{BE} \approx -2 \text{ mV}/^\circ\text{C}$).

Donc quand $t / |V_{BE}| \searrow |I_B| \nearrow$ par déplacement de la caractéristique d'entrée $i_B(V_{BE})$ qui se rapproche de l'axe i_B .

- Facteur de stabilité $S' = \frac{\Delta I_C}{\Delta V_{BE}} \begin{cases} |S'| < 5 \text{ mA/V} & \text{bonne stabilité} \\ |S'| < 1 \text{ mA/V} & \text{stabilité excellente.} \end{cases}$

a) Stabilisation par résistance d'émetteur R_E (réaction série, fig. 21)

Pour le germanium si $t / |I_C| \nearrow |V_{RE}| \nearrow$ si $|V_{BE}| = C^{te} |V_{BE}| \searrow$ d'où $|I_B| \searrow$ et $|I_C| \searrow$.

Pour le silicium raisonnement analogue : si $t / |V_{BE}| \searrow$ et $|I_C| \nearrow$ mais $|V_{RE}| \nearrow$ etc.

$$\begin{aligned} \text{Transistor au Ge :} \\ S &= \frac{h_{21E} + 1}{1 + h_{21E}(R_E/R_B + R_E)} \\ S \searrow \text{ si } R_E \nearrow \text{ et } R_B \nearrow \end{aligned}$$

$$\begin{aligned} \text{Transistor au Si :} \\ S' &= \frac{-h_{21E}}{(h_{21E} + 1)R_E + R_B} \\ S' \searrow \text{ si } R_E \nearrow \text{ et } R_B \nearrow \end{aligned}$$

Pour calculer R_E on détermine $R_B(R_B = R_B // R'_B)$ avec $I = 5 \text{ à } 10 I_{OB}$, puis on se fixe S ou S' . On découple ensuite R_E par C_E (calcul en C3).

b) Stabilisation par R_B entre collecteur et base (réaction parallèle, fig. 23)

Pour le germanium si $t / |I_C| \nearrow |V_{RC}| \nearrow$ et $|V_{CE}| \searrow$ d'où $|V_{BE}| \searrow$ soit $|I_B| \searrow$ et $|I_C| \searrow$.

$$\begin{aligned} \text{Transistor au Ge :} \\ S &= \frac{h_{21E} + 1}{1 + h_{21E}(R_C/R_B + R_C)} \\ S \searrow \text{ si } R_C \nearrow \text{ et } R_B \nearrow \end{aligned}$$

$$\begin{aligned} \text{Transistor au Si :} \\ S' &= \frac{-h_{21E}}{(h_{21E} + 1)R_C + R_B} \\ S' \searrow \text{ si } R_C \nearrow \text{ et } R_B \nearrow \end{aligned}$$

Pour calculer R_B on choisit le point de repos et R_C , puis on se fixe S ou S' .

Si on veut ne pas provoquer une C.R. en alternatif, on divise R_B en deux et on ajoute C .

c) Stabilisation par thermistance (fig. 22)

Lorsqu'une stabilisation par R_E n'est pas possible (amplificateurs de forte puissance avec I_E grand), on utilise une thermistance pour R'_B (seulement pour transistors au Ge).

Si $t / |I_C| \nearrow$ mais $R'_B \searrow$ d'où $|V_{BE}| \searrow |I_B| \searrow$ et $|I_C| \searrow$.

La résistance R tempère l'action de R'_B si nécessaire et permet un réglage plus précis.

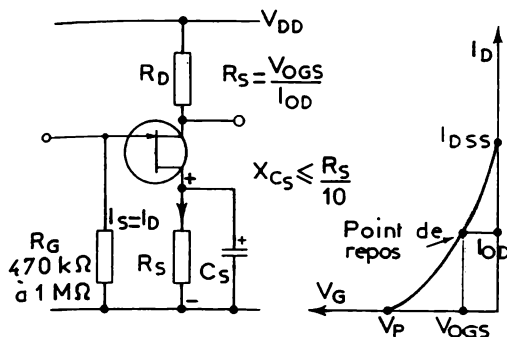


Fig. 18 — Polarisation d'un TEC canal N

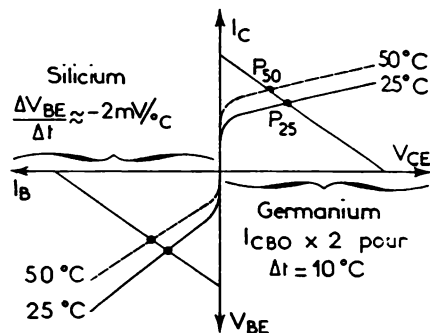


Fig. 19 — Influence de la température sur un transistor bipolaire

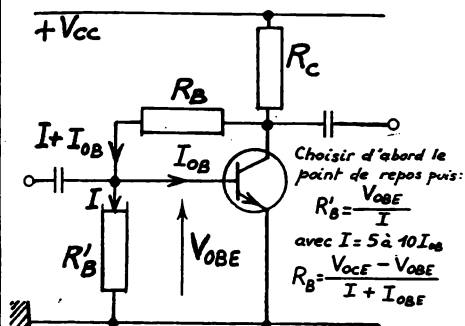


Fig. 20 — Polarisation par pont diviseur entre collecteur et la masse

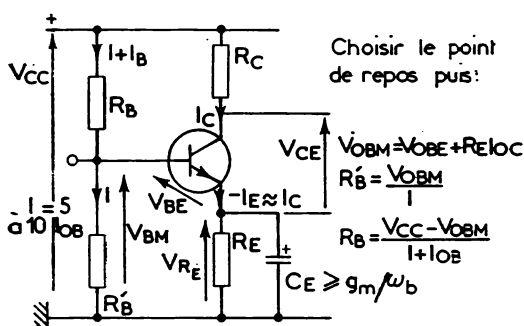


Fig. 21 — Polarisation par pont diviseur R_B R'_B et stabilisation par R_E

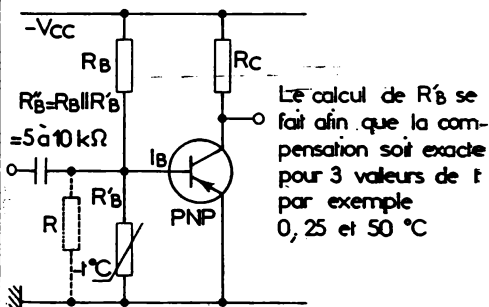


Fig. 22 — Stabilisation par thermistance

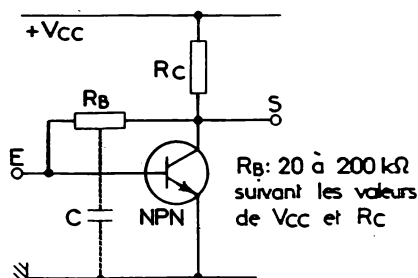


Fig. 23 — Stabilisation par réaction parallèle

d) *Stabilisation par diodes (fig. 25)*

Peut être utilisée sur transistor au Si avec diode D au silicium de même coefficient de température que la diode base-émetteur du transistor. La variation ΔV_{BE} est compensée si la diode Zener est choisie telle que, pour le courant qui la traverse, $V_Z = R_E I_E$.

IV - LIAISONS DIRECTES

Les amplificateurs à courant continu sont utilisés pour l'amplification de signaux jusqu'à des fréquences voisines de zéro, ou pour laisser passer et amplifier une composante continue variable. Ils nécessitent l'emploi de liaisons directes.

Leur mise au point est délicate car il est difficile de séparer le signal utile du signal parasite, provoqué par la dérive. Ils doivent être fortement stabilisés par réaction négative, thermistances, diodes de régulation, transistors complémentaires ou étages symétriques.

1° *Étages en cascade (fig. 24)*

La liaison est directe du collecteur de T_1 à la base de T_2 ainsi que de T_2 à T_3 . Chaque transistor sert à polariser le suivant. La méthode de compensation par réaction négative sur plusieurs étages est la plus utilisée car la compensation de dérive est réalisée quelle que soit l'origine de la dérive (température, tension d'alimentation, interchangeabilité). Le taux de réaction est $B_o = R_1/R_2$ (voir § C).

Inconvénients : L'étude statique est plus compliquée que dans le cas d'une liaison par condensateur. Chaque étage doit être calculé en tenant compte du précédent et du suivant. D'autre part à chaque étage la tension de base est décalée de V_{CE} du transistor précédent par rapport à la masse. Les points de repos ne peuvent plus être au milieu de la droite de charge et l'amplitude des signaux utiles est limitée.

2° *Liaison par résistance (fig. 25)*

La résistance R évite l'inconvénient précédent. Elle est parcourue (à I_{BT_2} près) par le courant du pont de résistances et compense le décalage de potentiel V_{CE} du transistor T_1 . Le point de repos de T_2 peut être mieux choisi. De plus R joue un rôle de stabilisation en température car si $I_{CT_1} \neq V_{BE_{T_2}}$.

Variante : Thermistance sur pont de base de T_2 (si étage de puissance) — T_1 et T_2 complémentaires. Sur circuits intégrés, R_{BT_2} est remplacée par un transistor (fig. 4 en D1).

3° *Liaison par diode Zener (fig. 26)*

Si l'éclairage de la cellule photoconductive \nearrow (par exemple 10 lux à 50 lux), $\rho \searrow$ (10 k Ω à 1 k Ω). T_1 se bloque et T_2 conduit fortement, le contact de relais se ferme. V_Z assure le décalage de potentiel. Le calcul des éléments de liaison se fait à partir des deux schémas simplifiés.

Avantage : Large bande passante (0 à qq. 100 MHz) car la résistance dynamique de la diode Zener est pratiquement nulle.

Inconvénient : Bruit de fond de la diode élevé.

4° *Amplificateur de différence (fig. 27)*

Dans la zone de fonctionnement linéaire lorsque $V_{e1} = V_{e2}$ on a $V_s = 0$. Si $V_{e1} \neq V_{e2}$

$$V_s = g_m R_L \Delta V$$

Ce montage est insensible à ΔV_{CC} et à Δt s'il est parfaitement symétrique. ($T_1 = T_2$, $R_{T1} = R_{T2}$, T_1 T_2 sur même radiateur, câblage symétrique.)

En pratique V_s n'étant pas défini par rapport à la masse, on préfère sortir la tension entre l'un des collecteurs et la masse : *tension de mode commun*. On démontre alors que $V_{C1} = -k(V_{e1} + V_{e2}) + \frac{1}{2} g_m R_L \Delta V$.

Et $k \rightarrow 0$ si $R_g \rightarrow \infty$ d'où l'intérêt d'une source à courant constant (fig. 28). Dans ce cas $V_{C1} \approx \frac{1}{2} g_m R_L \Delta V$

La qualité de l'ampli. est appréciée par la valeur de $1/k = \text{RRMC}$: Rapport de Réjection en Mode Commun.

Applications : Appareils de mesures, alimentations stabilisées, comparateurs ($V_{e1} = C^{te}$ = tension de référence), entrée des circuits intégrés linéaires (voir D1 à D4).

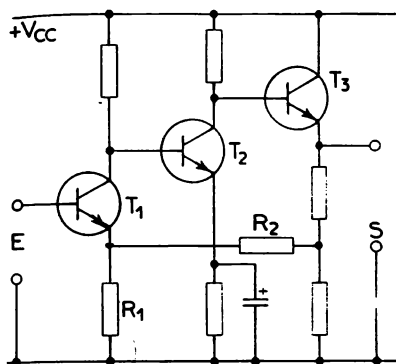


Fig. 24 — Etages en cascade

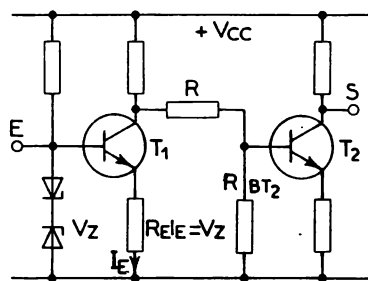


Fig. 25 — Liaison par résistance

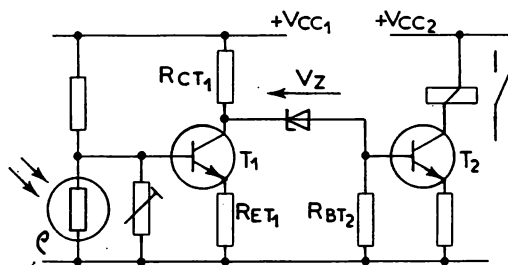


Fig. 26 — Liaison par diode Zener

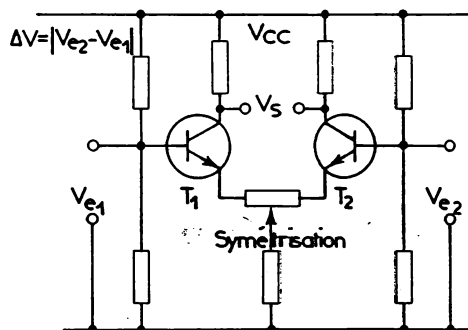
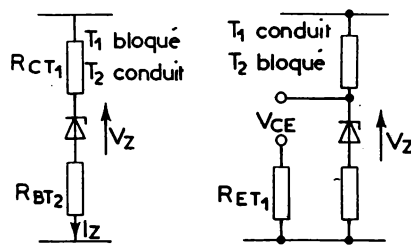


Fig. 27 — Amplificateur de différence

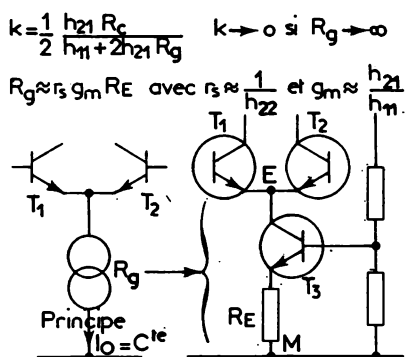


Fig. 28 — Source à courant constant

V - MONTAGE DARLINGTON

1° Principe (fig. 29)

Le montage Darlington est composé de deux transistors associés tels que :

- l'émetteur de l'un est relié à la base de l'autre,
- les deux collecteurs sont reliés.

Il se comporte comme un transistor unique ayant pour base celle de T_1 , pour émetteur celui de T_2 et, pour collecteur, les collecteurs de T_1 et T_2 réunis (fig. 30).

- L'amplification totale du montage h_{21D} est environ égale au produit des amplifications de chaque transistor ⁽¹⁾ :

$$h_{21D} = h_{21T_1} + h_{21T_2} + h_{21T_1} h_{21T_2} \quad \text{soit} \quad h_{21D} \approx h_{21T_1} h_{21T_2}$$

2° Avantages

- Amplification en courant très grand pouvant atteindre 20 000.
- Résistance d'entrée beaucoup plus grande : $h_{11D} = h_{11T_1} + h_{21T_2} h_{11T_2}$.
- Résistance de sortie beaucoup plus faible : $h_{22D} = h_{22T_2} + h_{21T_1} h_{22T_1}$.
- Meilleure stabilité : h_{21b} est plus constant que pour un seul transistor et le premier transistor est alimenté par une tension $V_{CC} - (R_C + R_E)I_C$, d'où une réaction négative importante (fig. 30).
- Meilleure linéarité par suite d'une certaine compensation entre les non-linéarités des deux transistors.

3° Variantes

Fig. 31 - La résistance R_1 dans le collecteur de T_1 évite l'emballement thermique.

La résistance R_2 permet de mieux choisir les points de repos car, dans ce cas, $I_{ET_1} > I_{BT_2}$.

La résistance R_3 assure une meilleure linéarité et un gain plus constant du fait de la réaction négative.

Fig. 32 - Darlington intégré. La diode assure la protection en cas d'inversion de la tension d'alimentation.

Fig. 33 - Un montage Darlington peut être réalisé avec deux transistors complémentaires.

Fig. 34 - Etage de sortie symétrique à deux montages Darlington.

4° Applications

Amplificateurs de puissance en AF : étages symétriques de 25-50-100 W. Alimentations stabilisées de puissance. Schémas internes de circuits intégrés linéaires. Allumage électronique. Commande de moteurs.

VI - AMPLIFICATION AF DE PUISSANCE : classe A

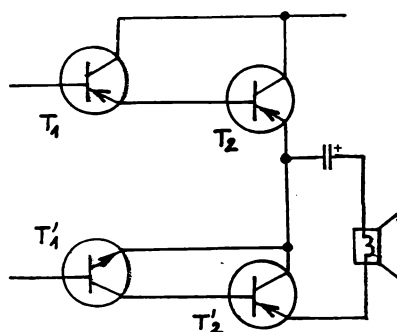
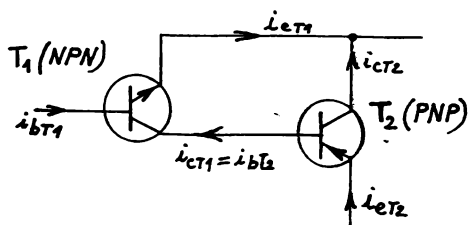
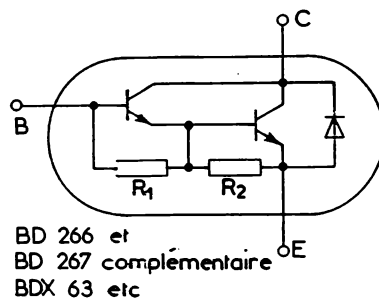
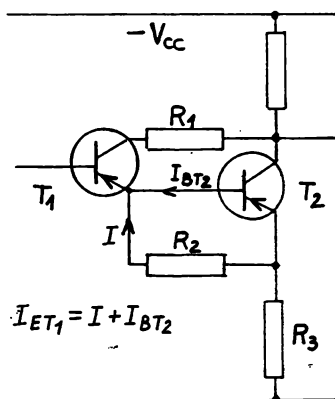
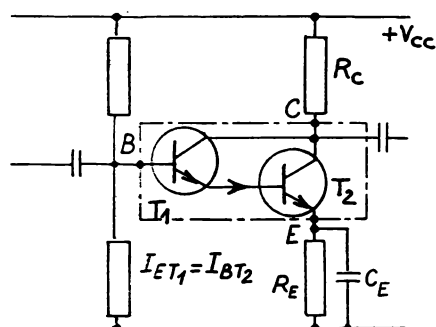
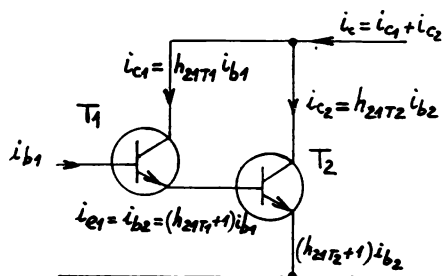
1° Notations à utiliser pour les puissances

| P d'entrée = P d'excitation | P fournie par la source (au transistor) | P de sortie = P modulée (au collecteur) | P dissipée au collecteur |
|------------------------------------|---|---|---|
| P_e $P_{e \max}$ | P_0 $P_{0 \max}$ | P_m $P_{m \max}$ | P_c $P_{c \max}$ |
| P instantanée et P moyenne | P fournie à l'étage compte tenu des R externes | P utile sur H.P. compte tenu des pertes | P dissipée sur l'étage compte tenu des R externes |
| P $P = \bar{p}$ | 1 transistor : P_b 2 transistors : $P_{b \text{ tot}}$ | P_u | 1 transistor : P_d 2 transistors : $P_{d \text{ tot}}$ |

La puissance totale moyenne dissipée par un transistor, P_{tot} donnée sur catalogue, est peu différente de la puissance P_c dissipée au collecteur :

$$P_{\text{tot}} = V_{CE} I_{OC} + V_{BE} I_{OB} \approx V_{CE} I_{OC} = P_c \quad (\text{en classe A})$$

(1) Tous les paramètres sont donnés en émetteur commun.



2° Etage de puissance, classe A fixe (fig. 35 et 36)

| | Classe A sans transformateur Charge R_C | Classe A avec transformateur Charge Z_L |
|---|--|---|
| Puissance moyenne fournie par la source | $P_0 = V_{CC} \cdot I_{0C}$ Avec $V_{CC} = 2 V_{0CE}$ $P_0 = 2 V_{0CE} \cdot I_{0C}$ | $P_0 = V_{CC} \cdot I_{0C}$ Avec $V_{CC} = V_{0CE}$ $P_0 = V_{0CE} \cdot I_{0C}$ |
| Puissance modulée ou puissance de sortie | $P_S = P_m = \frac{\hat{V}_S^2}{2 R_C}$ | $P_m = \frac{\hat{V}_S \hat{I}_S}{2}$ \hat{V}_S et \hat{I}_S : voir fig. 36 $P_S = P_m = \frac{\hat{V}_S^2}{2 Z_L}$ |
| Puissance modulée maximale | Si le point de repos est au milieu de la droite de charge et si elle est utilisée au maximum $P_{m \max} = \frac{V_{0CE} \cdot I_{0C}}{2}$ $P_{m \max} = \frac{V_{CC} I_{0C}}{4} = \frac{P_0}{4}$ | $P_{m \max} = \frac{V_{0CE} \cdot I_{0C}}{2}$ $P_{m \max} = \frac{V_{CC} I_{0C}}{2} = \frac{P_0}{2}$ |
| Rendement | $\eta = \frac{P_m}{P_0}$ Rendement max $\eta_{\max} = 25\%$ | $\eta = \frac{P_m}{P_0}$ $\eta_{\max} = 50\%$ |
| Puissance dissipée | Au repos $P_C = P_0 - R_C \cdot I_{0C}^2 = P_0/2$ En modulation maximale $P_{C \max} = 2 P_{m \max}$ | $P_C = P_0$ $P_{C \max} = P_{m \max}$ |

a) Sortie avec transformateur d'adaptation (fig. 35) (1)

– Droite de charge en continu (D_C): $V_{CE} = V_{CC} - (R_E + r_1) I_C$ elle est presque verticale.

– Droite de charge en alternatif (D_a): elle passe par le point de repos et vérifie la relation $\Delta V_{CE} = -Z_L \Delta I_C$ avec $Z_L = r_1 + \frac{Z_u + r_2}{n^2}$. Si $r_1 \ll Z_u$ et $r_2 \ll Z_u$ on a $Z_L = Z_u/n^2$.
Choisir un transistor dissipant quatre fois $P_{m \max}$.

b) Sortie sans transformateur (fig. 38)

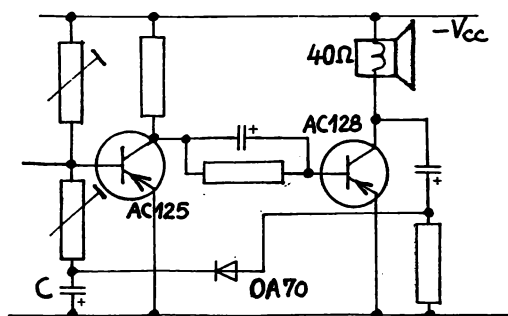
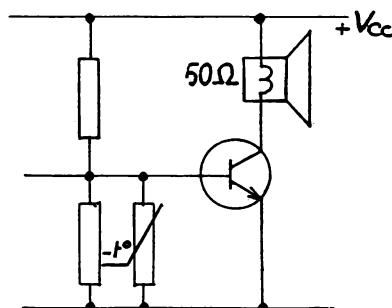
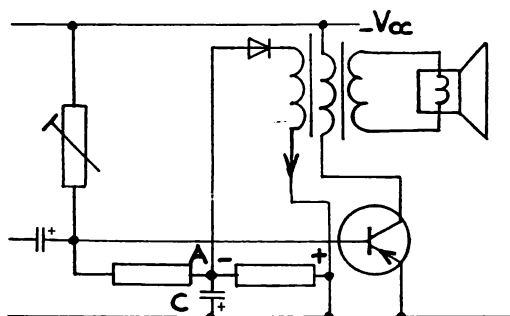
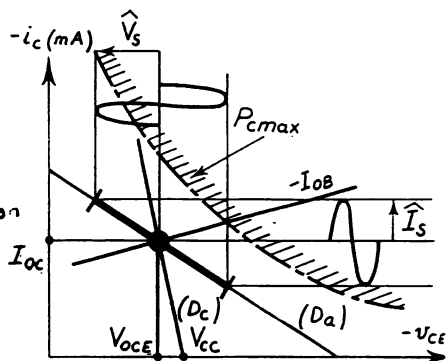
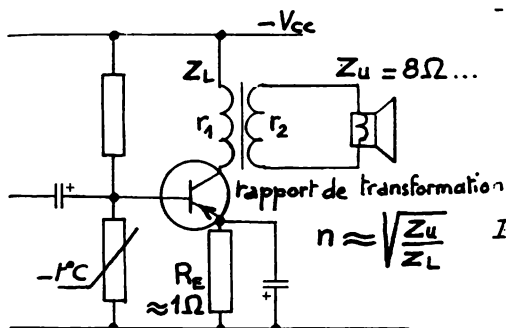
- La caractéristique de réponse est améliorée.
- L'encombrement, le poids et le prix sont diminués.
- Il faut un haut-parleur à impédance élevée ($Z_u = 70, 50, 25 \Omega$).
- Choisir un transistor dissipant deux à trois fois $P_{m \max}$.

3° Etages de puissance, classe A glissante (classe A')

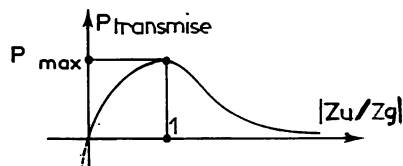
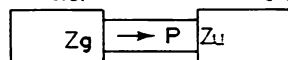
Le courant de polarisation est asservi à l'amplitude du signal et constamment égal à l'amplitude maximale de celui-ci. En l'absence de signal, le courant de polarisation I_{0B} est nul, et il est maximal en pleine modulation. La droite de charge se déplace parallèlement à elle-même suivant l'amplitude.

En classe A glissante, la puissance dissipée est nulle en l'absence de modulation. Cette classe permet une économie d'énergie. Choisir un transistor dissipant 2,5 fois la puissance modulée. Les figures 37, 39 montrent deux solutions adoptées en classe A'.

(1) La figure 40 montre l'intérêt de l'adaptation d'impédance. La puissance transmise de l'amplificateur au HP est maximale lorsque l'impédance du HP égale l'impédance du générateur. Lorsque l'impédance de sortie de l'amplificateur est trop différente de l'impédance du HP, il est nécessaire d'utiliser un transformateur d'adaptation.



Générateur: Ampli Micro etc. Récepteur: HP Ampli etc.



VII - DÉPHASEURS

Les étages symétriques (push-pull) utilisés sur amplificateurs de sortie en A.F. ou sur oscilloscopes doivent être attaqués par deux tensions égales et déphasées de 180° (en opposition de phase).

1° Déphaseur à transformateur

a) Principe (fig. 41)

L'enroulement secondaire du transformateur comportant un point milieu, lorsque la tension au point *A* augmente, la tension au point *B* diminue et inversement (opposition de phase).

b) Critique

Procédé simple. Les deux moitiés du transformateur doivent être rigoureusement symétriques. Un transformateur symétrique de qualité est un organe coûteux et encombrant ⁽¹⁾.

Ce montage est utilisé sur amplificateurs de forte puissance en sonorisation publique et sur les modulateurs pour émetteurs. Lorsque l'étage précédent doit fournir de la puissance à l'étage symétrique il porte, ainsi que le transformateur, le nom de «drivers».

2° Déphaseur émettodyne ou à charge répartie

a) Principe (fig. 42).

La tension de collecteur est en opposition de phase avec la tension d'émetteur. Pour avoir des amplitudes égales, la charge est répartie également : $R_C = R_E$.

L'amplification en tension est sensiblement égale à un.

b) Critique

La résistance d'entrée R_e est élevée (C.R. d'intensité). La capacité d'entrée est plus faible et la bande passante plus large. La résistance de sortie R_s plus faible du côté de l'émetteur occasionne parfois un déséquilibre. Dans ce cas, on y remédie en plaçant une résistance d'équilibrage R ou en réalisant 2 sorties en basse impédance (fig. 43). Classe A seulement.

Le fonctionnement est insensible aux variations de la tension d'alimentation.

Il faut équilibrer les câblages des sorties. Simplicité. Faible prix de revient.

3° Déphaseur à transistors complémentaires

a) Principe (fig. 44)

Supposons les 2 transistors bloqués au repos (classe B) ; pour l'alternance négative appliquée à l'entrée, le transistor T_2 du type PNP conduit alors que le transistor T_1 du type NPN est bloqué, et inversement pour l'alternance positive. Le signal complet est reconstitué aux bornes de la résistance commune d'émetteur R_u .

b) Critique

Les transistors T_1 et T_2 doivent avoir les mêmes caractéristiques et il faut deux alimentations. Une variante à une seule source d'alimentation est proposée à la figure 45. Les schémas équivalents des deux montages sont identiques en alternatif. La capacité du condensateur C doit être élevée (Z_C faible à la fréquence la plus basse à transmettre).

Les fabricants fournissant des transistors appariés, ce montage est fréquemment utilisé sur étage de sortie sans transformateur.

4° Déphaseur de Schmitt ou à R commune d'émetteur

a) Principe (fig. 46)

La tension de sortie v_{s1} du transistor T_1 est déphasée de 180° par rapport à la tension d'entrée v_e (montage EC). Le signal est d'autre part appliqué à la résistance d'émetteur (montage CC) et se retrouve toujours en phase avec v_e à la sortie du transistor T_2 (montage BC). Les deux signaux de sortie v_{s1} et v_{s2} sont donc bien en opposition de phase.

b) Critique

$v_{s1} = v_{s2} = h_{21} \cdot i_b \cdot R_L$ si $R_{C1} = R_{C2}$ (tol 1%) avec $R_E = h_{11e}$. La mise à la masse de la base de T_2 par C est déficiente aux fréquences très basses. (Dans ce cas, on peut faire la mise à la masse en alternatif par un transistor supplémentaire).

Ce montage est très utilisé sur les amplificateurs symétriques à liaisons directes employés sur oscillographes. Fonctionnement en classe A seulement.

(1) Voir technologie d'électronique du même auteur.

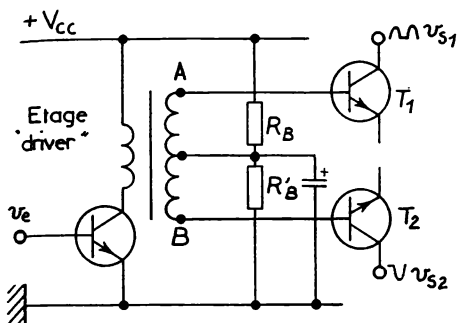


Fig. 41 — Déphasage par transformateur

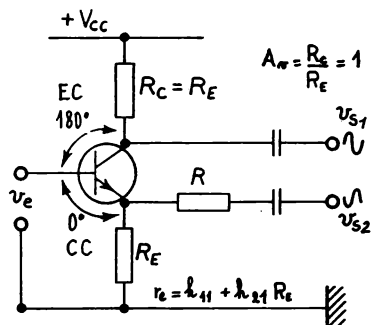


Fig. 42 — Déphaseur émettodyne

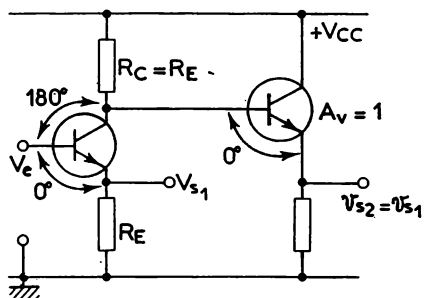


Fig. 43 — Déphaseur émettodyne : variante

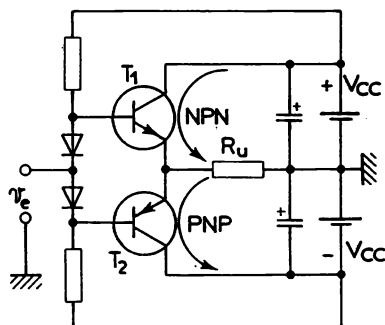


Fig. 44 — Déphaseur à transistors complémentaires

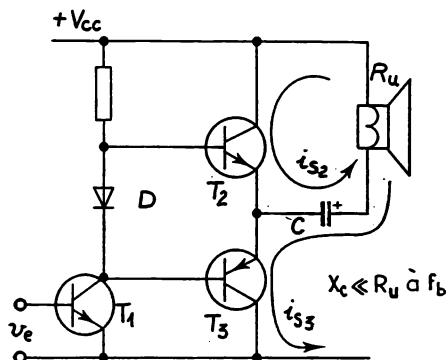


Fig. 45 — Variante à une source d'alimentation

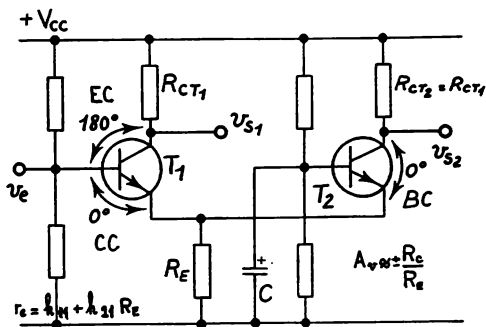


Fig. 46 — Déphaseur de Schmitt

VIII : ÉTAGES SYMÉTRIQUES

1° Avantages

- La puissance de sortie est 2 à 10 fois supérieure à celle d'un étage seul, suivant la classe utilisée.
- Les harmoniques pairs provoqués par la non linéarité des caractéristiques sont supprimés (fig. 51). Par contre, les harmoniques impairs ne sont pas supprimés (fig. 52). Leur niveau est faible et ils sont peu gênants.
- Les courants I_{C1} , I_{C2} créent des champs magnétiques en sens inverse dans le primaire du transformateur de sortie. Donc, pas d'aimantation permanente. Le transformateur peut travailler plus loin de la saturation et le circuit magnétique peut être plus réduit.
- Le filtrage de l'alimentation sur secteur peut être plus sommaire, car les composantes alternatives à 100 Hz circulent en sens contraire dans l'enroulement primaire, et leur résultante est nulle au secondaire.

2° Classe B avec transformateur de sortie (fig. 47)

En classe B les transistors sont bloqués en l'absence de modulation et chaque transistor amplifie une moitié de la sinusoïde.

- Puissance totale modulée : $P_{m\max} = \frac{Z_L \hat{I}_C^2}{2} = \frac{V_{CC} \hat{I}_C}{2}$ avec $Z_L = \frac{V_{CC}}{\hat{I}_C}$.
- Puissance totale fournie : $P_0 = 2 \frac{V_{CC} \hat{I}_C}{\pi}$.
- Puissance dissipée sur chaque collecteur : $P_{C\max} = \frac{V_{CC}^2}{\pi^2 Z_L} = \frac{V_{CC} \hat{I}_C}{\pi^2} \approx 0,2 P_{m\max}$.
- Rendement maximal $\eta_{\max} = \frac{P_{m\max}}{P_0} = \frac{\pi}{4} = 78,5\%$.

Dans le cas réel, compte tenu de la droite de charge qui n'est pas utilisée au maximum et d'un rendement de transformateur de 70 %, il faut choisir un transistor qui dissipe au moins $P_C > 0,4 P_u$.

Les amplificateurs en classe B donnent une puissance modulée maximale 5 fois plus grande qu'en classe A. Le taux de distorsion peut être diminué par une réaction négative sur un ou deux étages. L'impédance de charge est :

$$Z_L = Z_u / 4 n^2$$

et l'impédance collecteur à collecteur : $Z_{CC} = 4 Z_L$.

Tenir compte du fait que, lorsque le transistor est bloqué, il supporte le double de la tension V_{CE} entre collecteur et émetteur.

- **Fonctionnement** : quand l'un des transistors conduit, l'autre est bloqué, ce qui évite tout couplage entre les deux primaires du transformateur de sortie. L'étude se fait en traçant la droite de charge sur les caractéristiques composées (fig. 48). Si l'on suppose ces caractéristiques idéalisées, le point de repos qui correspond à $I_C = 0$ est sur l'axe des tensions et a pour coordonnées $I_C = 0$, $V_{CE} = V_{CC}$.

- Equation de la droite de charge (D_a). Elle passe par le point R et vérifie $\Delta V_{CE} = -Z_L \Delta I_C$.

Le réseau de caractéristiques indique sur la figure 50 les droites de charges pour différentes classes de fonctionnement A ou B, pour des valeurs V_{CC} et Z_L égales.

3° Classe AB

En classe B parfaite ($V_{OBE} = 0$) on aurait les formes de courant indiquées sur la figure 49. Ceci provient de la courbure du pied de la caractéristique $I_B (V_{BE})$ entraînant ainsi une *distorsion de raccordement*. On la supprime en polarisant les transistors à la tension de seuil de la diode base-émetteur soit 0,3 V (Ge) ou 0,6 V (Si). On ne doit pas découpler R_E par C_E qui conserverait une charge résiduelle maintenant le transistor au blocage.

La classe AB étant très proche de la classe B avec les transistors, on peut appliquer les résultats précédents : Z_L , P_m , P_C , η ...

Les montages sans transformateurs de 10 à 50 W sont les plus utilisés.

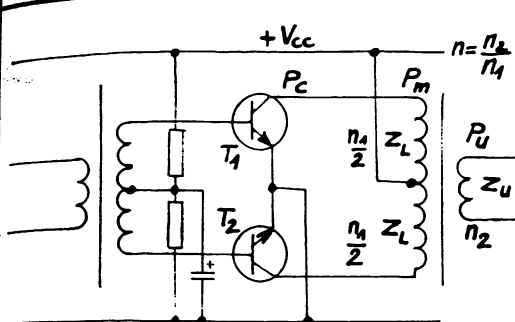


Fig. 47 - Etage de sortie symétrique avec transformateur

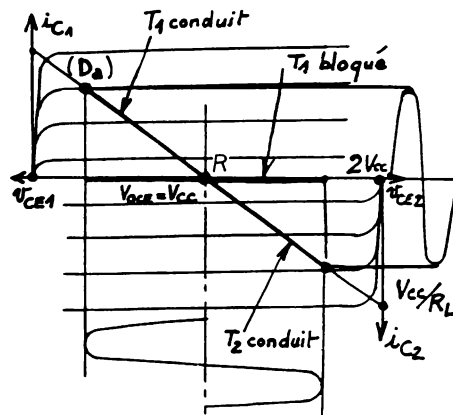


Fig. 48 - Caractéristiques composées

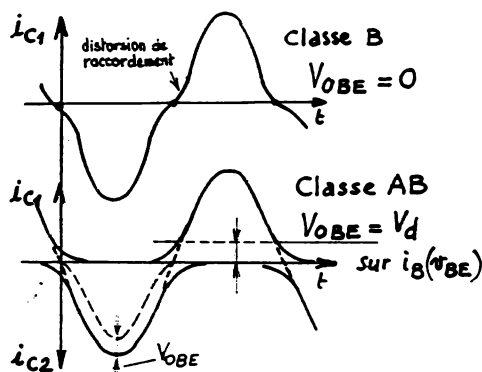


Fig. 49 - Amélioration apportée par la classe AB

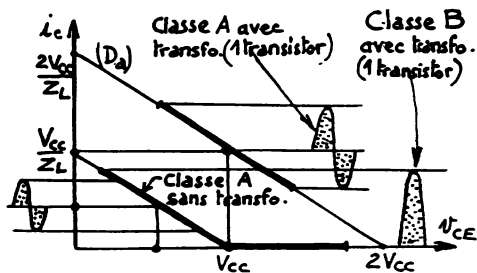


Fig. 50 - Comparaison des classes A et B

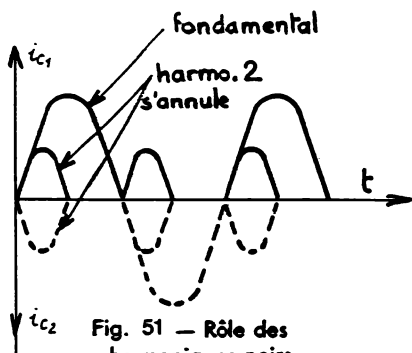


Fig. 51 - Rôle des harmoniques pairs

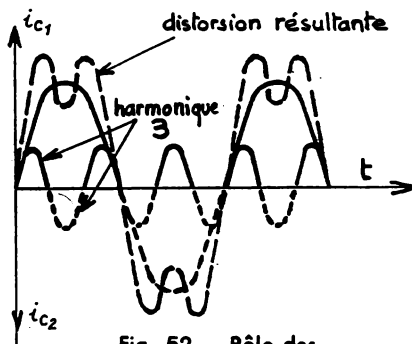


Fig. 52 - Rôle des harmoniques impairs

4° Utilisation des amplificateurs Darlington

Leur principe a été exposé en B6. La forte amplification en courant justifie leur emploi comme amplificateurs de puissance sur les étages de sortie en A.F. D'autre part leur faible impédance de sortie facilite l'adaptation sans transformateur au HP. Plusieurs variantes peuvent être utilisées à transistors séparés (fig. 53 à 55) ou intégrés (voir B6). La polarisation doit être calculée en fonction de chaque variante, en classe AB : Tension au repos de chaque transistor égale à la tension de seuil de la diode base-émetteur.

Application : Voir figure 61.

5° Variantes de polarisation

Les transistors de puissance sont soit au Ge soit au Si polarisé à 0.3 V (Ge) ou 0.6 V (Si). Le cas le plus simple est représenté à la figure 56. Deux diodes de même nature que les transistors suffisent. L'action de la température sur les diodes étant la même que sur les diodes base-émetteur des transistors la compensation est automatiquement réalisée et la polarisation reste correcte dans les limites normales de variation de température.

Choisir chaque transistor tel que $0.3 P_{n\max} < P_c < 0.4 P_{n\max}$.

Choisir $V_{CC} = \sqrt{2 P_{n\max} Z_{HP}} + 1 V$ $I_{HP} = \sqrt{2 P_{n\max} / Z_{HP}}$.

Pour stabiliser en température et améliorer la linéarité, on peut utiliser une contre-réaction par R_E (fig. 57). Sa valeur est toujours faible (0.5 à 5 Ω) car elle est traversée par un courant important et elle diminue le rendement de l'étage de sortie. Il faut ajouter aux diodes de polarisation une résistance dont la tension aux bornes soit égale à $2 V_{BE}$. L'ajustage de cette résistance permet de régler au mieux la polarisation (distorsion de raccordement minimale).

Dans le cas d'emploi d'amplificateurs Darlington avec R_E la tension V_{AB} au repos étant relativement grande il faudrait un nombre de diodes trop important. On préfère soit une thermistance (fig. 58) ou un transistor dont la tension V_{CE} est ajustée à la valeur convenable par un potentiomètre ajustable (fig. 59). Le transistor est équivalent à une diode Zener ajustable car $V_{CE} = C^*$ dans les limites de fonctionnement imposées.

Pour obtenir une bonne stabilisation, il faut placer les diodes, le transistor de polarisation ou la thermistance contre le radiateur des transistors de puissance.

6° Bootstrap

Le circuit (fig. 60) consiste à rendre l'impédance dynamique de R_1 négligeable, c'est-à-dire très grande par rapport à l'impédance d'entrée du transistor T_1 . La valeur de R_1 étant limitée en continu par le calcul du pont de polarisation, T_1 monté CC ne déphase pas et $A_v = 1$ donc la tension en M varie comme la tension en A . Cette tension est ramenée en N par le condensateur C_2 . V_N variant en phase avec V_A , le courant variable dans R_1 est nul soit une résistance dynamique infinie.

Une autre solution utilisée surtout sur circuits intégrés consiste à remplacer R_1 par une source à courant constant (résistance dynamique infinie).

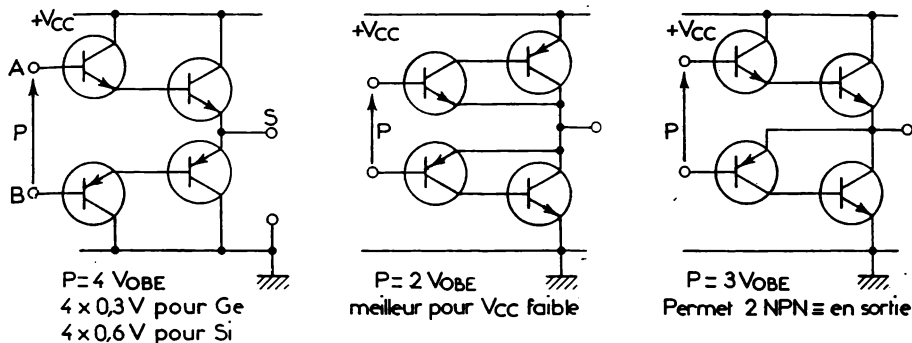


Fig. 53 à 55 — Emploi des amplificateurs Darlington

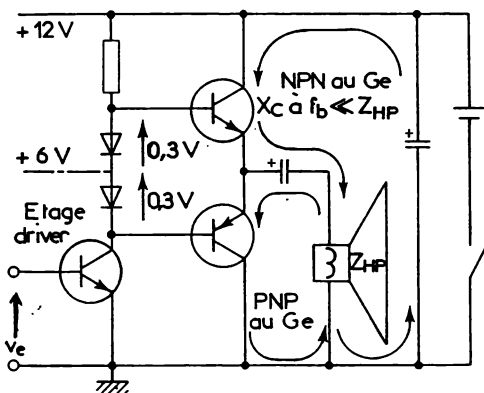


Fig. 56 — Ampli. sans transformateur

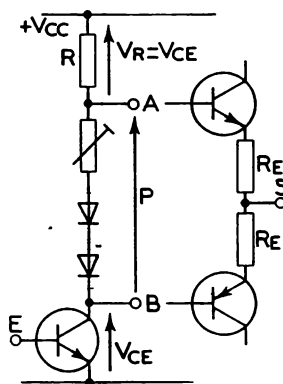


Fig. 57 — Polarisation classe AB

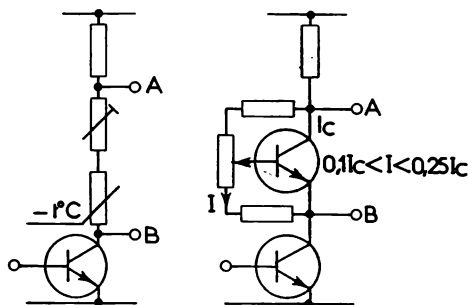


Fig. 58 et 59 — Variantes de polarisation

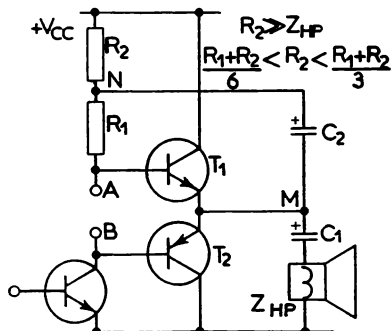


Fig. 60 — Bootstrap

7° Protection de l'étage de P

Un tel circuit est utilisé (fig. 101 en E14).

Lorsque le signal de sortie dépasse une certaine valeur aux bornes de R_{23} et R_{26} , les transistors Q_3 , Q_4 normalement bloqués, se mettent à conduire. Le signal d'attaque de Q_3 et Q_4 est alors dérivé par Q_5 et Q_6 .

Les diodes D_4 , D_5 protègent les transistors de sortie en cas de court-circuit du HP ou en cas de tension inverse.

8° Circuits intégrés (fig. 62)

L'intégration comporte :

- un amplificateur différentiel avec source à courant constant,
- un circuit d'auto-équilibrage,
- un étage driver.

- un amplificateur symétrique classe AB à « Darlington » complémentaires.

Les circuits de compensation en fréquence sont ajoutés par l'utilisateur (voir D5).

De nombreux CI sont proposés par les constructeurs, de 1 W à 18 W.

On peut aussi utiliser le CI en étage driver, débitant sur un ampli. symétrique à transistors (fig. 63).

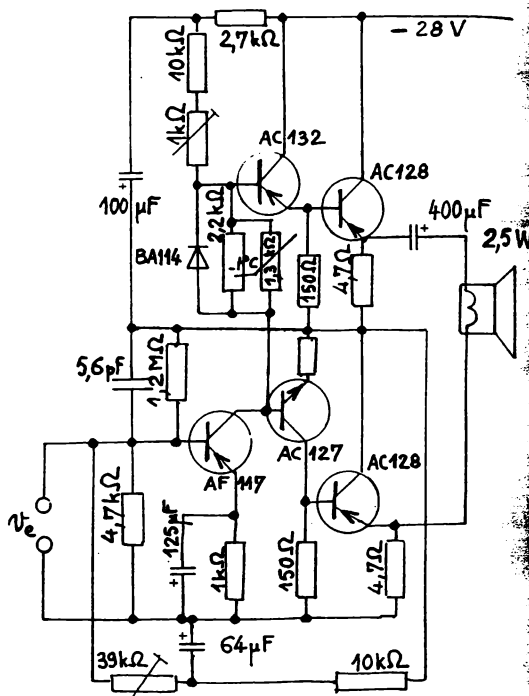


Fig. 61 — Ampli. de sortie classe AB à deux « Darlington » complémentaires

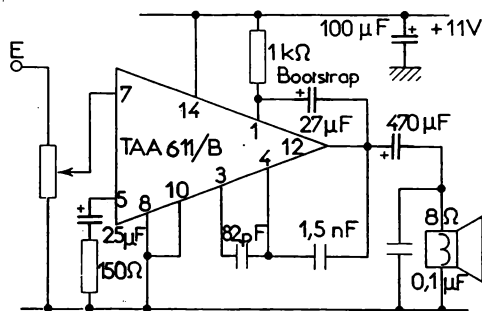


Fig. 62 — Ampli. 1,4 W, 80 Hz à 15 kHz
D < 1,5 % pour $P_m < 1,4$ W

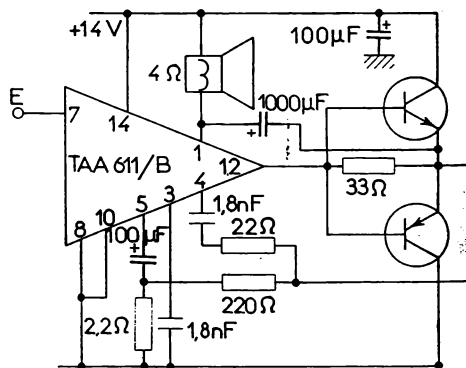


Fig. 63 — Ampli. 5 W. HF 4 Ω

IX - AMPLIFICATION À LARGE BANDE

1° Bande passante (fig. 64) en montage EC

Les fréquences de coupure ⁽¹⁾ correspondent à une atténuation de 3 dB ⁽²⁾.

- L'atténuation aux fréquences basses est due à C_L . f_b de coupure basse : f_b

$$A_r = \frac{A_{v0}}{1 - jf/f_b} = \frac{A_{v0}}{1 - \frac{j}{R_0 C_L \omega}} \quad \text{soit} \quad \left| \frac{A_r}{A_{v0}} \right| = \frac{1}{\sqrt{1 + (f/f_b)^2}} \quad \text{si } f = f_b \text{ on a } \left| \frac{A_r}{A_{v0}} \right| = \frac{1}{\sqrt{2}}$$

$$f_b = \frac{1}{2\pi(R_{sT_1} + R_{eT_1})C_L} \quad \boxed{f_b = \frac{1}{2\pi R_0 C_L}} \quad \begin{array}{l} R_{sT_1} = \text{résistance de sortie de l'étage } T_1 \\ R_{eT_2} = \text{résistance d'entrée de l'étage } T_2 \end{array}$$

- L'atténuation aux fréquences élevées est due à C_T . f_a de coupure aiguë : f_a

$$A_r = \frac{A_{v0}}{1 + jf/f_a} = \frac{A_{v0}}{1 + jR_L C_T \omega} \quad \text{soit} \quad \left| \frac{A_r}{A_{v0}} \right| = \frac{1}{\sqrt{1 + (f/f_a)^2}} \quad \text{si } f = f_a \text{ on a } \left| \frac{A_r}{A_{v0}} \right| = \frac{1}{\sqrt{2}}$$

$$f_a = \frac{1}{2\pi R_L (C_{sT_1} + C_{eT_2})} \quad \boxed{f_a = \frac{1}{2\pi R_L C_T}} \quad \begin{array}{l} C_{sT_1} = \text{capacité de sortie de l'étage } T_1 \\ C_{eT_2} = \text{capacité d'entrée de l'étage } T_2 \end{array}$$

- L'amplification à large bande ou VF (vidéo-fréquence utilisée en télévision et par extension en radar et sur oscillographe) consiste à élargir la bande passante définie à 3 dB d'atténuation (à la limite de 0 Hz à quelques dizaines de MHz).

2° Elargissement aux fréquences basses

a) Augmenter C_L

$f_b \searrow$ mais on est limité par la taille des condensateurs ⁽³⁾ qui augmente la longueur des liaisons et la valeur des capacités parasites C_p .

b) Adopter des liaisons directes (voir B5)

c) Compenser par C en // sur une partie de la charge (fig. 65 et 66)

Pour simplifier les calculs, on suppose R_2 non branchée et $R_{eT_2} \gg R_1$ (T_2 bipolaire CC ou TEC)

$$A_v = \frac{A_{v0}}{1 - \frac{j}{R_0 C_L \omega}} \quad \text{devient} \quad A_r = \frac{-g_m(R_1 - j/C\omega)}{1 - \frac{j}{R_{eT_2} C_L \omega}} = \frac{-g_m R_1}{1 - j/R_{eT_2} C_L \omega} \approx A_{v0}$$

Compensation exacte si $\boxed{R_1 C = R_{eT_2} C_L}$ valable si $R_2 \gg 1/C\omega$.

d) Utiliser une contre-réaction sélective (voir C2)

3° Elargissement aux fréquences élevées

a) Diminuer C_T : $C_T = C_{sT_1} // C_{eT_2} = C_{22e} // C_p // C_{11e}$

$$\left\{ \begin{array}{l} C_{22e} \searrow \text{ avec } \boxed{C_{22e} = C_{22b} h_{21e}} \quad C_{22b} \text{ donné sur catalogues fabricants.} \\ C_{22b} : 25 \text{ à } 40 \text{ pF pour Ge allié et } 2 \text{ à } 25 \text{ pF pour Si diffusé.} \\ C_T \searrow \text{ si } \left\{ \begin{array}{l} \text{La capacité } C_{22e} \text{ prépondérante sur les 2 autres ne donne une atténuation sensible qu'au-} \\ \text{delà de } 50 \text{ kHz quel que soit le transistor (elle est négligeable, de l'ordre de } 1 \text{ pF pour une TEC).} \\ C_p \searrow \text{ si liaison courte et si } C_L \text{ miniature (quelques pF).} \end{array} \right. \\ C_{11e} \searrow \text{ avec } \boxed{C_{11e} = C_{11b} + C_{12e}(1 + A_p)} \quad C_{11b} : 6 \text{ à } 85 \text{ pF; } C_{12e} : 1 \text{ à } 6 \text{ pF.} \end{array} \right.$$

effet Miller pour montage EC

(1) Appellées aussi fréquences quadrantes car elles sont déphasées de $\pi/4$ par rapport à la fréquence moyenne f_0 , en avance pour f_b , en retard pour f_a .

(2) L'atténuation de 3 dB correspond à une diminution de moitié de la puissance. Elle est insensible pour l'oreille, d'où l'intérêt de définir la bande passante d'un ampli. à - 3 dB.

(3) Proscrire les condensateurs à enveloppe métallique.

On exprime la qualité d'un ampli. à passer les f élevées par le *facteur de mérite* M .

- En régime sinusoïdal $M = A_v B_3 = -\frac{g_m}{2\pi C_T}$ pour l'étage.

Pour le transistor seul $A_v B_3 = -\frac{g_m}{2\pi C_{22e}} = f_T$ fréquence de transition donnée sur catalogue.

- En régime impulsionnel $M = A_v t_f = -\frac{g_m}{2.2 C_T}$ remplacer C_T par C_{22e} pour le transistor seul
 t_f : temps de montée (fig. 72)

b) Correction // par L (fig. 67 et 68)

Pour simplifier les calculs on suppose $R_{eT3} \gg R_C$ (T_2 bipolaire monté CC ou TEC). A la résonance on a $LC_T \omega^2 = 1$. Le coefficient de qualité $Q = \frac{L\omega}{R_C}$ soit $Q = \frac{1}{R_C} \sqrt{\frac{L}{C_T}}$.

On utilise le coefficient $m = Q^2 = \frac{L}{R_C^2 C_T}$ ($m = \frac{L}{R_C R_L C_T}$ pour T_2 bipolaire monté EC). L'étude de la charge $Z_L(p) = \frac{R_C + Lp}{1 + R_C C_T p + LC_T p^2}$ avec $p = j\omega$ donne les courbes figure 69.

- En régime sinusoïdal (fig. 69) en choisissant $f_a = \frac{1}{2\pi\sqrt{LC_T}} = \frac{1}{2\pi R_L C_T}$ on obtient $f'_a \gg f_a$.
 - En régime impulsionnel (fig. 72) le temps de montée sans correction ($L = 0$ soit $m = 0$) est :
 $t_f = t_2 - t_1 = 2.2 R_L C_T = 2.2 \tau$. (L'échelon est intégré par $R_L C_T$)

on obtient un temps plus faible avec correction.

- $m = 0.25$ Courbe sans rebond en impulsion pour la valeur d'inductance critique $t_f = 1.6 \tau$.
 $m = 0.4$ Courbe la plus plate en sinusoïdal utilisée en télévision $t_f = 1.4 \tau$.
 $f'_a = 1.7 f_a$. Nouvelle bande passante = $1.7 B_3$
 $m = 0.5$ Courbe la plus large avec rebondissement acceptable (2 "a") $t_f = 1.3 \tau$.
 $f'_a = 1.8 f_a$. Nouvelle bande passante = $1.8 B_3$.
 $m = 1$ Le rebond devient oscillant. $t_f = \tau$

Si l'amortissement naturel du circuit n'est pas suffisant, on ajoute une résistance d'amortissement R_x (calculer L d'après f_a puis ayant choisi m déduire R_x d'après R_L).

c) Correction série par L (fig. 70 et 71)

$$f_a = \frac{1}{2\pi\sqrt{LC_0}} \text{ avec } C_0 = \frac{C_{eT1} C_{eT2}}{C_{eT1} + C_{eT2}}, m = Q^2 = \frac{L}{R_0^2 C_0} \text{ avec } R_0 = R_C + R_{eT2}.$$

Pour diverses valeurs de m on obtient les valeurs ci-dessus. La correction mixte, combinaison des deux précédentes donne d'excellents résultats (voir H6).

d) Contre-réaction par C_E de faible valeur (fig. 73) (voir C4)

Les f élevées sont avantageuses car la contre-réaction diminue A_v aux f basses. On choisit C_E tel que la f de coupure de $r_s C_E$ soit celle de l'étage non corrigé.

$$f_a = \frac{1}{2\pi r_s C_E} = \frac{1}{2\pi R_L C_T} \text{ soit } C_E = \frac{R_L C_T}{r_s} \text{ avec } r_s \approx \frac{1}{g_m} = \frac{h_{11e}}{h_{21e}} \text{ (montage CC).}$$

Pour un TEC remplacer r_s par la résistance de source R_s (car $r_s \gg R_s$).

e) Utiliser le montage CC au lieu du montage EC car la sortie en basse Z rend l'influence de C_p négligeable.

4° Bande passante globale

- Deux étages identiques (fig. 74) $A_{m0} = A_{v1} A_{v2} \dots G_{v1} = G_{v1} + G_{v2} \dots$

$$A_v = \frac{A_{v0}}{(1 - j\omega/\omega_1)(1 + j\omega/\omega_2)} = \frac{A_{v0} j\omega/\omega_2}{(1 + j\omega/\omega_1)(1 + j\omega/\omega_2)} = A_{v0} \frac{p\omega_2}{(p + \omega_1)(p + \omega_2)}$$

Les f de coupure sont à 6 dB d'atténuation et l'atténuation 12 dB/octave.

- n étages $(B_3)_n = B_3 \sqrt{2^{1/n} - 1} \approx 0.84 \cdot B_3 / \sqrt{n}$
 pour $n = 2$, on obtient $(B_3)_2 = B_3 \sqrt{\sqrt{2} - 1} = 0.643 B_3$.

- Deux étages différents (fig. 75). On peut étendre la méthode à 3 étages. On obtient une 3^e fréquence de coupure f'_a et une nouvelle pente de 18 dB/oct. Ce cas est classique sur circuits intégrés linéaires (voir D5).

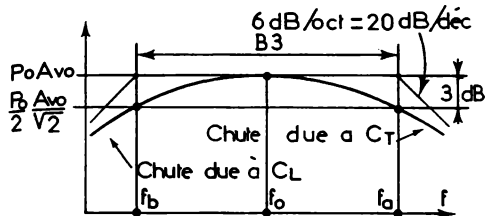


Fig. 64 — Bande passante

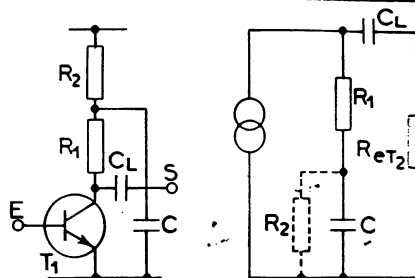


Fig. 65 et 66 — Compensation par C

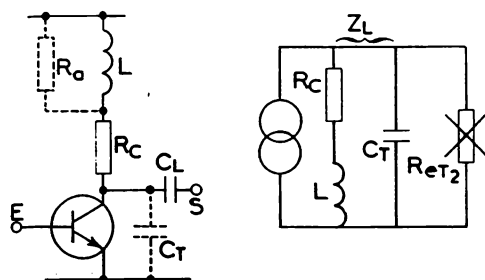


Fig. 67 et 68 — Compensation parallèle par L

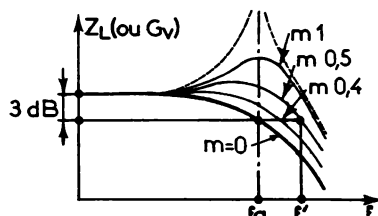


Fig. 69 — Action de L sur B₃

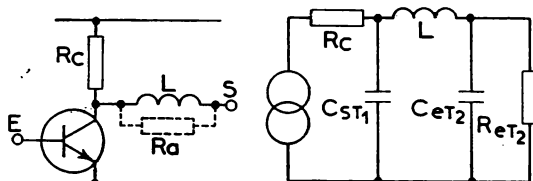


Fig. 70 et 71 — Compensation série par L

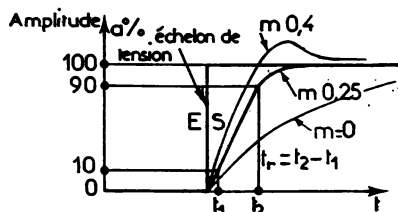


Fig. 72 — Action de L sur un échelon

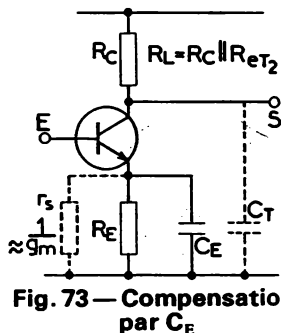


Fig. 73 — Compensation par C_E

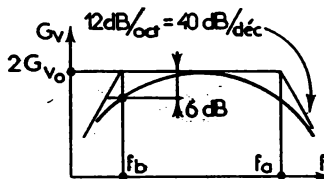


Fig. 74 — 2 étages identiques

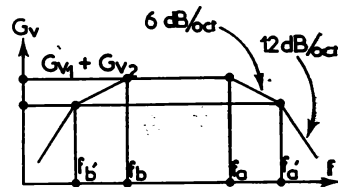


Fig. 75 — 2 étages différents

Bande passante globale

I - RÉACTION NÉGATIVE (rétroaction ou contre-réaction : C.R.)

1° Définitions

La réaction négative consiste à réinjecter, à l'entrée d'un étage amplificateur, un signal proportionnel au courant ou à la tension de sortie, en opposition de phase avec le signal d'entrée. L'amplification est diminuée.

La réaction négative est usuellement désignée contre-réaction. Nous la désignerons par raison de commodité C.R.

On appelle taux de réaction la fraction de la grandeur de sortie ramenée à l'entrée. Nous le désignerons par la lettre B (¹).

Les symboles des autres grandeurs utilisées sont donnés à la page ci-contre. Les symboles des grandeurs avec réaction sont affectés de l'indice r (A_{vr} , v_{sr} , R_{er} ...).

Le tableau ci-contre (fig. 1 à 4) montre les quatre montages possibles de réaction négative.

2° Propriétés de la réaction négative série (fig. 1 et 2)

Ces propriétés sont valables si la grandeur réinjectée est proportionnelle à la grandeur de sortie, si le circuit de C.R. ne charge pas l'amplificateur et s'il ne transmet aucun signal de l'entrée à la sortie.

a) La tension maximale admissible à l'entrée peut être $(1 + A_v B_v)$ fois plus grande.

b) L'amplification en tension avec C.R. devient : $A_{vr} = \frac{A_v}{1 + A_v B_v}$ avec $|A_{vr}| < |A_v|$ (²).

c) L'amplification en courant n'est pas modifiée : $A_{ir} = A_i$.

d) Si $A_v B_v \gg 1$ $A_{vr} = \frac{v_s}{v_e} \approx \frac{1}{B_v}$. L'amplification devient indépendante du tube ou du transisteur et de leur charge, ce qui est avantageux pour l'interchangeabilité des éléments.

Elle est indépendante également de leur vieillissement et des variations de la tension d'alimentation, d'où son intérêt sur les appareils de mesures.

e) Elle régularise la tension de sortie, sa forme et sa phase, d'autant mieux que B_v est plus grande. L'amplificateur est stabilisé (pas d'oscillations spontanées). La stabilisation explique l'emploi de 2 ou 3 étages avec C.R. alors qu'un seul aurait suffi sans C.R.

f) La C.R. nivelle la caractéristique de réponse. Elle atténue les pointes de résonances (fig. 5).

g) Les fréquences de coupure à 3 dB deviennent

$$f_{1r} = \frac{f_1}{1 + A_v B_v} \quad \text{et} \quad f_{2r} = (1 + A_v B_v) f_2$$

La bande passante est beaucoup plus large (fig. 5). On a $A_{vr} B_{3r} = A_v B_3$.

h) La distorsion harmonique est diminuée $D_r = \frac{D}{1 + A_v B_v}$ à condition que la puissance utile soit éloignée de la puissance maximale de l'amplificateur (fig. 7). Par coïncidence, la C.R. ne modifie pas le rapport signal/bruit. Elle diminue les résonances du transformateur de sortie si on l'incorpore à la chaîne de réaction. La distorsion de phase est diminuée (Ampli vidéo).

i) La réaction peut être réglable en incorporant une résistance réglable dans la chaîne de réaction.

j) La C.R. peut être sélective (B_v différent suivant les fréquences) en incorporant des C ou L dans la chaîne de réaction.

(1) Ce symbole n'est pas normalisé et, suivant les auteurs, il est remplacé par β , H , K , r . Pour éviter toute confusion nous désignerons la bande passante à 3 dB par B_3 .

(2) On a une réaction négative si $A_v B_v > 0$ qui donne $|A_{vr}| < |A_v|$ et une réaction positive si $A_v B_v < 0$ qui donne $|A_{vr}| > |A_v|$ avec oscillations.

C.R. EN TENSION

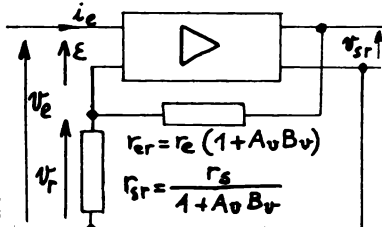
C.R. EN INTENSITÉ

C.R. SÉRIE

C.R. en tension série ou série II

On réinjecte à l'entrée une tension v_s à v_{sr}

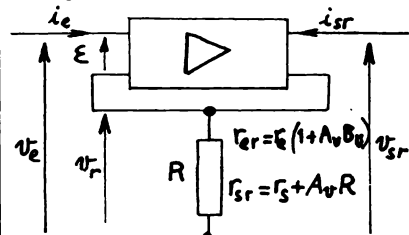
On associe les entrées des deux quadripôles en série



A_i non modifiée
 $A_{vr} < A_v$

Fig. 1 Stabilise A_{vr}

C.R. en intensité série ou série-série

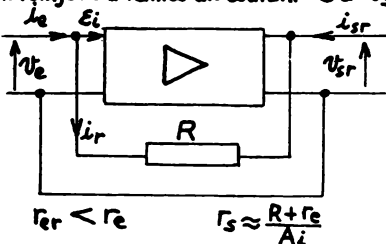
On réinjecte à l'entrée une tension v_s à i_{sr} Fig. 2 Stabilise $\frac{i_{sr}}{v_e}$ (transconductance)

C.R. PARALLÈLE

C.R. en tension-II ou II-II

On réinjecte à l'entrée un courant i_s à v_{sr}

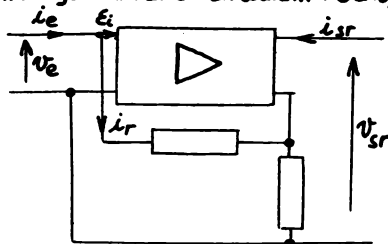
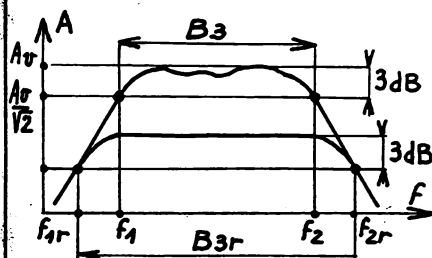
On associe les entrées des deux quadripôles en parallèle.



A_v non modifiée
 $A_{ir} < A_i$

Fig. 3 Stabilise $\frac{v_{sr}}{i_e}$ (transrésistance)

C.R. en intensité-II ou II-série

On réinjecte à l'entrée un courant i_s à i_{sr} Fig. 4 Stabilise A_{ir} 

$$f_{1r} = \frac{f_1}{1 + A_v B_v} \quad f_{2r} = (1 + A_v B_v) f_2$$

Fig. 5 - Caractéristique de réponse

 v_e, i_e : tension et courant d'entrée v_{sr}, i_{sr} : tension et courant de sortie avec C.R. v_r, i_r : tension et courant réinjectés à l'entrée v_e, i_e : tension et courant d'entrée résultants A_v, A_i : amplification en tension ou courant sans C.R. A_{vr}, A_{ir} : amplification avec C.R. $A.B$: facteur de réaction - $(1 + AB)$: facteur de réduction r_e, r_s : résistances d'entrée et de sortie sans C.R. r_{er}, r_{sr} : résistances avec C.R.

3° Propriétés de la réaction négative parallèle (fig. 3 et 4)

a) L'amplification en courant avec C.R. devient :

$$A_{ir} = \frac{A_i}{1 + A_i B_i} \quad \text{avec} \quad |A_{ir}| < |A_i|$$

b) L'amplification en tension n'est pas modifiée : $A_{vr} = A_v$.

c) Si $A_i B_i \gg 1$ $A_{ir} \approx 1/B_i$

d) La bande passante n'est pas modifiée.

Remarques

— On peut exprimer l'efficacité de la réaction en décibels par :

$$\alpha = 20 \lg A/A_r \quad \text{ou} \quad \alpha = 20 \lg (1 + AB)$$

— Dans le cas général, A , B , AB , $1 + AB$, A_r peuvent être des nombres complexes ; les capacités et inductances propres du montage ainsi que celles qui sont volontairement ajoutées dans la chaîne de réaction interviennent. Les déphasages introduits pour certaines fréquences peuvent amener de la réaction positive et rendre le montage instable (critère de Nyquist : voir cours théorique).

— La caractéristique de réponse est d'autant plus plate que le taux de réaction en tension est plus élevé et que la réaction est effectuée sur un nombre plus grand d'étages (fig. 6).

— Si une réaction sur plus de deux étages s'avérait nécessaire, il faudrait la fractionner car les déphasages importants en extrémité de la bande passante provoqueraient de la réaction positive inadmissible (fig. 8). L'ampli avec C.R. reste stable si la nouvelle droite qui représente G_{vr} sur le diagramme de Bode, coupe la pente dans la zone 6 dB/oct. (voir fig. 75 en B12 et fig. 25 en D5).

II - APPLICATIONS

1° Réaction négative série en tension (ou série-parallèle)

a) Schéma de base (fig. 9)

On pourra vérifier sur chaque schéma que la condition de phase est bien réalisée. Par exemple partant de A pour y revenir, on fait le total des déphasages le long de la boucle suivie par le signal. (Aux fréquences de travail les déphasages introduits par les condensateurs sont négligeables.) De A le signal entre sur la base de T_2 , sort sur le collecteur (180°), puis entrant sur l'émetteur de T_1 il en ressort sur le collecteur (0°). Total 180° : il y a bien opposition de phase.

Si Z_C négligeable et $i \gg i_c$ avec $i = v_2/R$ car $R \gg R_{ET_1}$, on a :

$$B_v = \frac{R_{ET_1}}{R_{ET_1} + R} \quad \text{soit} \quad A_{vr} = \frac{R}{R_{ET_1}}$$

b) Résistances d'entrée et de sortie

$$r_{er} = r_e (1 + A_v B_v) \quad r_{sr} = \frac{r_s}{1 + A_v B_v}$$

La résistance d'entrée étant augmentée et la résistance de sortie diminuée, on se rapproche des conditions idéales d'une attaque d'amplificateur en tension.

c) Cas particuliers

— Si c a une valeur faible, Z_c est non négligeable pour les basses fréquences,

$$B_c \searrow \quad \text{et} \quad A_c(BF) > A_c(HF)$$

On a une contre-réaction sélective qui avantage les fréquences basses. La fréquence de coupure est donnée par le calcul du circuit de réaction (fig. 9).

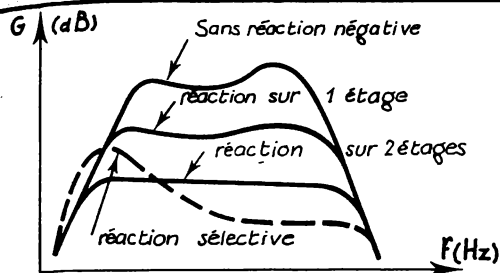


Fig. 6 — Caractéristique de réponse

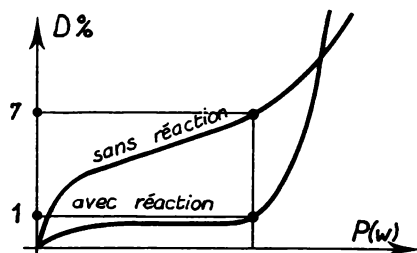


Fig. 7 — Distorsion en fonction de P

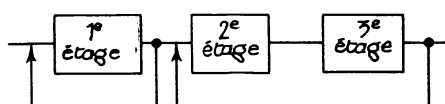


Fig. 8 — Réaction sur 3 étages

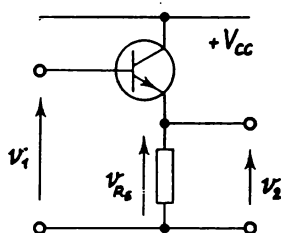


Fig. 10 — Montage CC

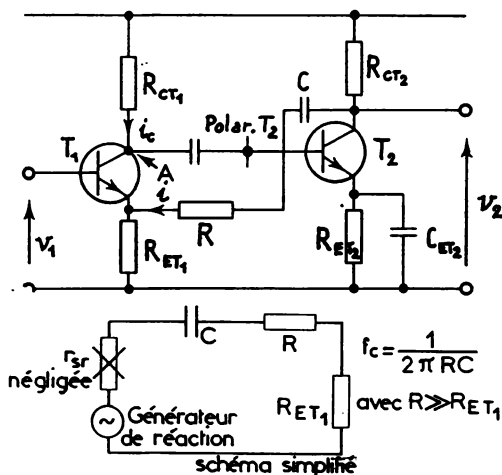


Fig. 9 — C.R. série en tension

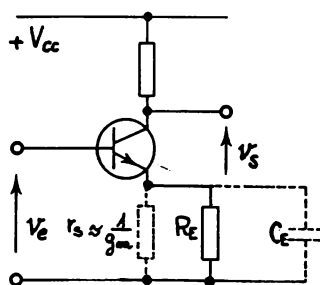
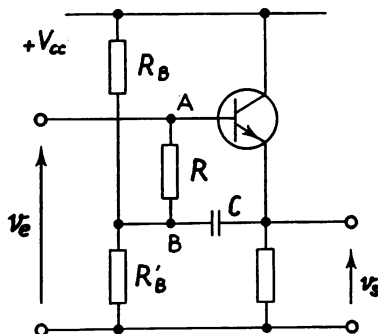
Fig. 11 — Découplage de R_E 

Fig. 12 — Montage Bootstrap

- En remplaçant R_{ET} , par une résistance ajustable, on peut régler B .
- Montage CC (fig. 10). Dans ce cas, la totalité de la tension de sortie est ramenée sur l'entrée (C.R. totale)

$$B_0 = 100 \% \quad A_{av} \approx 1 \quad r_{ev} = r_e + h_{21e} R_E \quad r_{av} = \frac{R_g + h_{11e}}{h_{21e}}$$

Si R_g , résistance du générateur de Thévenin, est négligeable, on a $r_{av} \approx 1/g_m$.

- **Découplage de R_E par C_E** (fig. 11). En réalité, C_E doit découpler la résistance de sortie du montage CC, c'est-à-dire pour une attaque en tension $1/g_m < R_E$. Il faut donc que l'on ait à la pulsation la plus basse à trans-

mettre $r_e C_E \omega_b = 1$ soit $C_E \geq g_m/\omega_b$ ou $C_E \mu F \geq \frac{16 \times 10^4}{f_b} \frac{h_{21}}{h_{11}}$.

- **Montage Bootstrap** (fig. 12). C'est un montage collecteur commun, modifié en vue d'augmenter la résistance d'entrée de l'étage. On a R_e (étage) $\approx r_e$ (transistor). Les résistances de base R_B , R'_B n'étant plus directement en parallèle sur r_e , sont négligeables car la résistance dynamique de R peut être considérée comme infinie. Le courant variable dans R est nul puisque les tensions de A et B sont égales et en phase.

Z_C négligeable aux fréquences de travail.

2° Réaction négative parallèle en tension (ou parallèle-parallèle)

a) Schéma de base (fig. 13)

Si $i_r \ll i_c$ soit $R \gg R_C$ et $v_1 \ll v_2$ on a :

$$B_1 = \frac{i_r}{i_c} = \frac{R_C}{R} \quad A_{iv} \approx \frac{R}{R_C} \quad A_{av} = \frac{V_v}{V_v} = A_v$$

Dans la pratique, remplacer R_C par R_L .

Si R_g (générateur) n'est pas négligeable, on a une configuration apparentée à celle de la figure 15 avec $R_1 = R_g$.

b) Résistances d'entrée et de sortie

$$\frac{1}{r_{ev}} = \frac{1}{r_e} + \frac{A_v}{R} \quad r_{av} \approx \frac{R + r_e}{h_{21e}}$$

Les résistances d'entrée et de sortie sont toutes deux diminuées.

c) Cas particuliers

- Le schéma précédent, déjà vu lors de la stabilisation en température, utilise une C.R. agissant en continu et en alternatif. Lorsqu'on veut éliminer la C.R. alternative on utilise la variante (fig. 14) avec :

$$1/C\omega \ll R_1 \ll R_2 = R'_2$$

- L'amplificateur opérationnel (fig. 15) est un amplificateur à courant continu utilisant une C.R. parallèle en tension (résistance R_2). L'amplification sans réaction (boucle ouverte) est très grande $A_0 = V_d/e$. En fait en ajoutant la résistance R_1 en série dans l'entrée on obtient le montage inverseur et on calcule l'amplification composite $V_d/V_e = -R_2/R_1$. Dans ce cas, on a aussi une C.R. en tension avec $B_0 = R_1/(R_1 + R_2)$ et $r_{ev} = r_d/(1 + A_0 B_0)$, soit ici avec les notations employées avec l'ampli. opérationnel (Z_v , Z_0 , A_0 , B pour r_{ev} , r_e , A_{av} , B_0) et $A_0 B_0$ ou $A_0 B \gg 1$

$$Z_v = \frac{Z_0}{A_0 B} \quad \text{avec} \quad B = \frac{R_1}{R_1 + R_2} \quad \text{donne} \quad Z_v = \frac{Z_0(1 + R_2/R_1)}{A_0}$$

$Z_{AB} = Z_v$: impédance différentielle est pratiquement infinie. Il ne circule pas de courant dans l'entrée et $V_A \approx V_B$. Le point A est une masse virtuelle et on a : $Z_v = R_1$

Dans le cas du montage non inverseur (voir D7) l'impédance de sortie est inchangée et l'impédance d'entrée devient $r_{ev} = r_e(1 + A_0 B_0)$ soit $Z_v = Z_0 A_0 B$ avec $B = \frac{R_1}{R_1 + R_2}$ et $Z_v = Z_0 A_0 \frac{R_1}{R_1 + R_2}$.

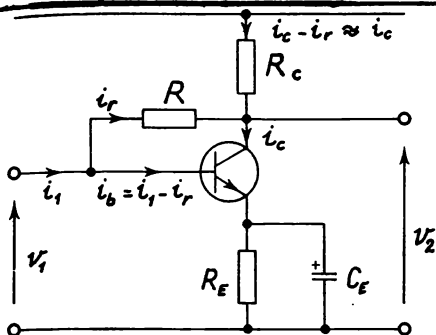


Fig. 13 — C. R. parallèle en tension

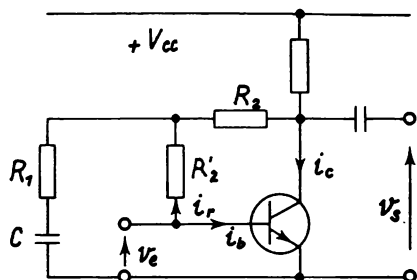


Fig. 14 — C. R. parallèle en tension en continu

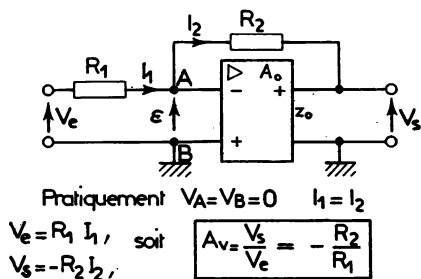


Fig. 15 — Ampli. opérationnel

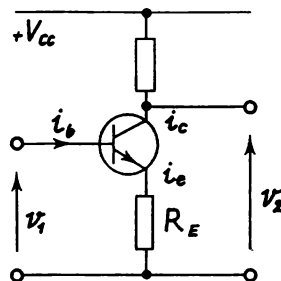


Fig. 16 — C. R. série en intensité

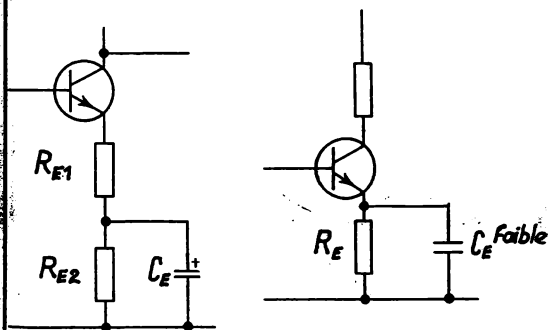


Fig. 17-18 — C. R. en intensité : variantes

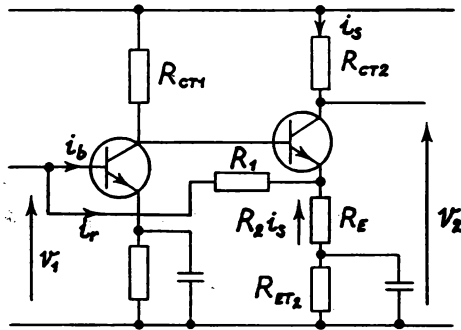


Fig. 19 — C. R. en intensité parallèle

3° Réaction négative série en intensité (ou série-série)

a) Schéma de base (fig. 16)

Si $i_e \gg i_b$ soit $i_e \approx i_c$ on a :

$$B_o = \frac{v_{RE}}{v_2} = \frac{R_E}{R_C} \quad A_{or} \approx \frac{g_m R_C}{1 + g_m R_E} \quad \text{si } g_m R_E \gg 1, \quad A_{or} \approx \frac{R_C}{R_E}$$

Dans la pratique, remplacer R_C par R_L .

b) Résistances d'entrée et de sortie

$$r_{er} = r_e(1 + A_r B_r)$$

$$r_{sr} = r_e(1 + A_r B_r)$$

soit dans le cas du schéma de la figure 16 :

$$r_{er} = r_e + h_{21e} R_E$$

$$r_{sr} = r_e(1 + g_m R_E)$$

Les résistances d'entrée et de sortie sont toutes deux augmentées.

c) Cas particuliers

– Le schéma précédent, déjà vu lors de la stabilisation en température, est tel que la C.R. agit en continu et en alternatif. Lorsque la valeur de R_E ne convient pas pour les deux, il faut la fractionner (fig. 17).

En continu : $B_o = \frac{R_{E1} + R_{E2}}{R_L}$. En alternatif : $B_o = \frac{R_{E1}}{R_L}$.

– Lorsqu'on désire une C.R. sélective avantagant les fréquences basses, il faut découpler R_E par C_E de faible valeur (fig. 18) dont le calcul est donné en B12.

4° Réaction négative parallèle en intensité (ou parallèle-série)

a) Montage de base (fig. 19)

Si $i_r \ll i_s$ et $v_{beT1} \ll R_2 i_s$ on a :

$$B_i = \frac{i_r}{i_s} = -\frac{R_2}{R_1} \quad \text{soit} \quad A_{ir} \approx -\frac{R_1}{R_2} \quad A_{or} = A_r$$

b) Résistances d'entrée et de sortie

On montre que $r_e \searrow$ et $r_s \nearrow$, permettant ainsi de se rapprocher des conditions idéales d'une attaque d'amplificateur en courant (résistance de générateur élevée).

c) Cas particulier

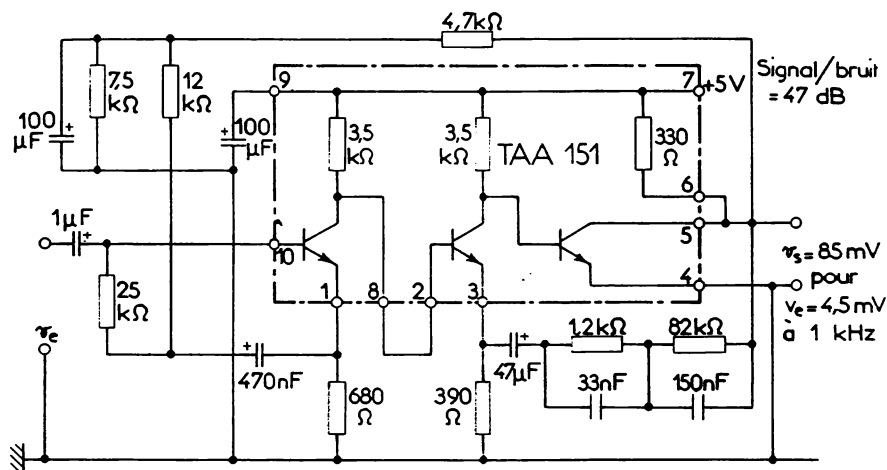
Le montage BC est équivalent à un montage EC plus une C.R. parallèle en intensité.

Remarques

Ce type de réaction est utilisé sur ampli. à courant continu pour stabiliser A_i ou sur ampli. alternatif pour stabiliser en température (voir préampli. avec compensation R.I.A.A.).

Pour tous les montages, les résistances d'entrée et sortie sont modifiées. Ils peuvent être utilisés comme adaptateurs d'impédances.

Compte tenu des capacités d'entrée et de sortie des montages, les impédances d'entrée et de sortie sont modifiées dans le même rapport que les résistances d'entrée et de sortie.



Stabilisation de l'ampli continu: contre-réaction en courant.
Compensation R.I.A.A.: contre-réaction en tension.
Augmentation de R_e : bootstrap.

Fig. 20 — Préampli. R.I.A.A. à circuit intégré TAA151

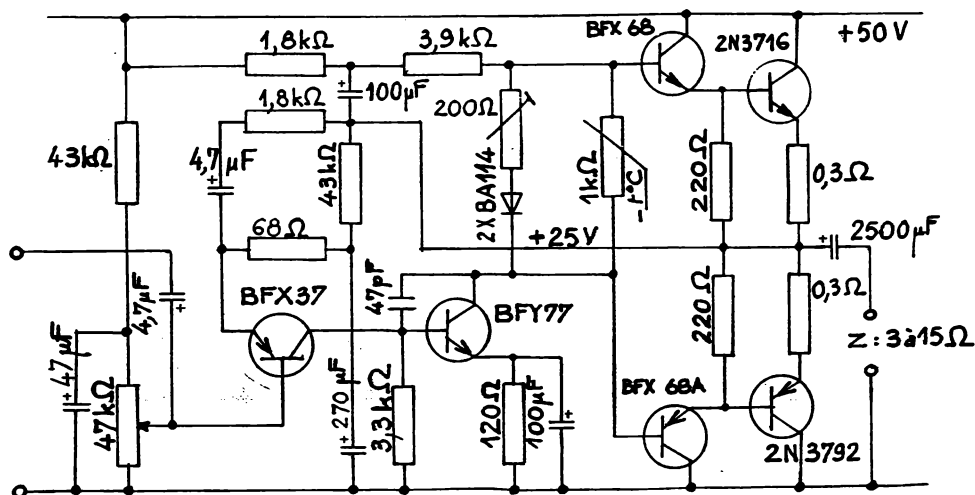


Fig. 21 — Ampli A.F. 25 W de haute qualité

I - CLASSIFICATION

1° Circuits intégrés logiques: non étudiés dans cet ouvrage (1).

2° Circuits analogiques (ou linéaires)

- Amplificateurs différentiels et comparateurs.
- Amplificateurs opérationnels.
- Circuits HF et BF.
- Circuits spécialisés.

Nous n'étudierons dans ce chapitre que les deux premières catégories.

II - CONSTITUTION INTERNE

En plus des montages classiques de transistors qui peuvent apparaître à l'examen d'un schéma interne de C.I. (2), on rencontre des dispositions que la nouvelle technologie permet d'utiliser avec avantages, et en particulier le fait que le nombre des transistors n'influe pas sur le prix de revient. On utilise de préférence des résistances de faibles valeurs et, par contre, on évite les condensateurs.

1° Polarisation ordinaire (fig. 1) (3)

Le transistor T_1 (identique à T_2) est monté en diode en réunissant base et collecteur. Ainsi T_2 est polarisé par la tension de déchet de la diode. Le courant I_{CT_2} reste constant dans une large gamme de température. Ce courant est fixé soit par la valeur de R_1 , soit par la valeur V .

2° Polarisation à valeur optimale (fig. 2)

$T_1 = T_2$ sont polarisés à une valeur identique. $R_3 = R_4$.

$I_{CT_1} = I_{CT_2}$. De A à B on a $V = (I_C + 2I_B)R_1 + R_4I_B + V_{BE}$.

Soit $I_C + (2 + \frac{R_3}{R_1})I_B = V - V_{BE}$, comme $V_{BE} \ll V$ et $(2 + \frac{R_3}{R_1})I_B \ll I_C$, on obtient $I_C = V/R_1$. Si $R_2 = R_1/2$, comme $I_{CT_1} = I_{CT_2}$, la chute de tension dans R_2 est moitié de celle dans R_1 , soit $V_S = V/2$.

On a ainsi un amplificateur en classe A dont le point de repos est fixé au milieu de la droite de charge, et ce, quelles que soient les variations de V ou de t (température).

3° Source de courant constant (fig. 3)

Si $T_1 = T_2$, on démontre que $I_{CT_2} = \frac{KT}{qR_2} \ln \frac{V}{R_1 I_{CT_2}}$

K : C^{te} de Boltzmann,
 T : température en °K,
 q : charge de l'électron.

Donc I_{CT_2} varie environ comme le logarithme de V , c'est-à-dire très peu.

D'autre part, I_{CT_2} est une fonction linéaire de la température. Cette variation peut être compensée par l'emploi de résistances diffusées à haute résistivité.

La source de courant constant permet d'augmenter le RRTA et le RRMC des amplificateurs opérationnels (voir B5 et D5).

(1) Voir Technologie des C.I. dans tome I Technologie d'électronique, du même auteur.

(2) Pour la commodité, nous désignerons « circuit intégré » par C.I.

(3) On ne doit pas représenter le cercle qui symbolise l'enveloppe des transistors, sur les schémas internes des C.I.

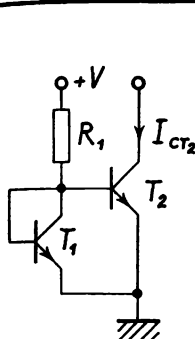


Fig. 1 — Polarisation ordinaire

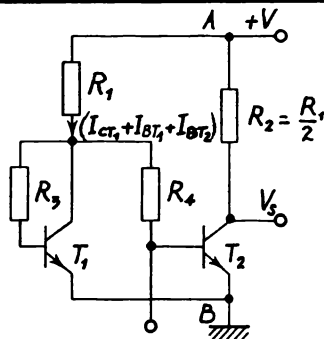


Fig. 2 — Polarisation à valeur optimale

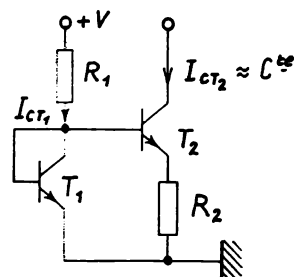


Fig. 3 — Source de courant constant

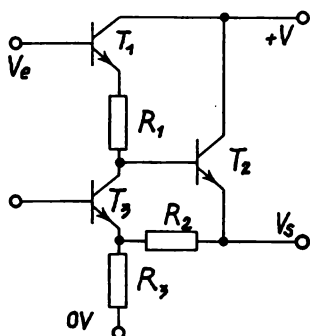


Fig. 4 — Décalage des potentiels

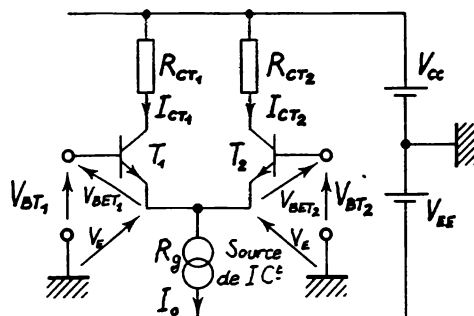


Fig. 5 — Amplificateur différentiel

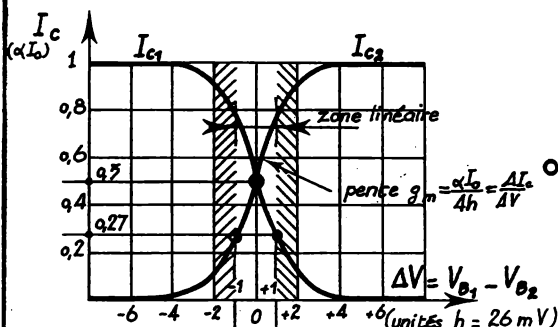


Fig. 6 — Caractéristique de transfert

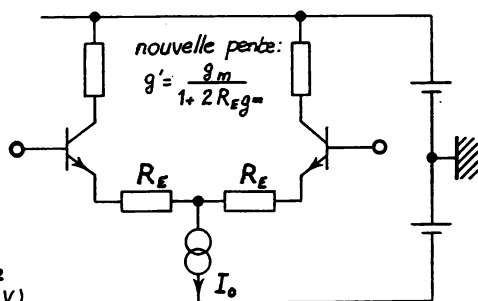


Fig. 7 — Réaction négative

4° Décalage des potentiels (fig. 4) (voir B5).

Le décalage des potentiels entre tension d'entrée et tension de sortie peut être obtenu sur les amplificateurs à liaison directe au moyen d'une diode Zener en série dans la liaison. Le bruit étant assez important, on obtient ce décalage sur les CI par R_1 traversée par I_{CT3} .

$$A_v = \frac{v_s}{v_e} = \frac{1}{1 - \frac{R_1}{R_2}} \quad \text{Résistance de sortie: } r_s = \frac{R_1 A_v}{h_{21} T_2}$$

Pour avoir une stabilité suffisante, il faut faire précéder le circuit par une source à basse impédance de grande stabilité: $R_g = \frac{h_{21} T_1 R_2}{A_v}$.

5° Amplificateur de différence ou différentiel (fig. 5) (1)

$$\text{Tension différentielle: } \Delta V = V_{BT1} - V_{BT2} = V_{BE T_1} - V_{BE T_2}.$$

Les caractéristiques de transfert tracées à la figure 6 (I_C en fonction de ΔV) sont exprimées par:

$$I_{CT4} = \frac{\alpha I_0}{1 + \exp \frac{V_{BT2} - V_{BT1}}{h}} \quad \text{et} \quad I_{CT2} = \frac{\alpha I_0}{1 + \exp \frac{V_{BT1} - V_{BT2}}{h}}$$

$$\text{avec } a = \frac{I_{CT1}}{I_{ET1}} = \frac{I_{CT2}}{I_{ET2}} \quad \text{et} \quad h = K \frac{T}{q} \quad (26 \text{ mV à } 25^\circ \text{C}).$$

$$\text{Si } \Delta V = 0, \quad I_{CT1} = \frac{1}{2} \alpha I_0 \quad (\alpha I_0: \text{unités en ordonnées}).$$

$$\text{Si } \Delta V = h, \quad I_{CT1} = \frac{1}{1 + e} \alpha I_0 = 0,27 \alpha I_0.$$

— La région linéaire correspond à une excursion $\Delta V = 50 \text{ mV}$ crête à crête.

— Pour $I_0 = C^{te}$, l'amplificateur assure une régulation automatique du gain.

— L'amplificateur différentiel agit en limiteur. Si $|\Delta V| > 4h$, $\Delta V_S = C^{te}$.

— $\Delta I_C = g_m \Delta V$ proportionnel à I_0 , d'où l'utilisation en mélangeur, multiplicateur de fréquence, modulateur, démodulateur si I_0 est lié à l'un des termes variables.

— Si on applique une réaction négative d'intensité par R_F (fig. 7), la pente est diminuée, l'excursion d'entrée peut être augmentée avant que se manifeste la limitation, mais $A_v \searrow$.

6° Application à l'ampli-différentiel $\mu A702A$ (fig. 8 à fig. 14) (2)

— $T_1 T_2$: entrée avec source de courant constant $T_3 T_4$ ($Z_e = 200 \text{ k}\Omega$).

— T_5 : ampli inverseur de gain 1. On retrouve sur la base de T_6 la tension différentielle.

— T_8 et R_7 permettent un décalage de potentiel de 5 V sur T_7 . Ainsi V_S peut être + ou (-) par rapport à la masse.

— T_9 constitue un étage intermédiaire de puissance.

— T_7 : sortie en basse impédance ($Z_S = 200 \Omega$).

Le montage est parfaitement équilibré, c'est-à-dire $v_s = 0$ si $v_e = 0$.

La tension de décalage à l'entrée dépend surtout de l'égalité de R_1 et R_2 . Leur géométrie doit être identique.

La bande passante va de 0 à 1 MHz à $\sim 3 \text{ dB}$ en boucle ouverte, et de 0 à 10 MHz en boucle fermée (résistance de 10 k Ω entre les bornes 7 et 2, fig. 13).

(1) Nous avons étudié en B5 l'ampli de différence seulement dans la zone linéaire de fonctionnement.

(2) Bien que ce circuit ne soit plus fabriqué, il est intéressant de le connaître car c'est le plus simple du point de vue structure interne et du point de vue historique c'est le premier qui a été commercialisé en grand public.

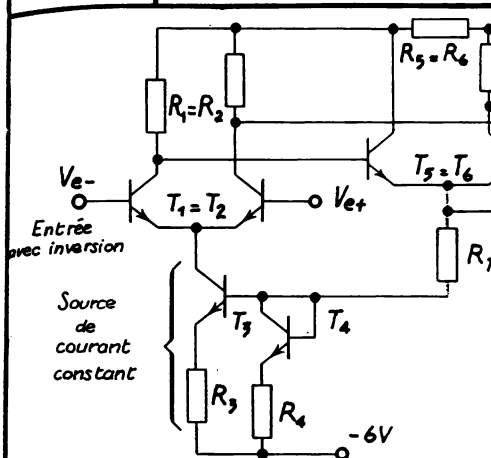


Fig. 8 — Schéma simplifié d'un ampli. différentiel

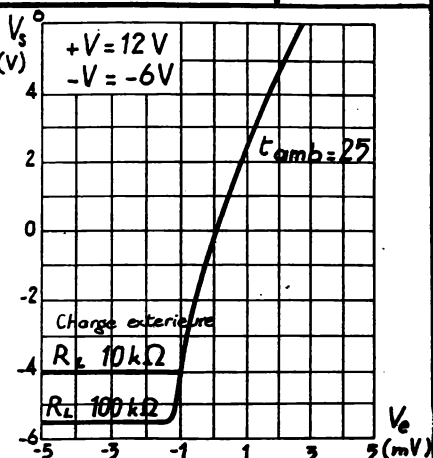
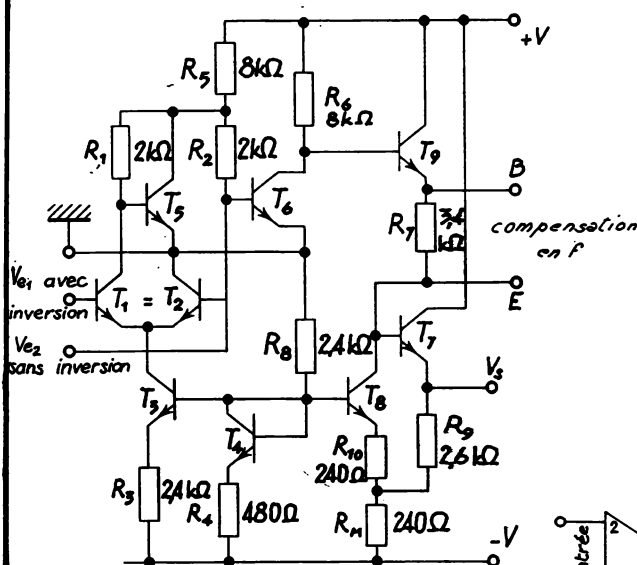
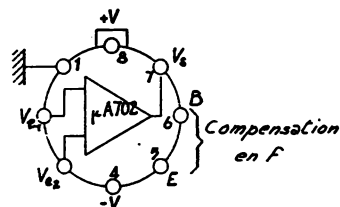
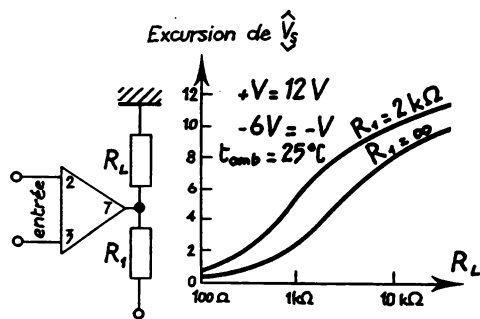
Fig. 9 — Fonction de transfert du $\mu A 702 A$ Fig. 10 — Configuration interne du $\mu A 702 A$ 

Fig. 11 et 12 — Boîtiers

Fig. 13 et 14 — Excursion de V_0 du $\mu A 702 A$

III - GÉNÉRALITÉS

1° Description

L'amplificateur opérationnel doit son nom au fait qu'à l'origine il fut utilisé dans les calculateurs analogiques pour effectuer des opérations. Depuis l'avènement des circuits intégrés, il a pu être fabriqué à bas prix de revient malgré la complexité des circuits qui le constituent.

Il se déduit de l'amplificateur différentiel (voir D2) avec adjonction d'éléments complémentaires améliorant la stabilité, en particulier en fonction de la température et d'un amplificateur de sortie symétrique en classe B à transistors complémentaires et à faible Z_s ⁽¹⁾.

Exemples : μA 709 ou TAA0709.

2° Définition

L'amplificateur est un amplificateur à courant continu (donc à large bande) à grand gain et à forte impédance d'entrée.

3° Ampli. idéal en boucle ouverte (fig. 15)

Amplification en boucle ouverte : $A_0 \rightarrow \infty$

Impédance d'entrée : $Z_e \rightarrow \infty$

Impédance de sortie : $Z_s \rightarrow 0$.

Aucun signal de décalage (voir plus loin) ne se manifeste.

L'amplificateur possède deux entrées et le plus souvent une seule sortie.

– Entrée sans inversion : V de sortie (+) a le même signe que V d'entrée (+).

– Entrée avec inversion : V de sortie (+) a le signe contraire de V d'entrée (–).

Les tensions sont mesurées par rapport au potentiel commun appelé masse.

4° Ampli. idéal en boucle fermée à une seule entrée

a) Montage avec inversion (fig. 16)

Si on réunit C à B par une impédance Z_2 , on obtient une réaction négative parallèle en tension (voir C3). En première approximation, $V_B \approx 0$ (masse virtuelle) car l'amplification A_0 est très grande. Le courant dans l'entrée est voisin de zéro car Z_e est très grande. Dans ces conditions :

$$I_1 \approx I_2, \quad \frac{V_e}{Z_1} \approx -\frac{V_s}{Z_2} \quad \boxed{A_r = \frac{V_s}{V_e} = -\frac{Z_2}{Z_1}}$$

b) Montage sans inversion (fig. 17)

On a une C.R. série en tension avec $A_e = \frac{V_s}{V_e} = \frac{A_0}{1 + A_0 B}$. Comme le facteur de réaction (amplification de boucle) est très grand devant 1, l'amplification en tension est $A_e \approx 1/B$ avec $B = Z_1/(Z_1 + Z_2)$.

$$\boxed{\frac{V_s}{V_e} \approx \frac{Z_1 + Z_2}{Z_1}} = 1 + \frac{Z_2}{Z_1} \quad \text{si} \quad Z_2 \gg Z_1, \quad A_e = \frac{V_s}{V_e} \approx \frac{Z_2}{Z_1}$$

(1) Des amplificateurs opérationnels récents comportent à l'entrée un ampli différentiel à *TEC* permettant d'avoir une très haute impédance différentielle et un équilibrage plus facile ; ils comportent en outre un étage de sortie polarisé en classe AB par transistor.

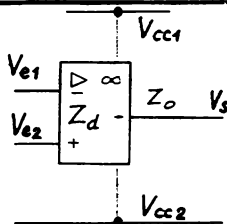


Fig. 15 — Ampli. en boucle ouverte

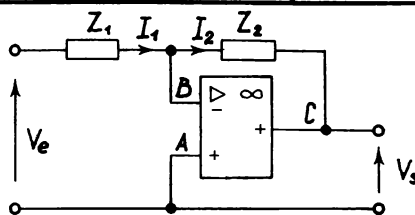


Fig. 16 — Ampli. avec inversion de phase

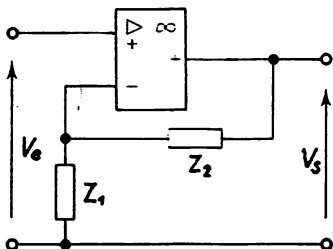


Fig. 17 — Ampli. sans inversion de phase

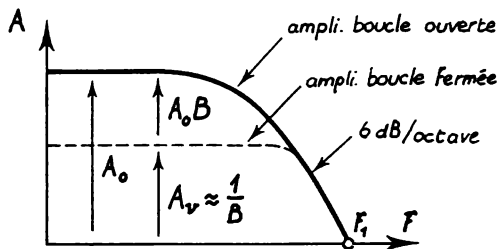


Fig. 18 — Caractéristique de réponse

5° Erreur due à l'amplification A_0 non infinie ($2000 < A_0 < 150\,000$)

Amplification réelle $A'_v = A_v$ multiplié par le coefficient d'erreur.

$$A'_v = -\frac{Z_2}{Z_1} \cdot \frac{1}{1 + \frac{1}{A_0 B}}$$

avec $B = \frac{Z_1}{Z_1 + Z_2}$ (coefficient d'atténuation ou taux de contre-réaction).

Si $Z_2 \gg Z_1$, $B = \frac{Z_1}{Z_2} = \frac{1}{A_v}$ et $\frac{A_v}{A'_v} = A_0 B$ (amplification de boucle).

Les caractéristiques de réponse sont données à la figure 18.

Le taux d'erreur entre A'_v et A_v est :

$$\Delta V\% = \frac{100}{A_0 B} \% = \frac{A_v - A'_v}{A_v}$$

Exemple numérique

Si $A_0 = 10\,000$, $Z_1 = 1\,000 \, \Omega$ et $Z_2 = 100 \, \text{k}\Omega$.

$$|A_v| = \frac{100\,000}{1\,000} = 100$$

$$|G_v| = 40 \, \text{dB}$$

$$B = \frac{1}{100}$$

$$A_0 B = 10$$

$$|A'_v| = 100 \frac{1}{1 + \frac{1}{10}} = \frac{100 \times 10}{11} = 90$$

$$\Delta V\% = \frac{100}{10} = 10\% \quad \text{ou} \quad \frac{A_v - A'_v}{A'_v} = \frac{10}{90}$$

6° Impédances (fig. 19)

- Impédance différentielle :
- Impédance de mode commun ($\approx 200 \text{ M}\Omega$) :
- Impédance de sortie vue de la charge en boucle ouverte :
- Impédance d'entrée vue de la source (ampli. inverseur) :

 Z_d très grande Z_m grande et négligeable Z_0 quelques 100 Ω

$$Z_e = Z_1$$

- Impédance d'entrée vue de la source (ampli. non inverseur) :

$$Z_e = \frac{A_0 Z_d Z_1}{Z_1 + Z_2} \quad 10^4 \text{ M}\Omega$$

- Impédance de sortie vue de la charge en boucle fermée :

$$Z_s = \frac{Z_0 (1 + \frac{Z_2}{Z_1})}{A_0} \quad \text{faible}$$

Voir calcul de Z_e et Z_s en C3.

7° Rapport de réjection en mode commun : R.R.M.C. (voir B5, § 4)

La tension V_m dite de « mode commun » est telle que $V_{e1} = V_{e2} = V_m$. Dans ce cas, un amplificateur idéal donne $V_s = 0$. En pratique, si par exemple $V_{e1} = 2 \text{ V} + 0,2 \text{ mV}$ et $V_{e2} = 2 \text{ V}$, l'amplificateur ne devrait prendre en considération que $0,2 \text{ mV}$ et rejeter 2 V . Sa faculté de rejeter 2 V est donnée par le RRMC. Si V_e est la tension d'erreur en sortie :

$$\text{RRMC} = \frac{V_m A_0}{V_e} = \frac{V_m}{V_d} \quad (\text{RRMC})_{\text{dB}} = 20 \lg \text{RRMC}$$

En pratique, $(\text{RRMC})_{\text{dB}} = 70$ à 100 dB (exemple fig. 20).

8° Décalages (offset)

Ce sont les signaux d'erreurs dus à ce que les éléments internes de l'amplificateur différentiel ne sont pas parfaitement symétriques.

- V de décalage en sortie : celle obtenue en sortie lorsque e_1 et e_2 sont court-circuitées.
- V de décalage à l'entrée (V_{off}) : c'est la tension différentielle qui doit être appliquée à l'entrée pour annuler V_s .
- I de décalage à l'entrée (I_{off}) : c'est la différence des courants d'entrée quand V_s est nulle (fig. 21). Tous ces décalages varient avec la température.

9° Rapport de réjection de la tension d'alimentation : R.R.T.A.

Il exprime la faculté de l'amplificateur de ne pas être influencé par les variations de la tension d'alimentation.

$$\text{RRTA} = \frac{\Delta V_A}{\Delta V_{\text{off}}} \quad \leftarrow \text{Variation de la tension d'alimentation (on prend généralement } \Delta V_A = \pm 10\% \text{).}$$

$$\leftarrow \text{Variation de la tension de décalage d'entrée.}$$

10° Polarisation

Elle permet de diminuer l'erreur due au déséquilibre des Z de source. Il faut faire

(fig. 22 et 23) si possible

$$\rho I_{\text{off}} = V_{\text{off}}$$

avec de toute façon

$$\rho = \frac{R_1 R_2}{R_1 + R_2} \quad (1)$$

Le courant $I_{(-)}$ emprunte pour le retour à la masse R_1 et R_2 (Z_9 et Z_8 négligeables). Pour équilibrer, le courant $I_{(+)}$ doit traverser une résistance ρ égale à R_1 et R_2 en parallèle.

Tolérances sur $R_1 R_2$ faibles ($\pm 1\%$).

La résistance de polarisation sera découplée par $C = 100 \text{ pF}$ pour les fréquences élevées.

(1) Sur les ampli. opérationnels à TEC d'entrée, supprimer ρ .

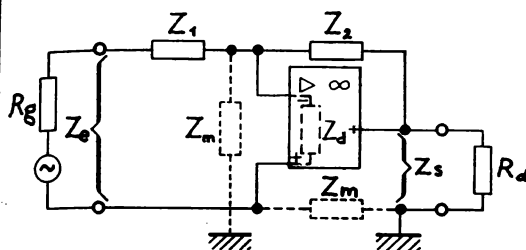
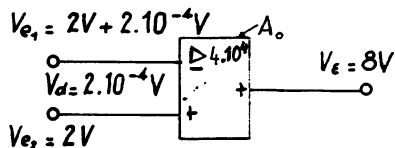


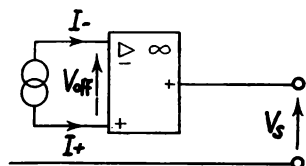
Fig. 19 — Impédances

$$(RRMC)_{dB} = 80 dB \Rightarrow RRMC = 10.000$$



$$RRMC = \frac{V_m}{V_d} = \frac{2}{2 \cdot 10^{-4}} = 10.000$$

Fig. 20 — RRMC



courant de polarisation: $I_{pol} = \frac{I_- + I_+}{2}$

$$I_{off} = |I_+ - I_-|_{V_S=0} \quad I_{off} = 10 \text{ à } 30 \% I_{pol}$$

Fig. 21 — Décalages

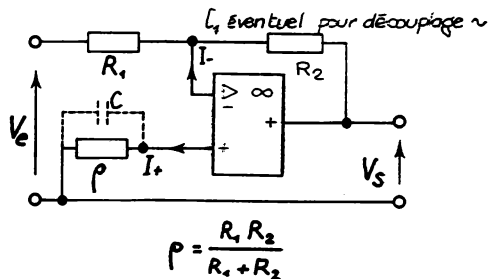


Fig. 22 — Polarisation sur ampli. inverseur

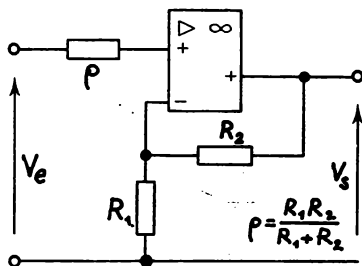


Fig. 23 — Polarisation sur amplificateur non inverseur

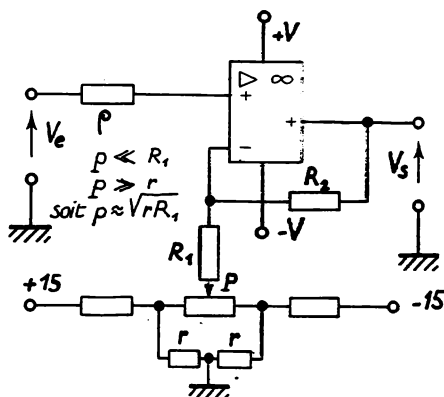


Fig. 24 — Compensation de Voff

IV - COMPENSATION EN FRÉQUENCE

1° Généralités (fig. 25)

L'amplification en boucle fermée est $A_v = \frac{A_0}{1 + A_0 B}$, A_0 et B étant des grandeurs complexes. Il y a oscillations si pour f telle que $A_0 B = 180^\circ$ le module $|A_0 B| > 1$. Pour obtenir un fonctionnement stable, il faut modifier la caractéristique de réponse telle que $|A_0 B| < 1$ lorsque $\varphi = 180^\circ$. Donc, il faut obtenir que la pente soit < 12 dB/oct. jusqu'à la fréquence pour laquelle $A_v = 1$.

Pour assurer la stabilisation, il faut :

- limiter le taux de réaction ;
- limiter la bande passante (c'est-à-dire A_v lorsque $f \rightarrow \infty$) ;
- corriger l'amplificateur par des circuits de compensation en fréquence afin de réduire les déphasages. Voici quelques exemples pratiques.

2° Compensation à l'entrée (fig. 26) du $\mu A 702$

Elle permet la compensation sans réduire l'excursion de fréquence. Le taux maximal de C.R. applicable est de -34 dB. La figure montre l'application à un montage amplificateur différentiel typique.

3° Précompensation du $\mu A 702$ (fig. 27) ⁽¹⁾

Elle permet d'accroître B_3 en corrigeant les déphasages.

Si $A_0 B < 40$ dB, il faut placer en plus un réseau de compensation à l'entrée. La figure montre l'application à un montage amplificateur ordinaire.

4° Postcompensation du $\mu A 702$ (fig. 28)

Elle réduit l'excursion en sortie, mais le bruit est plus faible. Pour obtenir une bonne stabilité, il faut aussi que, quel que soit l'amplificateur utilisé, une alimentation rigoureusement filtrée aux bornes mêmes de l'amplificateur ($C = 10$ nF à 100 nF non inductif) et réduire la longueur des connexions extérieures.

5° Compensation du $\mu A 709$ (fig. 29)

Elle est obtenue par l'adjonction de C_1, R_1, C_2 (2). La résistance R_0 évite les oscillations à 10-15 MHz lorsqu'il y a de faibles charges capacitives. La tension de bruit est faible (30 μV crête à crête). Pour ne pas réduire l'excursion aux f élevées, on peut utiliser une compensation à l'entrée (R_3, C_3) mais le bruit est élevé (20 mV crête à crête). Le mieux est d'utiliser une compensation mixte ($B_3 = 500$ kHz avec bruit 1,3 mV crête à crête).

6° Compensation intégrée

Certains circuits intégrés ont des compensations complètement intégrées (LH 101, $\mu A 741$, ...).

7° Vitesse de variation de la tension de sortie «slew-rate»

En petits signaux ($V_S < 0,1$ V), seule la bande passe B_3 intervient pour définir la réponse en fréquence de l'amplificateur. Par contre, en grands signaux ($V_S > 0,1$ V), il faut tenir compte du «slew-rate» ou dV/dt exprimé en V/ μS (vitesse de variation de V_S).

Exemple. Pour $V_S = V_0 \cos \omega t$ avec $V_0 = 10$ V, la pulsation de coupure est donnée par $\omega \leq \frac{1}{V_0} \left(\frac{dV}{dt} \right)$. Si le fabricant donne $\frac{dV}{dt} = 0,25$ V/ μs , $\omega_{\max} = 25 \times 10^3$, soit $f_c = 4$ kHz au lieu de 1 MHz en petits signaux et boucle ouverte.

$dV_S/dt = 0,5$ V/ μs (série 741), $= 9$ V/ μs (série 761), $= 150$ V/ μs (série 318).

(1) Voir l'emplacement des circuits de compensation sur le schéma en D2.

(2) Les valeurs des éléments de compensation à ajouter sont précisées sur les notices des fabricants.

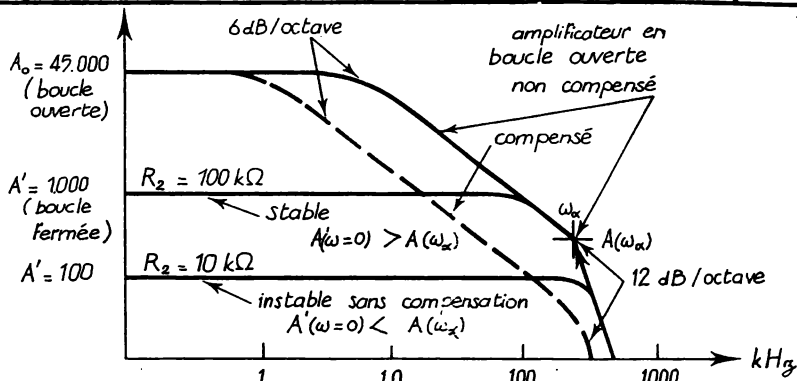


Fig. 25 — Caractéristique de réponse

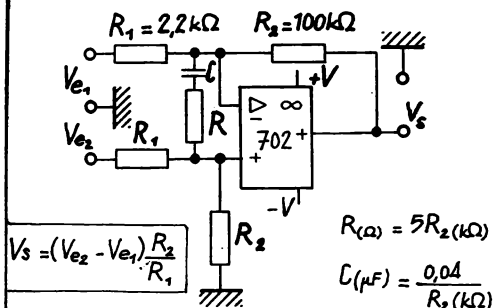


Fig. 26 — Compensation à l'entrée

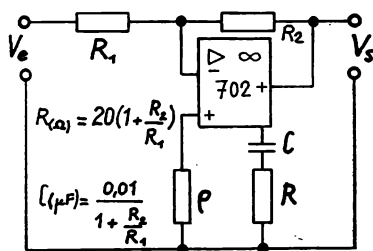
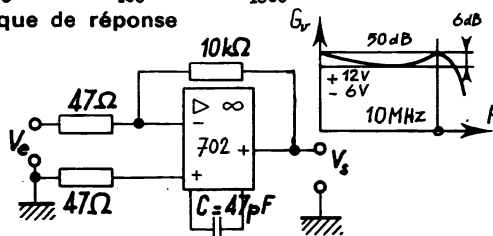


Fig. 28 — Postcompensation



si $A_o B < 40 \text{ dB}$ placer un réseau à l'entrée $R = 20R_2$ et $C = \frac{0.01}{R_2}$

Fig. 27 — Précompensation

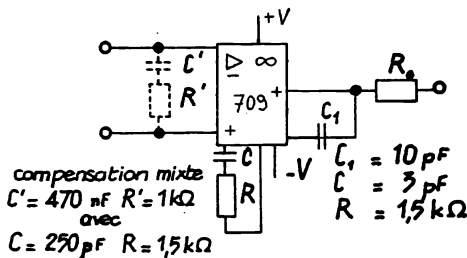


Fig. 29 — Compensation du 709

| Compensation du 702 | Bruit ramené à l'entrée pour $B_3 = 1,57 \text{ MHz}$ | B_3 pour pleine excursion de la tension de sortie $\pm 5 \text{ V}$ | Vitesse de variation de la tension de sortie |
|---------------------|---|---|--|
| à l'entrée | 170 μV eff | 800 KHz | 30 V/ μs |
| à la sortie | 14,8 μV eff | 10 KHz | 0,35 V/ μs |

V - RÈGLES D'UTILISATION

1° Saturation à l'entrée (fig. 30)

Si $A_v > 10$ en boucle fermée et $R_2 > 50 \text{ k}\Omega$, il n'y a pas risque de saturation de l'entrée avec inversion via C.R. Sinon, la saturation peut amener le blocage de l'ampli. (« latch-up » ou verrouillage). L'entrée travaille en direct sans inversion avec C.R. positive. On peut éviter la saturation par une diode D .

2° Protection contre les surtensions à l'entrée (fig. 31)

L'excursion positive à l'entrée est limitée par les diodes D en cas de surtensions ou de transitoires qui pourraient endommager l'amplificateur. Connectées à l'envers, elles protègent contre les tensions de crête négatives.

La figure 32 montre la protection par diode limitant la tension différentielle. Une autre solution (fig. 33) utilise des diodes Zener.

3° Protection contre une inversion accidentelle de V^+ - V^- (fig. 34)

En cas d'inversion accidentelle de la tension d'alimentation, la diode se bloque.

4° Protection contre les surcharges en sortie (fig. 35)

En cas de court-circuit ou de courant excessif en sortie, on place une résistance de protection en série. Par exemple, pour un $\mu\text{A} 702$ le courant $I_s < 50 \text{ mA}$. $R_p = 270 \Omega$ limite I_s . Les amplificateurs opérationnels de la série 709 résistent à un court-circuit en sortie pendant 5 s. Toutes les autres séries (741...) sont autoprotégées. Une résistance série en sortie peut aussi être nécessaire si le CI linéaire attaque un CI logique avec un courant maximal admissible. La tension de sortie peut être limitée dans ce cas par une diode.

5° Compensation de V_{off} (fig. 38)

Cette compensation n'est effectuée que s'il y a lieu, par exemple après un pont de mesures. Un montage plus précis est indiqué à la figure 24.

6° Compensation des déséquilibres dus au courant de polarisation I_{po} (fig. 36 et 37)

Ces deux schémas sont utilisés si la résistance de source est élevée ($R_s > 10 \text{ k}\Omega$). Lorsque la résistance de générateur est faible, on utilise la compensation classique des figures 22 et 23.

7° Antiverrouillage ou anti « latch-up » dans un montage suiveur (fig. 39 et 40)

Le circuit D_1 C_1 court-circuite les parasites sur l'entrée et la diode Zener D_2 limite la tension de sortie ramenée sur l'entrée. Une limite de la tension ramenée à l'entrée peut être obtenue par une résistance R de forte valeur introduite dans la boucle de C.R.

8° Symétriseur (fig. 41)

Il permet d'obtenir un signal parfaitement symétrique par rapport à la masse. On définit V_s puis on choisit les diodes Zener et le courant les traversant, d'où $i = \frac{2 V_{cc} - 2 V_z}{R_1 + R_2 + P}$. On en déduit $(R_1 + R_2 + P)$. On choisit P , d'où les valeurs de $R_1 = R_2$.

9° Découplage de l'alimentation (fig. 41)

Afin d'éviter les couplages entre étages par l'alimentation, il est nécessaire de découpler à la masse, le plus près possible de chaque circuit, par un condensateur céramique de 10 nF ou plus.

10° Attaque d'un circuit logique (fig. 33)

Le signal de sortie doit être limité aux valeurs extrêmes des niveaux logiques 0 et 1. Le signal de sortie est écrêté à ces niveaux par deux diodes.

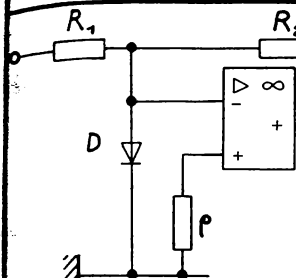


Fig. 30 — Diode anti-verrouillage

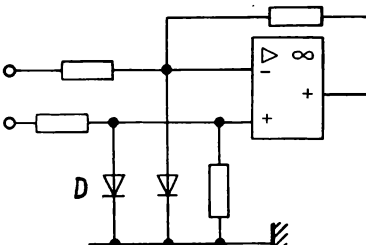


Fig. 31 — Protection contre les surtensions

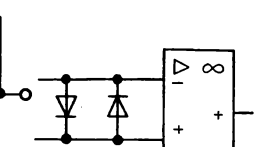
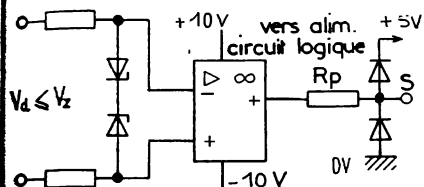
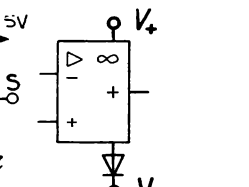
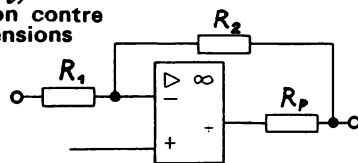
Fig. 32 — Protection contre V_d excessiveFig. 33 — Protection contre V_d excessive et attaque d'un circuit logiqueFig. 34 — Protection contre inversion $V^+ V^-$ 

Fig. 35 — Protection contre les surcharges en sortie

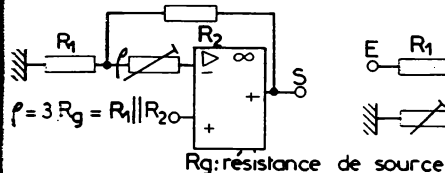
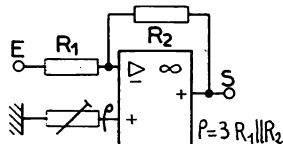
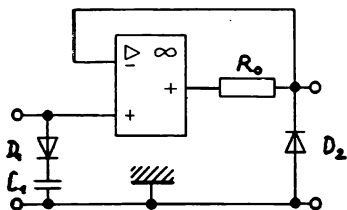
Fig. 36 et 37 — Polarisation si $R_g > 10 \text{ k}\Omega$ Fig. 38 — Compensation de V_{off} 

Fig. 39 et 40 — Anti « latch-up » (verrouillage)

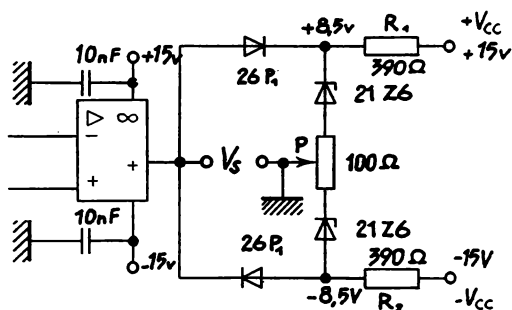


Fig. 41 — Symétriseur

VI - LES 5 MONTAGES FONDAMENTAUX

1° Amplificateur inverseur et ses variantes

a) Schéma type (fig. 42)

$$A_v = \frac{V_s}{V_e} = - \frac{R_2}{R_1} \quad Z_e = R_1, \quad Z_s = \frac{Z_0}{A_0 B_v} \rightarrow 0 \quad (\text{voir C3}).$$

Si R_1 et R_2 ont des tol. de $\pm 1\%$, tol. sur A_v : 2% .

Montage le plus utilisé lorsque Z_e requise n'a pas besoin d'être très grande.

b) Additionneur (ou sommateur) (fig. 42 avec les résistances en pointillés)

Au point de sommation A, on a $V = 0$ donc $\sum I_i = I_2$

$$V_e/R_1 + V_e'/R_1' + V_e''/R_1'' = -V_s/R_2 \quad \text{si} \quad R_1 = R_1' = R_1'' = R_2 \quad \text{on a} \quad V_e + V_e' + V_e'' = -V_s.$$

c) Multiplicateur-Diviseur

C'est un ampli. inverseur avec $R_2 = kR_1$ (k : nombre entier ou fractionnaire).

$$V_s = -kV_e. \quad \text{Exemple. Si } k = 1/3, V_s = -V_e/3.$$

d) Inverseur de tension

$$\text{Si } R_2 = R_1 \quad V_s = -V_e.$$

e) Amplificateur à grande amplification (fig. 43)

Ce montage évite d'avoir R_2 trop grande

$$B_v = \frac{R_1}{R_2} \cdot \frac{R_4}{R_3 + R_4} \quad A_v = \frac{V_s}{V_e} = - \frac{R_2}{R_1} \cdot \frac{R_3 + R_4}{R_4}.$$

f) Convertisseur courant-tension (fig. 44)

Tout le courant du générateur passe dans R et on a $V_s = -RI_e$, $Z_s = Z_0/A_0$ et $Z_e = R/A_0$ toutes deux négligeables.

g) Amplificateur alternatif (fig. 45)

$$\frac{v_s}{v_e} = - \frac{R_2}{Z_1} = - \frac{R_2}{R_1 + 1/jC\omega} = - \frac{R_2}{R_1 + 1/C\rho} \quad \text{soit} \quad \frac{v_s}{v_e} = - \frac{R_2}{R_1} \cdot \frac{\tau\rho}{1 + \tau\rho} \quad \text{avec } \tau = R_1 C.$$

C'est une cellule passe-haut de fréquence de coupure $f_c = \frac{1}{2\pi R_1 C}$.

2° Amplificateur non inverseur et ses variantes

a) Schéma type (fig. 46)

$$A_v = \frac{V_s}{V_e} = \frac{R_1 + R_2}{R_1} \quad Z_e = A_0 Z_e B_v \rightarrow \infty, \quad Z_s = \frac{Z_0}{A_0 B_v} \rightarrow 0 \quad (\text{voir C3}).$$

Montage à utiliser chaque fois qu'il faut une grande Z_e .

L'amplification ne peut pas être < 1 (peut être utilisé en multiplicateur et non en diviseur).

b) Etage suiveur (fig. 47)

Si à partir du schéma type on fait $R_1 = \infty$ et $R_2 = 0$ on obtient un montage suiveur. On l'utilise comme adaptateur d'impédances.

$V_s = V_e$ et sont en phase (V_s suit V_e). Pour éviter le verrouillage, voir D6.

Il peut donner une amplification en puissance importante

$$P_e = V_e^2/R_e, \quad P_s = V_s^2/R_s, \quad \lg A_p = \lg \frac{P_s}{P_e} = \lg \frac{R_e}{R_s} \quad \begin{array}{l} \text{— générateur} \\ \text{— utilisation} \end{array}$$

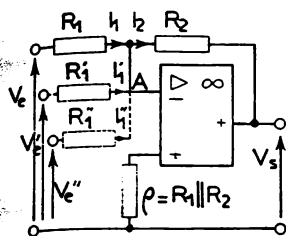
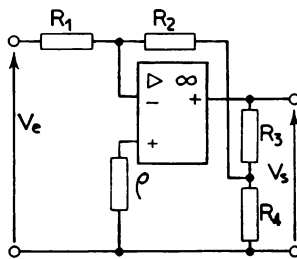
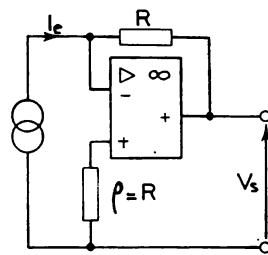
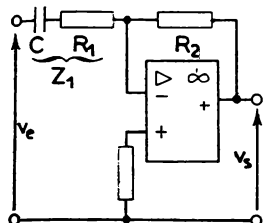
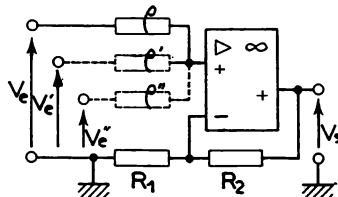
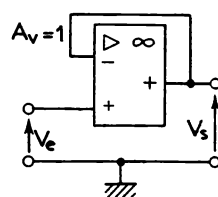
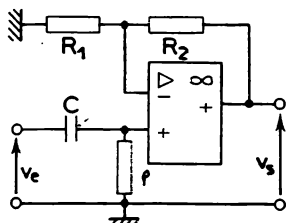
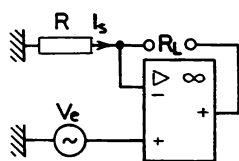
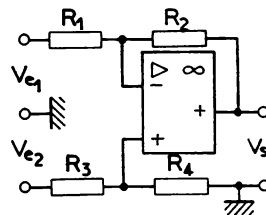
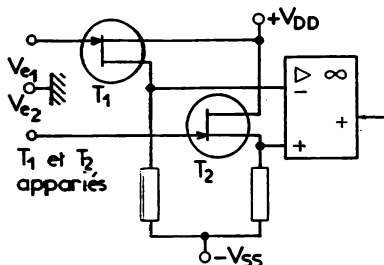
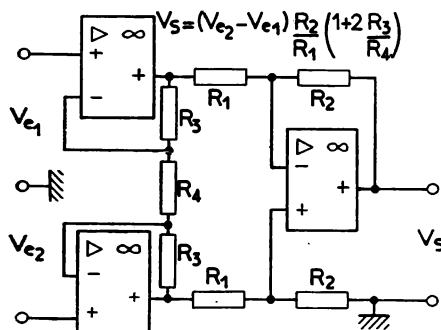
Fig. 42 — Ampli.
inverseurFig. 43 — Ampli.
à grande A_v Fig. 44 — Convertisseur
courant-tensionFig. 45 — Ampli.
alternatifFig. 46 — Ampli.
non inverseurFig. 47 — Montage
suiveurFig. 48 — Ampli.
alternatifFig. 49 — Convertisseur
tension-courantFig. 50 — Ampli.
différentiel

Fig. 51 et 52 — Ampli. différentiel à forte impédance d'entrée



c) *Amplificateur alternatif* (fig. 48)

$$\frac{v_s}{v_e} = \frac{R_1 + R_2}{R_1}, \quad \frac{v_s}{v_e} = \frac{\rho}{\rho + \frac{1}{C_p}} \quad \frac{v_s}{v_e} = \frac{R_1 + R_2}{R_1} \cdot \frac{\tau p}{1 + \tau p} \quad \text{avec } \tau = \rho C.$$

C'est une cellule passe-haut de fréquence de coupure $f_c = 1/2 \pi \rho C$.

d) *Convertisseur tension-courant* ou ampli. de transconductance (fig. 49)

$V_e = RI_s$: I_s passe dans la charge R_L et $I_s = V_e/R_L$ ou $g_m = 1/R_L$.
 $Z_e = Z_L(1 + A_0 B_1)$ et $Z_s = A_0 R$ toutes deux élevées. Inconvénient : « charge en l'air ».

e) *Additionneur non inverseur* (fig. 46 avec les pointillés)

Si $1/R_1 + 1/R_2 = 1/\rho + 1/\rho' + 1/\rho''$ avec $R_1 = R_2(A_v - 1)$ on a $A_v = A_{v1} + A_{v2} + A_{v3}$ et
 $V_e + V_e' + V_e'' = V_s$.

3° *Amplificateur de différence ou ampli. différentiel et ses variantes*

a) *Schéma type* (fig. 50)

$$V_s = V_{e2} \frac{R_1 + R_2}{R_1} \cdot \frac{R_4}{R_3 + R_4} - V_{e1} \frac{R_2}{R_1}$$

si $R_1 = R_3$ et $R_2 = R_4$ on a

$$V_s = (V_{e2} - V_{e1}) \frac{R_2}{R_1} \quad Z_{e1} = R_4 \neq Z_{e2} = R_3 + R_4$$

faibles toutes les deux.

b) *Soustracteur*

Si $R_1 = R_2$ $V_s = V_{e2} - V_{e1}$.

Si à partir de l'égalité générale donnant V_s on supprime R_4 ($R_4 = \infty$) et si on fait $R_2 = nR_1$ on obtient

$$V_s = (1 + n) V_{e2} - n V_{e1}$$

c) *Ampli. à forte Z_e*

Les figures 51 à 53 montrent quelques solutions parmi d'autres.

d) *Ampli. à gain réglable* (fig. 54)

Une autre solution consiste à mettre en série (fig. 50) entre R_2 et la sortie un ampli. inverseur à gain réglable. Dans ce cas on peut rendre V_s proportionnel au réglage.

e) *Ampli. alternatif* (fig. 55)

$$v_s = (v_{e2} - v_{e1}) \frac{R_2}{R_1 + 1/jC\omega} \quad A_v = \frac{v_s}{\Delta v} = \frac{R_2}{R_1} \cdot \frac{\tau p}{1 + \tau p} \quad \text{avec } \tau = R_1 C.$$

C'est une cellule passe-haut de fréquence de coupure $f_c = 1/2 \pi R_1 C$.

4° *Intégrateur*

a) *Schéma type* (fig. 56)

Courant dans C_2 = courant dans R_1 , $i = -C_2 \frac{dV_s}{dt} = \frac{V_e}{R_1}$

$$V_s = -\frac{1}{R_1 C_2} \int V_e dt \quad \text{ou} \quad V_s = -\frac{V_e}{j\omega R_1 C_2} \approx V_{sp} = -\frac{V_e}{\tau_p} \quad \text{avec } \tau = R_1 C_2.$$

Pour avoir un bon intégrateur il faut C_2 de bonne qualité (I_f faible soit $R_1 C_2 > 1000$ s) ainsi que Z_p et A_0 grands d'où l'emploi d'ampli opérationnel à effet de champ et grand gain. La caractéristique de réponse correspond à la partie droite de la figure 61. Si la résistance R_1 naturelle (qui n'est pas infinie) n'est pas suffisamment faible, l'ampli se sature et se verrouille.

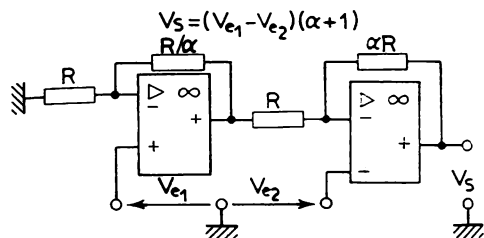
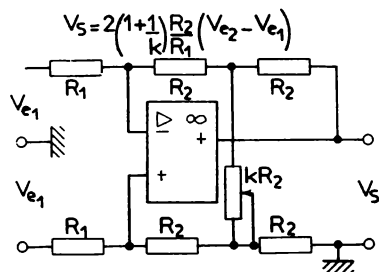
Fig. 53 — Ampli. différentiel à haute Z_o .

Fig. 54 — Ampli. à gain réglable

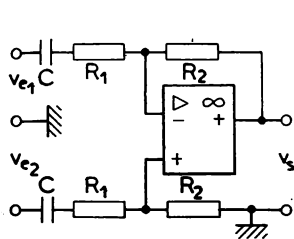


Fig. 55 — Ampli. alternatif

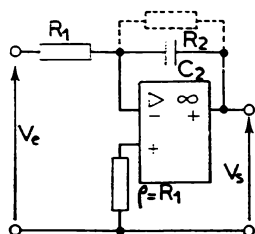


Fig. 56 — Intégrateur

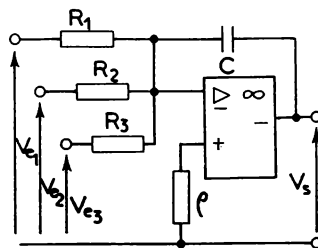


Fig. 57 — Intégrateur-sommeur

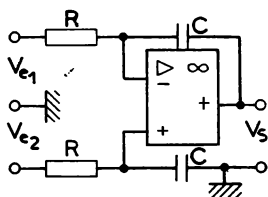


Fig. 58 — Intégrateur-soustracteur

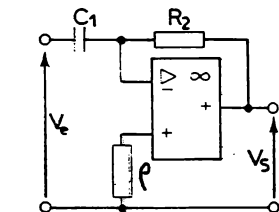


Fig. 59 — Différentiateur

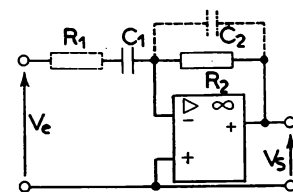


Fig. 60 — Généralisation cellule passe-bande

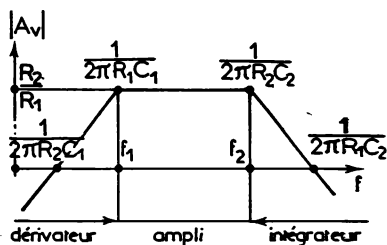


Fig. 61 — Caractéristique de réponse

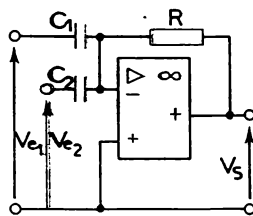


Fig. 62 — Différentiateur-sommeur

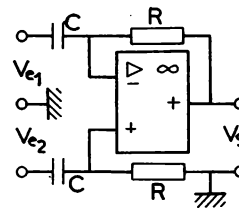


Fig. 63 — Différentiateur de différence

b) Rampe de tension

Si $V_e = C^e$, $V_s = -\frac{V_e}{RC}t$, $V_s \sim t$ (\sim : proportionnel).

Utilisation comme générateur de dents de scie.

c) Intégrateur-sommeur (fig. 57)

$$V_s = -\frac{1}{C} \int_0^t \left(\frac{V_{e1}}{R_1} + \frac{V_{e2}}{R_2} + \frac{V_{e3}}{R_3} \right) dt \quad \text{si } R_1 = R_2 = R_3 = R \quad \boxed{V_s = -\frac{1}{RC} \int \sum V_e dt}$$

d) Intégrateur-soustracteur (fig. 58)

$$\boxed{V_s = \frac{1}{RC} \int (V_{e2} - V_{e1}) dt} \quad \text{ou} \quad \underline{V_s} = \frac{1}{j\omega RC} (V_{e2} - V_{e1}), \quad A_v = \frac{V_s}{\Delta V} = \frac{1}{\tau p} \quad \text{avec } \tau = RC.$$

5° Différentiateur ou dérivateur

a) Schéma type (fig. 59)

Courant dans C_1 = courant dans R_2 , $i = \frac{C dV_e}{dt} = -\frac{V_s}{R}$

$$\boxed{V_s = -R_2 C_1 \frac{dV_e}{dt}} \quad \text{ou } \underline{V_s} = -j\omega R_2 C_1 V_e \quad \text{ou} \quad V_{s(p)} = -\tau p V_e \quad \text{avec } \tau = R_2 C_1.$$

La caractéristique de réponse correspond à la partie gauche de la figure 61. Si la résistance naturelle (qui n'est pas nulle) en série avec C_1 n'est pas suffisante, l'ampli. se sature et se verrouille.

b) Généralisation (fig. 60)

Que R_1 soit constituée par une résistance naturelle (résistance de générateur) ou par une résistance réelle, que C_2 soit constituée par les capacités parasites du circuit ou par une capacité réelle, la caractéristique de réponse complète est celle de la figure 61. On s'assurera par le choix des valeurs qu'un ampli. alternatif ne devienne pas dérivateur ou que le signal ne soit pas intégré par les capacités parasites.

Le schéma complet peut être utilisé comme filtre passe-bande.

c) Différentiateur-sommeur (fig. 62)

$$V_s = -R \left(C_1 \frac{dV_{e1}}{dt} + C_2 \frac{dV_{e2}}{dt} \right) \quad \text{si } C_1 = C_2 = C \quad \boxed{V_{s(p)} = -RCp \sum V_e}$$

d) Différentiateur de différence (fig. 63)

$$V_s = RC \left(\frac{dV_{e2}}{dt} - \frac{dV_{e1}}{dt} \right) \quad \text{ou} \quad \boxed{V_{s(p)} = RCp(V_{e2} - V_{e1})}$$

e) Filtre éliminateur de bande (fig. 64 et 65)

C'est un autre cas d'association d'intégrateur et de dérivateur. Jusqu'à f_1 on a X_{C1} négligeable devant R_1 et R_2 négligeable devant X_{C2} . De f_1 à f_2 on a X_{C1} et X_{C2} négligeables devant R_1 et R_2 .

Au-delà de f_2 on a R_1 négligeable devant X_{C1} et X_{C2} négligeable devant R_2 .

D'autres combinaisons des R et C sont utilisées pour les filtres (voir D11) ou comme compensateur de courbe RIAA (voir E10), etc.

VII - COMPARAISON-DÉTECTION

1° Comparateurs

Ils permettent de comparer deux signaux à l'entrée. Suivant que l'un V_e est supérieur (ou inférieur) à l'autre V_{ref} (signal de référence) la sortie de l'ampli. opérationnel est saturée négativement ou positivement (fig. 66).

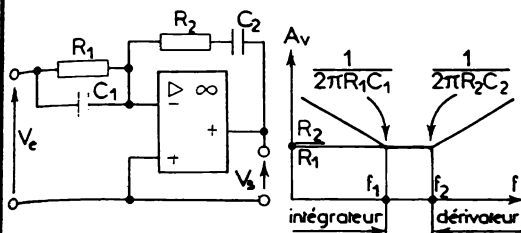


Fig. 64 et 65 — Filtre éliminateur de bande

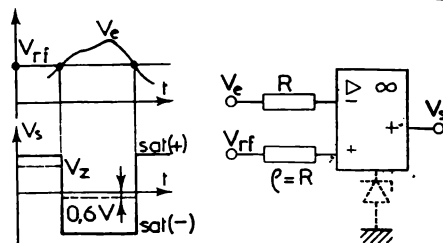


Fig. 66 et 67 — Comparateur

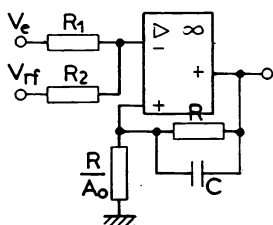
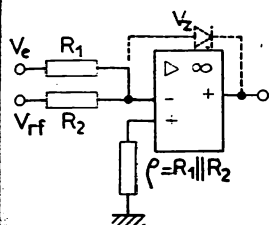


Fig. 68 — Comparateur Fig. 69 — Comparateur à réaction

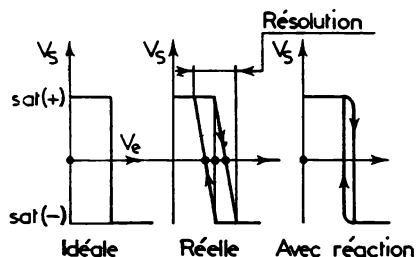


Fig. 70 à 72 — Caractéristiques de transfert

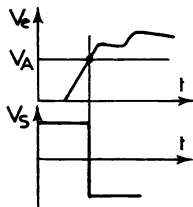
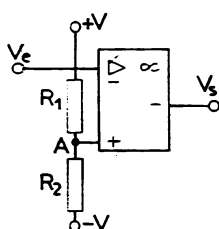


Fig. 73 et 74 — Détecteur de seuil

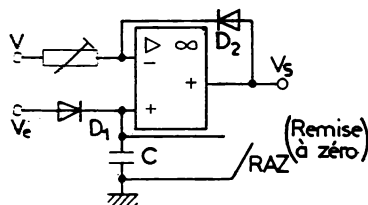


Fig. 75 — Détecteur de tension max.

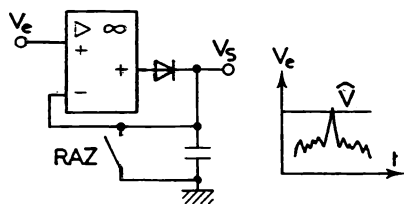


Fig. 76 et 77 — Détecteur de crête

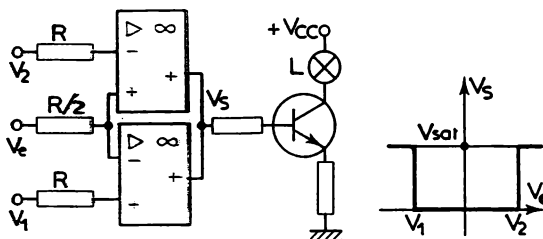


Fig. 78 et 79 — Détecteur à 2 seuils

a) Schéma type (fig. 67)

L'entrée V_e est analogique, la sortie V_s (saturation + ou -) est logique. On peut utiliser pour cette fonction soit un ampli. opérationnel, soit un circuit intégré spécialement conçu, pour cet usage.

Si on inverse V_e et V_{ref} , l'entrée est à haute impédance.

La tension de référence V_{ref} doit être généralement très stable.

b) Variante. Comparateur-limiteur (fig. 68)

Dans ce cas les deux tensions à comparer doivent être de signes contraires. Le passage d'un état de sortie dans l'autre se fait pour $V_e = -R_1 R_2 \cdot V_{ref}$. Si $R_1 = R_2$, le passage se fait pour $V_e = -V_{ref}$.

En introduisant la diode Zener en pointillés on obtient un comparateur-limiteur. La tension de sortie est soit V_z , soit 0,6 V (pointillés sur figure 66).

c) Comparateur à réaction (fig. 69)

La caractéristique de transfert n'est pas idéale (fig. 70) mais donne lieu à de l'hystérésis (fig. 71) car le comparateur n'a pas une vitesse d'excursion infinie. Cette vitesse d'excursion peut être augmentée :

- en choisissant un ampli. avec A_0 et B_3 grands,
- en limitant l'excursion par diode : comparateur-limiteur,
- en utilisant de la réaction positive (fig. 69 et 72).

Pour maintenir le taux de réaction constant en fonction de f , choisir $C = 1/2 \pi R f_c$ avec f_c fréquence de coupure de l'ampli. en boucle ouverte.

d) Autres variantes

Les fabricants proposent des circuits intégrés comparateurs à TEC d'entrée (bruit $<$, $V_{dmax} >$, $I_e <$, $Z_e >$), d'autres avec une entrée d'inhibition permettant de bloquer la sortie à zéro tant que les transitoires parasites de commutation ne sont pas passés, deux comparateurs sous un même boîtier (dérives de températures \approx).

2° Détecteurs

a) Détecteur de seuil (fig. 73)

La détection telle qu'elle est entendue ici, consiste à utiliser un comparateur pour détecter le passage d'une tension variable à une valeur donnée V_d (fig. 74).

Pour régler ou ajuster V_d on peut placer en A un potentiomètre ajustable.

Si $|+V| = |-V|$ et $R_1 = R_2$, on obtient un détecteur de zéro.

b) Détecteur de tension maximale (fig. 75)

Le condensateur se charge à travers la diode D_1 et mémorise la tension max. (moins V_d diode). D_2 permet d'ajouter en sortie V_d pour compenser D_1 .

c) Détecteur de crête (fig. 76)

La tension crête (fig. 77) est mémorisée par le condensateur C.

d) Détecteur à 2 seuils (fig. 78 et 79)

Chaque fois que V_e dépasse V_1 ou V_2 , la lampe L s'allume. Ce circuit permet par exemple de vérifier les valeurs limites de composants.

e) Détecteur de zéro (fig. 80 et 81)

Si $V_S > 2 |V_d|$ on a $A_v = 2 r_{af} / R \approx 0 \rightarrow$ limiteur.

Si $V_S < 2 |V_d|$ les diodes sont bloquées et $A_v \approx \infty / R = A_0$ (ampli en boucle ouverte) d'où les fronts raides à chaque passage à zéro. ($+V, -V$) permet un léger passage de courant dans les diodes et augmente la vitesse de basculement.

f) Détection sans seuil (fig. 82 et 83)

Le nouveau seuil de détection est pratiquement nul, égal à V_d / A_0 , ($V_d : 0,6$ V).

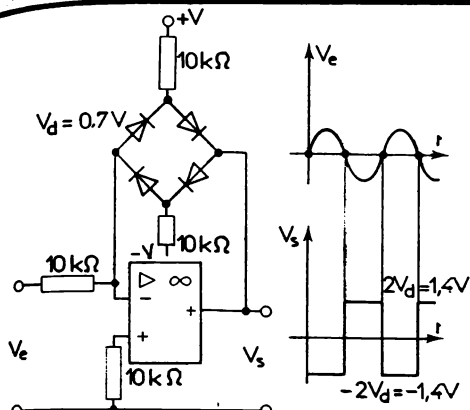


Fig. 80 et 81 — Détecteur de zéro

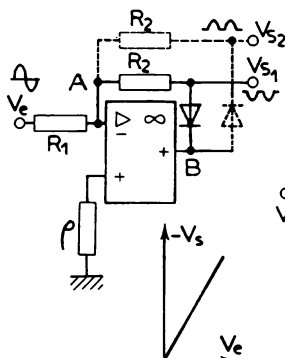
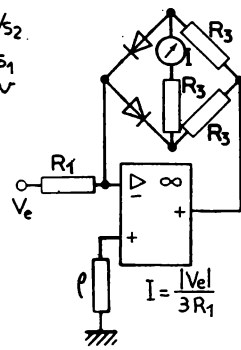
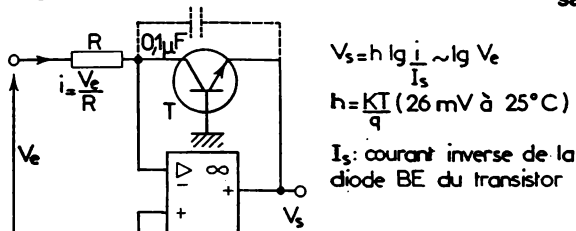
Fig. 82 et 83
Détection
sans seuilFig. 84
Redresseur
de lecture

Fig. 85 — Ampli. logarithmique

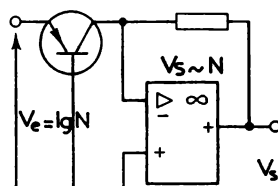


Fig. 86 — Ampli. anti-log

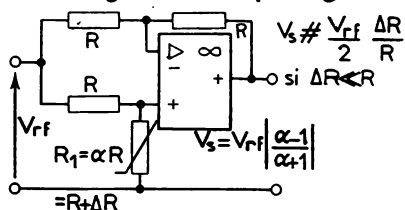


Fig. 87 — Ampli. pour capteur

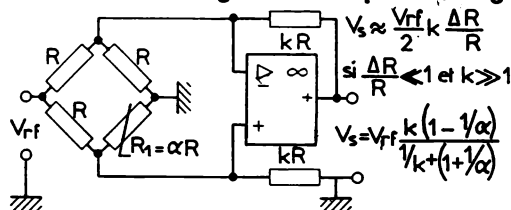
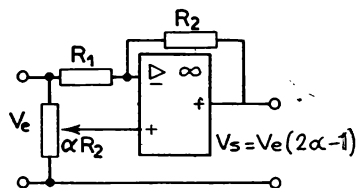
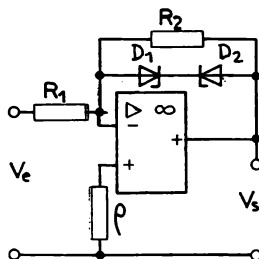
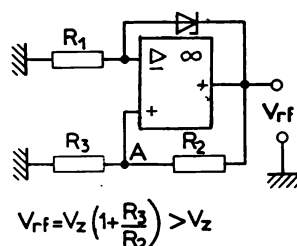


Fig. 88 — Ampli. en pont pour capteur

Fig. 89 — Amplification
 $-1 < A_v < 1$
avec α de 0 à 1Fig. 90 — Ampli.
limiteurFig. 91 — Tension
de référence

VIII-SCHÉMAS DIVERS

1° Redresseurs

a) Redresseur monoalternance (fig. 82 et 83)

Le montage détecteur sans seuil peut être utilisé pour le redressement. Il a un rendement plus élevé et permet de redresser des tensions faibles. Pour éviter la saturation en inverse, il faut placer une diode entre A et B , on a alors $A_v \approx 0$ au lieu de $A_v \approx \infty$.

b) Redresseur double alternance

Il suffit d'ajouter sur le schéma précédent le circuit en pointillés. (Application en A 7)

$$\text{Si } V_e > 0 \quad V_{s1} = 0 \quad V_{s2} = -V_e \cdot R_2 / R_1.$$

$$\text{Si } V_e < 0 \quad V_{s1} = 0 \quad V_{s2} = -V_e \cdot R_2 / R_1.$$

En appliquant chaque signal de sortie sur chacune des 2-entrées d'un ampli. différentiel on retrouve les deux alternances dans le même sens. En ajoutant un condensateur de valeur suffisante convenablement placé, on obtient un filtre passe-bas ne laissant passer que la composante continue.

c) Redresseur de lecture (fig. 84)

Le courant I mesuré est proportionnel à V_e .

2° Amplificateurs divers

a) Ampli. logarithmique (fig. 85)

Le montage le plus simple consiste à introduire une diode dans la boucle de réaction du montage inverseur. La caractéristique courant-tension de la diode étant exponentielle, V_s est proportionnelle au logarithme de V_e . L'emploi de transistors montés en « transdiode » donne une plage logarithmique plus étendue (9 décades) que pour les diodes (4 à 6 décades).

C en parallèle sur T évite les oscillations HF. Une diode inverse en parallèle sur T le protège en cas de polarisation inverse.

En plaçant le transistor dans l'entrée de l'ampli. inverseur (fig. 86) on obtient un module exponentiel ou ampli. anti-logarithmique.

b) Ampli. pour capteurs à R variable (fig. 87 et 88)

La résistance variable R peut être une jauge de contrainte, une thermistance, une magnétorésistance, une photorésistance...

Le second schéma a une sensibilité beaucoup plus grande car $V_s \sim k$.

c) Sommateur-soustracteur à G réglable (fig. 89)

Ce montage permet d'avoir une amplification variant de -1 à $+1$ en passant par zéro.

d) Ampli. limiteur (fig. 90)

Tant que $|V_s| < V_{zD1} + V_{D2}$ (ou $V_{zD2} + V_{D1}$) on a $A_v = -R_2/R_1$. Au-dessus les diodes sont passantes et $A_v = -R/R_1$ (R : résistances en série de D_1 et D_2) d'où $-V_z < V_s < +V_z$.

e) Tension de référence (fig. 91)

Le montage permet à partir d'une diode Zener d'obtenir une tension stable $V_{rf} > V_z$. Pour obtenir une tension négative de référence il suffit d'inverser la diode. En plaçant un potentiomètre en A on peut régler V_{rf} . On peut imaginer des schémas donnant $V_{rf} < V_z$. Ce sont les diodes Zener de 7,5 à 10 V qui ont les meilleures caractéristiques de régulation.

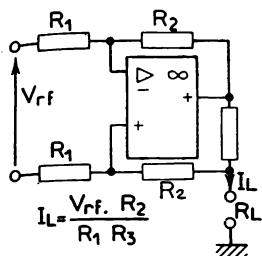


Fig. 92 — Source de courant

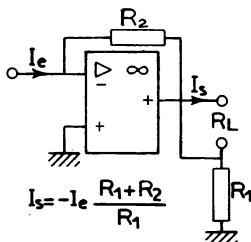


Fig. 93 — Ampli. de courant

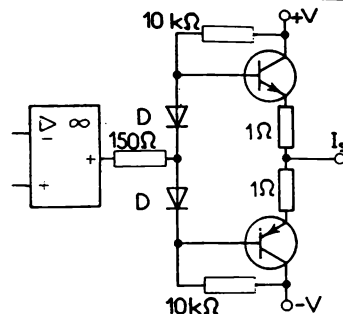


Fig. 94 — Ampli. de puissance

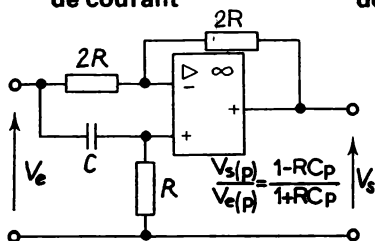


Fig. 95 — Déphaseur

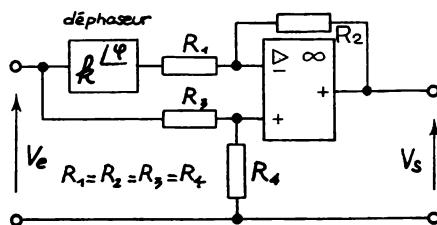


Fig. 96 — Convertisseur phase-amplitude

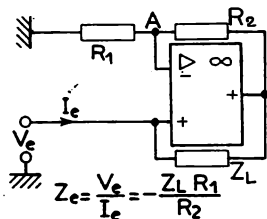


Fig. 97 — Convertisseur de Z négative

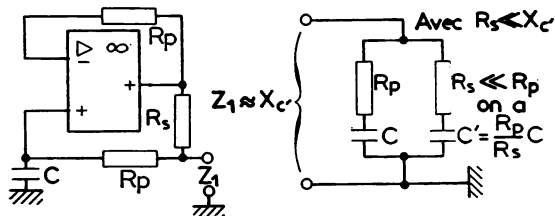


Fig. 98 et 99 — Multiplicateur de C

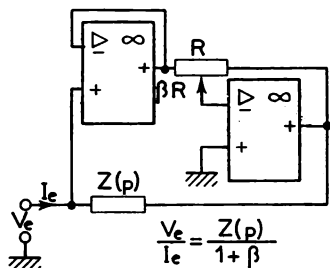


Fig. 100 — Diviseur de Z

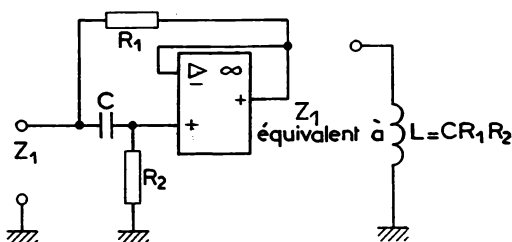


Fig. 101 et 102 — Simulation d'une inductance

f) *Source de courant (fig. 92)*

En appliquant une tension constante à l'entrée, on obtient en sortie un courant constant.

Si la tension d'entrée est variable on obtient en sortie un courant proportionnel : convertisseur tension-courant. La plage est plus étendue que celle du montage de la figure 49 et la charge à une borne à la masse.

g) *Ampli. de courant (fig. 93)*

Les résistances d'entrée et de sortie sont $R_e = R_2 A_0$, $R_s = A_0 R_1$.

L'inconvénient est d'avoir la charge en l'air.

h) *Ampli. de puissance (fig. 94)*

Le courant débité par un ampli. opérationnel étant souvent insuffisant, il est nécessaire de le faire suivre d'un ampli. de puissance qui peut être un simple transistor (ou un darlington) ou s'il est nécessaire d'avoir un bon rendement et une faible distorsion d'un étage symétrique classe AB tel que celui déjà étudié en B10.

3° Fonctions diverses

a) *Déphaseur (fig. 95)*

L'amplification $|A_v| = 1$ et la phase sortie-entrée varie de π à (-2π) en fonction de la fréquence. Si on permute R et C, la phase varie alors de 0 à $(-\pi)$ en fonction de la fréquence. (Le module n'est pas modifié.) $\varphi = -2 \operatorname{Arctg} RC\omega$.

b) *Convertisseur fréquence-amplitude (fig. 96)*

Si $R_1 = R_2 = R_3 = R_4$, on a $V_s/V_e = 1 - k^{L^e}$. Si $k = 1$ (schéma du déphaseur précédent) il vient pour $\varphi = 0$, $V_s = 0$; pour $\varphi = \pi$, $V_s = 2 V_e$. On a ainsi une variation d'amplitude proportionnelle à la phase c'est-à-dire à la fréquence d'entrée.

c) *Convertisseur d'impédance négative (N.I.C.) (fig. 97)*

L'impédance vue des bornes d'entrée est négative. On peut régler sa valeur en plaçant un potentiomètre au point A. On peut imaginer de nombreuses applications pour lesquelles on peut annuler R, L ou C en plaçant en parallèle R, L ou C négatives.

d) *Multiplificateur de capacité (fig. 98 et 99)*

Le montage permet d'obtenir une grande capacité fictive au lieu d'avoir un condensateur de valeur équivalente lourde et encombrant ($C' \leq 10^5 \mu F$).

e) *Diviseur d'impédance (fig. 100)*

En ayant β élevé on peut obtenir une faible impédance vue des bornes d'entrée, pour des valeurs non commerciales ou difficiles à fabriquer.

f) *Simulation d'inductance (fig. 101 et 102)*

Ce schéma permet de réaliser plus facilement certaines valeurs de L, uniquement avec une capacité associée à 2 résistances.

g) *Inverseur d'impédance positive (P.I.I.) ou gyrateur (fig. 103)*

Le gyrateur est un quadripôle qui inverse Z_s par rapport à Z_0 et Z_e par rapport à Z_0 par l'intermédiaire d'une impédance caractéristique dite de gyration qui se ramène souvent à une résistance pure R_g .

Le schéma de base est obtenu par association d'un générateur de courant et d'une impédance négative.

Les applications sont très diverses :

- Conversion tension-courant.
- Transformation et adaptation d'impédances.
- Transformation $L \leftrightarrow C$ (filtres).
- Isolation entre étages.

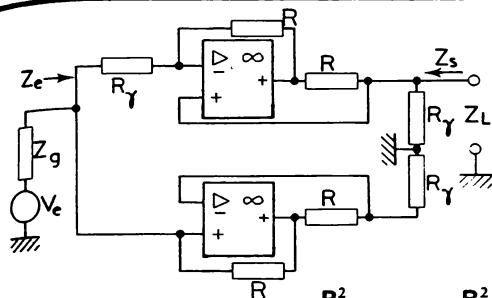


Fig. 103 — Gyrateur $Z_e = \frac{R^2}{Z_L}$ et $Z_s = \frac{R^2}{Z_e}$

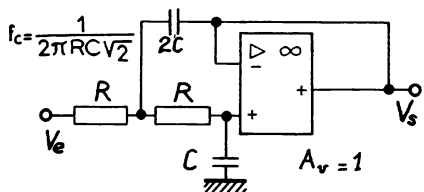


Fig. 105 — Filtre passe-bas, flanc raide

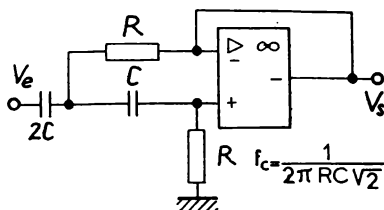


Fig. 104 — Filtre passe-haut flanc raide

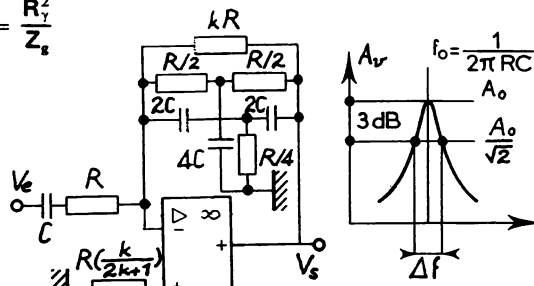


Fig. 106 et 107 — Filtre sélectif de bande étroite

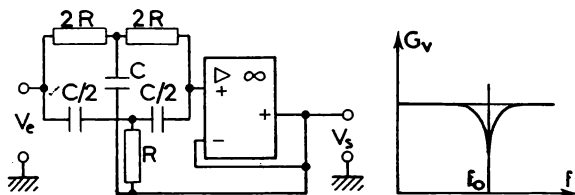


Fig. 108 et 109 — Filtre réjecteur

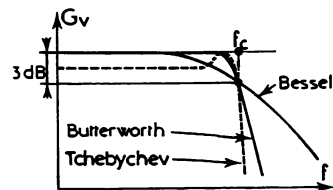


Fig. 110 — Filtres divers

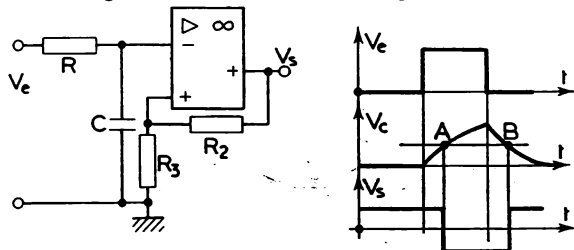


Fig. 111 et 112 — Circuit à retard

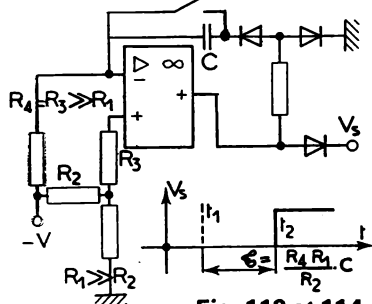


Fig. 113 et 114
Circuit à retard élevé

IX - FILTRES ACTIFS

Les filtres actifs sont réalisés avec des réseaux RC placés en liaison ou dans la boucle de contre-réaction d'un ampli. opérationnel. Le filtre ainsi réalisé a les avantages suivants :

- Impédance de sortie très faible.
- Suppression des bobinages en particulier sur filtres TBF qui nécessiteraient en filtres passifs des bobines d'inductance encombrantes et difficiles à fabriquer.
- Obtention de forts coefficients de surtension avec des composants de tolérances $\pm 0,1 \%$, outre l'action sur la bande passante des amplificateurs, l'élimination de fréquences indésirables, ils sont utilisés sur certains oscillateurs ou pour transformer un signal triangulaire en sinusoïdal ou un signal carré en triangulaire.

1° Filtres du 1^{er} ordre

Ce sont des filtres simples où seul le terme ($p = j\omega$) intervient. L'atténuation a une pente de 6 dB/octave. Nous les avons déjà étudiés :

- filtre passe-haut (fig. 45, 48 et 59) ;
- filtre passe-bas (fig. 56) ;
- filtre passe-bande (fig. 60) ;
- filtre éliminateur de bande (fig. 64).

2° Filtres du 2^e ordre

Dans ce cas, la fonction de transfert contient le terme ($j^2 \omega^2 = p^2$). Il peut être constitué par deux cellules identiques en cascade d'où une atténuation de 12 dB/octave (voir aussi B12). De tels filtres peuvent être réalisés avec un seul ampli. opérationnel (fig. 104 et 105).

3° Filtres à bande étroite

Ils utilisent une cellule en double T placée soit dans la boucle de réaction (fig. 106) ou dans la liaison (fig. 108 et 109).

$$\text{Sélectivité (fig. 107)} : \frac{\Delta f}{f_0} = \frac{1}{\sqrt{A_0(1 + A_0)}} \quad \text{comme } A_0 \gg 1 \quad \frac{\Delta f}{f_0} \approx \frac{1}{A_0}$$

4° Autres filtres

Il existe de nombreuses autres structures plus ou moins compliquées dont on trouvera les schémas sur des ouvrages théoriques. Nous donnons la réponse en amplitude (fig. 110) pour trois des plus connus. La structure Tchebyshev donne la pente la plus raide, celle de Butterworth la réponse harmonique la plus plate, et celle de Bessel une phase proportionnelle à f ainsi qu'une réponse impulsionnelle plus performante.

X - AUTRES APPLICATIONS

1° Circuits à retard

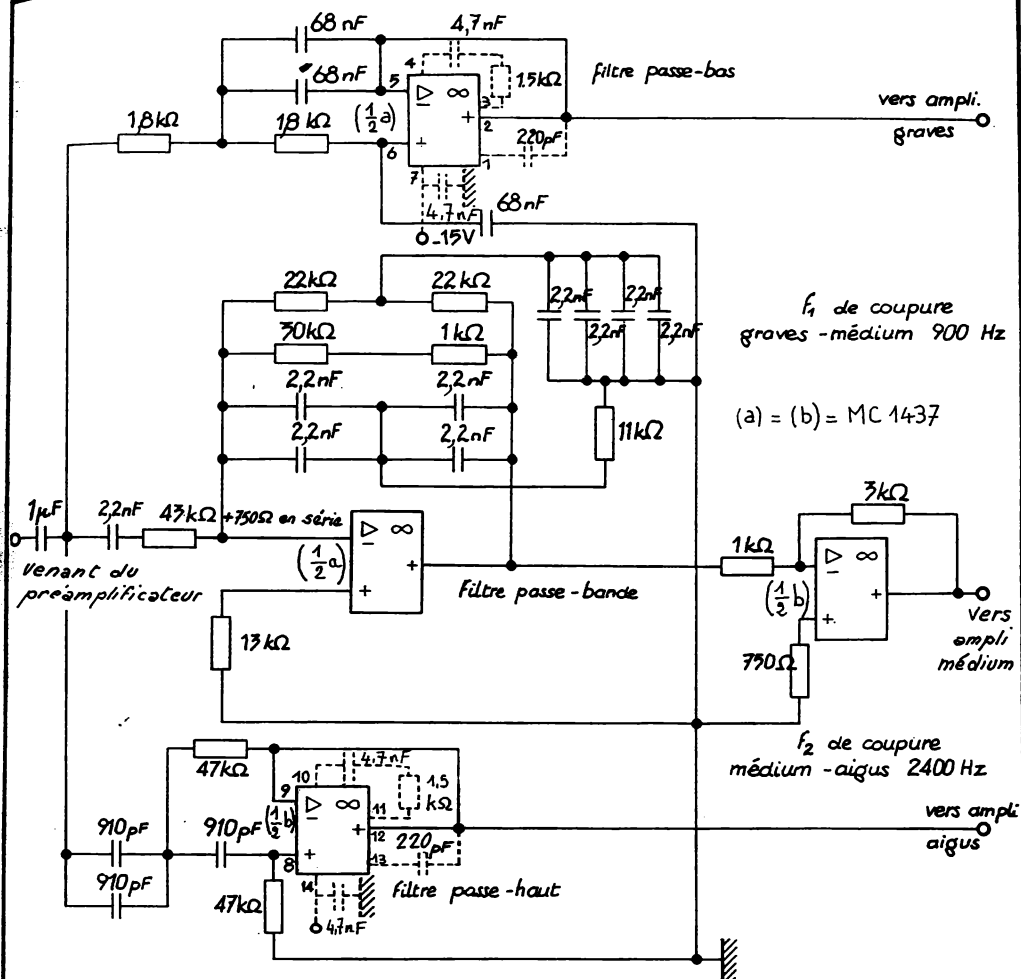
Si un créneau est appliqué à l'entrée (fig. 111) on le retrouve retardé en sortie mais inversé (fig. 112).

Si on ferme l'interrupteur au temps t_1 (fig. 113 et 114) on obtient un échelon en sortie retardé du temps τ par rapport à t_1 .

2° Bascules : voir chapitre F.

3° Oscillateurs : voir chapitre J.

4° Circuit multiplieur : voir page suivante.



toutes les résistances sont à couche de carbone $\pm 5\%$ ou $\pm 2\%$ $\frac{1}{2}\text{ W}$
 tous les condensateurs sont au polyester $\pm 5\%$ ou $\pm 2\%$ 63 V
 2 circuits intégrés MC 1437 à 14 sorties "Dual in line" alimentation $\pm 15\text{ V}$
 Le circuit intégré TBA 915 comporte les 3 amplificateurs dans le même boîtier

Fig. 115 — Filtre actif à 3 voies pour enceinte acoustique à 3 haut-parleurs

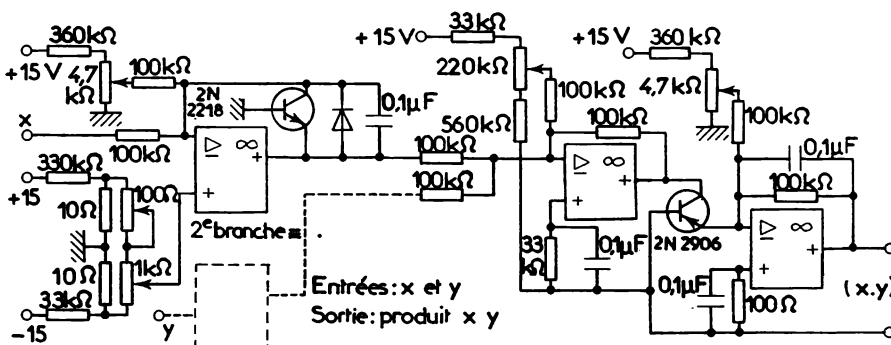
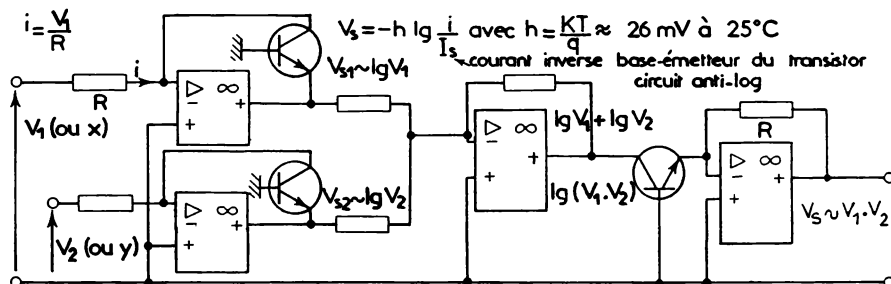
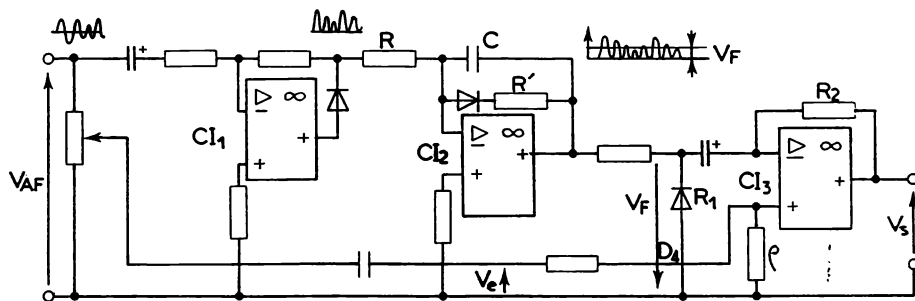


Fig. 116 et 117 — Circuit multiplieur : Schéma simplifié et schéma réel



La tension AF redressée par C_1 est intégrée par C_2 avec C dans la boucle de réaction. D_3 et R' en parallèles sur C permettent de modifier logarithmiquement la composante continue variable. Celle-ci est appliquée à la diode D_4 .

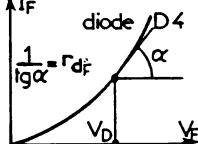
Le C_3 est un ampli non inverseur tel que:

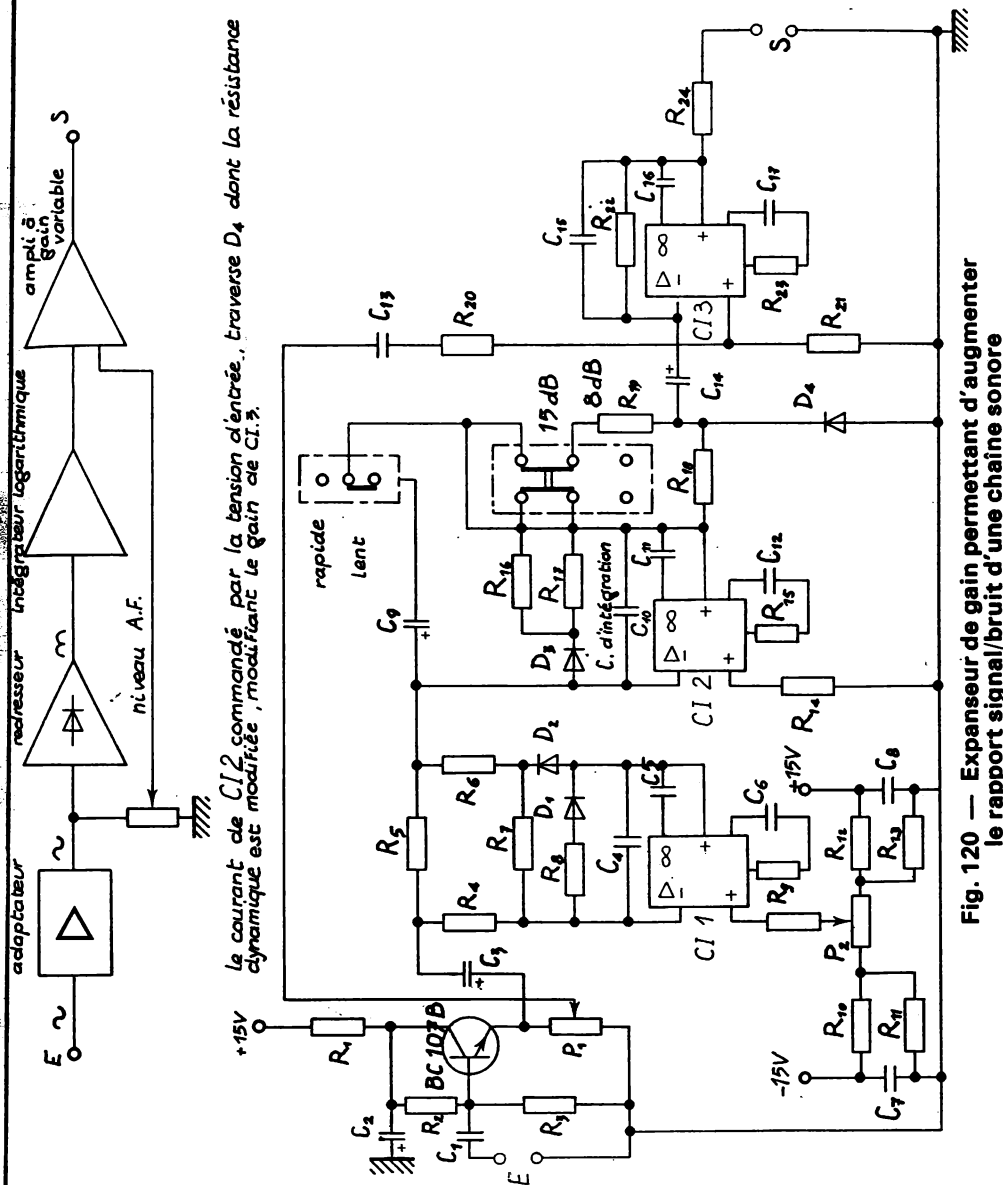
$$V_s = V_e \left(1 + \frac{R_2}{R_1}\right) = V_e \left(1 + \frac{R_2}{r_{df}}\right), \text{ Quand } |V_e| \nearrow \text{ on a aussi } |V_F| \nearrow \text{ soit } r_{df} \nearrow$$

et $G_v \nearrow$ (effet expenseur)

Fig. 118 et 119

Schéma simplifié de l'expenseur de gain ci-contre





I - ÉTAGES AF DE RADIORECEPTEURS (fig. 1)

- Puissance maximale de sortie : 1 à 6 W avec un seul étage de puissance.
4 à 10 W avec deux étages de puissance symétrique.
- Tension d'entrée : environ 1 V pour la puissance maximale de sortie.

Cette tension peut être délivrée par :

- la détection du récepteur ;
- un lecteur piézoélectrique (pick-up ou P.U.) ;

Le commutateur de gammes comporte une position (P.U.).

L'utilisation éventuelle d'un microphone piézoélectrique ou électrodynamique délivrant une tension de 20 à 50 mV nécessite un préamplificateur supplémentaire.

Variantes

- Pour un récepteur en AM (modulation d'amplitude), la qualité est limitée du fait des inconvénients inhérents à ce procédé de modulation. Un amplificateur simple dont la bande passante est limitée à 4500 Hz est suffisant. Dans un récepteur en FM (modulation de fréquence), l'amplificateur AF devra être de qualité.

- La figure 2 montre comment on peut utiliser la partie AF d'un récepteur en interphone très simple à deux correspondants et un seul tableau de commande. Positions : R récepteur, E écoute, P parole.

II - GRAVEURS DE DISQUES (fig. 3)

Une installation complète comporte des entrées micro et PU avec préamplificateurs et correcteurs, mélangeurs, dosage, réglage de tonalité, réglage de puissance. Il peut y avoir un ou plusieurs amplificateurs de puissance de 10 W environ, chacun attaquant un ou plusieurs graveurs.

Un compresseur de contrastes complète l'installation.

III - ÉLECTROPHONES

Nous voyons sur la figure 4 que le schéma de principe d'un amplificateur d'électrophone ne diffère en rien de celui des étages AF d'un radiorecepteur. La puissance de sortie varie de 3 à 10 W. Une caractéristique de réponse est donnée figure 6.

Pour un amplificateur de haute fidélité on doit avoir les qualités minimales suivantes :

- Caractéristique de réponse : 20 Hz à 30 kHz à ± 2 dB.
- Puissance minimale de sortie par canal : 10 W eff. par canal.
- Taux de distorsion harmonique totale : $< 0,5\%$ pour $P_s = 2$ W eff. par canal.
- Rapport signal/bruit : 60 dB pour $P_s = 1,5$ W eff. par canal.
- Taux d'affaiblissement de diaphonie : $- 25$ dB à 1000 Hz.

La diaphonie est un défaut dû à l'action réciproque d'un canal sur l'autre dans le cas de stéréophonie. On mesure le niveau de diaphonie à partir d'un disque stéréophonique où un seul des flancs du sillon est modulé. Un exemple de courbe obtenue est donné à la figure 7. On note qu'elle répond aux normes de haute fidélité.

| Types de lecteurs | U de sortie | Nb d'ampli de U | Z _L à 1000 Hz | Observations |
|------------------------------------|-------------|-----------------|--------------------------|-----------------|
| Magnétodynamiques | 1 à 10 mV | 2 | 47 à 100 kΩ | pas de transfo. |
| Electrodynamiques | 0,1 à 1 mV | 2 | 50 à 200 Ω | transformateur |
| Piézoélectrique : Sel de Seignette | 0,1 à 1 V | 1 | 100 à 500 kΩ | pas de transfo. |
| Piézoélectrique : céramique | 10 à 100 mV | 1 | 1 à 5 MΩ | pas de transfo. |

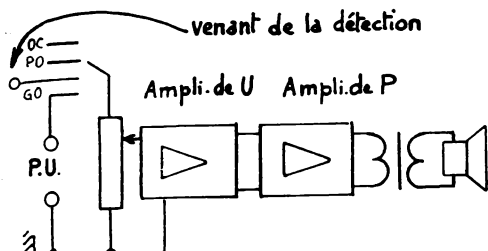


Fig. 1 — A. F. de récepteur

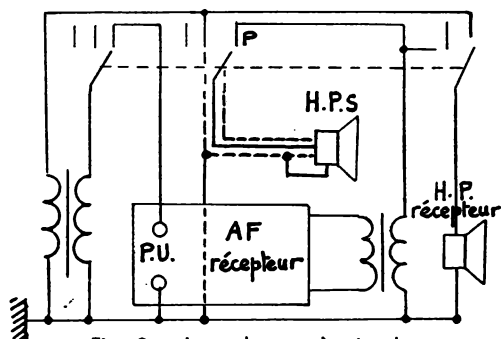


Fig. 2 — Interphone très simple

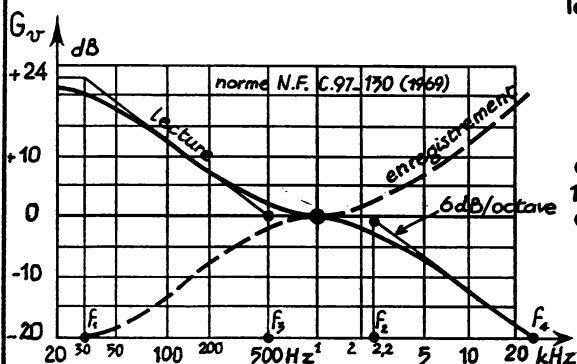


Fig. 5 — Caractéristiques RIAA utilisées pour la gravure et la lecture des disques

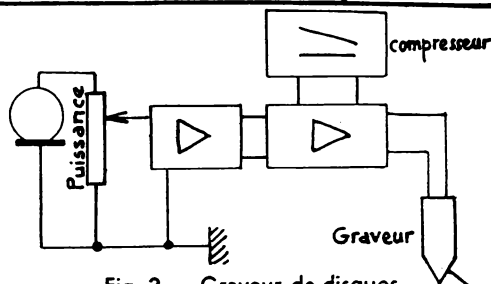


Fig. 3 — Graveur de disques

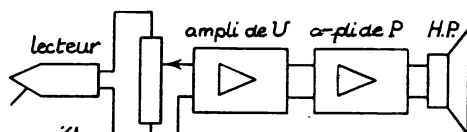


Fig. 4 — Electrophone

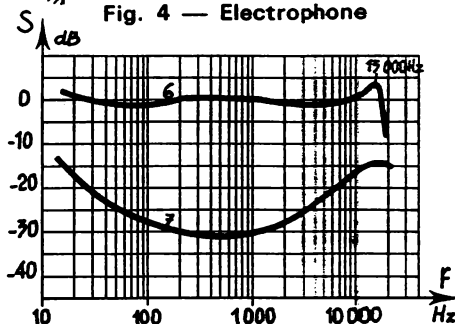
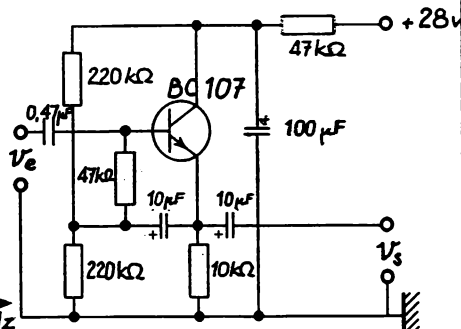


Fig. 6 — Caractéristique de réponse

Fig. 7 — Courbe de diaphonie d'un lecteur magnétique stéréophonique

Fig. 8 — Préamplificateur à grande Z_e

1° Caractéristiques d'enregistrement

La caractéristique américaine RIAA est pratiquement adoptée par la plupart des constructeurs. Elle est représentée à la *figure 5*. La courbe européenne CCIR a une tolérance de ± 2 dB et englobe la courbe RIAA. Les sons graves sont diminués en intensité pour que l'amplitude de déplacement du burin graveur ne soit pas trop élevée (possibilité d'augmenter le nombre de spires au centimètre). D'autre part, les aigus sont renforcées pour diminuer le bruit de surface qui se manifeste à ces fréquences (augmentation du rapport signal sur bruit).

2° Caractéristique de compensation à la lecture

Lorsqu'un lecteur a une caractéristique de réponse horizontale (cas des lecteurs magnétiques par exemple), on doit introduire dans le préamplificateur un circuit de correction qui produit une caractéristique de lecture inverse de la caractéristique d'enregistrement.

Le réseau de correction peut être placé soit dans la liaison entre deux étages (*fig. 13*), soit, le plus souvent, dans une boucle de réaction (*fig. 14*). On réalise la correction au moyen de cellules RC dont les fréquences de coupure sont 30 Hz et 2,2 kHz. L'étude d'un compensateur RIAA est donnée en E10.

3° Caractéristiques des têtes de lecture

a) Lecteurs piézoélectriques (Sel de Seignette ou céramique)

Ils équipent la plupart des électrophones de qualité moyenne. Ils possèdent une grande souplesse d'adaptation par rapport aux autres systèmes. La caractéristique obtenue dépend beaucoup de la charge branchée aux bornes du lecteur. Elle corrige de façon assez convenable la caractéristique de gravure RIAA lorsqu'elle est chargée par une résistance d'entrée de 1 M Ω (courbe en pointillés de la *figure 9*). La diaphonie est de -20 dB à 1 kHz.

Pour obtenir une grande impédance d'entrée, on peut utiliser un transistor monté CC modifié pour accroître r_e (montage bootstrap : *fig. 8*) ⁽¹⁾ ou encore un transistor à effet de champ (*fig. 11*).

Il faut obligatoirement un condensateur de liaison pour éviter toute composante continue d'être appliquée au sel de Seignette ⁽²⁾. Dans le cas de céramique, ce condensateur peut être supprimé, la liaison directe étant plus favorable aux passages des graves.

En examinant plus en détail l'influence des éléments sur la courbe de réponse, on constate que la caractéristique du lecteur chute dans les aigus car la cellule piézoélectrique a une capacité de l'ordre de 100 pF. Supposons que sa valeur soit de 160 pF. En lui associant en parallèle une résistance de 470 k Ω , la fréquence de coupure est de 2 kHz environ (*fig. 10*). La courbe RIAA est ainsi corrigée dans les aigus. Pour compenser les graves, il faut compléter par un filtre passe-bas (ou cellule à retard de phase) dont les fréquences de coupure sont :

$$f_1 = \frac{1}{2\pi(R_1 + R_2)} = 50 \text{ Hz} \quad \text{et} \quad f_2 = \frac{1}{2\pi R_2 C} = 500 \text{ Hz}.$$

L'atténuation étant de 20 dB, on intercale entre la cellule et le lecteur un étage préamplificateur de gain 20 dB. On utilise un FET ayant une forte impédance d'entrée et un faible bruit.

b) Lecteurs magnétiques (à réluctance variable ou magnétodynamique)

Ils constituent la majorité des lecteurs de disques utilisés sur les appareils de haute fidélité. Leur bande passante est de 20 Hz à 20 kHz à ± 2 dB (*fig. 6*). Ils nécessitent l'emploi d'un compensateur RIAA dans le préamplificateur (*fig. 12 à 14*). Leur niveau de sortie est assez faible : 1 mV/cm/s à 1 kHz par canal, avec une résistance de charge de 50 k Ω . La diaphonie est de -30 dB à 1 kHz.

(1) L'explication du montage bootstrap est donnée en C3.

(2) Sinon le Sel de Seignette se décompose par électrolyse.

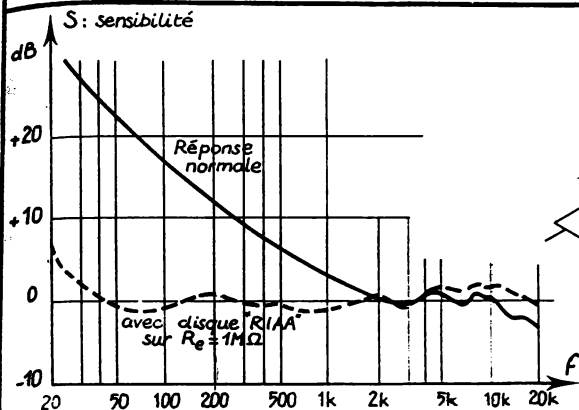


Fig. 9 — Caractéristique de réponse d'un lecteur piézoélectrique

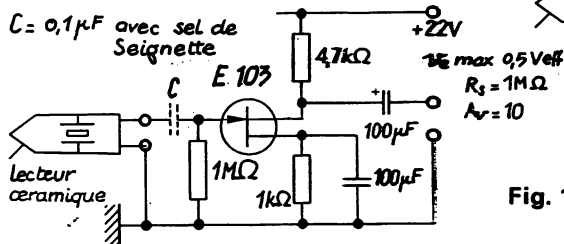


Fig. 11 — Étage d'entrée à forte R_e (transistor TEC) pour lecteur piézo

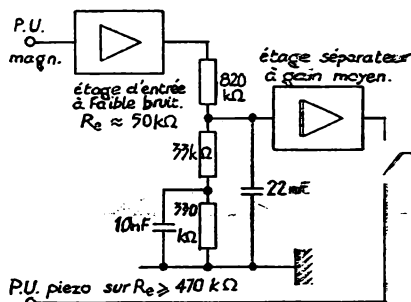


Fig. 13 — Compensateur RIAA dans liaison directe

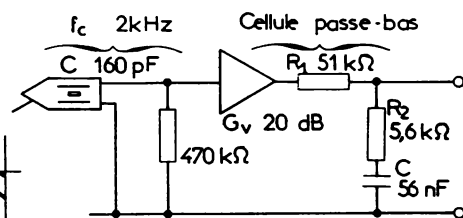


Fig. 10 — Lecteur piézoélectrique

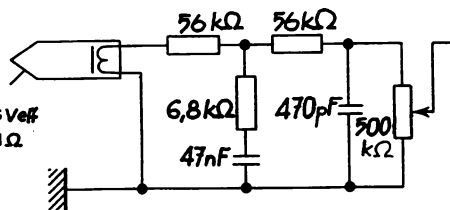


Fig. 12 — Lecteur à réluctance variable avec circuit de correction

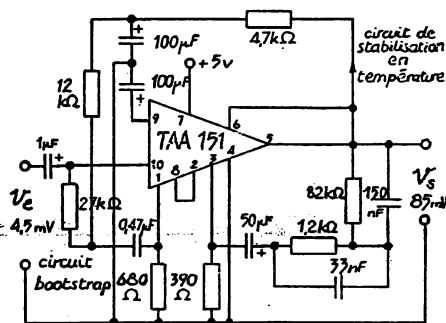


Fig. 14 — Compensateur RIAA dans boucle de réaction sur circuit intégré TAA 151 comportant 3 transistors à liaison directe

IV - AMPLIFICATEURS MICROPHONIHQUES

1° Caractéristiques générales

Pour avoir une bonne caractéristique de réponse, il est nécessaire d'utiliser des circuits de correction (fig. 15):

Un amplificateur microphonique ordinaire doit avoir $B_3 = 70$ Hz à 6000 Hz avec un taux de distorsion harmonique inférieur à 5%. Il comporte un contrôle de tonalité simple relevant les graves, et il délivre une puissance de sortie comprise entre 3 et 6 W.

Un amplificateur professionnel doit avoir un taux de distorsion inférieur à 0,5% pour 2 Weff. pour une bande passante de 20 Hz à 30 000 Hz à ± 2 dB. Il comporte un contrôle de tonalité agissant de ± 10 à 15 dB sur les graves ou les aigus. Le rapport signal sur bruit doit être supérieur à 60 dB pour une puissance de sortie de 1,5 Weff.

Un amplificateur mixte pour «grand public» doit comporter une prise «PU» et une prise «micro» avec un préamplificateur pour le microphone (fig. 16).

2° Circuits d'entrée

a) Microphone à charbon

L'impédance de 200 à 300 ohms nécessite un transformateur d'adaptation de rapport de transformation $n = 1/40$ à $1/100$. Il doit être alimenté sous une tension de 4 à 15 volts. La mauvaise caractéristique de réponse fait que son emploi est limité comme micro de téléphone.

b) Microphone électrostatique (fig. 18)

Il est alimenté sous 60 à 120 V par un convertisseur à partir de piles de 9 ou 12 V. Le microphone comporte un préamplificateur incorporé dans le boîtier de façon à avoir une liaison extra-courte. La liaison peut se faire ensuite en basse impédance à un amplificateur d'impédance d'entrée 200 Ω . Les modèles HF alimentés sous 12 V ont le microphone incorporé dans un oscillateur HF modulé directement par le signal AF (fig. 17). Tous ces microphones sont excellents mais coûteux et réservés à des installations professionnelles de haute fidélité.

c) Microphone dynamique à bobine (fig. 19)

La majorité des types est prévue pour une impédance de sortie 200 Ω . La liaison par câble blindé de longueur quelconque (ligne 200 Ω) est effectuée à l'entrée d'un préamplificateur d'impédance d'entrée de l'ordre de 500 Ω à 1 k Ω sans transformateur. Lorsque l'impédance de sortie du microphone est très différente de l'impédance d'entrée du préamplificateur, on utilise un transformateur d'adaptation (fig. 19).

d) Microphone à électret (fig. 20)

C'est un microphone électrostatique dont le diélectrique (polycarbonate fluoré) a été polarisé une fois pour toute. Il ne nécessite pas d'alimentation. Ce modèle a été étudié pour remplacer les microphones à charbon dans les combinés téléphoniques. Le pont de diode permet l'alimentation correcte de l'ampli quelle que soit la polarité des deux fils de la ligne téléphonique.

e) Microphone piézoélectrique (fig. 21)

Pour obtenir une tension suffisante aux fréquences basses, on choisit $R = 4,7$ M Ω . Si la distance entre microphone et amplificateur dépasse 5 mètres, on emploie une ligne à basse impédance (fig. 22). Le condensateur $C = 22$ nF éventuellement protégé-la cellule contre le courant continu qui la détruirait par électrolyse (pas nécessaire sur microphone céramique).

| Types de microphones | U sortie | Nombre de préampli. | Z_s | avec sans transfo. | Alimentation | Observations |
|--------------------------------|-----------|---------------------|---|-------------------------------------|----------------------------|---------------------|
| Piézoélectrique à membrane | 5 à 20 mV | 2 (ou 1) | 100 k Ω à 1 M Ω | sans transfo. | aucune | bonne fidélité |
| Electrostatique | 5 mV | 2 | 10 à 40 Ω à la sortie du pré-ampli incorporé | sans transfo sur R_e 200 Ω | 60 à 120 V 12 V (micro HF) | excellente fidélité |
| Electrodynamique bobine mobile | 1 à 40 mV | 1 ou 2 | 10 Ω à 500 k Ω 25 k Ω à 150 k Ω | sans transfo avec transfo | aucune | excellente fidélité |

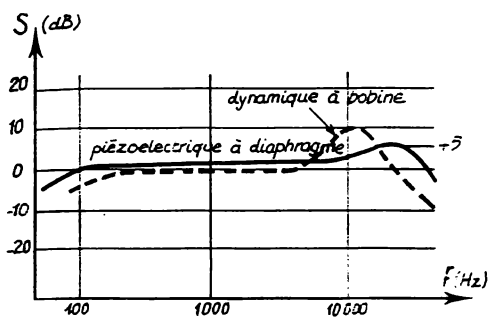


Fig. 15 — Caractéristiques de réponse

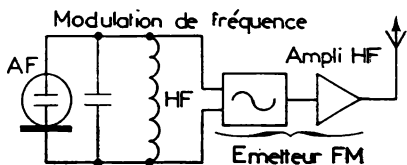


Fig. 17 — Microphone HF

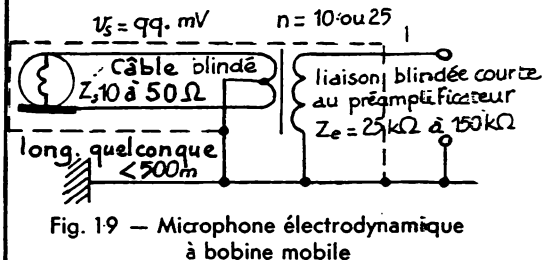


Fig. 19 — Microphone électrodynamique à bobine mobile

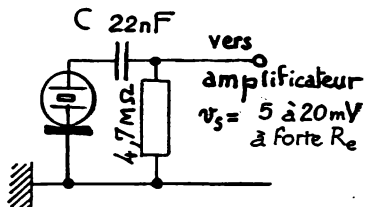


Fig. 21 — Microphone piézoélectrique

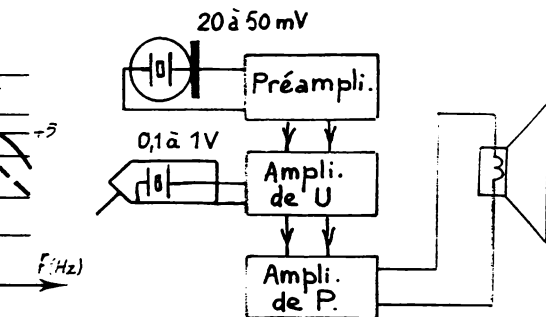


Fig. 16 — Amplificateur mixte

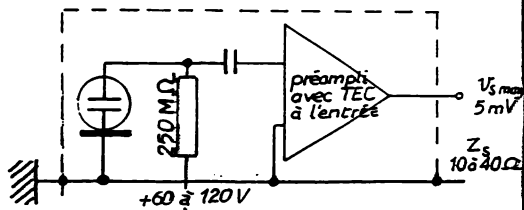


Fig. 18 — Microphone électrostatique

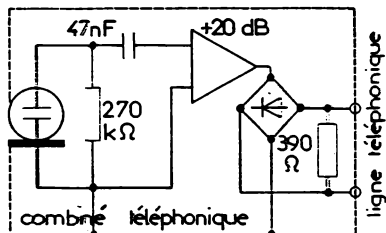


Fig. 20 — Microphone à électret

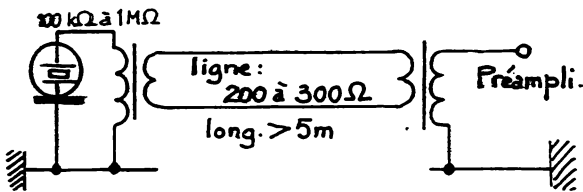


Fig. 22 — Microphone piézoélectrique

V - AMPLIFICATEURS POUR TUBES ET CELLULES PHOTOÉLECTRIQUES

1° Caractéristiques et applications

Les caractéristiques générales sont données dans le tableau ci-dessous. Les utilisations dépendent des valeurs données ainsi que des caractéristiques spectrales.

Les tubes photoémissoirs à gaz ne sont presque plus employés, sauf pour le contrôle des flammes de brûleurs et comme détecteurs d'ultra-violet.

Les tubes photoémissoirs à vide s'imposent lorsque l'on désire avant tout un fonctionnement stable et constant, en particulier pour les mesures photométriques, ainsi que pour des fréquences élevées en lumière modulée.

Les cellules photoconductives sont extrêmement sensibles et elles ne nécessitent qu'une faible amplification. On les emploie surtout pour la commande de relais, les commandes automatiques (portes, escaliers roulants), pour la détection et le contrôle de chaleur. Les cellules au sulfure de cadmium dont la sensibilité est proche de celle de l'œil sont utilisées comme posemètres sur les appareils photographiques et les caméras à cellules incorporées. Elles sont remplacées, dans certaines applications, par les photodiodes très peu encombrantes et alimentées sur piles. On utilise les photodiodes pour la lecture des pistes sonores de films, pour la détection des rayonnements, le comptage, le déclenchement de sécurité.

Les cellules photovoltaïques au silicium ou photopiles sont utilisées pour la lecture de cartes ou bandes perforées.

2° Schémas de montage

- Tube photoémissoir (fig. 23). On trace, sur le réseau de caractéristiques (fig. 24), la droite de charge comme pour un transistor. On détermine ainsi V_A en fonction du flux lumineux.

- Cellule photoconductrice (fig. 25). Le montage représenté correspond à une utilisation en lumière modulée. Les cellules au sulfure de cadmium ont une sensibilité suffisamment grande pour pouvoir exciter une bobine de relais sans amplification.

- Phototransistor pour détection de flux lumineux (fig. 26). La sensibilité de la photodiode à jonction est multipliée par l'amplification du transistor. Le réseau de caractéristiques (fig. 27) ressemble à celui des transistors habituels en remplaçant le paramètre I_B par l'éclairement E .

- Cellule photovoltaïque pour déclenchement de relais ou pour comptage (fig. 28). Lorsque la cellule est éclairée sous un flux lumineux suffisant, la tension sur l'entrée (-) devient supérieure à celle de l'entrée (+) et la tension de sortie passe de + 12 V à - 12 V.

- Photodiode pour lecteur de son de piste sonore sur film cinématographique (fig. 29). Elle se révèle particulièrement intéressante pour la lecture des films en couleurs à cause de sa sensibilité.

- Amplificateur différentiel à courant continu pour comparateur photoélectrique (fig. 30). Le potentiomètre permet le réglage du zéro. En masquant l'une des cellules, on peut utiliser l'appareil en luxmètre. On peut imaginer facilement le même montage en remplaçant les deux transistors par un ampli différentiel à circuit intégré.

| | Sensibilité moyenne | Alimentation | R de charge | Bande passante |
|---------------------------|---|--------------|--------------------|-----------------|
| Tubes à vide | 20 à 50 $\mu A/lm$ | 50 à 100 V | 1 à 10 M Ω | 20 MHz max |
| Tubes à gaz | 100 à 200 $\mu A/lm$ | 50 à 100 V | 1 M Ω | 10 kHz max |
| Cellules photoconductives | 1 à 10 mA/lm jusqu'à 10 A/lm pour CdS | 10 à 300 V | | 200 Hz à 10 kHz |
| Cellules photovoltaïques | 350 $\mu A/lm$ | sans | | 100 Hz à 10 kHz |
| Photodiodes | 0,04 à 0,1 $\mu A/lux$ | 5 à 30 V | 20 à 50 k Ω | 100 kHz max |

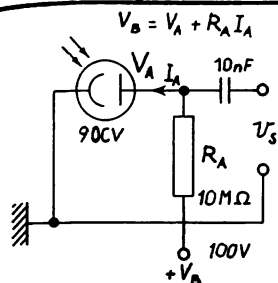


Fig. 23 — Tube photoémissif à vide

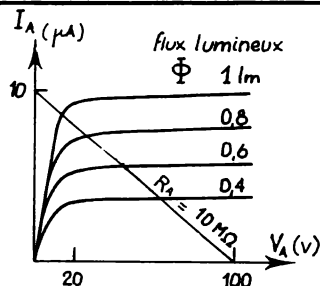


Fig. 24 — Réseau de caractéristiques d'un tube photoémissif à vide

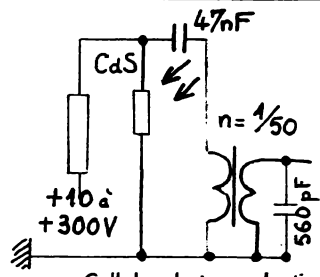


Fig. 25 — Cellule photoconductrice au sulfure de cadmium

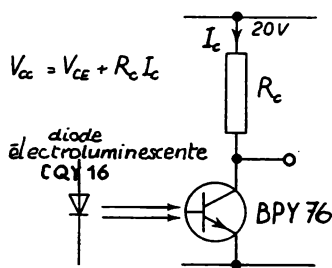


Fig. 26 — Phototransistor

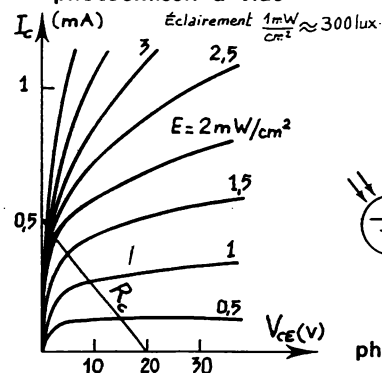


Fig. 27 — Réseau de caractéristiques d'un phototransistor BPY 76

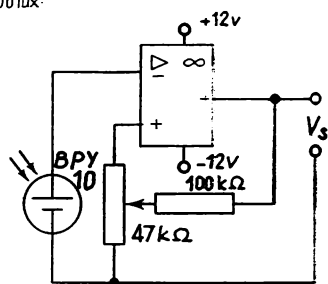


Fig. 28 — Cellule photovoltaïque au silicium

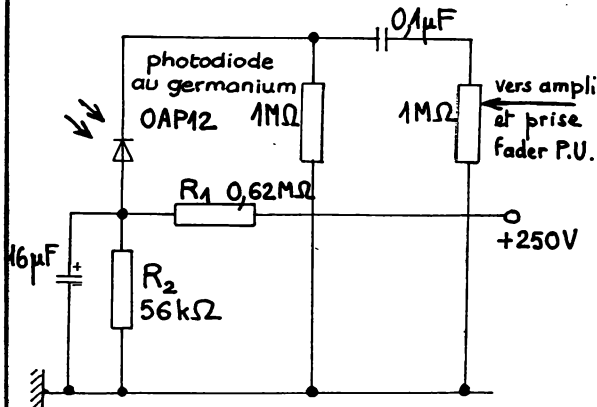


Fig. 29 — Lecteur de son pour cinéma par photodiode

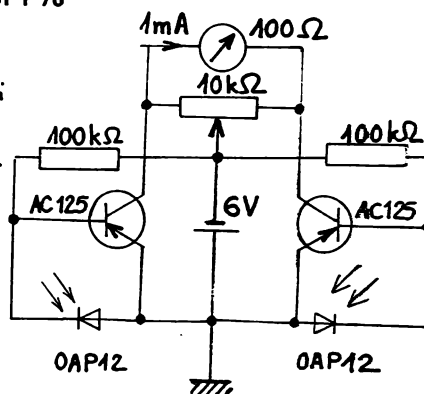


Fig. 30 — Ampli différentiel pour comparateur électronique

VI - MAGNÉTOPHONES

1° Composition (fig. 34)

Un magnétophone type comprend :

- Une bande magnétique et son dispositif de défilement.
- Un système d'effacement ultra-sonore.
- Une tête d'enregistrement alimentée par un amplificateur AF et une polarisation ultra-sonore superposée.
- Une tête de lecture alimentant un amplificateur AF et un haut-parleur.

2° Circuits de correction

Ils doivent tenir compte à la lecture de :

a) La caractéristique d'enregistrement (fig. 31) ⁽¹⁾

Les sons graves sont diminués en intensité pour éviter la saturation de la bande magnétique, et les aigus renforcés pour augmenter le rapport signal sur bruit de fond. La caractéristique de lecture doit agir en sens inverse. Nous remarquons que la caractéristique est fonction de la vitesse de défilement pour les fréquences aiguës.

b) La vitesse de défilement (fig. 32)

Plus la vitesse est grande, plus la bande passante est large et la fidélité meilleure.

c) La bande magnétique utilisée (fig. 33)

La caractéristique de réponse dépend de l'oxyde utilisé.

3° Effacement

Il est effectué au moyen d'un oscillateur de fréquence comprise entre 40 kHz et 120 kHz (en général cinq fois la fréquence la plus élevée à reproduire). La puissance à fournir est de 3 à 4 W (maximum). La tête ($L = 5$ mH) est à basse impédance ($Z = 2,2 \Omega$).

4° Enregistrement

Le magnétophone comporte diverses entrées avec un ou deux préamplificateurs et un mélangeur (micro, P.U., radio). L'impédance est calculée pour qu'il n'y ait pas de résonance dans la bande de fréquences à transmettre. La puissance à transmettre à la tête est de 1 W maximale. Le contrôle de modulation se fait par indicateur visuel d'accord ou par voltmètre sur matériel professionnel.

Afin de travailler sur une partie droite du cycle d'hystérésis et d'éviter ainsi des distorsions, on superpose au courant AF un courant porteur de fréquence ultra-sonore appelé courant de polarisation magnétique.

5° Lecture

La tête ($L = 100$ mH) est à basse impédance ($Z = 8,5 \Omega$). L'amplificateur est souvent le même que celui utilisé pour l'enregistrement. Elle délivre environ 1 mV et une entrée type «micro» suffit.

L'amplificateur comporte un circuit de compensation de la caractéristique d'enregistrement et un contrôle de tonalité plus ou moins complexe.

6° Schéma simplifié (fig. 36)

Il s'agit du schéma simplifié d'un magnétophone «Philips Pro 12» de type professionnel.

VII - AMPLIFICATEURS DE MODULATION (fig. 35)

Ce sont de simples amplificateurs de puissance qui délivrent le signal AF à l'amplificateur RF d'un émetteur. Le modulateur peut être choisi parmi les schémas d'amplificateurs AF ordinaires, d'après la seule considération de la puissance de sortie nécessaire (quelques watts à 100 W en émission de trafic). Le transformateur adapte l'impédance de sortie du modulateur à l'impédance du circuit RF.

(1) La caractéristique d'enregistrement est normalisée : norme NAB.

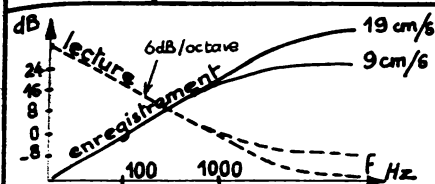


Fig. 31 — Caractéristique d'enregistrement

| V: cm/s | F limite |
|---------|----------|
| 4,75 | 6,3 kHz |
| 9,5 | 10 " |
| 19 | 16 " |
| 38 | 18 " |

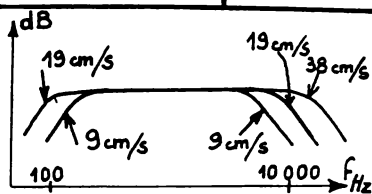


Fig. 32 — Influence de v de défilement

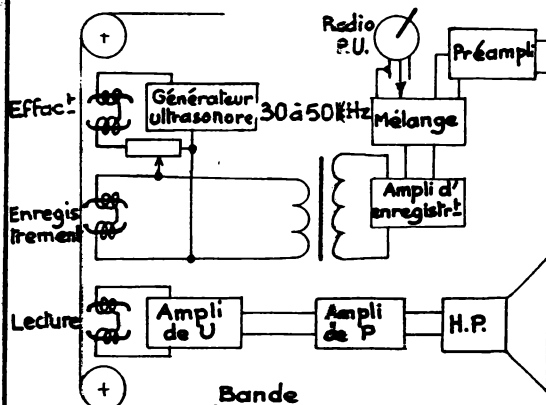


Fig. 34 — Magnétophone type

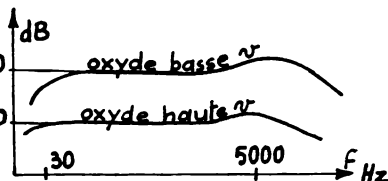


Fig. 33 — Influence de l'oxyde

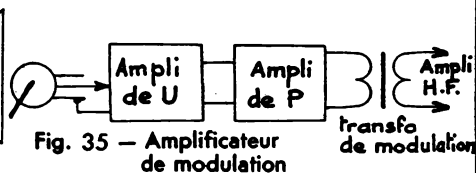


Fig. 35 — Amplificateur de modulation

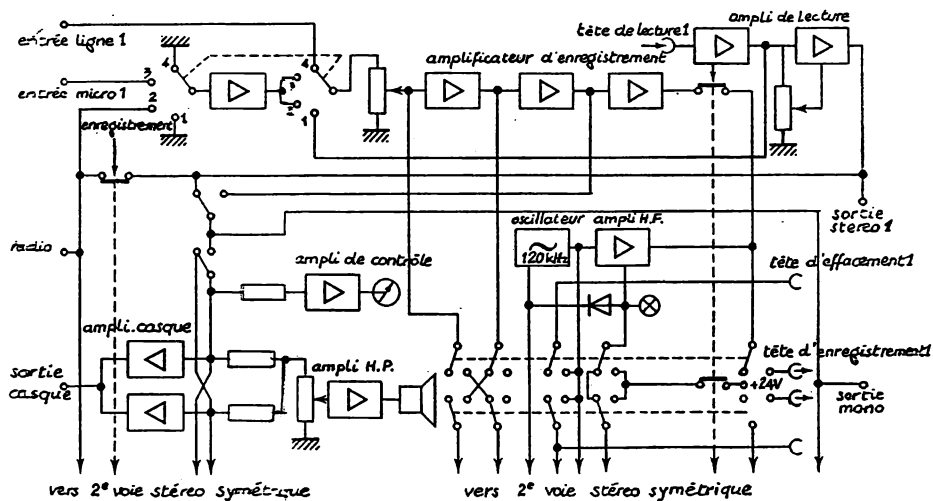


Fig. 36 — Schéma synoptique d'un magnétophone stéréophonique

VIII - BRANCHEMENT DES HP

1° HP à une voie (fig. 37)

La figure 38 rappelle la caractéristique de réponse des haut-parleurs. On utilise un haut-parleur électrodynamique à bobine mobile. L'impédance à 1000 Hz des bobines mobiles est : 2,5 - 4 - 8 - 16 - 25 - 50 Ω . L'impédance des bobines est égale environ à leur résistance plus 25% à 1000 Hz. Tous les montages actuels utilisent des liaisons sans transformateur entre l'amplificateur de puissance et le HP, sauf pour les installations de diffusion publique (voir E8).

Sur les radio-récepteurs, une prise HPS pour haut-parleur supplémentaire peut être prévue.

— Prise HPS à basse impédance (fig. 37). Le HPS est monté en parallèle sur le HP normal. C'est la solution la plus généralement adoptée, mais la charge de l'amplificateur est modifiée lorsque le HPS est branché.

L'utilisation indépendante ou simultanée des deux HP nécessite une commutation comme celle de la figure 39. Lorsqu'il n'y a qu'un seul haut-parleur en service, l'adaptation est mauvaise et on peut y remédier par une commutation plus complexe qui remplace le HP par une résistance égale à l'impédance du haut-parleur.

2° HP pour élargissement de la bande passante

Dans les systèmes de HP à voies multiples, on associe deux ou plusieurs HP avec des réseaux séparateurs en vue d'élargir la bande passante, d'obtenir un effet d'espace ou un effet stéréophonique.

On obtient l'élargissement de la bande passante par l'emploi de deux ou plusieurs haut-parleurs spécialisés.

a) Deux HP : un pour les graves (boomer), un pour les aigus (tweeter)

Les deux HP sont de type dynamique. Le réseau séparateur utilise un filtre plus ou moins compliqué qui doit dériver sur chaque haut-parleur la puissance en fonction de la fréquence. La fréquence pour laquelle l'atténuation du filtre divise la puissance par 2 s'appelle la fréquence de raccordement f_1 (fig. 40). Le filtre le plus simple est représenté à la figure 41.

Si les deux HP ont même impédance (5 Ω) et pour la fréquence $f_1 = 1000$ Hz, on prend un condensateur $C = 32 \mu F$ et une inductance $L = 1$ mH. Si le condensateur C est divisé par 2, l'inductance L doit être multipliée par 2.

C : condensateur au papier ou électrochimique non polarisé.

L : inductance à faible résistance en fil de 0,8 à 1,2 mm de diamètre.

L'atténuation des filtres précédents aux environs de la fréquence f_1 est de 6 dB par octaves. Des variantes permettent d'avoir des atténuations plus rapides :

12 dB par octave (fig. 42) : filtre en L ;

18 dB par octave avec un filtre en π .

Lorsque les haut-parleurs ont des impédances différentes, il y a lieu soit d'utiliser deux transformateurs d'adaptation, soit des résistances d'équilibrage, mais avec diminution appréciable du rendement (fig. 43).

b) Trois HP

Un pour les graves (elliptique 21-32 cm).

Deux pour les aigus (deux «tweeter» à 45°).

La figure 44 montre la disposition adoptée pour deux HP électrodynamiques de petit diamètre disposés à 45° du HP principal.

La figure 45 donne la tendance actuelle. Les trois potentiomètres de réglage facultatifs pouvant être supprimés sans modification des autres valeurs du schéma. Les fréquences de coupure adoptées sont 1000 Hz et 5000 Hz.

Des systèmes plus élaborés sont représentés en D12 (filtres actifs) et en E13 (filtres passifs).

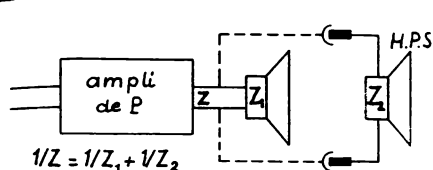


Fig. 37 — Branchement d'un HPS

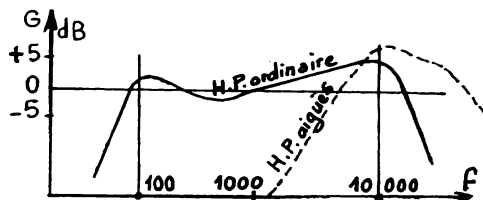


Fig. 38 — Caractéristiques de réponse

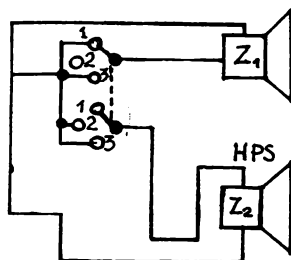


Fig. 39 — Commutation pour H. P. S.

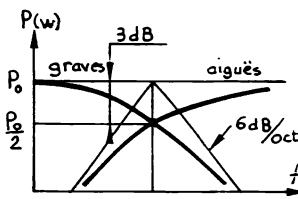


Fig. 40 — Caractéristiques des filtres

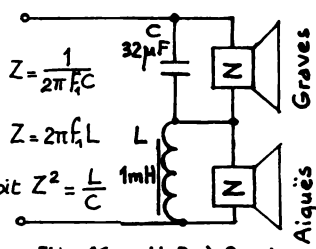


Fig. 41 — H. P. à 2 voies

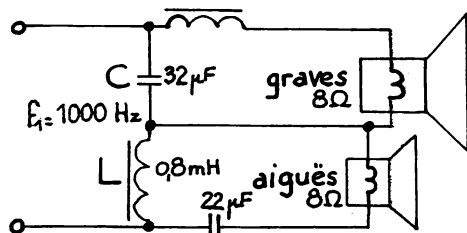


Fig. 42 — Filtre en L

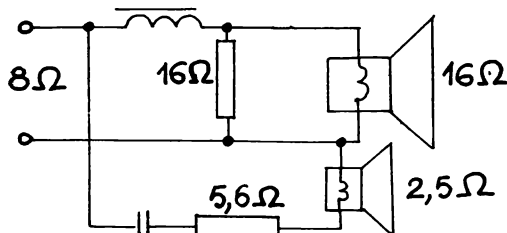


Fig. 43 — Résistances d'équilibrage

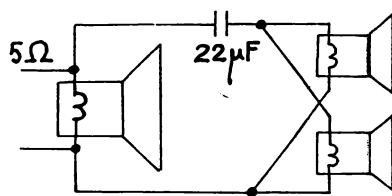
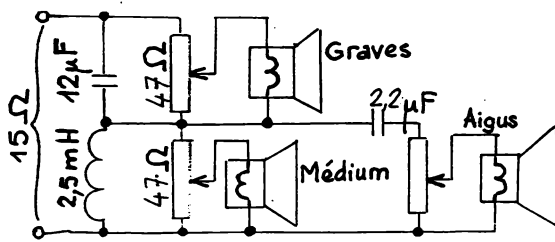


Fig. 44 — Montage avec 2 H. P. pour aigus

Fig. 45 — 1 H. P. graves 1 H. P. médium
1 H. P. aigus

3° Réverbération artificielle

Le procédé consiste à recréer le déphasage naturel qui existe naturellement pour des sons provenant de réflexions sur différentes parois. On constate un effet de profondeur qui varie suivant le volume de la salle et la nature des parois.

Première méthode. — Les signaux AF sont prélevés sur la bobine du HP. Ils traversent une ligne à retard et, après amplification, sont appliqués sur un deuxième HP (fig. 47).

Deuxième méthode. — Le circuit de retard est disposé sur la chaîne d'amplification normale. Une fraction est dérivée sur un système à retard puis appliquée à la sortie. Les deux signaux sont émis par le même haut-parleur.

Dans chaque méthode, un potentiomètre permet de régler la fraction des tensions retardées : commande de l'effet de réverbération.

La réverbération est plus efficace pour les fréquences moyennes, et les circuits ont une bande passante (200 Hz à 4000 Hz) qui dépend de la ligne à retard.

Système à retard (fig. 46). — Le retard est obtenu par un système mécanique comprenant deux ressorts séparés. Le retard varie de 28 à 37 millisecondes.

Les torsions provoquées sur l'aimant en ferrite dur, par la variation du champ magnétique dans l'entrefer, sont transmises aux ressorts qui commandent à l'autre extrémité un rotor analogue en ferrite. Les variations de champ magnétique correspondantes induisent des tensions retardées dans la bobine du circuit magnétique.

4° Stéréophonie

La stéréophonie consiste à utiliser deux canaux séparés depuis l'enregistrement jusqu'à l'écoute, créant ainsi une sensation de relief sonore, c'est-à-dire de localisation des sons en largeur. Le relief sonore naturel provient du fait que les sons parviennent avec de légers déphasages à chacune de nos deux oreilles (écoute binaurale).

Séparation des deux canaux:

- Sillon à deux dimensions sur disque (système Westrex ou 45/45) ;
- Ruban à deux pistes sur magnétophone ;
- Récepteur de radio à modulation de fréquence (FM) comportant un système de décodage permettant de séparer les deux canaux stéréophoniques.

Les signaux captés, quel que soit le procédé, sont complètement séparés jusqu'à deux haut-parleurs situés à quelques mètres de distance (fig. 48).

L'équilibrage des canaux peut être obtenu par l'un des procédés représentés à la figure 49.

La figure 50 montre une installation à six haut-parleurs pour chaîne de haute fidélité stéréophonique.

Pseudo-stéréophonie. — Le procédé consiste plus simplement à créer un effet d'espace par deux haut-parleurs espacés suffisamment, avec un seul canal.

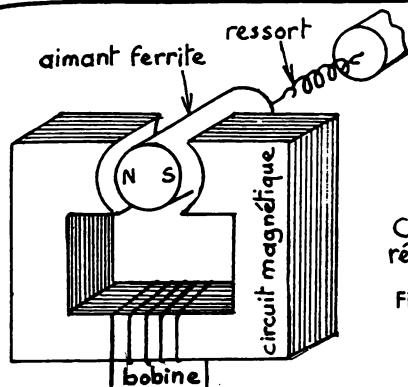


Fig. 46 — Ligne à retard

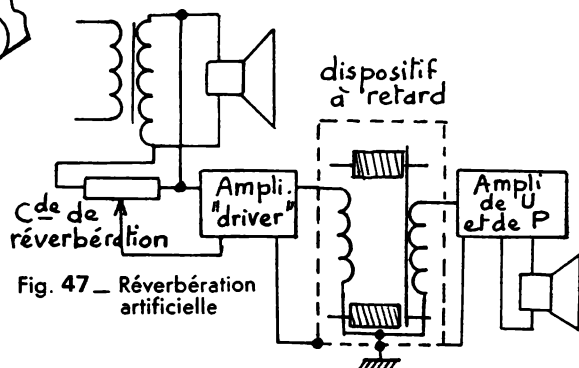


Fig. 47 — Réverbération artificielle

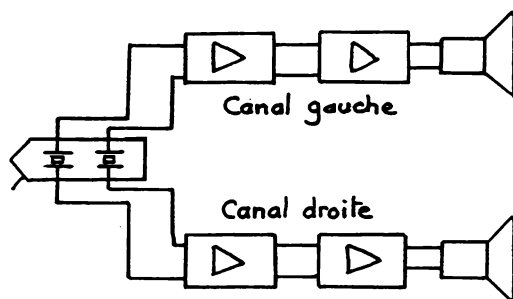


Fig. 48 — Stéréophonie

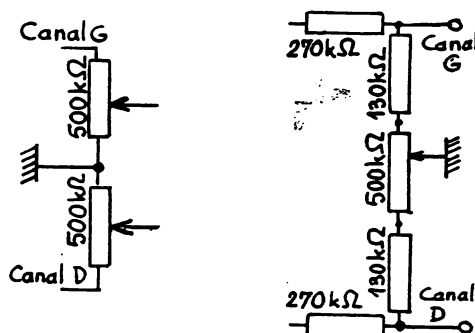


Fig. 49 — Equilibrage des canaux

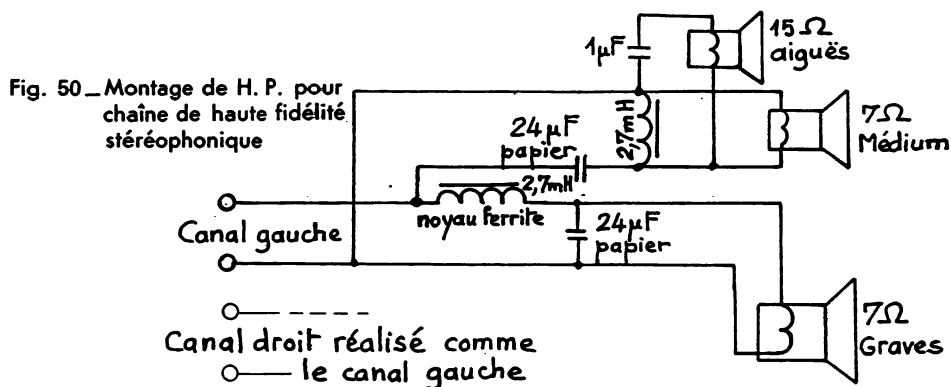


Fig. 50 — Montage de H. P. pour chaîne de haute fidélité stéréophonique

5° HP combinés

Ils sont associés à des écrans, à des pavillons ou placés dans des colonnes acoustiques pour les systèmes de diffusion publique (public-address): gares, foires, cinémas, aérodromes, églises, etc.

a) HP près de l'amplificateur: ligne de moins de 50 mètres

La liaison est en basse impédance. Les bobines mobiles sont branchées directement aux prises basse impédance du transformateur de sortie. Les hauts-parleurs peuvent être branchés en série (fig. 51), en parallèle (fig. 52), ou en série parallèle (fig. 53).

Si on veut régler le volume sonore d'un HP supplémentaire sans modifier celui du HP normal, on utilise un «fader» d'impédance constante quelle que soit la position du curseur (fig. 54).

Si on supprime un haut-parleur, pour ne pas déséquilibrer la ligne, on le remplace par une résistance de même valeur que son impédance et de même puissance nominale (fig. 55).

b) HP éloignés de l'amplificateur: ligne de plus de 50 mètres

— Ligne 500 Ω avec transformateur à chaque haut-parleur afin que les pertes en ligne soient plus faibles. Les hauts-parleurs sont branchés en parallèle (fig. 56). La ligne peut être blindée.

Si les hauts-parleurs ont même puissance:

impédance Z du primaire de $T_1, T_2, \dots = Z$ ligne multipliée par le nombre de HP;

impédance Z du secondaire de $T_1, T_2, \dots = Z$ bobine mobile de chaque HP.

Si les hauts-parleurs ont des puissances différentes P_1, P_2, \dots , la puissance totale de l'amplificateur est $P = P_1 + P_2 + \dots$

Si Z est l'impédance de la ligne, la tension aux bornes de la ligne est $U = \sqrt{PZ}$. On en déduit les impédances des primaires de T_1, T_2, \dots

$$Z_1 = U^2/P_1 \quad Z_2 = U^2/P_2, \text{ etc.}$$

— Ligne 100 V. Elle permet une adaptation plus facile et moins coûteuse. Les hauts-parleurs sont branchés en parallèle sur cette ligne.

La sortie 100 volts est une prise à haute impédance du transformateur de sortie qui, pour tous les amplificateurs quelle que soit leur puissance nominale, délivre 100 volts au maximum de puissance.

La ligne peut être longue et réalisée en câble de 12 à 16 dixièmes. L'adaptation est automatiquement réalisée si la somme des puissances nominales des hauts-parleurs est égale à la puissance nominale de l'amplificateur.

Exemple. — Soit un amplificateur de 50 W donnant 100 V sur une ligne de 200 Ω et 5 hauts-parleurs (20 W, 10 W, 10 W, 5 W, 5 W). Les transformateurs 100 V prévus sur les hauts-parleurs ont des impédances primaires respectives de 500 Ω (20 W), 1000 Ω (10 W), 2000 Ω (5 W). On a bien adaptation, car: $1/200 = 1/500 + 2/1000 + 2/2000$.

c) Exemple d'installation mobile pour diffusion publique (fig. 57)

Entrées: «micro», lecteurs phonographiques, adaptateurs «radio».

Alimentation: soit secteur, soit convertisseur à partir des batteries.

Sorties: HP contrôle, HP sur camion, HP sonorisation.

$$Z = Z_1 + Z_2 + Z_3 + \dots$$

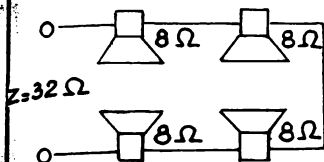


Fig. 51 — H. P. en série

$$1/Z = 1/Z_1 + 1/Z_2 + 1/Z_3 \dots$$

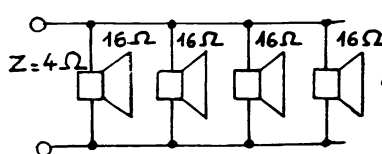


Fig. 52 — H. P. en parallèle

$$1/Z = 1/Z_1 + Z_2 + 1/Z_3 + Z_4$$

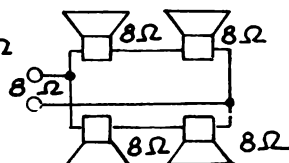


Fig. 53 — H. P. série-parallèle

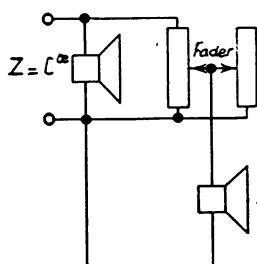


Fig. 54 — Utilisation d'un fader

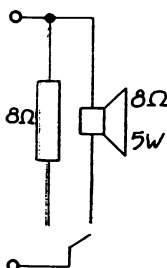


Fig. 55 — Suppression d'un HP sans annuler la charge

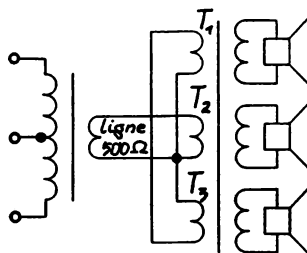


Fig. 56 — Ligne 500 Ω

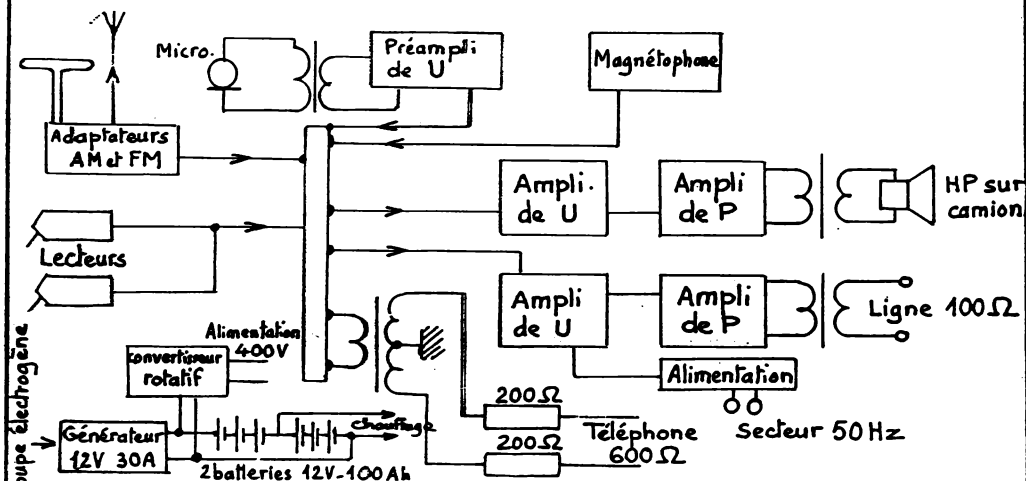


Fig. 57 — Installation sur camion pour diffusion publique

IX - MÉLANGEURS

Les tensions provenant de différentes entrées sont amplifiées selon leur niveau par des étages préamplificateurs de façon que les tensions à leurs sorties soient égales et puissent être mélangées.

Le mélange s'effectue généralement lorsque la tension modulée est voisine de un volt.

1° Mélangeur à résistances (fig. 58)

Lorsque le curseur d'un potentiomètre est à la masse, la tension d'entrée correspondante est nulle. Lorsque le curseur est à l'opposé, la tension de signal appliquée à l'entrée est maximale. Les résistances R ont pour but d'éviter la mise à la masse de l'un des signaux, lorsque le curseur est à zéro.

Simplicité, faible prix de revient, mais atténuation des signaux due aux résistances R . De plus, on a réaction d'une entrée sur l'autre.

2° Fader (fig. 59)

Ce n'est pas à proprement parler un mélangeur.

Le montage utilise un potentiomètre à deux curseurs. Le potentiomètre P_1 permet de régler la sensibilité d'une entrée par rapport à l'autre et le potentiomètre P_2 permet de passer progressivement de l'écoute «micro» à l'écoute «PU» et inversement.

3° Mélangeur à transistors (fig. 60).

Le mélange s'opère ici à la sortie des transistors. Des résistances d'isolement peuvent être ajoutées si nécessaire afin d'éviter que l'un des réglages de potentiomètre influence le niveau global de sortie. Les condensateurs C_E sont facultatifs si la parole est seule reproduite. Un réglage du niveau général de sortie peut être nécessaire si on utilise un mélangeur à 3 ou 4 entrées.

X - CONTRÔLE DE PUISSANCE (ou contrôle de volume sonore)

1° Contrôle sur circuits à haute impédance

Le potentiomètre doit contrôler la puissance globale, donc être placé après tous les préamplificateurs ou mélangeurs. Pour que les tensions contrôlées soient de l'ordre de un volt, on les place avant l'amplificateur de tension. On a intérêt à utiliser un potentiomètre logarithmique (loi de Fechner).

Fig. 61 - Contrôle sur amplificateur à transistors. La résistance R est nécessaire si on branche à l'entrée un capteur à haute impédance afin que le potentiomètre ne soit pas court-circuité par la faible résistance d'entrée du transistor.

Fig. 62 - Contrôle de puissance monté en commande par courant adopté quelquefois sur des montages à transistors.

2° Contrôle sur ligne à basse impédance (fig. 63)

Un montage à potentiomètre simple ne peut être utilisé, car l'impédance du circuit serait modifiée. Le système le plus économique consiste à utiliser un atténuateur en L , les deux potentiomètres bobinés linéaires étant manœuvrés par le même axe et placés à proximité du haut-parleur.

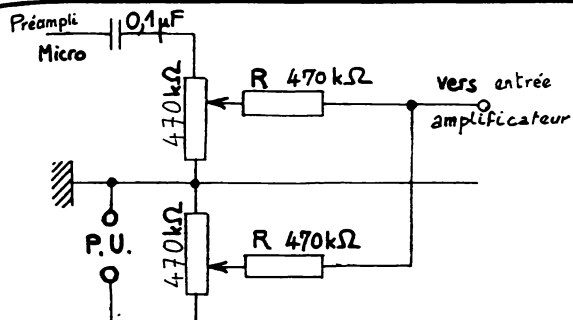


Fig. 58 — Mélangeur à résistances

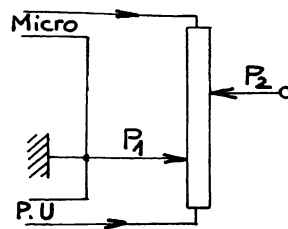


Fig. 59 — Fader

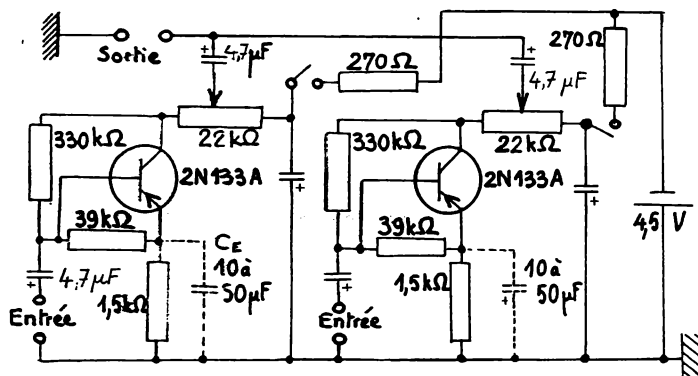


Fig. 60 — Mélangeur à transistors

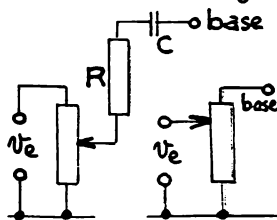


Fig. 61 et 62 — Contrôle de puissance

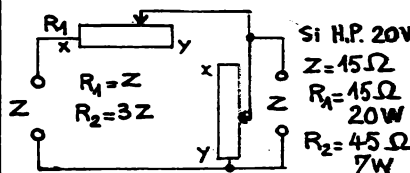
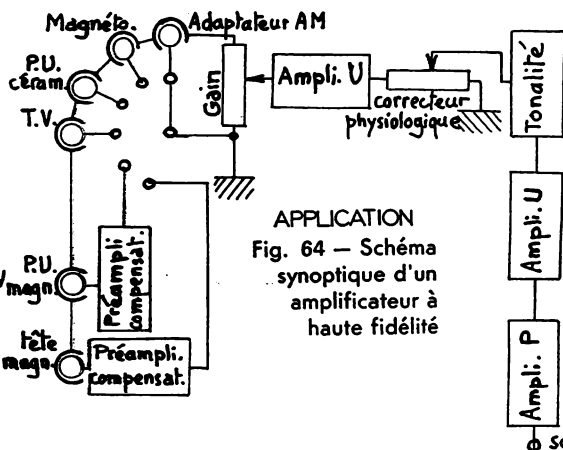


Fig. 63 — Contrôle sur ligne à basse impédance

APPLICATION
Fig. 64 — Schéma
synoptique d'un
amplificateur à
haute fidélité

XI - CARACTÉRISTIQUE DE RÉPONSE

1° Généralités

Afin de pouvoir modifier la caractéristique de réponse il est nécessaire d'introduire dans les étages amplificateurs des impédances (réseaux RC) plus ou moins compliqués soit dans la liaison entre deux étages, la sortie du premier étage constituant le *générateur d'attaque*, soit dans la boucle de réaction la sortie de l'étage constituant le *générateur de réaction*. Le schéma réel peut être ramené au schéma équivalent (en alternatif) de la figure 65 en appliquant les règles suivantes :

- S'arranger pour attaquer le réseau de correction en tension. Par un choix convenable des valeurs des composants ainsi que du montage d'attaque ou du procédé de réaction on peut rendre négligeable R_p par rapport à $Z \forall f$ et on a $v_g/E = v_g/v_r$.
- Etudier la fonction de transfert $v_s/v_r = Z_u/(Z_u + Z)$ en fonction de f et tracer le diagramme asymptotique (si $Z_u \ll Z$ on a $v_g/v_r \approx Z_u/Z$).
- Lorsqu'il s'agit d'une contre-réaction, le diagramme de l'amplification est inversé puisque $A_r \approx 1/B_r$.
- Si Z_u peut être considéré comme une simple résistance, l'étude se ramène pratiquement à celle de Z en fonction de f .
- Lorsque Z est réglable on a intérêt à utiliser des abaques donnant les variations pour diverses positions du curseur (voir E12).

2° Etude de l'impédance Z (ou de la fonction de transfert)

Les figures 66 à 70 montrent quelques associations RC couramment utilisées dans les réseaux de correction.

a) Synthèse

L'étude de la fonction $Z = f(\omega)$ permet de déterminer les fréquences de coupure, par exemple pour la figure 70 :

$$Z = \frac{(R_1 + R_2)(1 + j\omega/\omega')}{(1 + j\omega/\omega_1)(1 + j\omega/\omega_2)} \quad \omega_1 = \frac{1}{R_1 C_1} \quad \omega_2 = \frac{1}{R_2 C_2} \quad \omega' = \frac{1}{\frac{R_1 R_2}{R_1 + R_2}(C_1 + C_2)}$$

Ayant fixé les fréquences, puis ayant choisi les résistances, on en déduit les condensateurs.

b) Analyse

Le schéma étant donné, on peut vérifier les fréquences de coupure en simplifiant le schéma. On néglige certains éléments aux fréquences des paliers. Par exemple pour le compensateur RIAA (fig. 71 à 73).

$$\text{Si } f_1 \leq 10 \text{ Hz} \quad \left\{ \begin{array}{l} X_{C_1} \gg R_2 = C_2 \text{ négligeable} \\ R_2 \ll Z_{C_1 R_1} \Rightarrow R_2 \text{ négligeable} \end{array} \right\} \quad \text{il reste } R_1 C_1 \text{ et } f_1 = \frac{1}{2\pi R_1 C_1}$$

Remarques

Compte tenu des tolérances habituelles sur les composants on peut négliger :

$R_1 \leq R_2/10$ si elles sont en série.

$R_1 \geq 10 R_2$ si elles sont en parallèle.

$R \leq X_C/5$ ou $X_C \leq R/5$ si elles sont en série.

$R \geq 5 X_C$ ou $X_C \geq 5 R$ si elles sont en parallèle.

Il est facile de le vérifier en construisant le triangle d'impédances (fig. 66 et 67).

On peut aussi étudier les réseaux utilisés comme des applications de la théorie des filtres (voir D9 et D12).

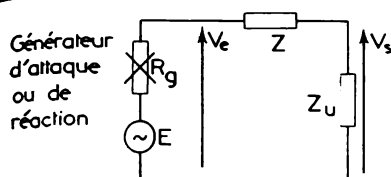


Fig. 65 — Schéma simplifié

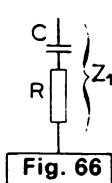


Fig. 66

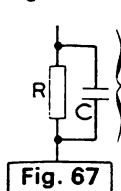
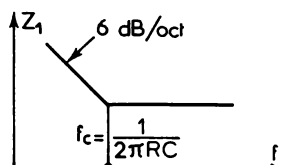
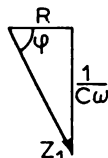


Fig. 67

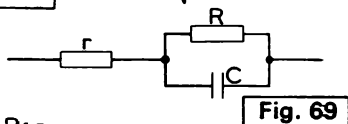
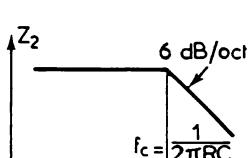
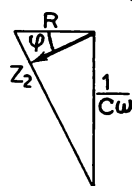


Fig. 69

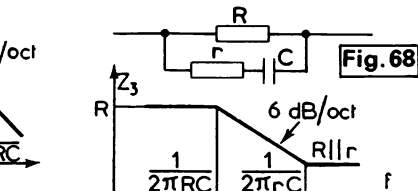
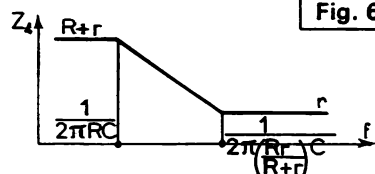


Fig. 68

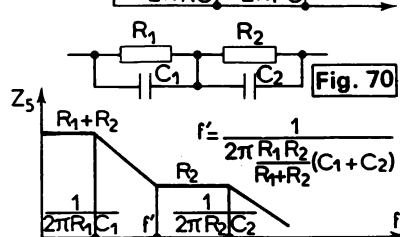


Fig. 70

Fig. 66 à 70 — Diverses impédances et leurs diagrammes asymptotiques

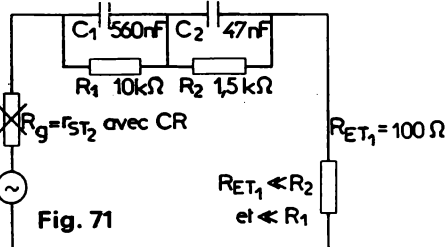
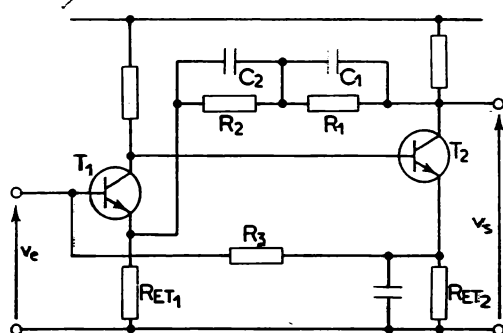


Fig. 71

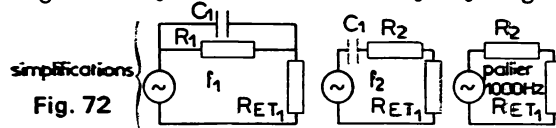


Fig. 72

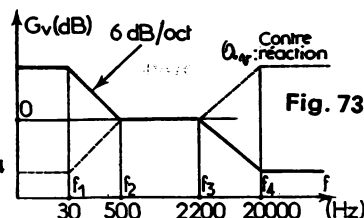


Fig. 73

Fig. 71 à 73 — Préamplificateur avec compensation RIAA

3° Applications

a) Circuits compensateurs

Ils ont pour but de compenser la caractéristique d'enregistrement sur bandes magnétiques (voir E5) ou sur disques (voir E1). Pour ces derniers la caractéristique normalisée est commentée en E2. Le schéma d'un compensateur à transistors est représenté à la figure 71.

La vérification des fréquences de coupures peut s'effectuer simplement par l'étude des schémas simplifiés déduits du schéma équivalent, à 30-500-2 200-20 000 Hz. Il suffit de négliger les éléments convenables à chacune de ces fréquences. On obtient :

$$f_1 = \frac{1}{2\pi R_1 C_1}, \quad f_2 = \frac{1}{2\pi R_2 C_1}, \quad f_3 = \frac{1}{2\pi R_2 C_2}, \quad f_4 = \frac{1}{2\pi R_{ET} C_2}.$$

L'atténuation (ou le gain) s'obtient en étudiant les schémas simplifiés relatifs à chaque palier. Exemple :

$$\text{— Palier 10 Hz} \quad A_v(10) \approx \frac{R_1 + R_2}{R_{ET1}}.$$

$$\text{— Palier 1 000 Hz} \quad A_v(1\,000) \approx \frac{R_2}{R_{ET1}}.$$

Variation d'amplification entre 10 et 1 000 Hz :

$$G_v = 20 \lg \frac{A_v(10)}{A_v(1\,000)} = 20 \lg \frac{R_1 + R_2}{R_2} \approx 18 \text{ dB}.$$

Un schéma à circuit intégré de compensation RIAA est donné en E2 (et C4).

b) Circuit égaliseur (fig. 74)

Il comporte un circuit résonant *RLC* qui suivant la position du curseur du potentiomètre *P* se trouve aux limites en parallèle sur R_c (amplification max.) ou en parallèle sur R_E (contre-réaction max.). L'appareil complet comporte ainsi 27 circuits à transistors ou circuits intégrés mis en parallèle, décalés d'1/3 d'octave et couvrant toute la gamme *AF*, calculés pour une amplification unité (curseur au milieu). Cet appareil peut être introduit dans une chaîne d'amplification sans la modifier, lorsque tous les potentiomètres sont au milieu.

La position des curseurs reflète l'allure de la courbe de réponse de l'égaliseur.

Parmi les nombreuses applications nous pouvons citer :

- l'élimination de parasites pendant les mesures.
- la rectification des amplificateurs de lignes PTT.
- les mesures *AF* (microphones, enceintes, salles d'écoute).
- le repiquage de disques 78 tours sur bande magnétique,
- l'atténuation de l'effet Larsen,
- la sélection de bruits médicaux,
- l'ambiphonie, etc.

c) Correcteurs fixes

On utilise des associations *RC* en liaison ou dans une boucle de contre-réaction :

- correcteurs de caractéristique de réponse d'un lecteur de disques, d'un micro (voir E2, E3),
- action sélective sur une partie de la caractéristique de réponse,
 - creusement du médium par filtre en T (fig. 76),
 - augmentation des aigus (fig. 77),
 - augmentation des graves (fig. 78).

On peut s'inspirer pour l'étude de ces schémas, de l'étude du filtre en D9

- commutateur musique-parole par introduction d'un filtre passe-bande,
- réjecteur (ou trappe). Il permet d'éliminer une fréquence indésirable au moyen d'un filtre à bande très étroite (fig. 75) dont l'impédance est pratiquement nulle à la fréquence à éliminer.

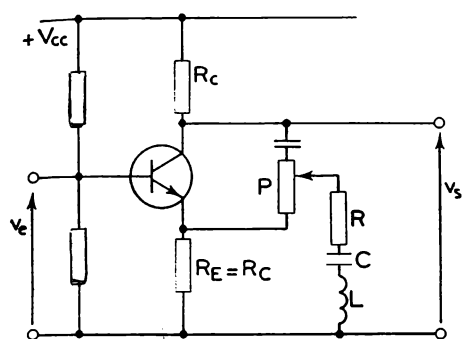


Fig. 74 — Egaliseur et sa caractéristique de réponse

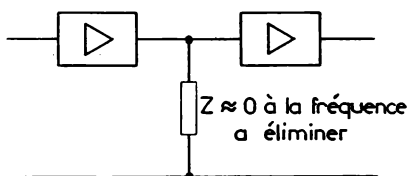
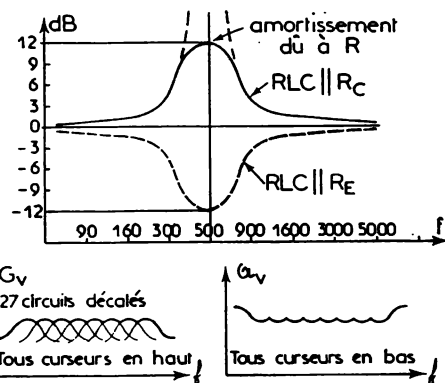


Fig. 75 — Réjecteur

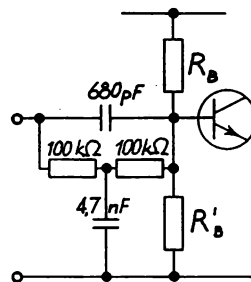


Fig. 76 — Circuit creusant le médium

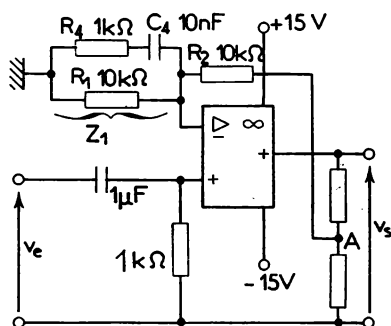


Fig. 77 — Circuit avantageant les aigües

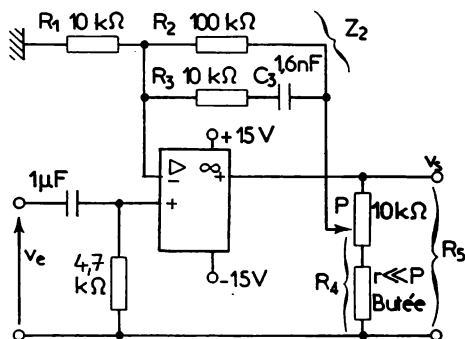


Fig. 78 — Circuit avantageant les graves

d) *Correcteur physiologique.*

La sensibilité de l'oreille est déficiente aux extrémités de la gamme des fréquences auditives pour les sons de faible puissance. Un correcteur physiologique a pour but d'augmenter l'intensité des sons graves (ou aigus) aux faibles niveaux seulement. Ce montage est rarement utilisé car il nécessite des potentiomètres doubles ou un potentiomètre spécial à prise intermédiaire.

e) *Utilisation de plusieurs canaux*

Dans les amplificateurs de haute fidélité, on utilise 3 filtres (passe-bas, passe-bande et passe-haut) suivis de 3 canaux aboutissant à 3 HP spécialisés (graves ou boomer, médium, aigus ou tweeter). Un exemple est donné en E13 à la figure 97. La caractéristique de réponse composée pour les 3 HP est meilleure que celle obtenue avec un seul HP. Un autre exemple à circuits intégrés est représenté en D12.

f) *Contrôle de tonalité.*

En supposant que la caractéristique de réponse soit parfaitement droite, on peut avoir néanmoins besoin de la modifier pour les raisons suivantes :

- Avantage les aigus pour la parole et les graves pour la musique.
- Corriger les défauts physiologiques auditifs de l'auditeur.
- Améliorer ses impressions psychologiques.

Les circuits utilisent des associations de condensateurs, résistances et potentiomètres plus ou moins complexes disposés en série ou en parallèle dans les liaisons entre étages ou sur le circuit de réaction négative. Le contrôle de tonalité est placé après le préamplificateur correcteur.

Les schémas ci-contre représentent des circuits placés à la sortie d'un étage et constituant une charge variable avec la fréquence.

Fig. 79, 80 - Atténuation des aigus, le niveau «graves» étant constant.

Fig. 81, 82 - Augmentation des graves, le niveau «aigus» étant constant.

Fig. 83, 84 - Contrôle des graves en plus ou en moins par rapport aux aigus.

Fig. 85, 86 - Contrôle des aigus en plus ou en moins par rapport aux graves.

Nota. Les abaques sont tracés pour certains rapports des éléments utilisés. Si ces rapports sont modifiés, il faut tracer de nouveaux abaques.

Pour calculer C (exemple sur abaque fig. 80), on choisit une atténuation maximale par exemple - 18 dB à 8000 Hz. Le réseau donne, pour 100 % (curseur en haut), un produit $\omega RC = 10$. La résistance R étant préalablement et convenablement choisie, par exemple 500 Ω , on en déduit $C = 0,4 \mu F$ (on prendra $C = 390 nF$).

Pour chaque circuit on peut calculer les variations maximales d'amplitude. Par exemple, pour le circuit de la figure 83, le potentiomètre mR est court-circuité aux f élevées et le diviseur

$$\text{donne } v_s/v_e = \frac{R}{(R + nR)} \approx 1/n.$$

Aux fréquences basses, curseur en bas, $X_C \gg mR$ et l'on a :

$$v_s/v_e = \frac{R}{(R + nR + mR)} \approx \frac{1}{m + n}.$$

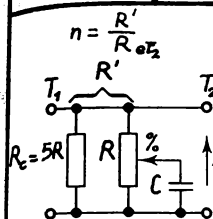
L'atténuation entre aigus et graves est au maximum de $\alpha = 20 \lg \frac{m + n}{n} \approx 20 \text{ dB}.$

Les variations de gain produites par le déplacement du curseur n'étant pas linéaires, on a intérêt à utiliser des potentiomètres logarithmiques.

Fig. 77, 78 - Les schémas représentés page précédente montrent des réseaux RC introduits dans la boucle de contre-réaction d'un amplificateur opérationnel. En introduisant un potentiomètre en A on obtient un contrôle de tonalité "aigus" (fig. 77) ou graves (fig. 78). Dans les deux cas on obtient :

$$A_v = \frac{A_o}{1 + A_o B_v} \approx \frac{1}{B_v} = \frac{R_5}{R_4} \cdot \frac{Z_1}{Z_1 + Z_2}.$$

Fig. 87, 88 - Contrôle de tonalité Baxandall (voir les explications page suivante).



R_c : résistance de collecteur de l'étage précédent

Fig. 79, 80 — Atténuation des aigües

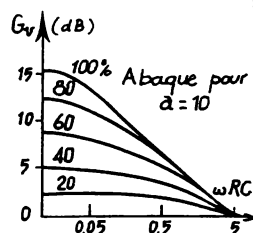
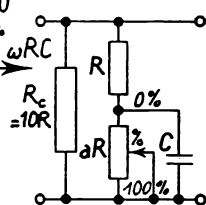
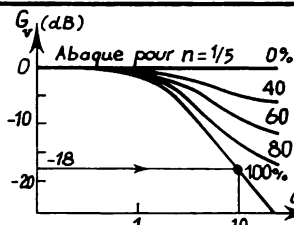


Fig. 81, 82 — Augmentation des graves

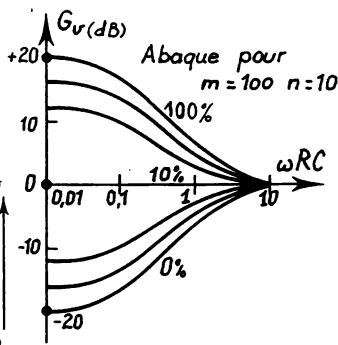
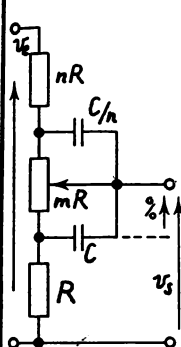


Fig. 83, 84 — Contrôle des graves

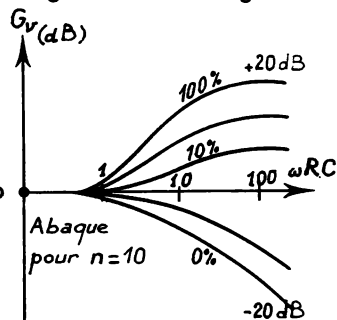
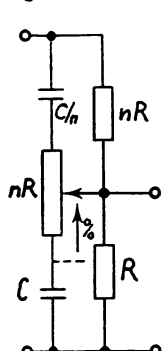


Fig. 85, 86 — Contrôle des aigües

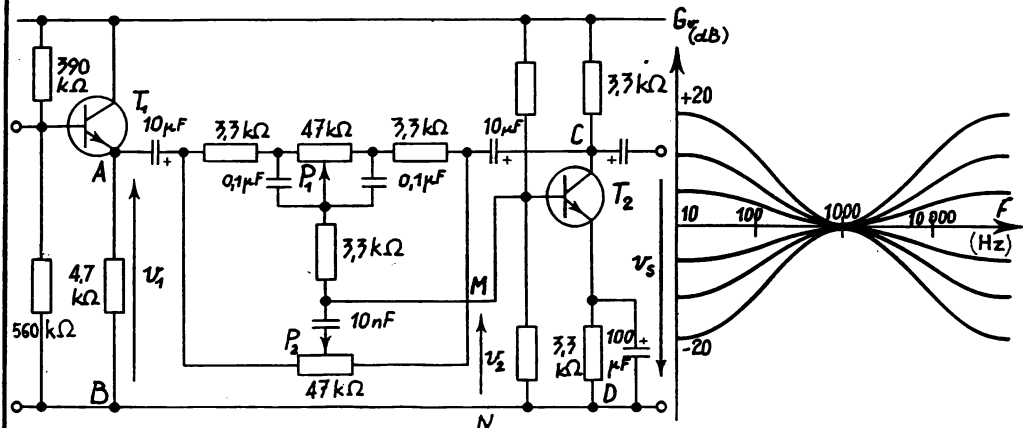


Fig. 87, 88 — Contrôle de tonalité Baxandall

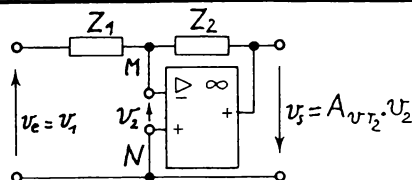


Fig. 89 — Ampli. opérationnel

| $X = \frac{1}{\omega}$ | 20Hz | 500Hz | 20kHz |
|------------------------|-------|-------|-------|
| 10nF | 800kΩ | 30kΩ | 800Ω |
| 0,1μF | 80kΩ | 3kΩ | 80Ω |
| 10μF | 800Ω | 30Ω | 0,8Ω |

Le réseau *Baxandall* est précédé d'un transistor monté CC (attaque du réseau en tension car Z_{S1} faible) et suivi d'un transistor T_2 avec CR parallèle en tension (attaque du réseau en tension car Z_{S2} faible). L'ensemble peut être assimilé à un ampli. opérationnel (Fig. 89) si Z_{MN} ainsi que $A_v v_2$ sont suffisamment grands. Dans ce cas on peut écrire :

$$\left| \frac{v_s}{v_e} \right| \approx \frac{Z_2}{Z_1}$$

Les fig. 90 à 96 représentent pour les trois régimes les schémas simplifiés après avoir négligé certains éléments (impédances relativement faibles en série, ou fortes en parallèle). On peut ainsi calculer facilement les valeurs maximales de gain aux différents régimes. Par exemple à 20Hz curseur à gauche.

$$Z_2 = \frac{R}{1 + jRC\omega} \quad |Z_2| \approx 40 \text{ k}\Omega \quad Z_1 = 3,4 \text{ k}\Omega$$

$$\left| \frac{v_s}{v_e} \right| \approx \frac{Z_2}{Z_1} = \frac{40}{3,4} = 11,8$$

$$G_v = 20 \lg \frac{v_s}{v_e} \quad 20 \lg 11,8 = 21 \text{ dB}$$

On peut imaginer facilement le remplacement des transistors par des circuits intégrés.

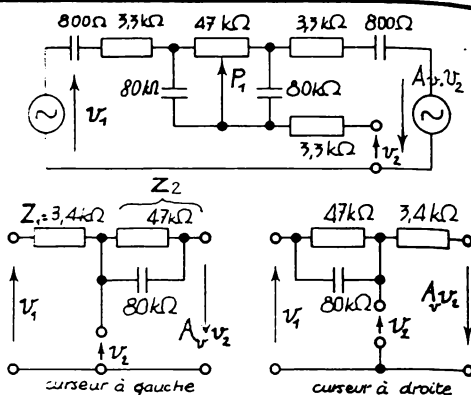
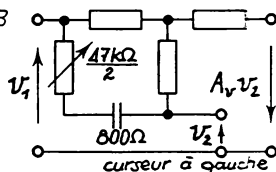


Fig. 90 à 92 — Régimes graves 20 Hz

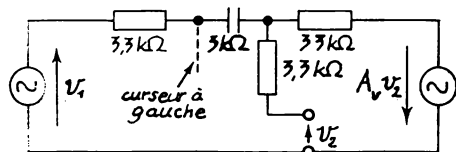


Fig. 93 — médium

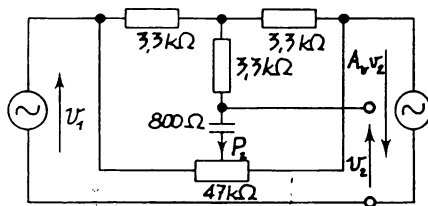
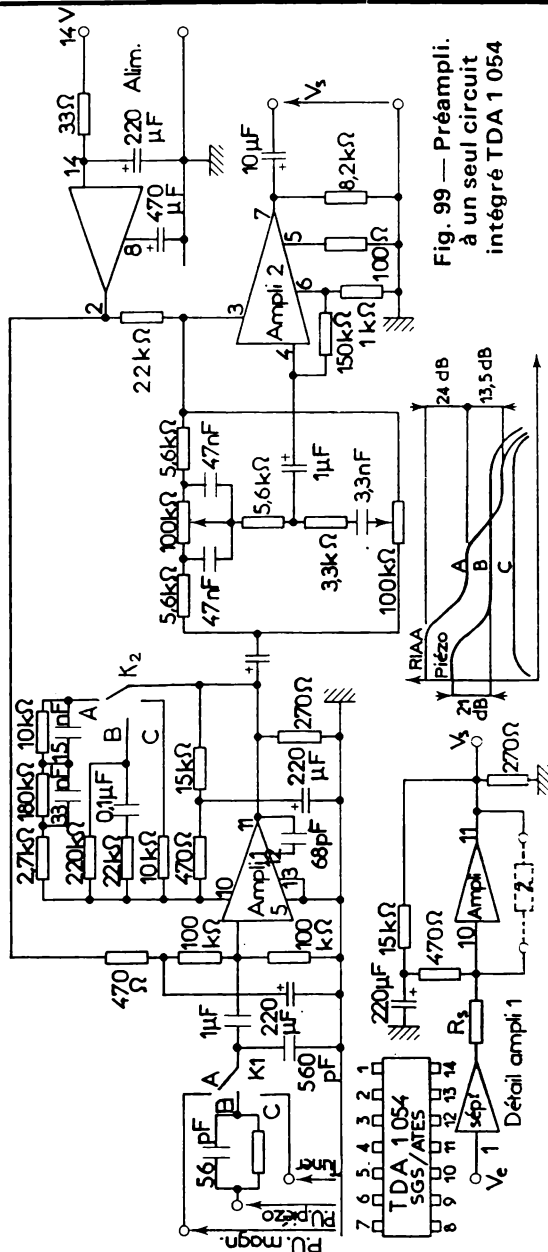


Fig. 94 à 96 — Régime aigus 20 kHz



**Fig. 99 — Préampli.
à un seul circuit
intégré TDA 1 054**

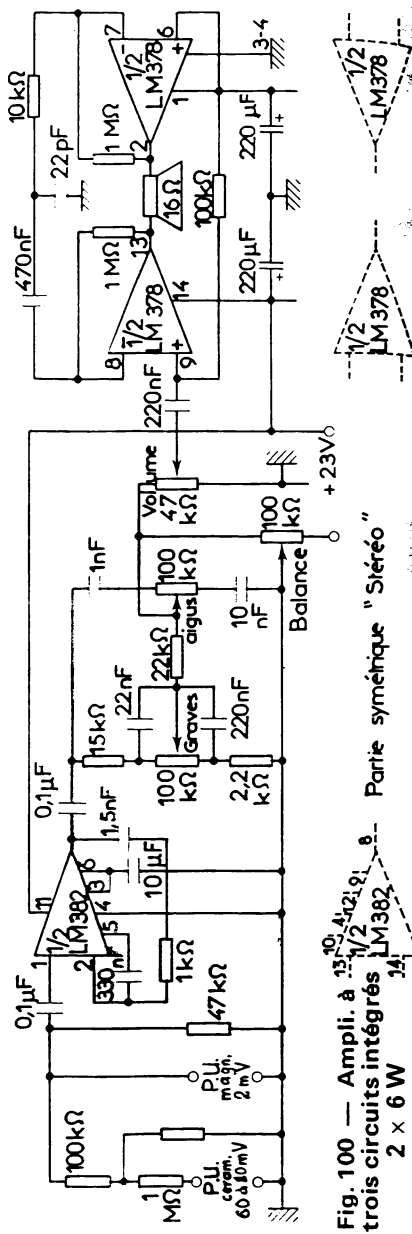


Fig. 100 — Ampli. à trois circuits intégrés LM382

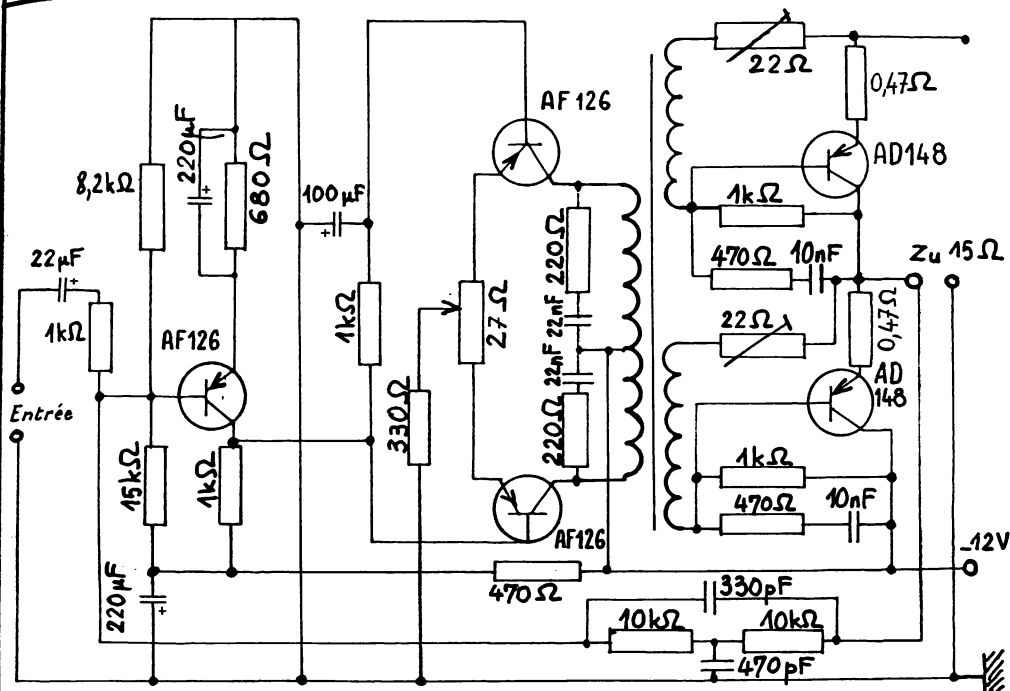
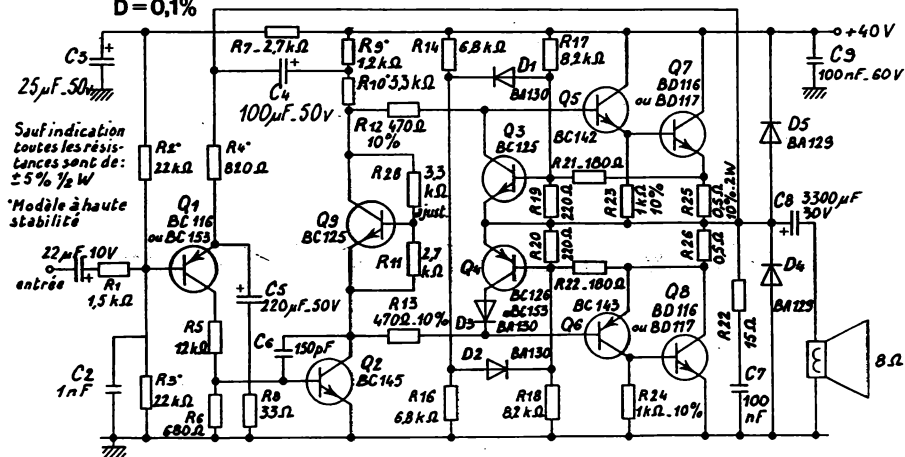


Fig. 101 — Amplificateur de haute fidélité
Puissance modulée : 4 W
B = 20 Hz à 20 000 Hz
D = 0,1%

Fig. 102 — Ampli. « Hifi »
à transformateur
(doc. SGS)



I - GÉNÉRALITÉS

— **Oscillateurs de relaxation.** Ce sont des générateurs d'oscillations périodiques non sinusoïdales produites par la succession de deux phénomènes aperiodiques (généralement la charge et la décharge d'un condensateur) qui alternent régulièrement et indéfiniment.

La production de signaux non sinusoïdaux fait partie de la technique dite des impulsions. Les figures 1 à 4 montrent quelques formes usuelles.

— **Générateurs de signaux rectangulaires** ⁽¹⁾

Ils comprennent :

- les multivibrateurs ou bascules astables ;
- les bascules monostables et les bascules bistables.

— **Constante de temps d'un circuit RC**

La constante de temps $\tau = RC$ correspond au temps nécessaire pour décharger le condensateur C dans la résistance R de 63% sa valeur initiale. (fig. 5), ou pour charger le condensateur C à travers la résistance R à 63% de sa valeur finale (fig. 6) (τ en secondes si C en μF et R en $M\Omega$).

La valeur de la constante de temps peut être obtenue graphiquement en menant la tangente à l'exponentielle à partir de la valeur initiale de la charge. (Forte constante de temps : $\tau > 10 T$; faible constante de temps $\tau < 0,1 T$). T est la période correspondant à la fréquence de récurrence ou de répétition $f = 1/T$.

II - CIRCUITS DIFFÉRENTIATEUR (ou dérivateur)

Un signal périodique appliqué à un quadripôle subit une différentiation si le signal de sortie v_s est proportionnel à la vitesse de variation dv_e/dt du signal d'entrée.

On utilise des circuits RC (ou RL) tels que l'impédance $Z_2 \ll Z_1$ à toute composante d'amplitude appréciable, par exemple celle de l'harmonique 20 (fig. 7).

Fig. 8 - Schéma d'un circuit RC différentiateur.

Fig. 9 - Signal différencié obtenu à partir d'un signal carré avec τ assez grande.

Remarques : La liaison CR entre deux étages constitue un circuit différentiateur. Un signal rectangulaire ne sera pas affecté par la liaison si la constante de temps est grande. On chiffre la distorsion obtenue par la grandeur : $\delta = \frac{x}{a}$ soit, si $RC > 10 T$, un taux de distorsion $\delta = \frac{T}{RC}$.

Une cellule RC peut jouer un rôle intégrateur et compenser l'effet différentiateur d'une liaison CR .

Fig. 10 - Signal différencié obtenu à partir d'un signal rectangulaire avec τ petite. Pour que les tops soient suffisamment pointus, le condensateur C doit pouvoir se décharger complètement. A cet effet, on choisit $\tau < T/5$ ($\tau < T/10$ pour un signal carré).

Fig. 11 - Signal différencié obtenu à partir d'un signal en dents de scie. La dérivée étant constante, on obtient un signal rectangulaire. Dans le cas d'un signal d'entrée sinusoïdal, on obtient un signal différencié sinusoïdal mais déphasé en avant (utilisation du circuit RC comme circuit déphaseur).

III - CIRCUIT INTÉGRATEUR

Un signal périodique appliqué à un quadripôle subit une intégration si la vitesse de variation dv_s/dt du signal de sortie v_s est proportionnelle à la valeur instantanée v_e du signal d'entrée.

Fig. 12 - Schéma d'un circuit RC intégrateur.

Fig. 13 à 15 - Exemples d'intégrations.

Remarque : En D8 et D9 nous avons vu l'intérêt de l'intégrateur et du différentiateur à ampli opérationnel (forte Z_e , faible Z_s).

(1) Un signal rectangulaire s'obtient en faisant la somme d'un signal sinusoïdal de fréquence fondamentale et de l'infinité de ses harmoniques.

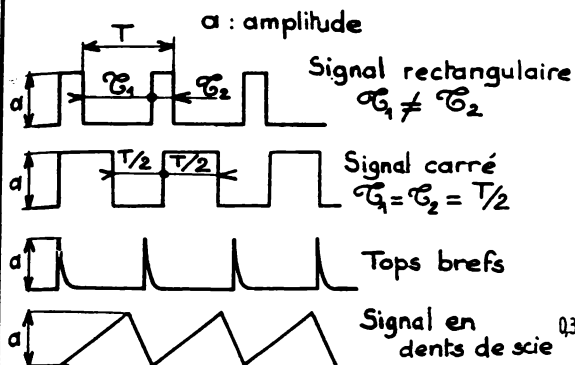


Fig. 1 à 4 — Formes de signaux

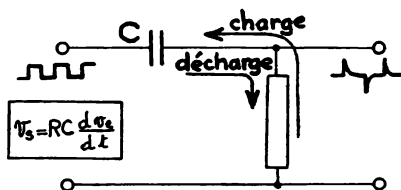


Fig. 8 — Circuit différentiateur

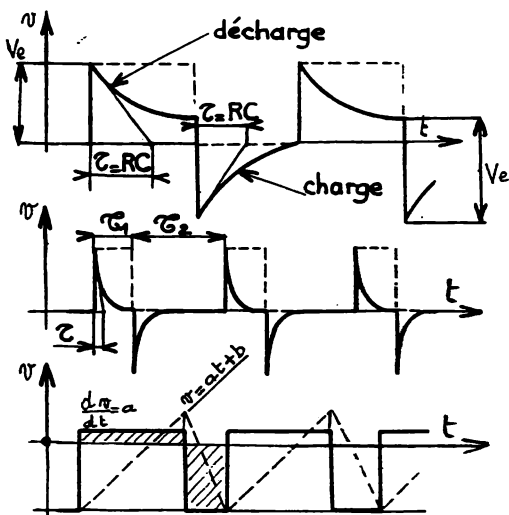


Fig. 9 à 11 — Exemples de différentiations

Fig. 7 — Circuit équivalent

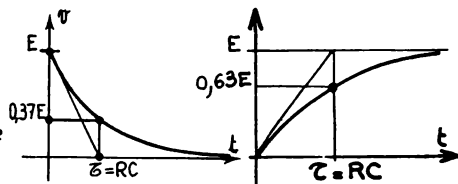
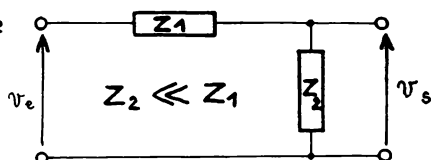


Fig. 5 — Décharge de C

Fig. 6 — Charge de C

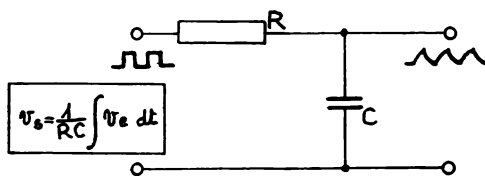


Fig. 12 — Circuit intégrateur

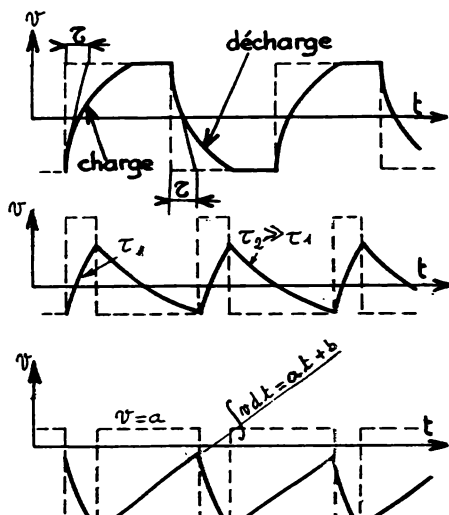


Fig. 13 à 15 — Exemples d'intégrations

IV - ÉCRÉTAGE

1° Définition

L'écrtage consiste à supprimer une partie de l'amplitude d'un signal. Le redressement supprimant les alternances négatives peut être considéré comme un cas particulier de l'écrtage.

2° Différents montages

a) Écrtage par diode en parallèle

Suivant le sens de branchement de la diode, on supprime soit l'alternance positive (fig. 16 et 17), soit l'alternance négative (fig. 18 et 19). L'amplitude résiduelle de l'alternance est d'autant plus faible que la résistance de la diode est petite par rapport à la résistance R (diviseur de tension) et que la tension de seuil V_{DO} est faible. La résistance R ne peut pas être trop grande à cause de l'atténuation du signal.

La caractéristique de la diode n'est pas parfaitement linéaire, d'où déformation du signal écrté. On doit tenir compte du fait que, pour les hautes fréquences, la capacité de la diode constitue avec la résistance R un circuit intégrateur.

b) Écrtage au-dessus ou au-dessous de la masse

Suivant le sens de la tension E appliquée (fig. 20 et 22), on obtient un signal écrté au-dessus de la masse (fig. 21) ou au-dessous (fig. 23). Suivant le sens de branchement de la diode, on écrté soit l'alternance positive, soit l'alternance négative. Les sources de tension continue doivent être découplées par un condensateur.

c) Écrtage par diode série (fig. 26)

La partie positive seule du signal passe, la partie négative provoquant le blocage de la diode. Ce montage est souvent préférable à celui de la figure 18, car l'amplitude du signal n'est pratiquement pas diminuée et la raideur des flancs peut être plus poussée. On l'utilise aussi à la suite de l'écrtéur figure 18 pour supprimer la tension négative résiduelle.

d) Écrtage à deux niveaux (fig. 24 et 25)

La première diode écrté l'alternance positive au-dessus de la masse, et la deuxième écrté l'alternance négative au-dessous de la masse. La figure 27 indique un autre montage possible.

e) Écrtage par transistor (fig. 28)

Un écrtage à un seul niveau peut être réalisé au moyen d'un transistor en utilisant soit le blocage, soit la saturation, ou bien un écrtage à deux niveaux en utilisant simultanément blocage et saturation. L'amplitude du signal de sortie sera, dans ce dernier cas, égale à V_{CC} . Pour obtenir des flancs raides, il faut choisir un transistor à fréquence de coupure élevée et à faible temps de saturation.

Si on désire fixer l'un des deux états en l'absence de signal, il suffit de réunir la base par une résistance, soit à la masse (blocage), soit à V_{CC} (saturation).

Pour passer de la saturation au blocage il faut évacuer rapidement les charges stockées dans la base (courant I_{B2}). Le condensateur C_B accélère la désaturation.

f) Limiteur

Le limiteur d'amplitude est un cas particulier de l'écrtage. On peut utiliser à cet effet la caractéristique de transfert de l'ampli différentiel dans la zone de saturation (voir D1). Une solution simple et efficace est obtenue avec l'amplificateur opérationnel (fig. 29).

3° Applications

Modifications de l'amplitude d'un signal. Transformation de la largeur d'un signal par amplification et écrtage successifs. Transformation d'une onde sinusoïdale en onde rectangulaire. Limitation d'amplitude. Amélioration de la forme de tops brefs.

En télévision: séparation des signaux de synchronisation du signal vidéo, et ensuite séparation des tops de synchronisation trame et lignes.

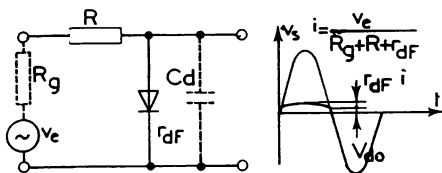


Fig. 16 et 17 — Ecrêtage de l'alternance (+)

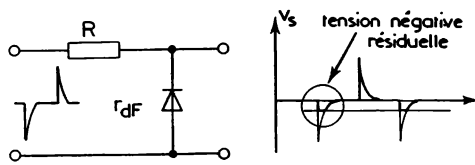


Fig. 18 et 19 — Ecrêtage de l'alternance (-)

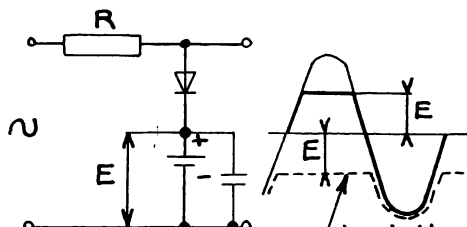


Fig. 20 et 21 — Ecrêtage au-dessus de la masse

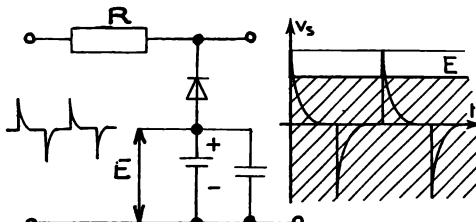


Fig. 22 et 23 — Ecrêtage au-dessous de la masse

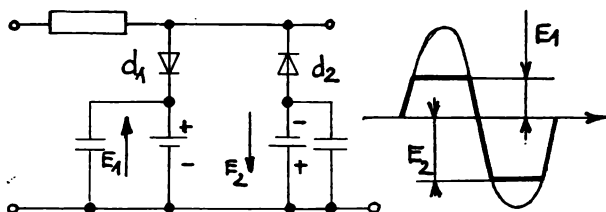


Fig. 24 et 25 — Ecrêtage à 2 niveaux

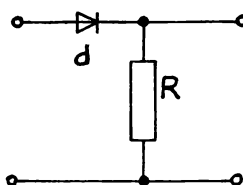


Fig. 26 — Ecrêtage par diode série

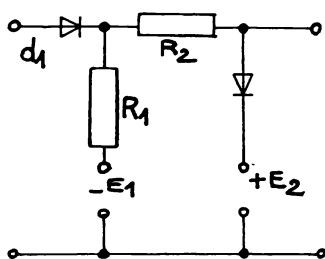


Fig. 27 — Ecrêtage à 2 niveaux

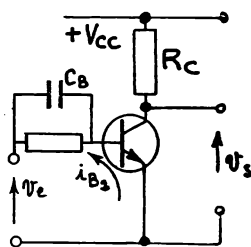


Fig. 28 — Ecrêtage à transistor

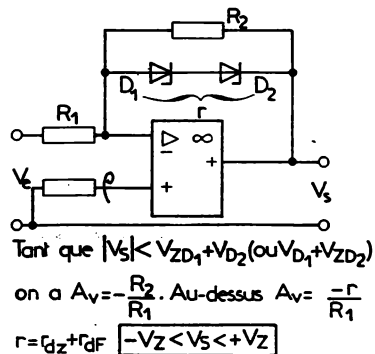


Fig. 29 — Limiteur

V - MONTAGES A TRANSISTORS

1° Principes (fig. 30)

- a)
- Blocage*
- : les deux jonctions sont polarisées en inverse.

On bloque un transistor NPN en rendant la base négative par rapport à l'émetteur.

La diode d'entrée est polarisée dans le sens non conducteur : $I_B \approx 0$. Le courant I_{Cbl} n'est jamais nul, sa valeur dépend beaucoup de la température car $I_{CBO} \times 2$ pour $\Delta t = 10^\circ C$.
 $R_{CEbl} = 10 M\Omega$. $I_{Cbl} = I_{CEO} = h_{21e} I_{CBO}$

- b)
- Saturation*
- : les deux jonctions sont polarisées en direct.

On sature un transistor NPN en rendant la base suffisamment positive.

Pour un courant I_B suffisamment grand, au courant I_{Csat} correspond une tension V_{CE} très faible (tension de déchet $V_{CEsat} < 0,1 V$).

$$I_{Bmin} = \frac{V_{CC}}{h_{21E} R_C} \quad \text{Pratiquement, on sature avec } I_B = 2 \text{ à } 10 I_{Bmin} \text{ et } I_{Csat} = \frac{V_{CC}}{R_C}.$$

$R_{CEsat} \approx 1 \Omega$. Dans les deux cas (blocage et saturation) P_{dis} est très faible.

- c)
- Délais de transition*

Le passage de l'état bloqué à l'état saturé et vice versa n'est pas instantané pour un transistor. Il faut tenir compte d'un délai de transition (fig. 31 à 33).

t_d : retard à la croissance : $t_d \propto$ si l'épaisseur de base \propto .

t_r : temps de croissance : $t_r \propto$ si la mobilité des porteurs f (transistor NPN) et si le degré de saturation f (voir k à la figure 33).

t_s : retard à la décroissance ou temps de stockage : $t_s \propto$ si on \propto la saturation.

On le réduit aussi en utilisant une tension inverse élevée et un condensateur en parallèle sur R_B qui facilite l'écoulement des charges stockées dans la base.

t_f : temps de décroissance : $t_f \approx t_r$. Le temps $t_r \propto$ si la mobilité des porteurs f (transistor NPN) et si la valeur du courant inverse $I_{B2} /$.

- d)
- Découplage d'une résistance d'émetteur en impulsions*

$$C_E (\mu F) \approx 10^7 t_p \frac{h_{21}}{R_{E1}} \quad t_p : \text{durée des paliers d'impulsion en secondes.}$$

VI - BASCULE ASTABLE OU MULTIVIBRATEUR (Abraham et Bloch)

1° Principes

Une bascule astable est un oscillateur de relaxation produisant des signaux rectangulaires, qui oscille librement et spontanément autour d'un équilibre instable.

Pour expliquer les propriétés des bascules à transistors, on doit se rappeler les propriétés suivantes (transistor monté EC) :

- Si $|I_B| / |V_{BE}| / |V_C| / |V_{CE}| \propto$
- Si V_{BE} négatif (transistor NPN) il est bloqué : $I_C \approx 0$; $V_{CE} = V_{CC}$.
- Si V_{BE} positif suffisant (transistor NPN) il est saturé : $V_{CE} \approx 0 V$.
- Un condensateur a besoin d'un certain temps pour se charger ou se décharger ($\tau = RC$).
- La polarité aux bornes de R est déterminée par le sens du courant qui la traverse.

2° Fonctionnement (fig. 34 à 38)

- t_0 à t_1 : Etat 1. Soit le transistor T_2 saturé : $V_{CT2} \approx 0 V$,
et le transistor T_1 bloqué : $V_{CT1} = V_{CC}$; $V_{BT1} \ll 0 V$.

La tension V_{BT1} augmente par charge lente et quasi linéaire du condensateur C_1 à travers la résistance R_{BT1} . La charge du condensateur C_1 dure jusqu'à ce que le potentiel de base du transistor T_1 soit nul. Le transistor T_1 commence à conduire à son tour.

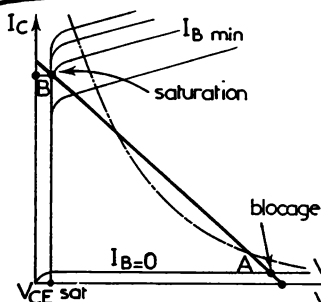


Fig. 30 - Droite de charge

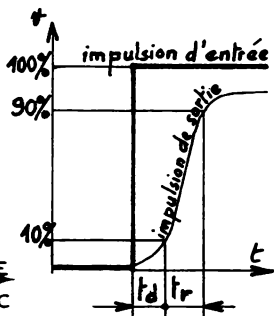


Fig. 31 - Passage bloqué saturé

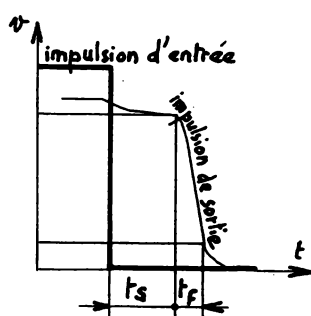


Fig. 32 - Passage saturé-bloqué

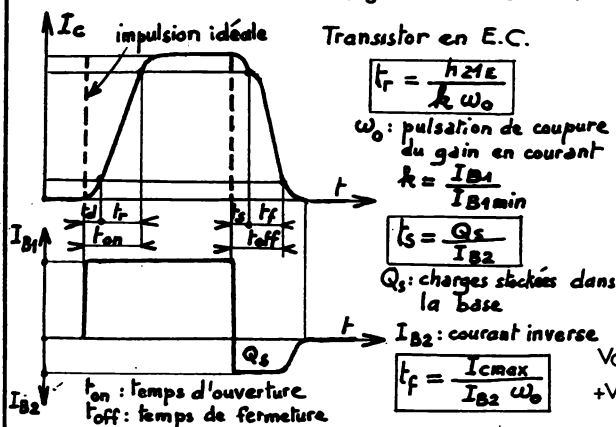


Fig. 33 - Réponse à un signal rectangulaire

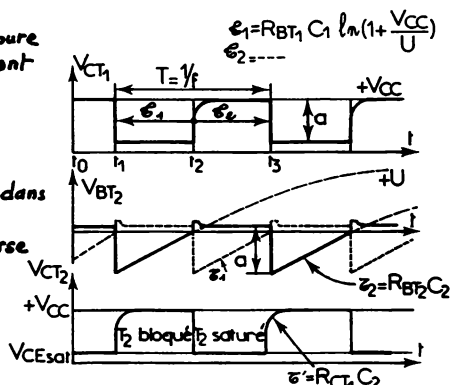


Fig. 34 à 37 - Forme des tensions

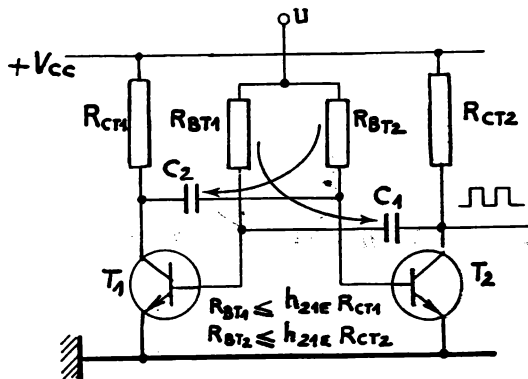


Fig. 38 - Multivibrateur

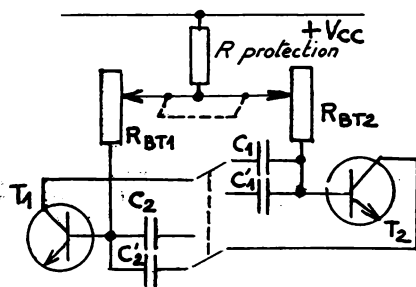


Fig. 39 - Modification de la fréquence

• t_1 : le transistor T_1 conduit, le potentiel collecteur s'abaisse, entraînant par C_1 le blocage de T_2 , donc le potentiel du collecteur de T_2 s'élève, entraînant par C_2 le transistor T_1 à conduire plus. Le système bascule. Le processus de réaction se passe en un temps très court.

• t_1 à t_2 : *Etat 2*. Transistor T_1 conducteur, transistor T_2 bloqué. Un raisonnement analogue amène le rebasculage à l'état 1.

3° Choix des transistors

Les transistors utilisés doivent supporter des tensions de blocage importantes sans risque de claquage de la jonction base-émetteur. Ils doivent posséder une résistance série de base ainsi qu'une capacité d'entrée faible ($f_a \gg 10$ MHz).

Ils doivent se saturer facilement, d'où l'intérêt des transistors épitaxiés.

Si on utilise des transistors à base mince, il faut empêcher, au moyen de diodes, le potentiel de base de devenir trop inférieur à celui de l'émetteur (1).

4° Caractéristiques des signaux

a) *Amplitude* : a légèrement inférieur à V_{CC} . Pour augmenter l'amplitude, il suffit d'augmenter V_{CC} . On peut la faire varier :

- sur l'étage en modifiant V_{CC} par potentiomètre, mais la fréquence varie aussi ;
- sur l'étage suivant.

b) *Fréquence* : $f = 1/T$. $T = \tau_1 + \tau_2$.

Si $U \leq V_{CC}$ on a : $\tau_1 = 2 R_{BT_2} C_2 \ln \left(1 + \frac{V_{CC}}{U} \right)$ $\tau_2 = \dots\dots\dots$

Si $U = V_{CC}$ on a :

$$\begin{aligned} \tau_1 &= 0,69 R_{BT_2} C_2 \\ \tau_2 &= 0,69 R_{BT_1} C_1 \end{aligned}$$

Pour modifier f sans modifier le rapport cyclique, il faut changer les constantes de temps dans le même rapport.

- f réglable par bonds : condensateurs C_1 C_2 commutables.
- f réglable progressivement : modifier dans le même rapport R_{BT_1} et R_{BT_2} (fig. 39).

La meilleure solution, n'utilisant qu'un seul potentiomètre, consiste à modifier la tension U appliquée aux bases (fig. 40 et 41).

c) *Rapport cyclique* : $r = \tau_1 / \tau_2$

Il faut modifier dans le rapport inverse les valeurs de C_1 , C_2 ou de R_{BT_1} , R_{BT_2} . Cette dernière solution est plus pratique (fig. 40). Le rapport cyclique peut varier ainsi de 1 à 5.

d) Synchronisation

Elle consiste à appliquer sur l'un des transistors un signal de polarité et d'amplitude convenables provoquant un basculement prématuré. La fréquence du signal de synchronisation doit être légèrement supérieure à la fréquence fondamentale ou aux harmoniques de f .

La forme du signal peut être sinusoïdale, mais le déclenchement est meilleur avec un top bref appliqué sur les bases (fig. 42).

e) Forme des signaux

- Raideurs des flancs avant et arrière : voir délais de transition en F3.
- Arrondi du flanc avant. Il est dû à la charge de C_1 à travers R_{CT_2} (ou C_2 à travers R_{CT_1}) au moment où T se bloque. L'arrondi λ si $\tau = R_{CT_2} \cdot C_1 \lambda$.

Pour avoir des flancs raides, il faut $\tau R_{CT_2} \cdot C_1 \ll 0,69 R_{BT_1} \cdot C_1$ soit $R_{BT_1} \gg 7 R_{CT_2}$ et utiliser des transistors à gain élevé.

- Ecrêter le signal au moyen de diodes convenablement polarisées.

(1) Vérifier sur les notices des fabricants V_{EBO} (ou BV_{EBO})

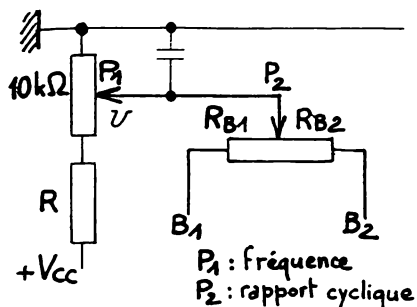


Fig. 40 - Modification du rapport cyclique

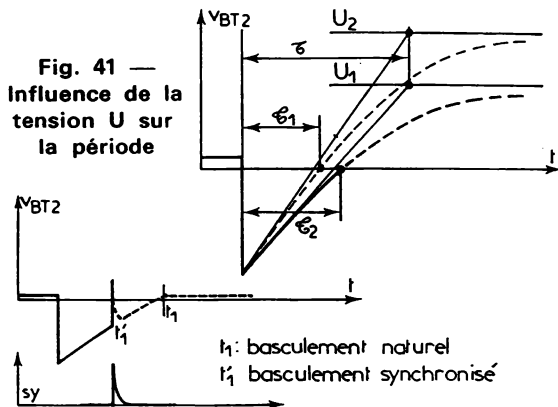


Fig. 42 - Synchronisation

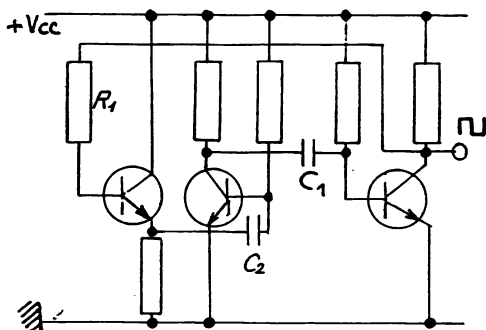


Fig. 43 - Diminution du temps de commutation par transistor

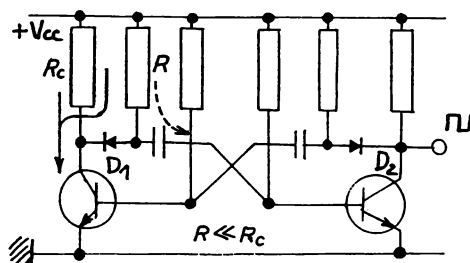


Fig. 44 - Diminution du temps de commutation par diodes

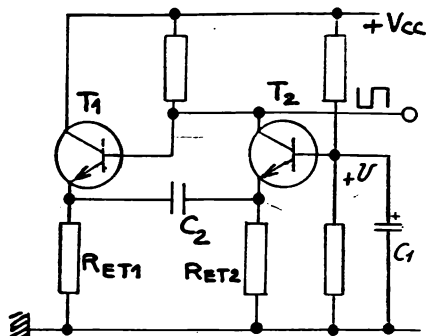


Fig. 45 - Multivibrateur à couplage d'émetteurs

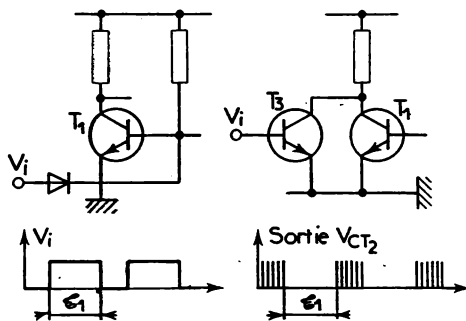


Fig. 46 - Multivibrateur à inhibition

5° Variantes

Figure 43 - Pour obtenir des durées de commutation très rapides, on effectue la charge de C_2 à travers un transistor supplémentaire monté CC présentant une résistance de sortie suffisamment faible augmentant la rapidité de charge de C_2 . R_1 : résistance de protection évitant l'échauffement pour $f < 10$ Hz.

Figure 44 - Les deux diodes permettent aux collecteurs d'atteindre plus rapidement la tension d'alimentation au moment du blocage. Comme $R \ll R_c$, l'arrondi du flanc avant est beaucoup plus petit. Avec des valeurs convenables on peut avoir un temps de montée de $0,2 \mu s$.

Figure 45 - Multivibrateur à couplage d'émetteurs

Les transistors T_1 et T_2 sont montés respectivement en CC et BC, donc ne déphasent pas. La réaction est donc bien positive. C_1 maintient la base à un potentiel fixe. Seul C_2 détermine la fréquence.

Un montage dérivé du précédent, le multivibrateur à résistance commune d'émetteur est représenté à la *figure 60*. Il permet d'obtenir de grands rapports cycliques et peut atteindre quelques dizaines de MHz. Suivant la valeur du potentiel en A il peut fonctionner en monostable ou en multivibrateur. (Utilisation sur les générateurs de dents de scie pour oscillographe. Multivibrateur : fonctionnement en relaxé. Monostable : fonctionnement en déclenché.)

Figure 46 - Multivibrateur à inhibition

Lorsqu'on veut bloquer le multivibrateur pendant un certain temps il suffit d'appliquer un signal de polarité convenable à l'un des transistors de la bascule (par exemple T_1) à travers une diode ou un transistor séparateur. On peut obtenir ainsi des trains d'impulsions.

Figure 47 - Multivibrateur à transistors à effet de champ MOS

L'impédance d'entrée très forte (10^{12} à $10^{15} M\Omega$) permet d'utiliser des résistances de temporisation très élevées (jusqu'à $100 M\Omega$) donnant des périodes de plusieurs minutes à 1 h.

Figure 48 - Multivibrateur à amplificateur opérationnel

L'amplificateur travaille toujours à saturation en sortie. Supposons que $V_s = +12$ V et que C_1 est déchargé. La tension $V(+)$ est positive : $V(+) = V_s \frac{R_2}{R_2 + R_3}$. La tension $V(-)$ est négative par rapport à $V(+)$ mais C_1 se charge à travers R_1 jusqu'à ce que $V(-)$ dépasse $V(+)$, d'où basculement. $V(+)$ devient négative et un nouveau cycle inverse recommence.

Figure 49 - Multivibrateur et ses réglages

Les réglages de fréquence se font par plages (C_1 commutables) ou en continu en réglant le potentiel V_{cc} .

On obtient $f < 300$ kHz et une stabilité $< 1\%$ pour ΔV_{cc} quelques %. La stabilité est augmentée en limitant l'excursion en sortie par des diodes Zener.

Le réglage du rapport cyclique est réalisé en utilisant deux branches parallèles bloquées alternativement par une diode. On peut aussi introduire un potentiel réglable en A.

Figure 50 - Fréquence commandée par une tension

La réaction positive est obtenue par couplage croisé de deux ampli. opérationnels. Le montage peut être soit synchronisé par V_s , soit si $V_{sy} = 0$ (connectée à la masse) commandé par la tension $V_{f,r}$. La dynamique de commande peut atteindre 60 dB.

Figures 51 à 53 - Multivibrateur avec 2 portes « Nand » en circuits intégrés.

Ce sont deux portes « Nand » ou « ET-NON » dont chaque sortie est reliée par une liaison RC à l'une des entrées de l'autre. L'équation logique ($S = \bar{a} + \bar{b}$) fait que chaque porte inverse le signal d'entrée. L'ensemble donne une réaction positive et oscille spontanément. L'une des entrées libres peut servir à la synchronisation.

6° Utilisations

- Générateurs de signaux carrés ou rectangulaires jusqu'à plusieurs dizaines de MHz.
- Clignoteurs.
- Commutateurs électroniques.
- Diviseurs de fréquence. ($f_{\text{multi}} = f_{\text{synchro}} / \text{divisée par nombre entier}$).
- Production de trains d'impulsions.
- Générateurs de dents de scie (voir G4).

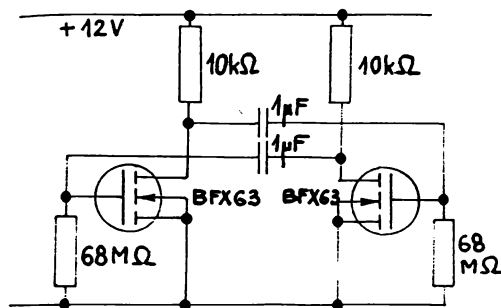


Fig. 49 - Multivibrateur avec transistors à effet de champ (M.O.S.)

$$T = 2R_1 C_1 \ln \left(\frac{2R_2 + 1}{R_3} \right)$$

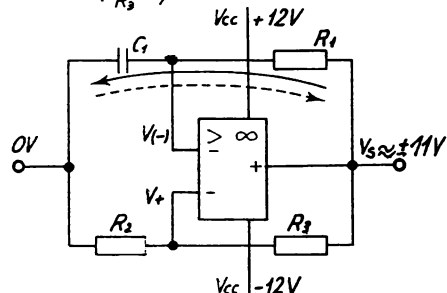


Fig. 48 — Multivibrateur à amplificateur opérationnel

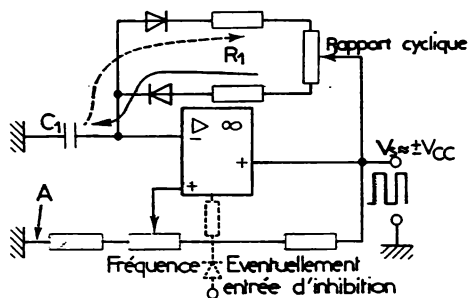


Fig. 49 — Multivibrateur et ses réglages

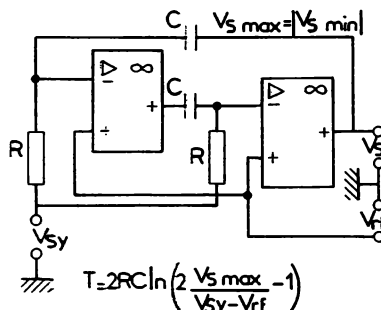


Fig. 50 — Fréquence commandée par une tension

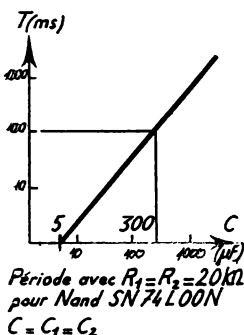
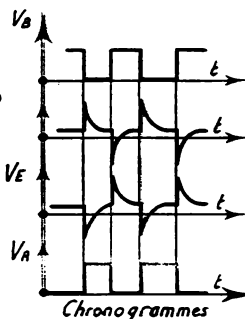
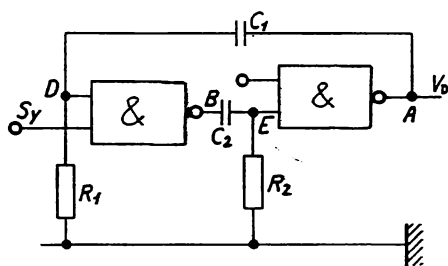


Fig. 51 à 53 — Multivibrateur avec 2 portes « Nand »

VII - BASCULE MONOSTABLE (ou univibrateur)

1° Principe (fig. 54)

Une bascule monostable est un dispositif à déclenchement possédant un état stable et un état quasi-stable (état par lequel le système revient de lui-même à l'état stable).

T_2 est bloqué par la polarisation $-P$ et T_1 conduit. Cet état subsiste indéfiniment en l'absence d'impulsion de basculement.

2° Fonctionnement (fig. 55 à 59)

— *Etat stable.* La résistance de base R_{BT_1} reliée à $+U$ sature le transistor T_1 . Le pont de résistance R_{CT_1} , R_{BT_2} , R est tel que T_2 est bloqué (V_{BT_2} négatif).

— *Basculement.* Il est produit par une impulsion (+) saturant T_2 , d'où V_{CT_2} , ainsi que V_{BT_1} , bloquant T_1 .

— *Etat quasi-stable.* Après le passage de l'impulsion, C_1 se décharge à travers R_{BT_1} jusqu'au moment où la base de T_1 (+) débloque T_1 . L'impulsion (-) apparaissant sur le collecteur de T_1 est envoyée sur la base de T_2 qui se bloque. On a de nouveau l'état stable.

3° Caractéristiques des signaux

$$\text{— Durée de l'état instable: } \tau = 2 R_{BT_1} C_1 \ln \left(1 + \frac{V_{CC}}{U} \right) = 0,69 R_{BT_1} C_1 \text{ si } U = V_{CC}.$$

Pour faire varier τ on modifie U ou R_{BT_1} . $0,1 \text{ ms} < \tau < 1 \text{ s}$ suivant le type de montage.

— *Raideur des flancs et arrondi du flanc avant:* voir multivibrateur.

— *Impulsions:* on peut appliquer des impulsions positives sur la base de T_2 .

— *Temps de récupération:* τ si R_{CT_2} mais on est limité par $I_{C_{sat}T_2}$. Une autre solution consiste à utiliser $V_{CCT_2} > V_{CCT_1}$ (courbe en pointillés sur la figure 56).

— *Stabilité de τ :* elle est d'autant meilleure que l'exponentielle de décharge de C_1 coupe la tension de déchet (V_{BE}) d sous un angle moins aigu (fig. 57).

4° Variantes

— Pour isoler la bascule de la source de déclenchement après passage de l'impulsion, on utilise une diode normalement bloquée en l'absence d'impulsion (pointillés fig. 54).

Fig. 60 - Le couplage d'émetteur évite la polarisation $-P$ de la figure 54. En agissant sur le potentiel A (potentiomètre), on peut obtenir un multivibrateur

Fig. 61 - Bascule à amplificateur opérationnel. L'ampli est bloqué vers sa tension de saturation négative en sortie par application d'une tension (+) sur son entrée avec inversion. L'arrivée d'une impulsion négative fait basculer l'ampli vers sa tension de saturation positive. Mais C_2 se décharge à travers R_3 jusqu'à ce que l'entrée sans inversion soit à une tension inférieure à celle de l'entrée (-), d'où basculement et retour à l'état stable.

$$\tau = R_3 C_2 \ln \left(\frac{V_S}{V_{CC}} \cdot \frac{R_1 + R_2}{R_2} \right) \quad \text{Temps de récupération} = 1 \mu\text{s}.$$

Fig. 62 et 63 - Bascule avec deux portes «Nand» (ET-NON).

Au repos $E_B = 1$ $\left\{ \begin{array}{l} \text{sortie A: } S_A = \bar{a} + \bar{b} = \bar{1} + \bar{0} = 1 \\ \text{sortie B: } S_B = \bar{a} + \bar{b} = \bar{1} + \bar{1} = 0 \end{array} \right. \mid S_B \text{ ramenée en A par C ne change rien.}$

Basculement si $E_B = 0$ $\left\{ \begin{array}{l} \text{sortie B: } S_B = \bar{0} + \bar{1} = 1 \\ \text{sortie A: } S_A = \bar{1} + \bar{1} = 0 \end{array} \right. \mid S_B \text{ ramenée sur A d'où basculement.}$

Le niveau 1 sur E_A ne reste pas, car C se décharge à travers R , d'où retour à l'état stable au bout d'un temps τ .

5° Utilisations

— Obtention de grands rapports cycliques jusqu'à 1000 et plus.
— L'impulsion obtenue, de durée τ , peut servir à commander l'ouverture (ou la fermeture) d'autres circuits pendant le temps τ (temporisation).

— Obtention d'un front retardé d'un temps déterminé τ par rapport à l'impulsion de déclenchement: le retard peut aller de quelques dizaines de nanosecondes à quelques minutes (transistors FET) voire une heure (transistors MOS). On peut s'inspirer du montage de la figure 47.

— Uniformisation de signaux en durée et en amplitude après différenciation.

— Fréquence-mètre à comptage d'impulsions. La tension moyenne de sortie mesurée est proportionnelle à la fréquence des impulsions.

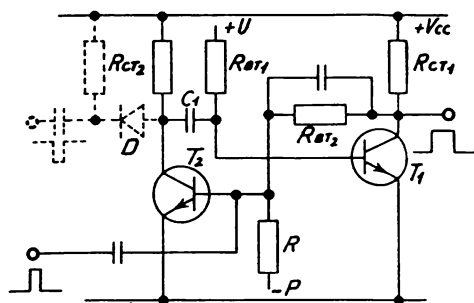


Fig. 54 _ Bascule monostable

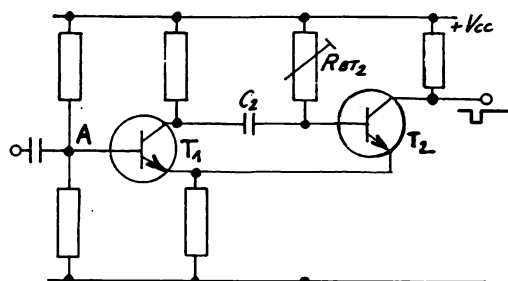


Fig. 60 Bascule à couplage d'émetteur

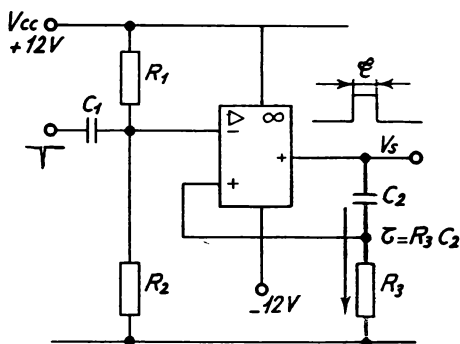


Fig. 61 — Bascule à ampli. opérationnel

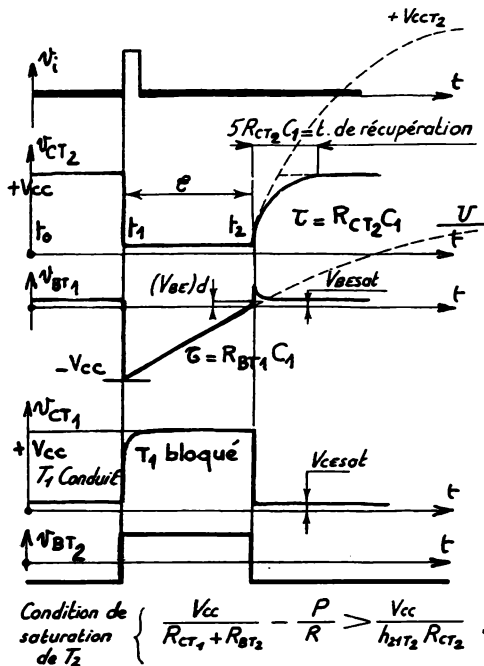


Fig. 55 à 59 _ Forme des tensions

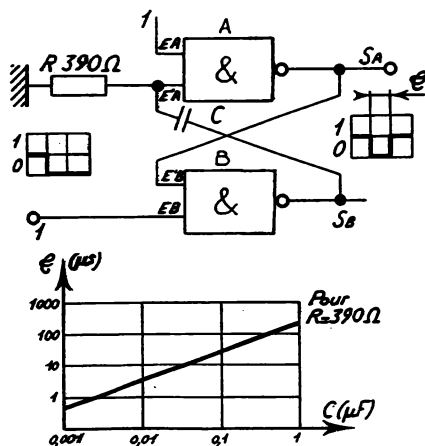


Fig. 62 et 63 — Bascule à 2 portes « Nand »

VIII - BASCOULE BISTABLE (OU D'ECCLÈS-JORDAN)

1° Principe (fig. 64)

Une bascule bistable est un dispositif à déclenchement possédant deux états stables. Une impulsion extérieure de déclenchement la fait basculer d'une position à l'autre. Les deux transistors sont polarisés de telle sorte qu'ils ne peuvent conduire simultanément.

2° Fonctionnement (fig. 66 à 68)

Etat 1 : au temps t_0 , T_1 est bloqué, T_2 est conducteur (ou inversement).

A l'instant t_1 l'impulsion positive appliquée sur T_1 le rend conducteur. Le potentiel de base de T_2 , commande par le potentiel de collecteur de T_1 , devient négatif, bloquant T_2 , d'où :

Etat 2 : de t_1 à t_2 , T_1 est conducteur, T_2 est bloqué, et réciproquement à l'arrivée d'une impulsion négative sur T_2 .

Les condensateurs C_1 et C_2 précipitent le basculement. On choisit $C_1 = C_2 = \frac{R_1 C_e T_1}{R_{BT_1}}$

avec $C_e T_1$: capacité d'entrée du transistor T_1 . On en déduit la fréquence maximale de fonctionnement de la bascule : $f_{\max} = \frac{1}{3 C_1 \left(\frac{1}{R_1} + \frac{1}{R_{BT_1}} \right)}$.

3° Caractéristiques des signaux

— *Fréquence :* le signal rectangulaire obtenu a une fréquence moitié de celle des impulsions (diviseurs de fréquence par 2).

— *Rapport cyclique :* il dépend des temps relatifs d'arrivée des impulsions de déclenchement.

— *Forme des signaux :* ils sont presque parfaits.

4° Variantes

Fig. 65 - Ecclès-Jordan à résistance d'émetteur commune. Il permet de supprimer la polarisation ($-P$) du montage précédent. Les diodes D laissent passer les impulsions qui sont appliquées aux bases, mais elles arrêtent les impulsions négatives qui apparaissent sur les collecteurs au moment du déblocage, empêchant leur retour vers la source d'impulsions.

La bascule peut être commandée par des impulsions appliquées sur les collecteurs et transmises par les condensateurs C_1 , C_2 aux bases. Les impulsions qui bloquent les transistors conducteurs sont préférables.

Pour augmenter la fréquence, il faut éviter la saturation des transistors, par exemple par une diode Zener en parallèle sur R_C (pointillés fig. 65). Les bascules non saturées sont utilisées seulement si $f > 100$ MHz, car l'énergie dissipée est plus grande et l'amplitude des signaux moins stable.

Nota - Sur les différents schémas précédents, on peut utiliser des diodes entre base-émetteur (fig. 64) limitant la valeur de v_{BE} au blocage, réduisant ainsi le temps de mise en conduction. En outre, elle évite d'atteindre la tension de claquage de la jonction base-émetteur.

Fig. 69 - Bascule à ampli opérationnel. La sortie étant saturée. Le potentiel V + est déterminé par le diviseur R_3 , R_2 . Si V_S est négatif, (V +) aussi et toute impulsion positive sur (V -) supérieure à (V +) ne change pas l'état. Le basculement se fera à l'arrivée de la première impulsion négative sur (V -).

Fig. 70 et 71 - Bascule à diode tunnel. Soit la droite de charge ① qui coupe la caractéristique $I(V)$ aux points A et B (2 états stables). Le signal v_e fait basculer de l'état A à l'état B en suivant les flèches, et de B à A en inversant v_e .

Pour une droite de charge ② on obtient une bascule monostable, et en ③ (zone à pente négative) on obtient une bascule astable. Les diodes tunnel sont utilisées pour des bascules fonctionnant à plusieurs centaines de MHz. Pour diminuer le temps de transition, on ajoute en série avec R une inductance $L \approx 100$ nH.

Fig. 72 à 75 - Les bascules R-S (Reset-Set) utilisées en logique, sont dérivées de l'Ecclès-Jordan. Le basculement est obtenu non par un top bref, mais par un échelon (niveau de tension 0 ou 1) sur l'une des deux entrées R ou S . L'état des sorties Q et \bar{Q} est donné dans la table de vérité. Pour lever l'indétermination lorsque deux niveaux 1 sont appliqués simultanément, on utilise des bascules JK plus élaborées. Les bascules T ne possèdent qu'une entrée et sont utilisées comme diviseur binaire. Certaines ont une entrée supplémentaire de forçage pour la remettre à son état d'origine (remise à zéro).

5° Utilisations

- Signaux rigoureusement symétriques jusqu'à 100 MHz et plus.
- Signaux inverses sur chaque collecteur.
- Diviseur de fréquence par 2 (compteurs binaires).
- Mémoires logiques.

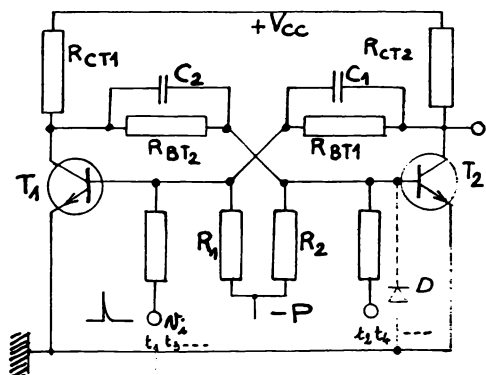


Fig. 64 — Eccles-Jordan avec source + P

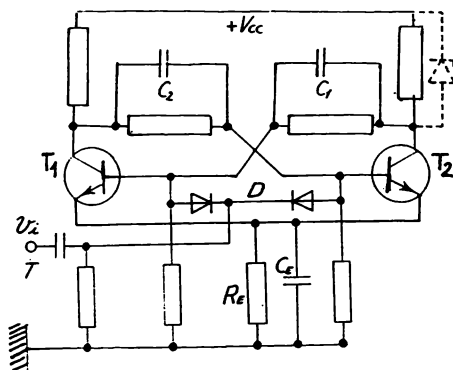


Fig. 65 — Eccles-Jordan à R_E commune

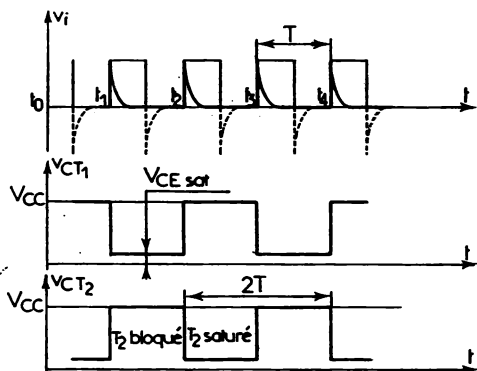


Fig. 66 à 68 — Formes des tensions

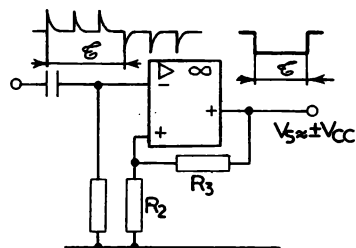


Fig. 69 — Bascule bistable à ampli. op.

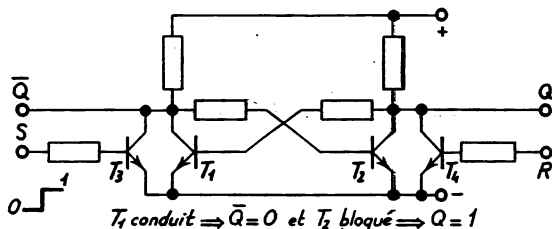
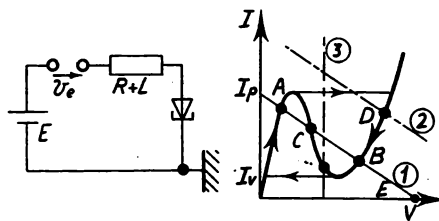


Fig. 72 — Bascule RS à circuit intégré



| S | R | Q | \bar{Q} |
|---|---|-------------|-----------|
| 0 | 0 | Q | \bar{Q} |
| 1 | 0 | 1 | 0 |
| 0 | 1 | 0 | 1 |
| 1 | 1 | indéterminé | |

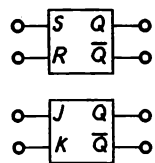


Fig. 73 à 75 —
Table de vérité de la bascule RS
et symboles des bascules RS et JK

IX - BASCULE A HYSTÉRÉSIS

1° Principe

C'est une bascule bistable qui permet, à partir d'un signal périodique (par exemple sinusoïdal, en dents de scie ou de forme quelconque), d'obtenir un signal rectangulaire (fig. 80 à 82). Le basculement se fait en passant par un seuil A à la montée de v_e et pour un seuil B différent de A à la descente (hystérésis). Les cyclogrammes (fig. 77 à 79) donnent v_s en fonction de v_e . Lorsque la réaction est insuffisante, le montage ne bascule plus; il devient un amplificateur à grand gain.

2° Fonctionnement - Bascule de Schmitt (fig. 76)

Etat 1: t_0 à t_1 : le transistor T_2 est bloqué car la tension de base obtenue par le pont de résistances R_{CT_1} , R_{BT_2} , R_1 , est telle que sa valeur est négative par rapport à la valeur de la tension d'émetteur. En effet la résistance R_E est parcourue par le fort courant du transistor T_1 qui conduit.

A l'instant t_1 quand le potentiel de base de T_1 atteint le seuil B en descendant, la tension V_{BET_1} devient négative et T_1 se bloque.

Basculement à t_1 : le transistor T_1 est bloqué, le potentiel de base de T_2 commandé par le potentiel de collecteur de T_1 remonte et le transistor T_2 conduit car V_{BET_2} devient positive.

Etat 2: t_1 à t_2 : T_1 bloqué, T_2 conduit. Lorsque le potentiel de base de T_1 , qui remonte, va atteindre le seuil B de déblocage, le système va à nouveau basculer dans l'état 1. La valeur du seuil B est généralement différente de celle du seuil A , car le courant traversant R_E n'est pas le même pour les deux états.

3° Caractéristiques des signaux

- *Fréquence:* en principe celle du signal appliqué. Dans certains cas, elle peut être multiple si l'un des seuils est passé pour de petites variations du potentiel à l'entrée. Cela aurait pu être si le potentiel en C était légèrement supérieur (fig. 81). Le temps de commutation peut être réduit à quelques nanosecondes si T_2 non saturé.

- *Rapport cyclique:* il peut être modifié soit par déplacement de l'un des seuils (modifier par exemple une des résistances du pont diviseur), soit par déplacement de la tension d'entrée (fig. 76) au moyen du potentiomètre P .

- *Stabilité:* elle augmente si la raideur des flancs du signal d'attaque augmente. L'entrée n'est pas affectée par le basculement, et la sortie (charge capacitive par exemple), n'influence pas le basculement.

4° Variantes

Fig. 83 - Bascule à ampli opérationnel, entrée avec inversion. La réaction positive par R_2 , R_3 assure le verrouillage sur l'une des deux tensions de saturation en sortie. Si par exemple V_s est positive, le basculement va se produire lorsque V_e dépasse la tension sur l'entrée (+). L'inversion donne la tension de saturation négative en sortie et un cycle inverse recommence lorsque V_e diminue.

$$\text{Seuils: } V_e = \pm V_s \left(\frac{R_3}{R_2 + R_3} \right) \text{ avec } V_s = \pm V.$$

Fig. 84 - Bascule à ampli opérationnel, entrée sans inversion.

$$\text{Seuils: } V_e = \pm V_s \frac{R_2}{R_3} \text{ avec } V_s = \pm V.$$

Pour obtenir des seuils non symétriques par rapport à la masse, il faut relier A à un potentiel $\neq 0$.

Fig. 85 - Bascule à deux portes ET-NON (Nand). Pour les valeurs données sur le schéma, les seuils sont de 1,3 et 1 V. Lorsque V_e \uparrow et passe à 1,3 V, la tension V_s passe de 3 V à 0 V. Les seuils s'écartent si R_1 \uparrow (mais $R_1 < 390 \Omega$) ou si R_2 \downarrow . Si les seuils sont trop rapprochés, il n'y a plus basculement. La résistance du générateur d'attaque doit être comprise dans R_1 . Les flancs de montée ou de descente sont de 20 ns avec un SFC 400 E.

Dans le cas où on veut éliminer toute composante continue à l'entrée, on remplace R_1 par les éléments en pointillés. P modifie l'écart des seuils. On peut bloquer la sortie dans l'un des états 0 ou 1 en portant les entrées «d'inhibition» A ou B à zéro.

5° Utilisations

- Générateur de signaux rectangulaires à partir d'un signal de forme quelconque.
- Régénérateur d'impulsions, mise en forme.
- Détecteur de seuil: le dépassement du seuil A permet de déclencher un système de sécurité.
- L'utilisation d'une bascule à hystérésis avec les circuits logiques garantit un bon fonctionnement, même avec des parasites dont l'amplitude est inférieure à celle de l'hystérésis.

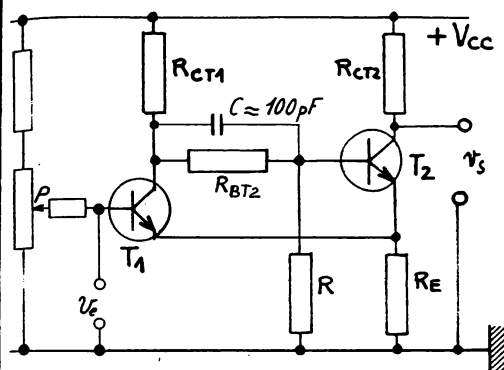


Fig. 76 - Bascule de Schmitt

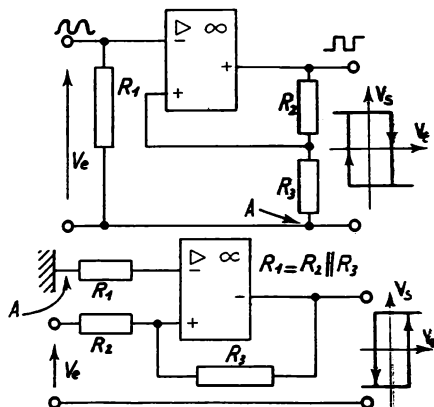


Fig. 83, 84 —
Bascules à ampli. opérationnel

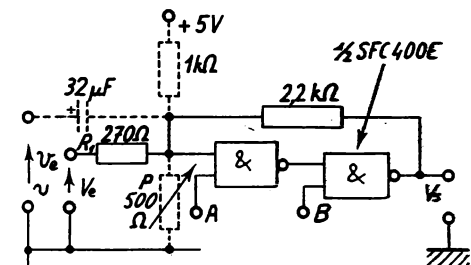


Fig. 85 — Bascule à 2 portes « Nand »

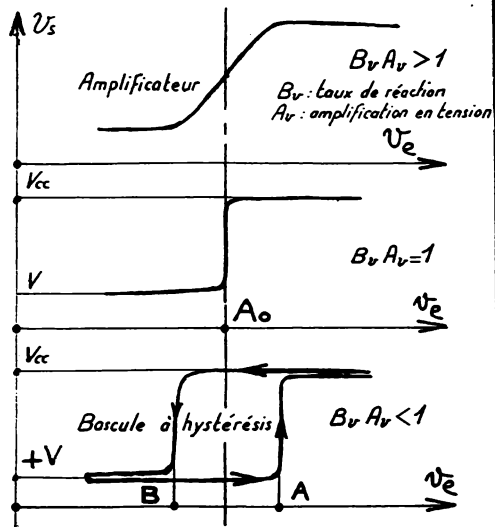


Fig. 77 à 79 - Cyclogrammes

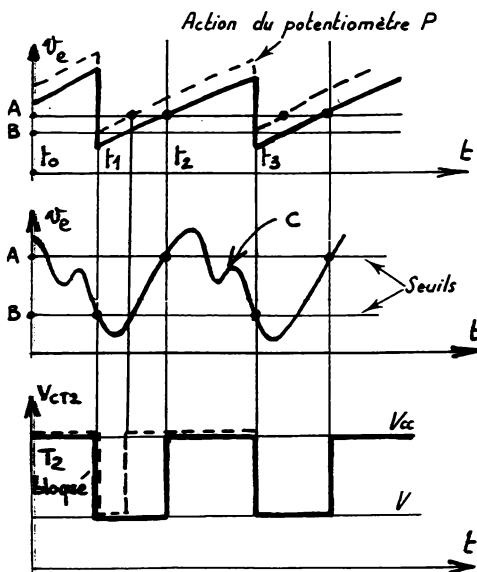


Fig. 80 à 82 - Forme des tensions

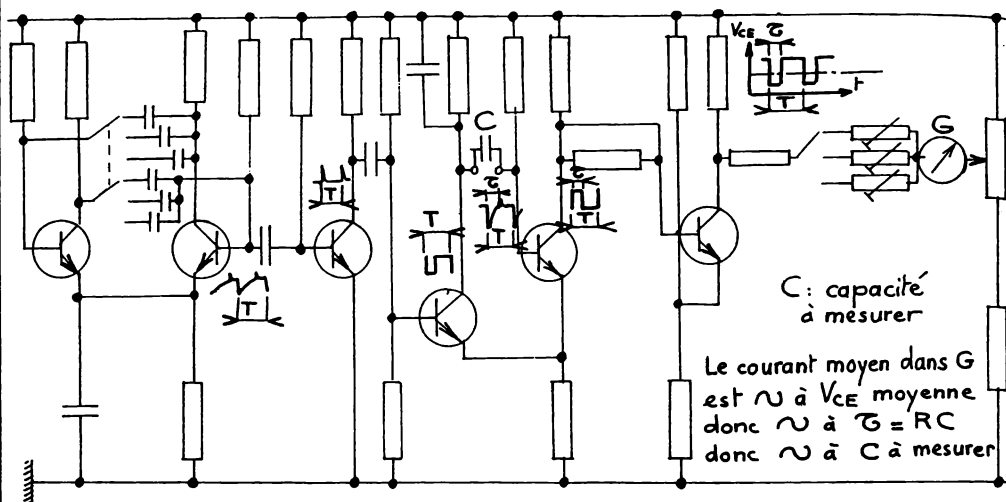
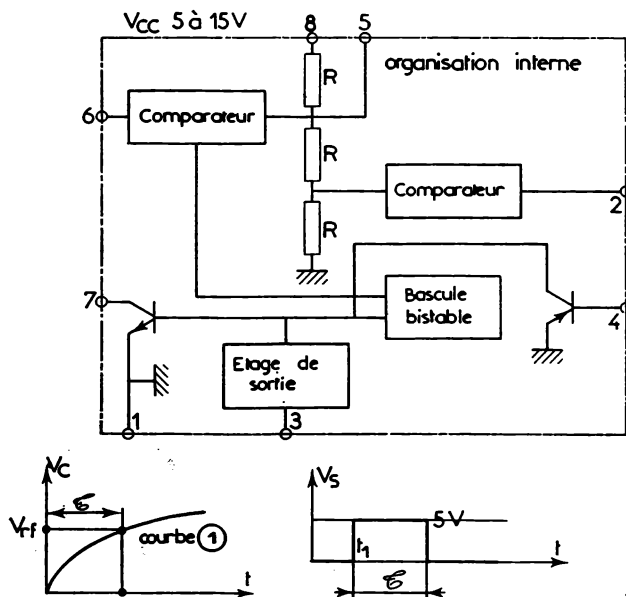


Fig. 86 _Capacimètre



Le temps ϵ dépend de $T = RC$ (courbe ①) jusqu'à ce que $V_C = V_{rf}$
 $1\mu s < \epsilon < 1h$
 Le départ de la charge de C est obtenu par application de V_i au temps t_1

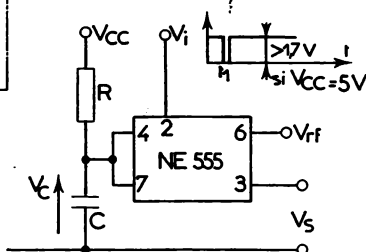
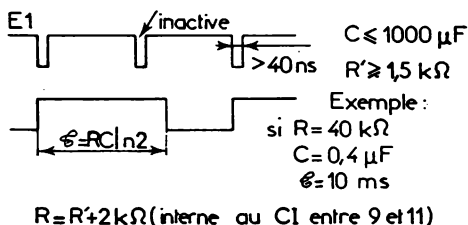
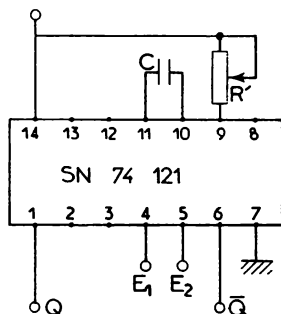


Fig. 87 — Monostable à circuit intégré spécial NE 555

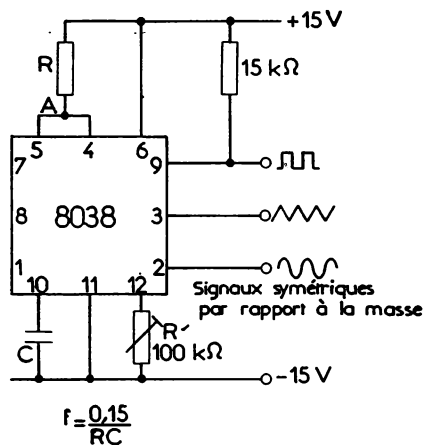
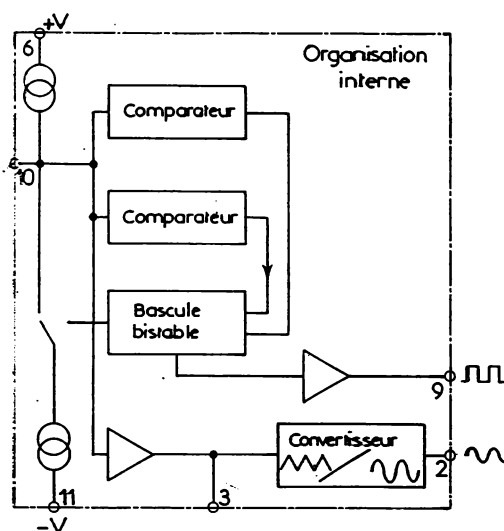


Nota: A partir des CI tels le 555, le 74121 on peut réaliser de nombreux schémas: générateurs de signaux rectangulaires, de

dents de scie, marqueur, temporisateur, commande de relais, etc.

Les fabricants proposent des variantes comme le 556 (deux 555 dans le même boîtier) le 74122 (monostable réarmable par l'impulsion inactive ci-dessus) le 74123 (astable obtenu à partir de deux monostables), etc.

Fig. 88 — Monostable à circuit intégré spécial SN 74121



R' permet de diminuer la distorsion sur le signal sinusoïdal.

Fig. 89 — Générateur de fonction à circuit intégré spécial 8038

I - GÉNÉRALITÉS

Les signaux en dents de scie sont utilisés pour le balayage horizontal sur les oscilloscopes et sur les cinescopes.

Ces signaux, pour être utilisables, doivent avoir (fig. 1):

- une bonne *linéarité* pendant l'aller;
- un retour rapide: le *taux de retour*, $r = \mathcal{E}_2/T$, doit être petit;
- une bonne *stabilité en fréquence*;
- une bonne *stabilité en amplitude*.

Classification des systèmes:

- les *intégrateurs* donnant des signaux en dents de scie à partir de signaux rectangulaires;
- les systèmes *relaxés* fonctionnent automatiquement (relaxateurs auto-oscillants) et la stabilité en fréquence nécessite généralement une *synchronisation* qui consiste à imposer, par une impulsion, l'instant du retour (*fin de rampe*);
- les systèmes *déclenchés* ne fonctionnent pas en l'absence de signal de déclenchement, lequel impose, par un signal saut ou échelon, le départ de l'aller (*début de rampe*).

II - INTÉGRATEURS

1° Circuit RC (fig. 2 et 3)

La linéarité est médiocre.

Le temps de retour est trop grand, car les constantes de temps de charge et décharge sont égales.

2° Intégrateur Miller (fig. 4)

a) *Effet Miller*. Soit un amplificateur de tension (A_v : amplification de tension sortie ouverte et C déconnecté) avec un condensateur C de réaction entre sortie et entrée. G_s représente le générateur de sortie, R_s et R_e les résistances de sortie et d'entrée de l'étage. L'application du théorème de Thévenin conduit au premier schéma équivalent (fig. 5). On montre que l'entrée est équivalente (fig. 6) à un nouveau circuit comportant une capacité dynamique $C(1 + A_v)$. C'est l'effet Miller qui permet de réaliser ainsi un intégrateur.

b) *Tension de sortie*. Lorsqu'on ferme l'interrupteur, la tension de sortie v_s (fig. 7) commence par un saut positif de valeur v_{s0} , puis elle décroît exponentiellement vers la valeur finale $A_v V$ avec la constante de temps $\tau = [(1 + A_v)\rho + R_s]C$ ou, si 1 négligeable devant A_v :

$$\tau = (A_v \rho + R_s)C$$

c) *Utilisation pratique*. On peut utiliser la rampe pour obtenir des signaux en dents de scie à condition:

- de réduire le saut positif au départ; on démontre, d'après le premier schéma équivalent, que $v_{s0} = VR_s/(\rho A_v + R_s)$; il faut donc que R_s soit faible et A_v grande;
- de limiter la rampe à la portion linéaire; il faut pour cela que la constante de temps soit grande devant t_1 , soit, pour une capacité donnée, A_v et R_e grandes;
- de ramener v_s à zéro au temps t_1 ; il suffit d'un interrupteur (transistor) qui décharge rapidement C .

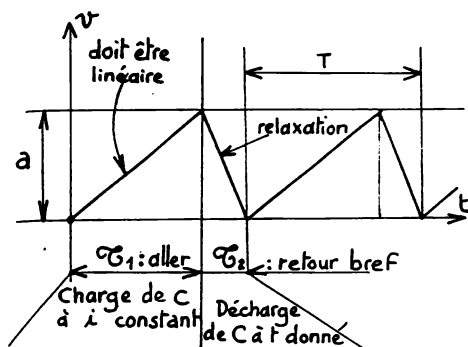


Fig. 1 — Signal en dents de scie

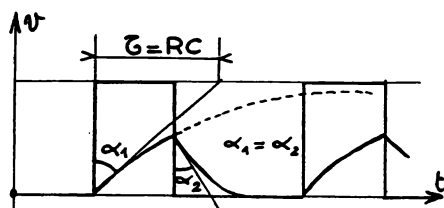


Fig. 3 — Intégration d'un signal rectangulaire

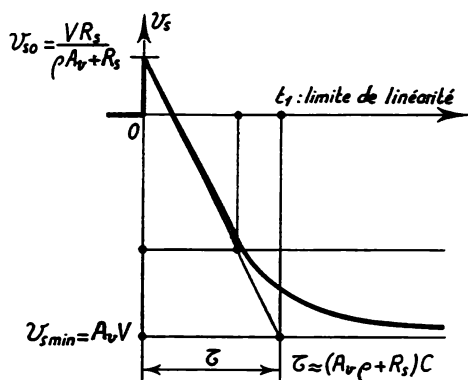
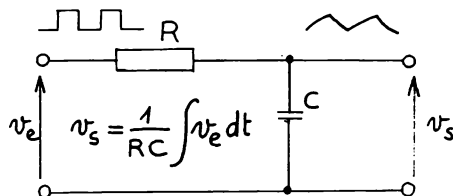
Fig. 7 —
Intégrateur Miller : Forme de la tension
de sortie quand on ferme l'interrupteur

Fig. 2 — Circuit intégrateur

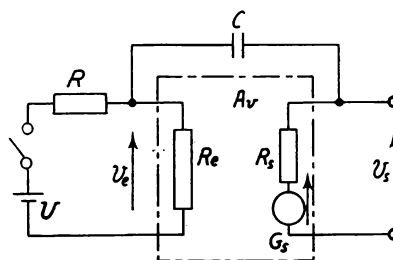
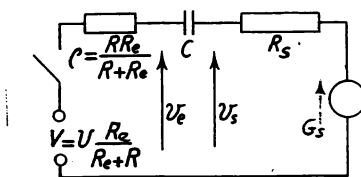
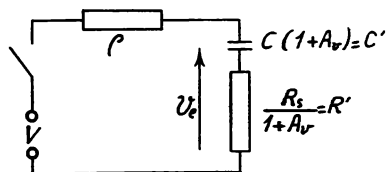


Fig. 4 — Intégrateur Miller

Fig. 5 — 1^{er} schéma équivalent

$$\bar{C} = (\rho + R') C'$$

Fig. 6 — 2^e schéma équivalent

d) Application (fig. 8)

D'après ce que nous venons de voir, le saut positif au départ est pratiquement nul si A_v est très grande et R_s faible, d'où :

- T_2 à gain élevé ;
 - T_3 monté CC donnant R_s d'une centaine d'ohms.
- La linéarité augmente si A_v est grande et R_e grande, d'où :
- T_1 monté CC donnant R_e d'une centaine de kilohms.
- Pour augmenter encore R_e à l'entrée, on peut utiliser :
- un Darlington monté CC ;
 - un transistor à effet de champ.

En réalité, $T_3 T_4$ sont montés en Darlington donnant une faible impédance de sortie afin que l'impédance de charge ne perturbe pas le fonctionnement de l'intégrateur. C_1 et C_2 sont des découplages évitant des accrochages.

e) Intégrateur à ampli. opérationnel (fig. 9 à 12)

Il présente toutes les caractéristiques d'un bon intégrateur Miller (grande R_e , faible R_s et très grande A_v). La figure 11 donne la rampe de sortie obtenue quand on applique un échelon à l'entrée.

L'exponentielle s'écarte à moins de 5% de la pente à l'origine si $t_1 < \frac{A_0 RC}{3}$.

Remise à zéro au temps t_1 (fig. 12)

Elle s'effectue par un transistor interrupteur. De 0 à t_1 , le transistor T est bloqué par une tension négative sur la base obtenue par le pont $R_B R'_B$. Au temps t_1 une impulsion positive appliquée en A débloquent le transistor T à travers lequel le condensateur C se décharge. Après passage de l'impulsion, au temps t_2 un nouveau cycle recommence (fig. 11).

f) Intégrateur Miller à transistors pour base de temps d'oscillographe (fig. 13)

On retrouve les transistors $T_1 T_2 T_3$ montés comme sur la figure 8. La durée de la rampe, c'est-à-dire la fréquence, est réglée par bonds en commutant plusieurs condensateurs C , et en continu en agissant sur la tension U . Le transistor T joue le rôle d'interrupteur. Avant le début de la rampe, T est conducteur, le potentiel de l'émetteur est négatif, la diode D conduit et C ne peut se charger car le courant dans R passe par D et T . Aux temps 0, l'échelon bloque T et la rampe démarre jusqu'au temps t_1 . L'émetteur est positif et la diode D bloquée. A t_1 , le condensateur C se décharge à travers R , D et T saturé. Le temps de retour doit être compris entre 3 à 5 fois la constante de temps de décharge.

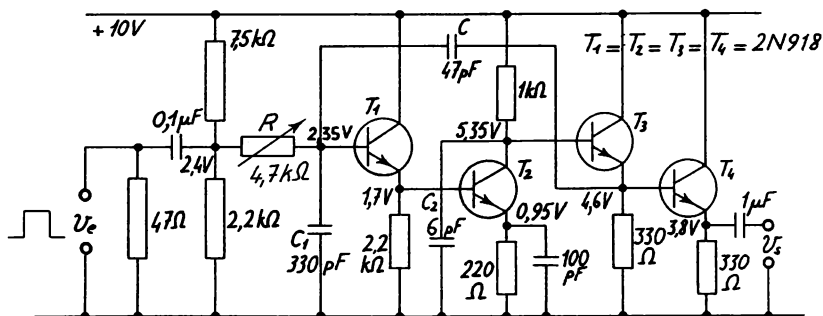


Fig. 8 — Intégrateur Miller

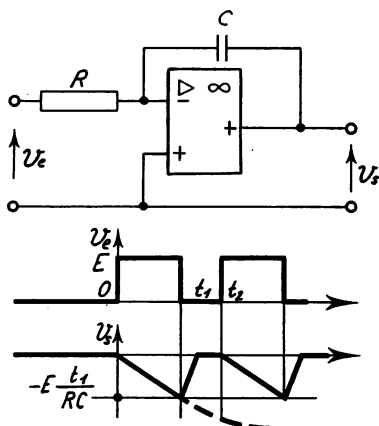


Fig. 9 à 11 — Intégrateur à ampli. opérationnel

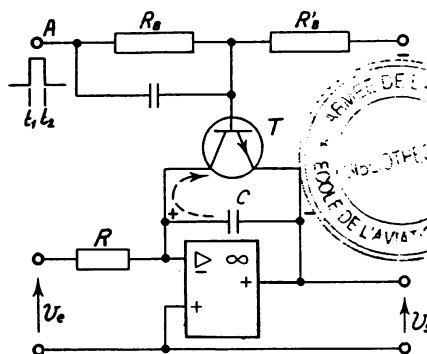


Fig. 12 — Remise à zéro de l'intégrateur

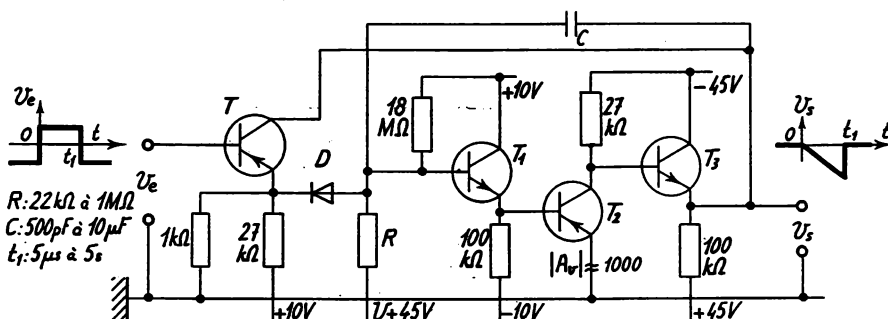


Fig. 13 — Intégrateur Miller pour base de temps d'oscillographe « Tektronix 321.A »

III - GÉNÉRATEURS DE RAMPE DE TENSION

1° Principe d'un relaxateur : circuit RC (fig. 14 à 16)

— Aller t_0 à t_1 : charge lente exponentielle de C à travers R (V_{\max} possible égale à V_B). La rampe est linéaire si $a < V_B/10$.

— Retour t_1 à t_2 : décharge rapide exponentielle du condensateur C à travers l'interrupteur K fermé. Les systèmes utilisés diffèrent par le choix du circuit de charge (résistance R , inductance, transistor) et par le choix du circuit de décharge (tube à gaz, thyristor, UJT, transistor...).

2° Circuits de décharge

a) *Interrupteur mécanique* K ou interrupteur à mercure pour décharge de lignes en radar. Il n'est utilisable que pour des bases de temps très lentes.

b) *Diode à gaz à cathode froide*. Tube au néon remplaçant l'interrupteur K .

1. *Fonctionnement*. Lorsque la tension aux bornes atteint la tension d'amorçage V_{am} , le tube devient conducteur, et le condensateur C se décharge jusqu'à ce que la tension atteigne la tension d'extinction V_{ex} et le cycle recommence (fig. 20).

Le système ne peut être synchronisé, d'où son amélioration en utilisant un thyatron qui comporte une électrode supplémentaire, la grille de commande.

2. *Inconvénients*. Les tubes à gaz ont des caractéristiques peu stables, ils sont encombrants et leur fonctionnement est limité à des fréquences de quelques kHz, à cause du temps de désionisation. Ils ne sont pratiquement plus utilisés, sauf en forte puissance comme interrupteurs dans les modulateurs de radar.

c) *Thyristor* (fig. 17)

1. *Fonctionnement*. Le condensateur C se charge à travers R_2 . Lorsque la tension d'amorçage v_{FDM} (fig. 18) est atteinte aux bornes du thyristor, il conduit fortement déchargeant C , puis se rebloque et un nouveau cycle recommence. La résistance R_3 limite la valeur du courant de décharge.

2. *Caractéristiques des signaux*

— *Fréquence*: f si $r = R_2 C \omega$ d'où le réglage de fréquence R_2 .

— *Amplitude*: a si v_{FDM} c'est-à-dire si le courant de gâchette I_G (fig. 18) d'où le réglage d'amplitude par R_4 .

3. *Applications*

Générateur de signaux en dents de scie de très basses fréquences jusqu'à une impulsion toutes les 12,5 secondes. Générateur de courant pour balayage électro-magnétique jusqu'à 10 kHz.

d) *Transistor en régime d'avalanche* (fig. 19 et 20)1. *Phénomène d'avalanche*

En fonctionnement habituel, un transistor est bloqué pour le courant inverse de base. Si la tension V_{CE} augmente suffisamment, il se met à conduire fortement. C'est le régime d'avalanche dû à une ionisation par choc au niveau de la jonction collecteur-base. Le temps de fonctionnement en avalanche doit être réduit pour ne pas détruire le transistor. Le passage de l'état bloqué (point A) au régime d'avalanche (point B) s'effectue en un temps très court (quelques nanosecondes) commandé par une impulsion sur la base. La droite de charge D_a ne doit pas couper les caractéristiques en C, par exemple, dans une zone stable où la puissance dissipée est trop élevée.

2. *Application* (fig. 21)

Les valeurs des résistances sont telles que les bases de T_1 et T_2 soient positives par rapport aux émetteurs. Ils sont bloqués pendant la charge lente de C à travers P_1 . Il arrive un moment où la charge de C est suffisante pour atteindre la tension d'avalanche de T_1 . Le potentiel de collecteur de T_1 chute rapidement à quelques volts, T_2 commandé par C devient aussi conducteur jusqu'à la décharge complète de C , après quoi un nouveau cycle recommence. On peut obtenir une gamme de fréquences étendue (10 Hz à 100 kHz) avec une amplitude de sortie de 80 V crête à crête.

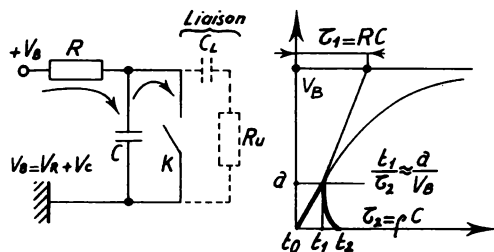


Fig. 14 et 15 — Relaxateur : principe

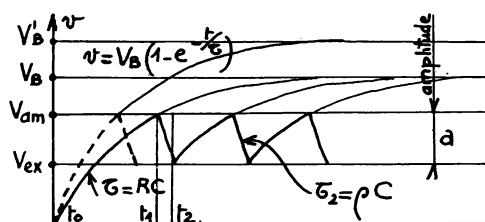


Fig. 16 — Forme des tensions pour une diode à gaz utilisée comme interrupteur K

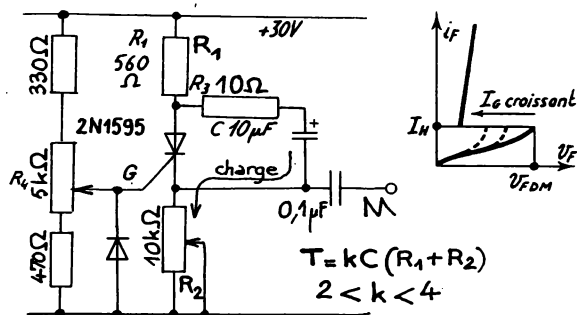


Fig. 17 et 18 — Base de temps à thyristor

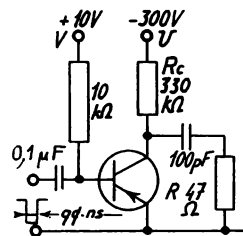


Fig. 19 — Transistor en avalanche

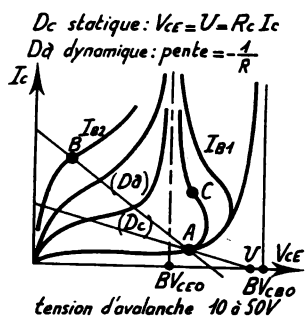


Fig. 20 — Réseau de caractéristiques d'un transistor en avalanche

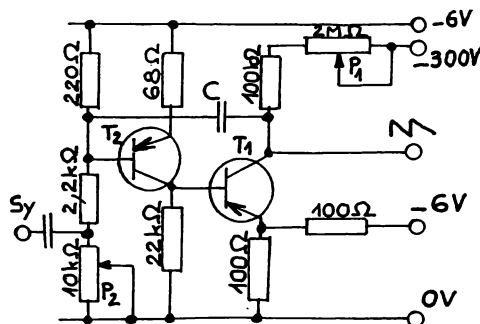


Fig. 21 — Base de temps à avalanche

e) *Transistor de décharge (fig. 22)*

Le condensateur C se charge à travers R et T_1 pendant le blocage du transistor. Il se décharge à travers T_2 pendant le déblocage. La commande s'effectue par des impulsions rectangulaires de sens, d'amplitude et de durée convenables appliquées sur la base du transistor. Le potentiomètre P règle le courant de charge de C , donc la fréquence. Il s'agit d'un générateur de type déclenché.

f) *Bascule de décharge (fig. 23)*

Le condensateur C se charge à travers la résistance R de valeur élevée, conjointement avec une source de tension de valeur élevée, assurant ainsi une bonne linéarité. Pendant la charge, T_2 est bloqué, T_1 conduit. Lorsque le potentiel de base de T_2 devient plus négatif que le potentiel d'émetteur, T_2 se met à conduire et T_1 se bloque. Le transistor T_2 conduit et C se décharge rapidement à travers D et R_E . Un nouveau basculement bloque T_2 quand le potentiel de base de T_2 redevient positif par rapport au potentiel d'émetteur, et le cycle recommence. La base de temps relaxée peut être synchronisée par des impulsions positives.

Toutes les bascules synchronisées ou déclenchées ayant des rapports cycliques suffisants peuvent être utilisées comme interrupteur pour décharger le condensateur C .

g) *Transistor unijonction (fig. 24) ou UJT*1. *Fonctionnement*

L'UJT est plutôt une diode à deux bases, dont la caractéristique $v_E(i_E)$ est représentée à la figure 25 pour une certaine valeur du courant de base I_{B_2} . Le maximum correspond au pic et le minimum à la vallée. Quand I_{B_2} s'élève, la tension de pic V_P s'élève.

La droite de charge ($V_A = -R I_E + V_E$) doit couper la caractéristique dans la zone à résistance négative. Le courant de pic I_P est de quelques microampères, alors que le courant de vallée I_V est environ mille fois plus grand. Le montage le plus simple (fig. 24) consiste à charger C à travers R . Lorsque la tension aux bornes de C atteint la tension de pic, le condensateur se décharge rapidement à travers l'UJT jusqu'à la tension de vallée, puis un nouveau cycle recommence (fig. 26).

La résistance R_{B_1} sert à limiter le courant de décharge de C , et éventuellement à obtenir sur la base B_1 un top positif au moment de cette décharge.

Le rapport intrinsèque η fixé pour un UJT donné ($0,4 < \eta < 0,8$) lie la tension de pic à la tension interbase. Il permet de calculer f et R_{B_2} (figs. 25 et 26). La résistance interbase $R_{B_1 B_2}$ est de 5 k Ω environ quand l'unijonction est bloquée. Les valeurs minimale et maximale de ces paramètres sont données par les notices des fabricants.

La résistance R_{B_2} sert à réduire l'influence de la température sur la fréquence. Dans la gamme de 0 à 100 °C, il est possible, par un réglage judicieux de cette résistance, d'obtenir une stabilité meilleure que 0,25%.

La tension interbase $V_{B_1 B_2} = V_A$ quand l'UJT est bloqué.

2. *Caractéristiques des signaux*

- *Fréquence*: agit sur les éléments R ou C .
- *Synchronisation*: par des impulsions positives sur l'émetteur ou sur B_1 , ou par des tops négatifs sur B_2 . Dans ce cas l'UJT atteint prématurément V_P .
- *Linéarité*: on l'améliore par charge à courant constant au moyen d'un transistor de charge (fig. 27).

Pour ne pas diminuer la linéarité, il faut prélever la tension aux bornes de C par un dispositif à grande impédance d'entrée.

h) *Diode Schockey ou 4D*

Cette diode à quatre couches PNPN a une caractéristique $V(I)$ analogue à celle de l'UJT avec un pic, une vallée et une zone à résistance négative.

Elle est peu utilisée à cause de l'instabilité de sa tension de pic en fonction de la température. Toutefois, elle peut être utilisée comme interrupteur d'un intégrateur à amplificateur opérationnel (fig. 28).

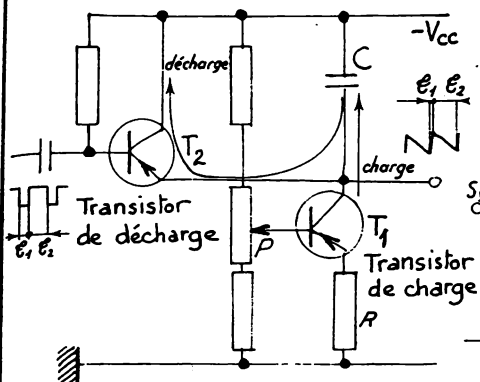


Fig. 22 _ Transistor de décharge

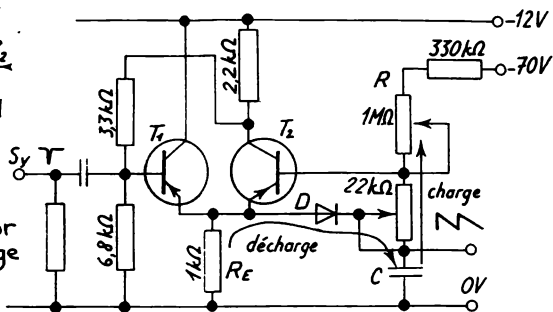


Fig. 23 _ Bascule de décharge

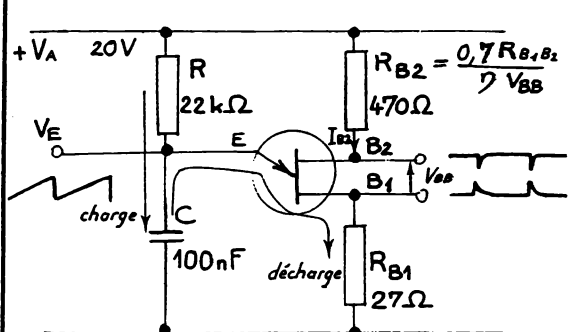


Fig. 24 _ Transistor unijonction (UJT)

Conditions d'oscillations

$$\begin{cases} \frac{V_{BB} - V_P}{R} > I_P \\ \frac{V_{BB} - V_V}{R} < I_V \end{cases}$$

$$F = \frac{1}{RC \ln\left(\frac{1}{1-\eta}\right)}$$

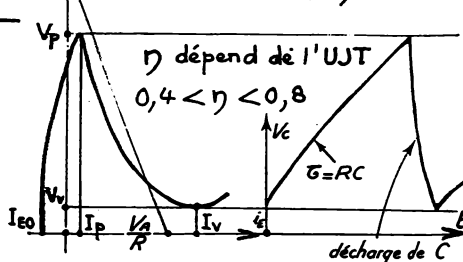


Fig. 25.26. Caractéristique d'un UJT.

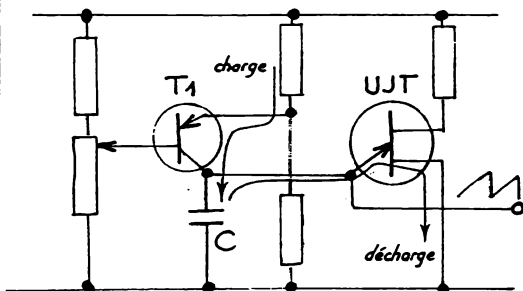
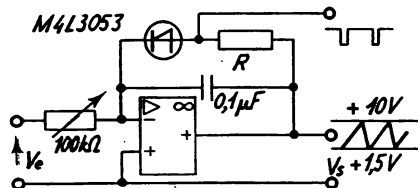


Fig. 27 _ Base de temps à UJT

Fig. 28 —
Interrupteur à diode Shockley

IV - GÉNÉRATEURS DE RAMPE DE COURANT

Dans le cas de tubes à rayon cathodique à déviation électromagnétique, le champ magnétique doit varier linéairement avec le temps (radar panoramique, télévision). Il est nécessaire d'appliquer aux bobines de déviation un courant qui varie linéairement en fonction du temps.

1° Inductance à tension constante (fig. 29 à 32)

— *Aller*: de 0 à t_1 la tension positive appliquée sur la base du transistor le sature.

Si on néglige p_{sat} et $V_{CE sat}$, l'inductance L est soumise à la tension constante $V_{CC} = L \frac{di}{dt}$ qui entraîne $i_L = \frac{V_{CC}}{L} t$.

Le courant dans L croît proportionnellement au temps (fig. 31).

— *Retour*: de t_1 à t_2 le transistor est bloqué par une tension négative sur la base. Le courant dans L s'amortit exponentiellement à travers r et la diode D .

— *Application* (fig. 33): le transistor T_1 joue le rôle d'interrupteur. Le circuit $R_2 C_2$ permet la réalisation d'une source de tension trapézoïdale qui améliore la linéarité. On montre en effet que si l'on tient compte de la résistance de source R_g et de celle du transistor p_{sat} (fig. 29) pour obtenir i_L linéaire, il faut une tension de source trapézoïdale. T_2 et T_3 forment un Darlington avec une CR par R_g améliorant la linéarité.

2° Générateur de rampe pour téléviseur (fig. 34 à 37)

— *Aller*: la rampe de courant est obtenue comme ci-dessus.

— *Retour*: il doit être très rapide (quelques μs). C'est pourquoi en fin de balayage à t_1 on transfère rapidement l'énergie stockée par la bobine dans la capacité C . A la fin de la première demi-sinusoïde (fig. 36), T conduit à nouveau et un nouveau cycle recommence. Le transistor T est bidirectionnel car le courant a deux sens possibles pendant l'aller.

3° Oscillateur bloqué ou «blocking» (fig. 38)

C'est un oscillateur LC à couplage $L_B L_C$ très serré provoquant une surréaction qui permet de bloquer le transistor après une fraction d'oscillation. Lorsque le transistor est bloqué, le courant magnétisant s'écoule à travers D_1 et D_2 et le condensateur C associé à L_C . Lorsque le courant s'est annulé, C chargé à V_Z commence à se décharger dans L_C et une oscillation de période $2\pi\sqrt{L_C C}$ s'amorce. Par suite du transformateur inverseur, la tension de base atteint la tension de déblocage.

Les systèmes dérivés du précédent sont très variés. Ils permettent:

- d'obtenir une rampe de courant sur le collecteur de T ;
- de fournir des tensions rectangulaires plus brèves et plus puissantes que celles des multivibrateurs classiques;
- de servir d'interrupteur rapide. Pendant le blocage, on charge un condensateur à travers une résistance. A la fin de la rampe de tension, il se décharge à travers le blocking. Celui-ci peut être synchronisé.

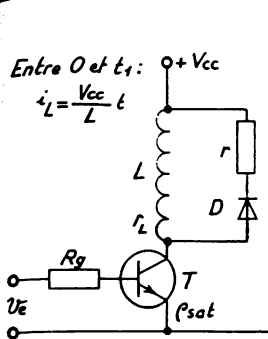


Fig. 29 —
L à tension constante

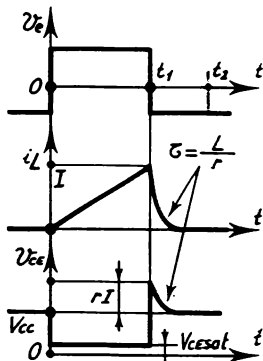


Fig. 30 à 32 —
Forme des signaux

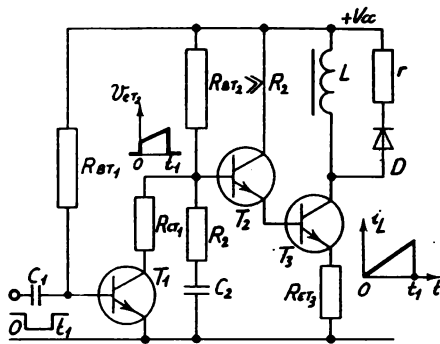


Fig. 33 —
Générateur de rampe de courant

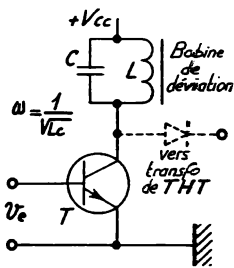


Fig. 34 —
Générateur de rampe
pour téléviseur

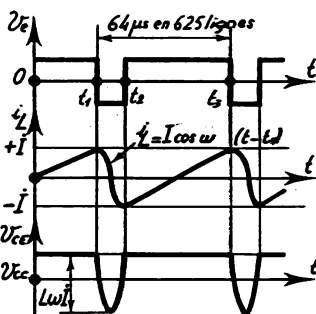


Fig. 35 à 37 —
Forme des signaux

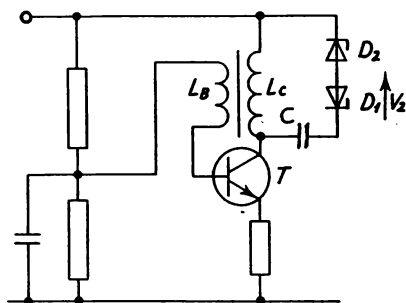


Fig. 38 — Oscillateur bloqué

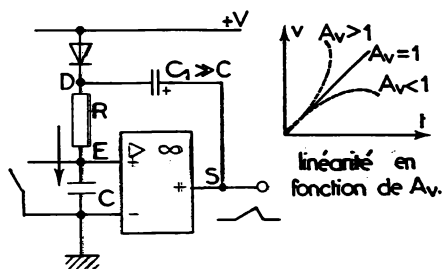


Fig. 39 - Bootstrap : principe

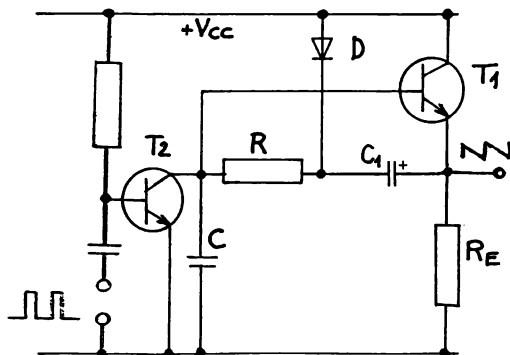


Fig. 40 - Bootstrap à transistor

V - AMÉLIORATION DE LA LINÉARITÉ

1° Rampe de tension

a) Résistance R

La linéarité est acceptable si $a < V_B / 10$ (ou $\tau_1 > 10 t_1$). Revoir à ce sujet la figure 15. Dans ce cas, on peut calculer approximativement la période, c'est-à-dire la fréquence, si on néglige le temps de retour, d'après les triangles semblables.

b) Impédance $R + L$

L'adjonction d'une inductance à la résistance de charge ou d'intégration améliore la linéarité, mais on est limité à des fréquences pas trop élevées car l'impédance de la bobine devient trop grande.

c) Charge à courant constant

La linéarité d'une dent de scie est obtenue lorsque le condensateur C se charge à courant constant; en effet:

$$V_c = \frac{q}{C} = \frac{1}{C} \int_0^t I dt, \quad \text{soit: } V_c = \frac{I}{C} t + V_0,$$

qui représente bien une fonction linéaire.

On utilise un transistor ordinaire ou à effet de champ, pour lesquels i_c est constant au-delà de la tension de déchet. (Exemples: fig. 22 et 27).

d) Intégrateur à ampli. opérationnel (fig. 12 et 28)

La linéarité est bonne car A_v et R_e sont grandes. Revoir à ce sujet l'étude de l'intégrateur Miller.

e) Circuits de correction

Ils sont généralement utilisés sur l'amplificateur qui suit le générateur de dents de scie. On peut employer:

- la contre-réaction d'intensité par R_E (correction du haut de l'image en télévision);
- des bobines de correction (correction du bas de l'image en télévision);
- une varistance en parallèle sur la charge de l'amplificateur;
- la courbure inverse de la caractéristique de transmission de l'amplificateur.

f) Liaison RC (fig. 14)

Lorsqu'une dent de scie est transmise du relaxateur à l'étage suivant, afin de ne pas diminuer la linéarité, il faut $R_u > 10 R$ et $R_u C_L > 10 T$ (T : période de la dent de scie).

g) Bootstrap

Principe (fig. 39):

L'amplificateur sans inversion avec $A_v = 1$ donne une tension de sortie en phase avec la tension d'entrée. Le potentiel de sortie en S est ramené par un fort condensateur en D . Les potentiels en E et D variant de façon identique, la différence de potentiels aux bornes de R est constante.

La charge de C à travers R se fait à courant constant puisque la tension aux bornes de R est constante d'où une excellente linéarité du montage. La décharge de C se fait à travers l'interrupteur.

Réalisation pratique :

La figure 40 indique un montage avec transistor interrupteur. La diode D permet à la source d'alimentation de restituer en fin de décharge la petite quantité d'électricité perdue par C_I pendant la charge de C . Ce schéma à l'avantage de sortir le signal en basse impédance.

Sur la figure 41 l'interrupteur est un circuit intégré du type 555 fonctionnant en multi-vibrateur.

2° Rampe de courant

- Utiliser $V_{CC} > (\tau_L + \rho_{sat}) I$ sur figure 29.
- Ajouter un enroulement de compensation (sur radar pour mesures précises).
- Employer une source de tension (ou de courant) trapézoïdale (fig. 33).
- Ajouter une contre-réaction telle que, R_E non découplée, sur le transistor T_3 (fig. 33).

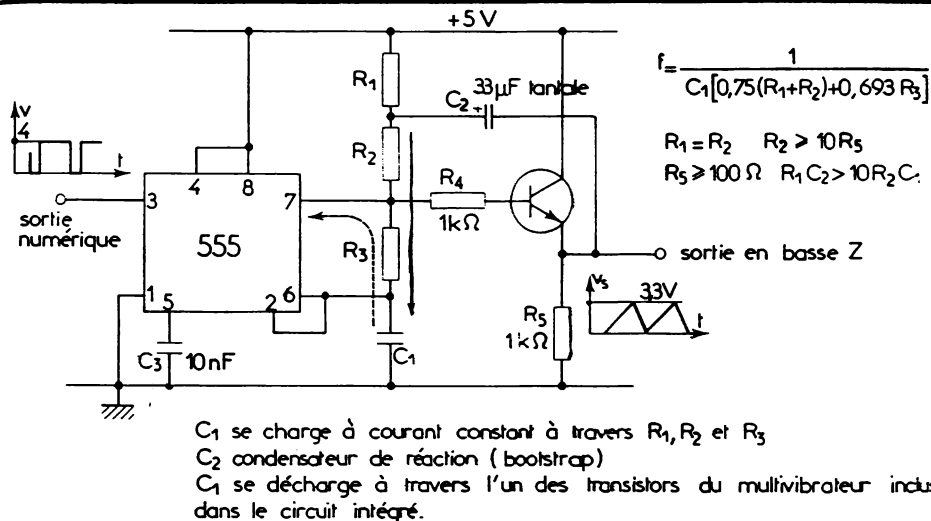
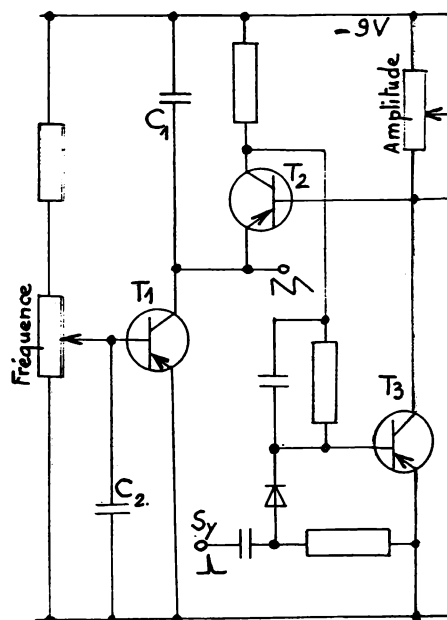


Fig. 41 — Base de temps « bootstrap » 6 Hz à 50 kHz. Linéarité 1 %

Fig. 42 — Base de temps de Puckle

Le transistor T₁ charge C₁ à courant constant d'où bonne linéarité. Les transistors T₂ et T₃ constituent une bascule de décharge synchronisée par des impulsions positives appliquées sur la base de T₃. C₁ se charge quand T₁ est bloqué et se décharge à travers quand il est conducteur. La linéarité peut encore être améliorée en appliquant une réaction négative sur T₁ ou en le remplaçant par un transistor à effet de champ.

Nota: Voir d'autres applications au chapitre oscillographe



I - ORGANISATION GÉNÉRALE (fig. 1)

Un oscillographe type comprend :

- Un tube cathodique (ou oscilloscope) à déviation électrostatique avec réglages de brillance, de concentration, de cadrage.
- Un amplificateur de déviation verticale (ampli V) avec atténuateur et réglage d'amplitude.
- Une base de temps permettant une déviation horizontale du spot proportionnelle au temps (générateurs de signaux en dents de scie).
- Un amplificateur de déviation horizontale (ampli H) avec réglage d'amplitude.
- Un commutateur permettant d'appliquer à l'amplificateur de déviation horizontale :
 - soit une dent de scie provenant de la base de temps,
 - soit une tension extérieure.
- Un commutateur de synchronisation permettant d'appliquer à la base de temps :
 - soit une synchronisation provenant de l'amplificateur vertical,
 - soit une synchronisation extérieure,
 - soit une synchronisation à 50 Hz.
- Une alimentation.

II - UTILISATIONS

Une grandeur physique quelconque : température, vitesse, vibrations, quantité de lumière, etc., pouvant être facilement transformable en grandeur électrique au moyen de capteurs appropriés, l'oscillographe permettra d'observer le signal électrique dans les domaines les plus variés.

1° Mesure d'une grandeur unique

- Sans balayage horizontal.

2° Rapport entre une grandeur périodique et le temps

- Signal appliqué aux plaques de déviation verticale proportionnel à la grandeur à observer.
- Tension en dents de scie linéaires appliquée aux plaques de déviation horizontale.
- Fréquence des dents de scie égale à la fréquence du signal à observer, d'où synchronisation. Les signaux de synchronisation sont obtenus par dérivation d'une partie de la tension à observer. En absence de synchronisation, l'image se déplace le long de l'axe des temps.

3° Rapport entre une grandeur aperiodique et le temps**a) Le signal est connu en début et en durée**

- Régler la fréquence de la base de temps en conséquence.
- Le déclenchement est automatique.

(1) Oscillographe : caractéristiques et essais - Norme C 42-700 (1959).

Le terme oscillographe est réservé de préférence à l'appareil.

Le terme oscilloscope est réservé de préférence au tube cathodique.

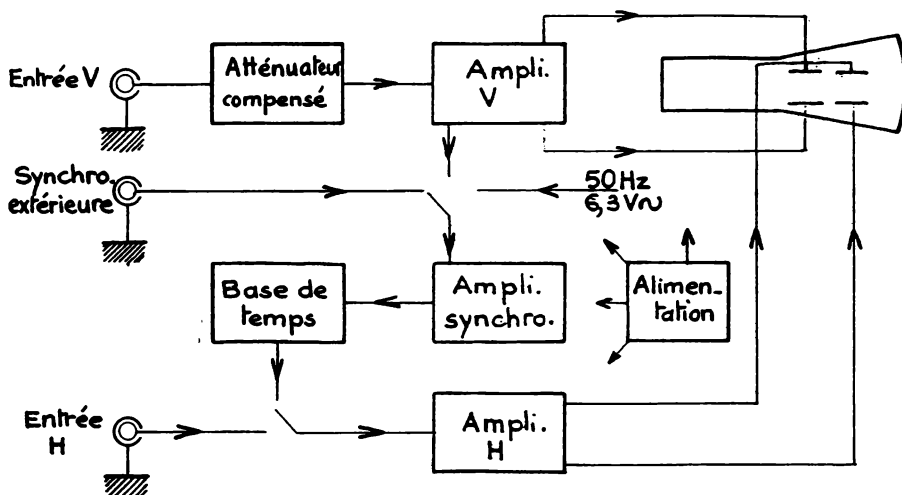


Fig. 1 — Organigramme d'un oscilloscope type

b) Le signal est inconnu

On utilise le début du transitoire pour déclencher la base de temps. Un circuit de retard évite que le signal soit appliqué aux plaques verticales avant que la base de temps fonctionne.

4° Rapport de deux grandeurs quelconques

- Un signal est appliqué aux plaques de déviation horizontale.
- Un signal est appliqué aux plaques de déviation verticale.

Mesures du déphasage entre deux tensions, relevé de caractéristiques de transistors, etc.

5° Examen de deux (ou plusieurs) phénomènes simultanés

Chaque phénomène produit une trace sur l'écran. Les mouvements verticaux sont indépendants (deux amplificateurs distincts) et il n'y a qu'un seul balayage horizontal.

Deux solutions sont utilisées :

- Un tube oscilloscope spécial à deux faisceaux.
- Un commutateur électronique qui permet d'appliquer alternativement aux plaques de déviation verticale chaque signal.

La fréquence de découpage doit être suffisante pour que l'œil ne perçoive pas de discontinuité dans les phénomènes (tenir compte de la persistance d'écran).

III - TUBE A RAYON CATHODIQUE (TRC OU OSCILLOSCOPE) (fig. 2)

C'est un tube à vide comprenant les électrodes suivantes :

1° Filament : chauffage indirect 6,3 V alternatif.

2° Cathode : à oxydes de baryum et strontium.

3° Electrode de modulation (électrode de commande ou Wehnelt)

La valeur de la tension négative qui lui est appliquée par rapport à la cathode permet :

- a) de modifier la *brillance* du spot ;
- b) de supprimer la trace de retour en lui appliquant au moment opportun une tension suffisamment négative ⁽¹⁾ ;
- c) éventuellement de bloquer automatiquement le tube avec une tension suffisamment négative lorsque le signal n'est pas appliqué (évite la détérioration de l'écran) ;
- d) éventuellement de commander automatiquement la brillance en fonction de la vitesse de déplacement du spot (uniformité de la trace utile pour enregistrement photographique) ;
- e) au moyen d'impulsions ou d'un signal alternatif, d'obtenir des points brillants servant à réparer des intervalles de temps (*marquage*). Cette opération peut être aussi obtenue en agissant sur la cathode.

4° Electrodes d'accélération

Elles ont pour but d'accroître la vitesse des électrons du faisceau électronique (diminution de la divergence du faisceau). Les tubes peuvent comporter une, deux ou trois électrodes d'accélération, suivant les modèles. Elles sont portées à un potentiel dont la valeur est comprise entre 1 et 3 kV.

5° Electrode de concentration

Elle règle la convergence du faisceau d'électrons. En modifiant la tension qui lui est appliquée (200 à 700 V), on modifie la *finesse* du spot.

L'ensemble des électrodes précédentes s'appelle « canon électronique ».

6° Electrodes (ou plaques) de déviation

Nous les désignerons dans la suite du texte par plaques H ou plaques V, suivant qu'elles agissent sur la déviation horizontale ou verticale.

a) *Déviation asymétrique* (fig. 2)

Une plaque de chaque paire est réunie à la masse, la tension de déviation étant appliquée à une seule plaque. Le champ entre les deux plaques n'est pas symétrique. Ce montage produit de la distorsion en trapèze ⁽²⁾, du fait que la sensibilité de déviation n'est pas symétrique par rapport à l'axe.

Les constructeurs diminuent la distorsion en trapèze en utilisant des formes asymétriques pour les plaques de déviation.

Nota. — La HT + est à la masse pour l'alimentation du tube cathodique afin de réduire la tension de ronflement et de stabiliser le fonctionnement (exige un fort isolement du chauffage 6,3 V, et même un enroulement de chauffage particulier réuni à la cathode du tube cathodique). De plus, cela évite une différence de potentiel dangereuse entre la face avant du tube et le châssis.

(1) Sur les oscilloscopes modernes, ce sont les plaques d'effacement (blanking) qui servent à l'allumage du spot ($V = 0$). Si le potentiel de ces plaques devient négatif ($V \ll 0$), le faisceau ne peut passer; il n'y a plus de balayage.

(2) Distorsion en trapèze: l'image est inscrite dans un trapèze au lieu d'un rectangle.

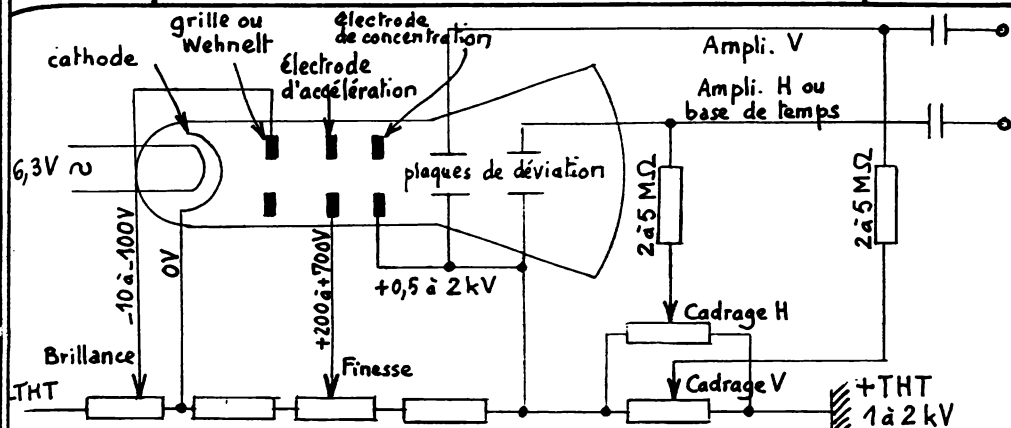


Fig. 2 — Oscilloscope à déviation asymétrique

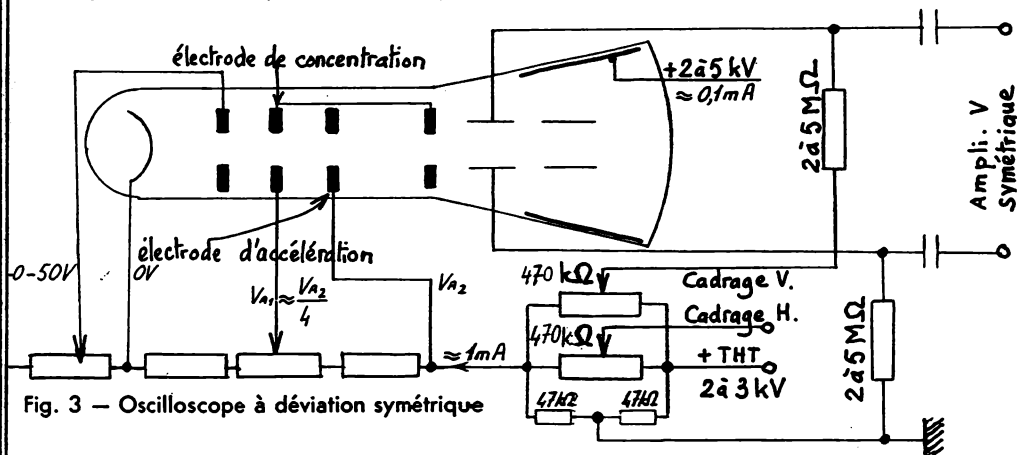
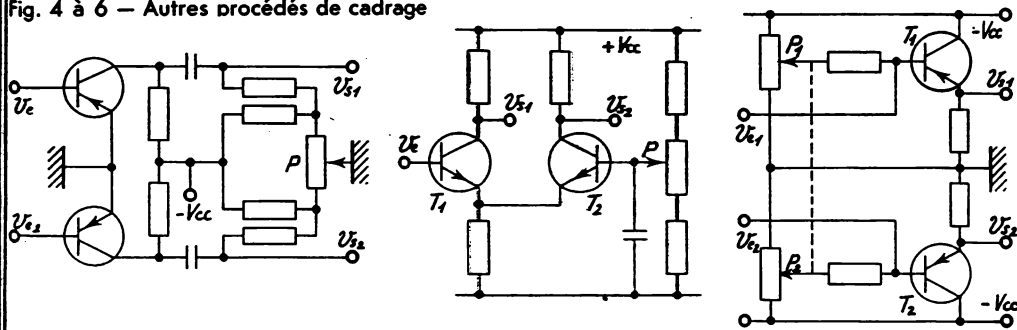


Fig. 3 — Oscilloscope à déviation symétrique

Fig. 4 à 6 — Autres procédés de cadrange



b) *Déviatiun symétrique (fig. 3)*

Les potentiels sur les deux plaques V ou H sont égaux au signe près. Le montage est plus compliqué que le précédent, mais il n'y a plus de distorsion en trapèze. Pour une même déviation, la tension à appliquer sur chaque plaque est moitié moindre.

c) *Cadrage*

Les dispositifs adoptés doivent permettre, en agissant sur la dissymétrie des tensions continues appliquées à chacune des plaques V (ou H), de centrer l'image sur l'écran.

- *Attaque dissymétrique (fig. 2)*

La tension d'une plaque de déviation est rendue plus ou moins positive par rapport à celle de l'autre plaque.

- *Attaque symétrique, liaisons par C*

- Pont de résistance entre V_{CC} et masse (fig. 4) ou à partir de la THT (fig. 3).

- *Attaque symétrique, liaisons continues*

- Potentiomètre P agissant sur le point de repos du transistor T_2 d'un déphaseur de Schmitt (fig. 5).

- Potentiomètre P_1P_2 modifiant en sens inverse les tensions continues appliquées aux bases de T_1T_2 (fig. 6).

Le cadrage par modification des zones de fonctionnement des transistors ne doit pas créer de distorsion d'amplitude.

7° *Electrode post-acclérateurice*

Elle est constituée par un revêtement interne en carbone colloïdal. On l'emploie sur les tubes à grand écran. La déviation avant accélération est plus facile; elle permet une brillance plus grande et une divergence du faisceau plus faible (fig. 3, H2). On lui applique une tension positive de 2 à 5 kV, suivant les modèles. Actuellement, la post-acclération est appliquée près de l'écran, à l'extrémité d'une hélice conductrice (500 M Ω) en aquadag. L'autre extrémité est reliée à un potentiel variable peu élevé (< 200 V); on obtient ainsi un spot plus brillant et une trace mieux définie.

IV - ALIMENTATION

1° *Transformateur*

- Primaire: interrupteur, fusible, répartiteur (tensions nominales 127-220 V).
- Secondaires: chauffages, HT, THT.

2° *Haute tension (HT + pour tubes électroniques) ou basse tension (BT + pour transistors)*

Elle est obtenue par un redressement doubleur d'intensité à point milieu (fig. 7 et 8) ou en pont de Graëtz (fig. 9), suivi d'un filtre. Elle alimente la base de temps et les amplificateurs.

3° *Très haute tension (THT -)*

Elle alimente les électrodes du tube cathodique. L'enroulement de THT peut faire partie du transformateur principal ou bien d'un transformateur séparé spécial. On peut utiliser une diode THT (EY 51, EY 88) ou des redresseurs au silicium pour haute tension; il est possible d'utiliser deux transformateurs standards et d'associer les enroulements de HT +.

Particularités des montages

a) Un redresseur monoalternance: solution peu onéreuse. L'enroulement THT ne débite que pendant une alternance, ce qui n'est pas gênant car le courant de l'ordre du milliampère est faible (fig. 7).

b) Un doubleur de tension Schenkel (fig. 8) ou Latoui. L'enroulement THT débite pendant les deux alternances, diminuant l'influence des champs parasites du transformateur et moins de spires au secondaire. Quelquefois on utilise un tripleur de tension ou un quadrupleur (fig. 9), ce qui simplifie la construction du transformateur.

c) Filtre THT. La capacité d'entrée du filtre ne doit pas dépasser 0,5 μ F. La résistance de filtrage peut être de valeur élevée, puisque le courant est très faible.

d) Convertisseur de tension: il est utilisé sur les oscillographes portables alimentés par batterie (fig. 9). L'oscillateur symétrique (5 à 10 kHz) placé au primaire permet de fournir au secondaire, grâce au transformateur élévateur, des signaux de forte amplitude qui sont ensuite redressés et filtrés.

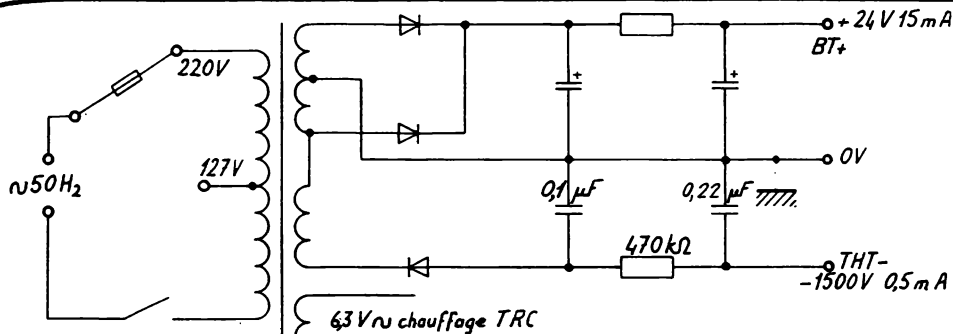


Fig. 7 — Alimentation THT par un seul redresseur

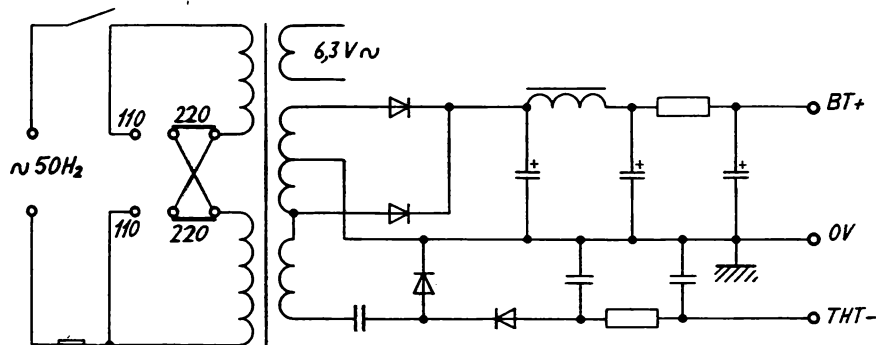


Fig. 8 — Alimentation THT par doubleur Schenkel

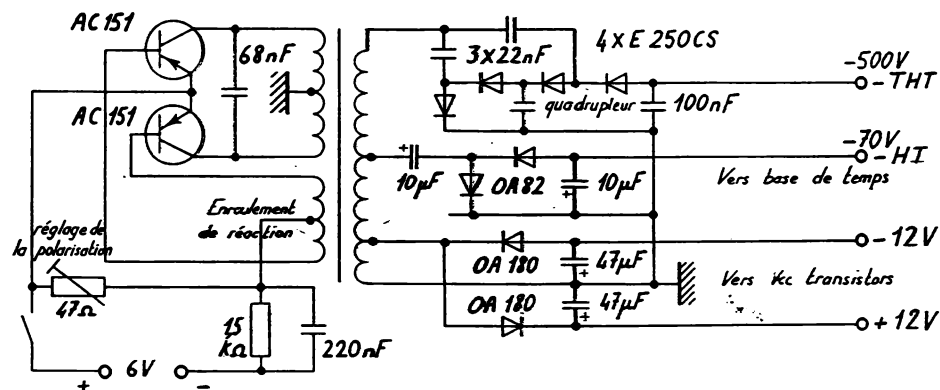


Fig. 9 — Alimentation sur batterie

V - BASES DE TEMPS

1° Généralités

a) Balayage linéaire

Le balayage horizontal (base de temps) est réalisé au moyen de signaux en dents de scie appliqués aux plaques H. La vitesse de balayage est comprise en général entre 5 s/cm et 0,05 μ s/cm.

Avec les TRC de construction classique, on peut observer des signaux jusqu'à 8 MHz. Les bases de temps associées les plus utilisées sont dans l'ordre des vitesses croissantes de balayage.

- Base de temps à transistor unijonction (UJT): $v \leq 1 \mu$ s/cm.
- Base de temps à transistor ou bascule de décharge avec charge à courant constant ou encore intégrateur de Miller: $v \leq 0,1 \mu$ s/cm.
- Base de temps bootstrap: $v \leq 0,05 \mu$ s/cm. La réaction par capacité accélère le retour du spot, mais elle limite en basse fréquence. Ce défaut est supprimé avec les schémas utilisant une réaction en continu.

Jusqu'à 100 MHz on emploie des TRC spéciaux à plaques de déviation distribuées, et au-dessus jusqu'à 1000 MHz avec des TRC classiques le procédé par échantillonnage. La base de temps dans ce cas est un générateur de marches d'escalier dont chaque marche correspond à l'observation d'un échantillon de tension du signal vertical assurant ainsi son positionnement sur l'écran.

b) Balayage circulaire

Deux tensions sinusoïdales de fréquences et d'amplitudes identiques, mais déphasées de $\pi/2$, sont appliquées aux deux paires de déviation (fig. 12). On obtient une trace circulaire que l'on module au moyen du signal à observer (fig. 13).

c) Balayage spirale

L'amplitude de l'une des deux tensions est contrôlée avec une tension en dents de scie. La trace prend la forme d'une spirale et constitue une très longue échelle de temps. Pour que la spirale ne tourne pas, la période de la tension en dents de scie doit être un multiple entier de celle de la trace circulaire (fig. 14).

2° Base de temps relaxée (fig. 10 et 15)

La fréquence du balayage doit être égale (ou multiple) de la fréquence de la grandeur à observer (voir Synchronisation en H8), sinon l'image se déplacerait le long de l'axe des temps.

3° Base de temps déclenchée (fig. 11)

Le signal est connu en début et en durée: le déclenchement est automatique. C'est le système le plus utilisé à l'heure actuelle.

Le signal est inconnu: le déclenchement est provoqué par l'arrivée du signal. Lorsque le signal est très rapide il faut, au moyen d'une ligne à retard, retarder le signal dans l'ampli. V de façon que la base de temps se déclenche simultanément avec l'apparition du signal sur l'écran.

a) Emploi d'une bascule monostable (fig. 16)

L'impulsion qui doit provoquer le déclenchement sert à faire basculer la bascule monostable. Le signal négatif obtenu est envoyé sur le circuit de décharge (transistor), d'où blocage de ce circuit et charge du condensateur C à travers la résistance R. Au temps t_2 , la bascule revient à son état stable, le transistor est débloquent et le condensateur C se décharge à travers le transistor.

La base déclenchée peut être rendue relaxée en agissant sur le potentiomètre de stabilité. La bascule monostable devient alors une bascule astable (multivibrateur). On utilise à cet effet une bascule à couplage d'émetteur (voir F6).

b) Emploi d'une bascule de Schmitt (trigger)

• Fonctionnement en déclenché

Le circuit de décharge (transistor) du condensateur C (fig. 17) est commandé par la bascule. Celle-ci est commandée par des impulsions ou une tension sinusoïdale. Le fonctionnement en déclenché est obtenu lorsque le seuil inférieur de la bascule est négatif. Le condensateur C se décharge sans que le «trigger» bascule et le système reste dans cet état jusqu'à ce qu'un signal négatif lui fasse franchir à nouveau le seuil inférieur, d'où basculement amorçant la recharge du condensateur.

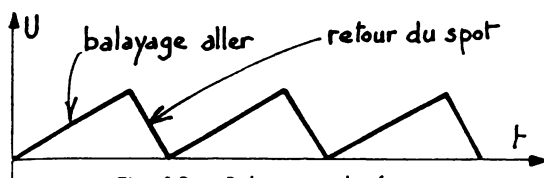


Fig. 10 — Balayage relaxé

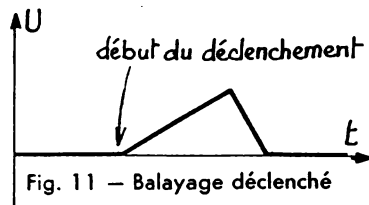


Fig. 11 — Balayage déclenché

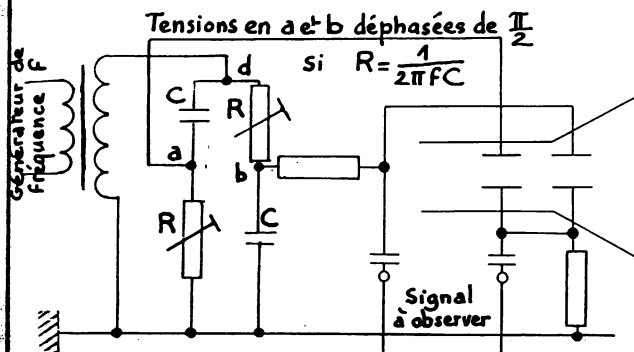


Fig. 12 — Base de temps circulaire

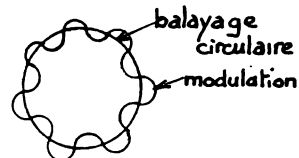


Fig. 13 — Balayage circulaire

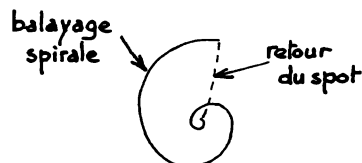


Fig. 14 — Balayage spirale

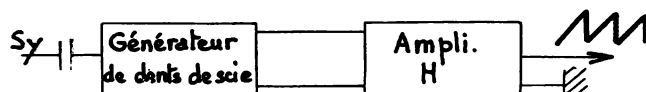


Fig. 15 — Base de temps relaxée

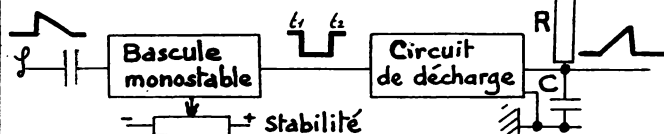


Fig. 16 — Base de temps déclenchée

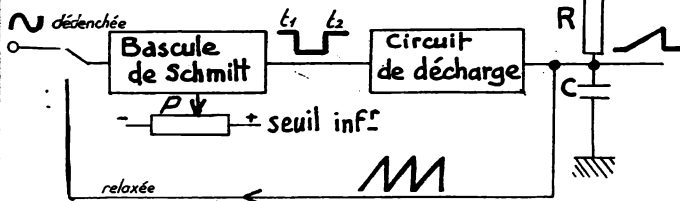


Fig. 17 — Base de temps déclenchée

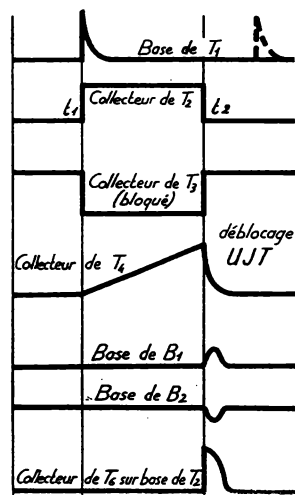


Fig. 18 à 24. — Forme des tensions de la figure 26

• *Fonctionnement en relâché*

Il faut rendre le seuil inférieur légèrement positif, auquel cas, un peu avant la fin de la décharge du condensateur C , le «trigger» commandé par la dent de scie rebascule et la charge du condensateur C recommence. Le seuil inférieur est réglé par le potentiomètre P (réglage de stabilité). La charge du condensateur C s'arrête toujours quand sa tension atteint le seuil supérieur (indépendant des valeurs de R et C).

c) *Emploi d'une bascule bistable Ecclès-Jordan*

• *Fig. 25 - Transistors de charge et de décharge*

T_1 et T_2 constituent une bascule bistable Ecclès-Jordan. Au repos T_1 conduit, T_2 est bloqué, la porte T_3 conduit et C est déchargé. A l'arrivée d'une impulsion positive de déclenchement, T_1 se bloque, T_2 conduit, T_3 se bloque et C se charge à courant constant à travers T_4 . La charge se poursuit jusqu'à ce que la diode D_2 se débloque. L'impulsion négative rend T_1 à nouveau conducteur, les états de T_2 et T_3 s'inversent, C se décharge, replaçant le montage dans les conditions initiales jusqu'à l'arrivée d'une nouvelle impulsion.

Il y a autant de condensateurs C commutables que de gammes. La vitesse de charge de C est réglée en continu au moyen de la résistance R .

• *Fig. 26 - Transistor de charge et UIT de décharge*

La bascule bistable à l'état initial est telle que T_2 bloqué (base reliée à +6 V) et T_1 conducteur. Une impulsion positive sur la base de T_1 inverse l'état de la bascule, T_3 se bloque rendant T_4 conducteur.

Le condensateur C se charge à courant constant à travers T_4 . La charge se poursuit jusqu'à ce que la tension aux bornes de C atteigne le seuil de déblocage du transistor unijonction. C se décharge alors rapidement à travers T_5 . A ce moment apparaît une impulsion négative sur la base B_2 de T_5 , amplifiée et inversée par T_6 . L'impulsion positive obtenue, appliquée sur la base de T_2 , ramène l'Ecclès-Jordan dans sa position initiale. Cette position est conservée jusqu'à l'arrivée d'une nouvelle impulsion.

- Toute impulsion parvenant à l'entrée en cours de cycle ne peut provoquer de basculement. La diode D_2 est polarisée en inverse pour les impulsions négatives.

- P_1 permet de régler le courant de charge de C , c'est-à-dire la vitesse de charge.

- La base de temps est précédée d'une bascule de Schmitt qui transforme un signal quelconque provenant de l'ampli. V en un signal rectangulaire qui est ensuite différencié pour obtenir les impulsions de déclenchement.

- La forme des signaux obtenue aux différents points du montage est donnée, aux figures 18 à 24.

d) *Emploi de l'enregistrement photographique*

Le balayage horizontal est remplacé par le déplacement à vitesse constante d'un film devant l'écran. Le déplacement du film peut être déclenché. Cette méthode est souvent préférable.

Nota : Les schémas ci-contre utilisent des transistors PNP. Il est facile de les moderniser en les remplaçant par des transistors NPN ou encore mieux par des bascules à circuits intégrés.

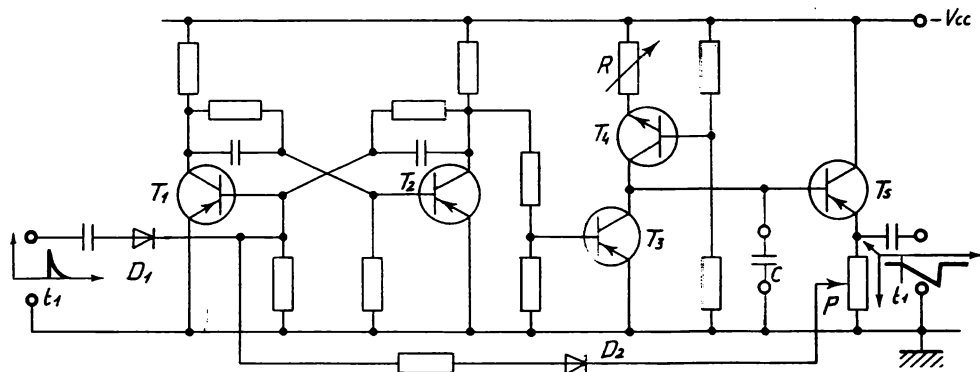


Fig. 25 — Base de temps à Ecclès-Jordan, transistors de charge et décharge

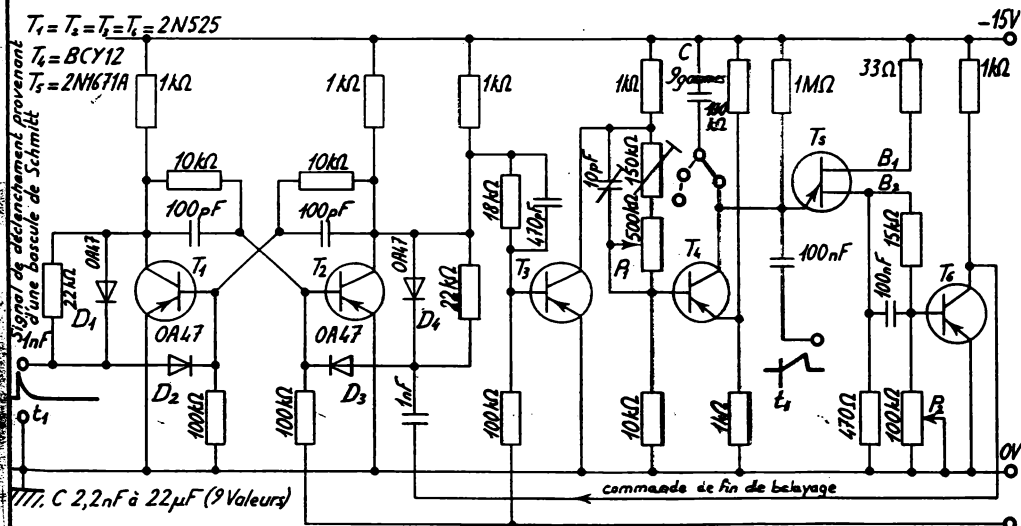


Fig. 26 — Base de temps à Ecclès-Jordan transistor de charge et UJT de décharge

VI - AMPLIFICATEUR DE DÉVIATION VERTICALE (Y)

1° Généralités

La sensibilité des oscilloscopes actuels est comprise en général entre 30 V/cm et 3 V/cm. L'emploi des transistors alimentés sous des tensions plus faibles que les tubes électroniques nécessite des TRC à forte sensibilité.

Le schéma fonctionnel de l'amplificateur est donné à la figure 27. Le signal à observer entre directement dans l'oscillographe, ou par l'intermédiaire d'une sonde active ou passive. Il traverse l'atténuateur, dont le rôle est de ramener les signaux d'entrée à une amplitude convenable avant amplification. Le préamplificateur doit délivrer en sortie une tension de quelques volts suffisante pour commander l'étage amplificateur de sortie.

Sur tous les oscillographes de qualité, on adopte les montages symétriques car ils permettent, pour une même déviation, d'appliquer une tension moitié moindre et ils sont peu sensibles aux variations de température ou de tension d'alimentation qui se compensent mutuellement par symétrie.

Afin de ne pas perturber la mesure, l'amplificateur doit avoir une impédance d'entrée élevée, d'où l'emploi d'un transistor à effet de champ (ou d'un tube électronique).

L'amplificateur est à large bande (*ampli. vidéo*) et en général doit laisser passer le continu nécessitant l'emploi de liaisons directes.

Il comporte en outre les réglages suivants :

— *Equilibrage* : il permet d'observer un signal ayant une composante continue élevée par rapport au signal alternatif.

— *Cadrage* : voir les solutions utilisées en H2.

— *Gain* : il permet de régler l'amplification en fonction de l'amplitude du signal.

— Eventuellement une *ligne à retard* (0,4 à 0,8 μ s au moyen de circuits LC), afin qu'aux vitesses élevées le signal à visualiser parvienne aux plaques de déviation après que la base de temps ait été déclenchée.

Ces amplificateurs convenablement étudiés permettent d'atteindre, avec les circuits de compensation étudiés ci-après, 10 à 20 MHz.

2° Elargissement de la bande passante (revoir B11 et B12)

a) Compensation aux fréquences basses

• Augmenter la capacité de liaison autant que faire se peut (environ 0,1 μ F) sur oscillographes BF de bas prix de revient.

• Adopter des liaisons directes permettant par ailleurs de passer une composante continue (*fig. 34*).

• Placer une capacité en parallèle sur une partie de la charge. La réactance du condensateur C augmente pour les basses fréquences, augmentant la charge réelle à ces fréquences.

b) Compensation aux fréquences élevées

• Compensation shunt (*fig. 28*). L'impédance de charge augmente si la fréquence augmente, car $L\omega$ augmente et compense la diminution de gain introduite par les capacités parasites en parallèle sur la charge. La résonance est atténuée éventuellement par une résistance.

• Compensation série (*fig. 30 et 31*). L'inductance associée aux capacités parasites provoque une résonance à f_0 , augmentant l'amplification à cette fréquence. La résistance R amortit la pointe de résonance.

• Compensation mixte. La combinaison des deux systèmes précédents donne d'excellents résultats (*fig. 29*).

• Utiliser une CR sélective, par exemple une réaction d'intensité, en shuntant la résistance d'émetteur par un condensateur de faible valeur (220 pF sur *figure 29*).

• Utiliser des transistors montés CC. L'influence des capacités parasites en parallèle sur la faible résistance de sortie est rendue négligeable.

• Pour les transistors montés EC, diminuer pour la même raison la valeur de la charge et compenser la diminution de gain par l'emploi de transistors à forte pente.

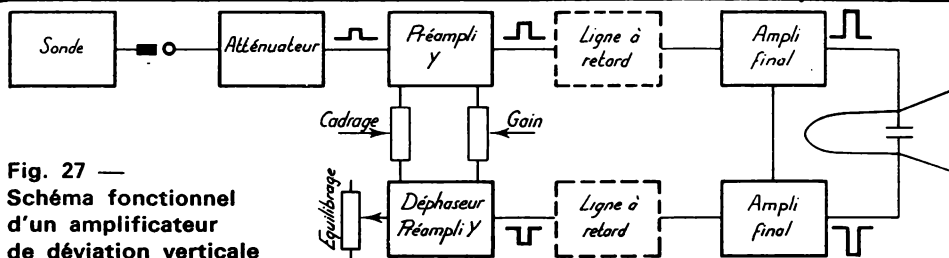


Fig. 27 —
Schéma fonctionnel
d'un amplificateur
de déviation verticale

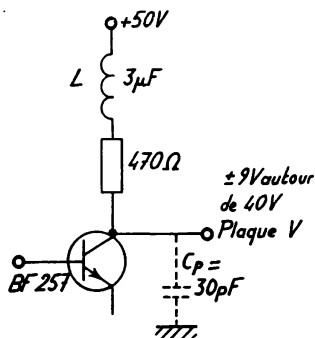


Fig. 28 — Dernier étage
pour TRC à forte sensibilité
avec compensation parallèle.

B_3 sans compensation : 11 MHz

B_3 avec compensation : 19 MHz

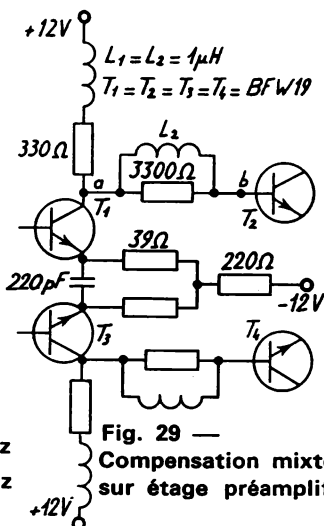


Fig. 29 —
Compensation mixte
sur étage préamplificateur

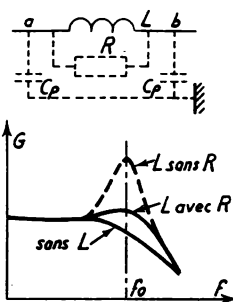


Fig. 30 et 31 —
Compensation série.
Influence de L et R
placées dans la liaison

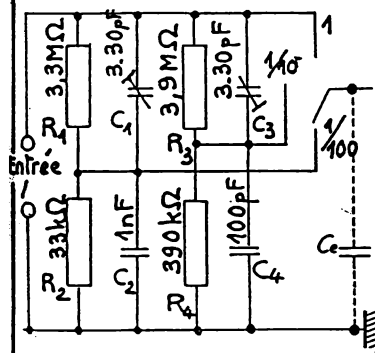


Fig. 32 —
Atténuateur compensé

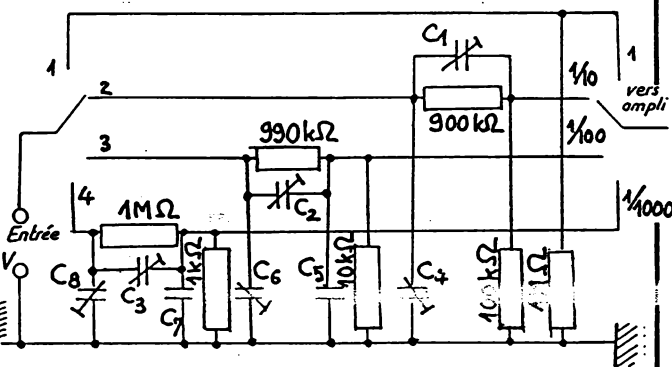


Fig. 33 — Atténuateur compensé à 4 sensibilités

3° Atténuateurs d'entrée

a) Principe

La valeur de la tension à étudier, appliquée à l'entrée, pouvant varier entre des limites éloignées (1 à 1000), l'atténuateur a pour but de prélever tout ou fraction de la tension, suivant qu'elle est faible ou élevée. Une tension trop élevée appliquée à l'amplificateur provoquerait sa saturation.

- Il doit permettre un étalonnage précis de la sensibilité, d'où l'emploi d'un commutateur à plusieurs positions avec des résistances à haute stabilité (un potentiomètre ne permet pas un étalonnage précis).

- Il doit avoir une forte résistance d'entrée pour que l'énergie prélevée à la source soit faible ($R > 1\text{ M}\Omega$) afin de réduire la distorsion.

- Il doit être apériodique. Pour chaque position du commutateur, la sensibilité doit rester constante sur toutes les gammes de fréquences. La capacité d'entrée de l'amplificateur n'est pas négligeable aux fréquences élevées et la diminution de sensibilité qui en résulte à ces fréquences doit être compensée (atténuateur compensé), ceci d'autant plus que l'impédance mise en parallèle sur l'entrée de l'amplificateur est plus faible.

b) Exemples

Fig. 32 - Atténuateur à trois sensibilités, compensé.

En réglant convenablement les capacités ajustables, on obtient un diviseur de tension résistif et capacitif indépendant de la fréquence dans la limite de la bande de fréquences amplifiées par l'appareil. L'atténuation est indépendante de la fréquence si les constantes de temps des échelons sont égales :

$$C_1 R_1 = C_2 R_2 \quad \text{et} \quad C_3 R_3 = C_4 R_4.$$

Le réglage se fait au moyen des capacités C_1 et C_3 ajustables. Si C_1 et C_3 sont trop faibles, les fréquences élevées sont mal transmises (et inversement). Tenir compte que C_2 et C_4 sont shuntées par la capacité d'entrée du transistor (quelques pF) :

$$C'_2 = C_2 + C_e \quad \text{et} \quad C'_4 = C_4 + C_e.$$

On règle en appliquant à l'entrée un signal carré. Si la compensation est exacte, sa forme n'est pas modifiée à la sortie de l'atténuateur, sinon on constate une légère intégration ou dérivation, que l'on supprime en agissant sur les condensateurs ajustables.

Fig. 33 - Atténuateur de haute qualité à quatre sensibilités et deux commutateurs.

- C_1 C_2 C_3 rendent l'atténuation apériodique sur différentes positions.

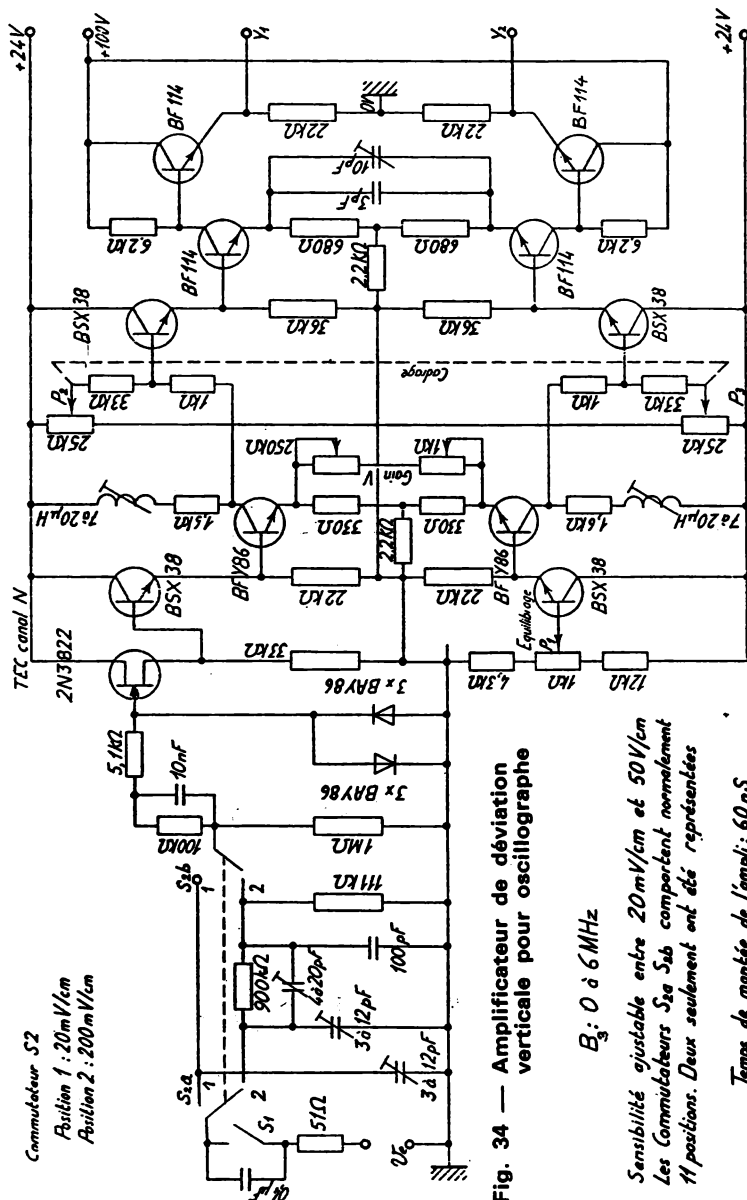
- C_5 C_7 ont pour but de rendre l'atténuation apériodique sur les positions 3 et 4. Ils augmentent la capacité d'entrée de l'amplificateur, sinon l'atténuation apériodique par les condensateurs C_2 C_3 serait irréalisable, leurs valeurs étant trop faibles.

- C_4 C_6 C_8 donnent une capacité d'entrée de l'atténuateur égale sur toutes les gammes.

4° Application : figure 34

Cet amplificateur de déviation verticale comprend :

- un interrupteur continu-alternatif (S_1) ;
- un commutateur à 11 positions (S_2) ; deux seulement sont représentées ;
- un étage d'entrée à haute impédance (TEC canal N) ;
- un transistor d'adaptation (BSX 38) et son symétrique dont le rôle est d'équilibrer les deux voies (P_1) et de mettre la base du BFY 86 à la masse en alternatif ;
- un déphaseur de Schmitt (BFY 86) ;
- un étage intermédiaire adaptateur d'impédances (BSX 38) avec réglage du cadrage (P_2 et P_3) ;
- un étage de sortie symétrique à basse impédance (BF 114).



VII - SYNCHRONISATION

1° Base de temps relaxée

Sur des oscillographes simples on peut attaquer directement par exemple le multivibrateur du générateur de dents de scie par le signal de synchronisation, mais l'amplitude du signal de synchronisation n'étant pas constante, on est obligé de modifier les réglages de la base de temps et les images observées manquent de stabilité. L'amélioration consiste à disposer à l'entrée de la base de temps de signaux d'amplitude et de forme constante. Les circuits comportent (fig. 35) :

a) Sélecteur de synchronisation

Il permet de synchroniser à partir du signal vertical à observer (sy. int.) ou d'une source externe (sy. ext.) ou du secteur à partir de l'alimentation (~ 50 Hz). Cette dernière solution est utilisée pour des mesures de phase ou de fréquences.

b) Amplificateur de synchronisation (facultatif)

c) Inverseur de polarité (facultatif)

Il permet de déclencher la bascule quelle que soit la polarité du signal d'entrée. L'inverseur est réalisé au moyen d'un transistor à charge répartie (entrée sur base, une sortie sur le collecteur, l'autre sur l'émetteur) ou d'un déphaseur de Schmitt.

d) Bascule de Schmitt

e) Dérivateur

f) Ecrêteur

g) Générateur de dents de scie, par exemple à transistor de charge et multivibrateur de décharge

Les tops de synchronisation obtenus après écrêtage sont appliqués à la base d'un des deux transistors du multivibrateur. Le principe de fonctionnement est donné aux figures 36 à 39. La fréquence de balayage est un sous-multiple de la fréquence du signal à examiner. Le signal de synchronisation commande le retour. Il est nécessaire de retoucher constamment le réglage quand la fréquence du signal observé varie de part et d'autre du réglage initial. On prévoit généralement un circuit d'effacement de la trace de retour (voir en H9).

2° Base de temps déclenchée

C'est la solution la plus utilisée. Chaque balayage démarre indépendamment du précédent. Dans ce cas, le signal de déclenchement commande l'aller (fig. 40 à 42). Les circuits (fig. 43) sont conformes à ceux examinés pour la base relaxée. En agissant sur le seuil convenable de la bascule de Schmitt, on peut déplacer des impulsions positives et déclencher le balayage en un point quelconque du signal à observer (fig. 44 et 45).

A noter qu'en l'absence de top de déclenchement, le Wehnelt négatif bloque l'émission cathodique de l'oscilloscope. Il est nécessaire d'envoyer un signal positif d'allumage du balayage sur le Wehnelt (voir en H9).

VIII - LOUPE ÉLECTRONIQUE

L'effet de loupe électronique ou expansion du balayage horizontal permet d'étaler sur l'écran une partie du signal à observer. On l'obtient en appliquant à l'entrée de l'ampli. H une dent de scie de grande amplitude qui est écrêtée par blocage et saturation (fig. 46 et 47). De t_1 à t'_1 le spot est en attente à gauche de l'écran, et de t_2 à t'_2 en attente à droite. On peut déplacer l'intervalle $t'_1 t'_2$ en modifiant la symétrie de l'écrêtage.

IX - MARQUAGE DU TEMPS

Le marquage ou calibrage du temps permet la mesure de la fréquence ou de la vitesse du phénomène à observer. Les différents procédés sont les suivants :

a) Echelle graduée sur l'écran avec une base de temps étalonnée. La mesure est précise à condition d'avoir un ampli. H à gain constant et une excellente linéarité.

b) Pips de marquage sur volubateur.

c) Modulation d'intensité du faisceau par signal appliqué au Wehnelt et provenant soit d'un multivibrateur (limité à 10 MHz), soit d'un oscillateur à déclenchement jusqu'à une centaine de MHz (fig. 48 et 49).

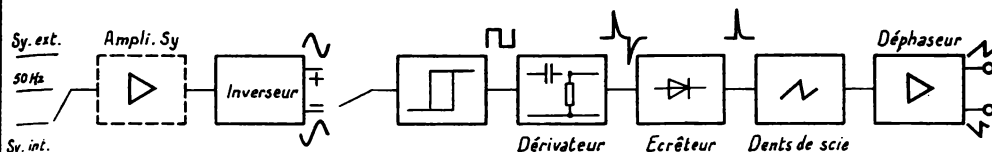


Fig. 35 — Schéma synoptique des étages de synchronisation d'une base de temps relaxée

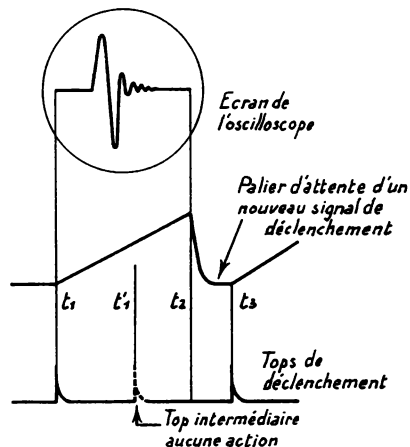
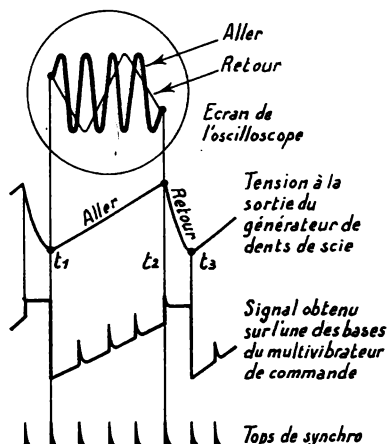


Fig. 36 à 39 — Fonctionnement en relaxé avec observation d'un signal sinusoïdal

Fig. 40 à 42 — Fonctionnement en déclenché avec un signal de forme quelconque

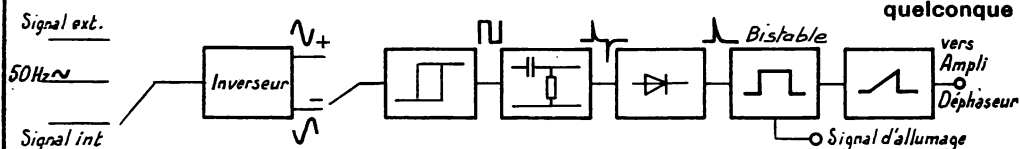


Fig. 43 — Schéma synoptique des étages de déclenchement d'une base de temps déclenchée

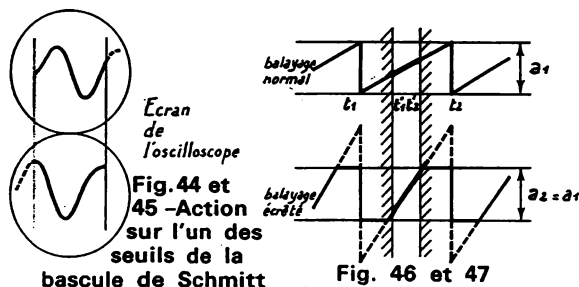


Fig. 46 et 47
Loupe électronique

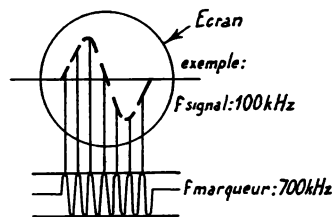


Fig. 48 et 49
Marquage du temps

X - EXTINCTION DE LA TRACE DE RETOUR (blanking)

Elle est utilisée avec les bases de temps relaxées.

a) Aux basses fréquences, la durée du retour est de 1 à 5% de celle de l'aller. La trace de retour, peu visible, n'est pas supprimée sur les oscilloscopes simples.

b) Aux hautes fréquences, il n'en est pas de même et elle doit être supprimée par le procédé suivant : on applique sur le Wehnelt une impulsion négative pendant le retour (fig. 50). Cette impulsion est obtenue par dérivation du signal en dents de scie à travers le circuit CR (fig. 51 et 52). $\tau \ll T$ dent de scie, soit $\tau = T/10$.

XI - ALLUMAGE DU SPOT A L'ALLER (clamping)

Il est utilisé avec les bases de temps déclenchées.

On applique un créneau positif pendant l'aller du balayage sur le Wehnelt. Ce créneau est prélevé sur la bascule Eccles-Jordan de commande du générateur de dents de scie (fig. 43). Il est nécessaire d'amplifier le créneau pour avoir un niveau suffisant.

Un autre procédé ne nécessitant pas d'amplificateur consiste à restituer une composante continue après dérivation au moyen du circuit de la figure 53. La forme des signaux est donnée aux figures 54 et 55. Le condensateur C des figures 50 et 53 doit avoir un fort isolement (isolement des étages précédant le point A et de la THT).

XII - AMPLIFICATEUR DE DÉVIATION HORIZONTALE

Dans beaucoup de montages, il est nécessaire d'amplifier le signal en dents de scie fourni par la base de temps ou d'amplifier un signal extérieur appliqué aux plaques de déviation horizontales. Il est suivi d'un étage déphaseur pour l'attaque symétrique des plaques. Ce doit être un amplificateur à large bande qui n'entraîne pas de distorsion de déphasage sur les harmoniques.

Pour les bases de temps relaxées, les liaisons peuvent être du type RC. Pour les bases de temps déclenchées, on utilise des liaisons directes de façon à pouvoir transmettre la composante continue qui maintient en période d'attente le spot à gauche de l'écran.

XIII - DISPOSITIFS ANNEXES

1° Commutateur électronique

a) But

Pour observer simultanément deux signaux sur le même écran, on peut utiliser, par exemple, un tube à deux canons à partir de deux voies complètement séparées, mais cette construction est onéreuse. Pour obtenir le même résultat, on peut employer un commutateur électronique qui laisse passer vers les plaques de déviation verticales, alternativement, chaque signal à une fréquence suffisante (tenir compte de la persistance rétinienne et de la persistance d'écran : $f > 10$ Hz).

b) Fonctionnement en découpage

Le commutateur est un multivibrateur dont les signaux rectangulaires bloquent tantôt un amplificateur, tantôt l'autre (fig. 56). La fréquence de découpage est nettement supérieure à la fréquence de balayage (ou très inférieure si la fréquence de balayage est très grande). Le principe d'une image découpée est montré à la figure 57.

Le découpage n'est pas visible, car à chaque balayage il n'occupe pas la même position, mais l'espace intertraces est illuminé par le passage du spot.

Avantage : si la fréquence de balayage est très faible, c'est la seule méthode utilisable.

Inconvénients : il faut un excellent amplificateur de déviation verticale qui transmette bien les signaux rectangulaires. La synchronisation ne doit pas, d'autre part, être entraînée par les fronts raides du découpage.

Application : figure 59.

Le multivibrateur (transistors $T_1 T_2$) bloque alternativement les transistors de commutation $T_3 T_4$. Quand T_3 est conducteur, l'entrée 1 est court-circuitée par ce transistor, aucun signal n'apparaît en sortie. Quand T_3 est bloqué, le signal apparaît en v_s et réciproquement pour T_4 . La fréquence maximale du multivibrateur est ici de 30 kHz environ, celle de transmission du signal de l'ordre de 100 kHz.

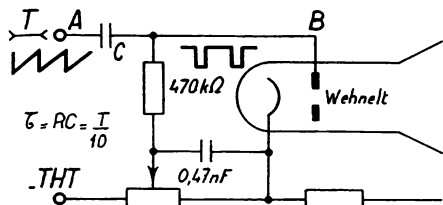


Fig. 50 — Extinction de la trace de retour

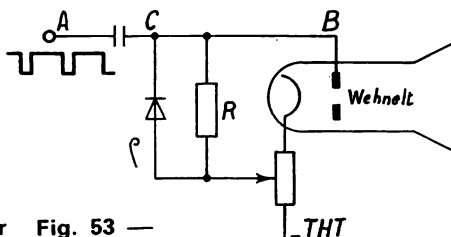
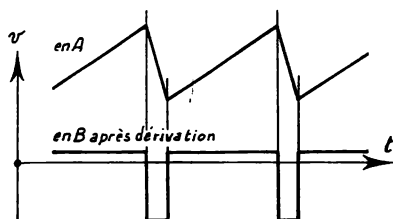
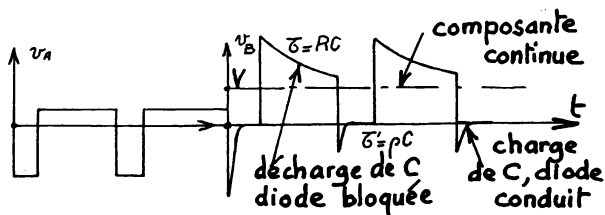
Fig. 53 —
Restitution d'une composante continueFig. 51 et 52 —
Forme des signaux en A et B

Fig. 54 et 55 — Forme des signaux en A et B

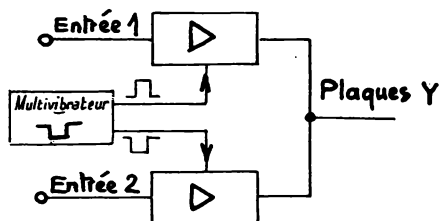
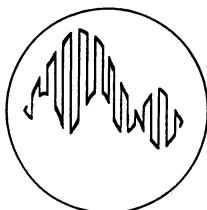
Fig. 56 — Fonctionnement
en découpé

Fig. 57 — Images découpées

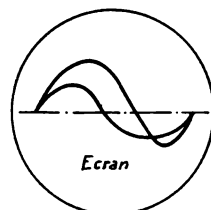


Fig. 58 — Images alternées

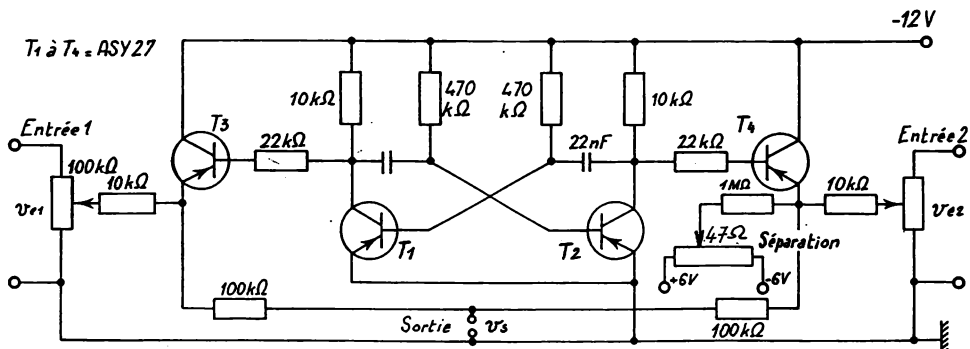


Fig. 59 — Commutateur électronique fonctionnant en découpé

1° Commutateur électronique (suite)**c) Fonctionnement en alterné**

Le blocage alterné de chacune des voies est obtenu par une bascule bistable du type Eccles-Jordan remplaçant le multivibrateur de la figure 56. La bascule est synchronisée à la fréquence de balayage. On obtient des images du type indiqué à la figure 58. La fréquence de commutation est alors moitié de celle du balayage.

Avantages : les traces sont plus nettes, le rideau lumineux n'existe plus.

Inconvénient : les signaux sont analysés une fois sur deux. Les phénomènes se produisant pendant cet intervalle échappent à l'observation.

Application : figure 60.

$T_1 T_2$: bascule de Schmitt transformant les dents de scie en signal rectangulaire.

RC : circuit différentiateur.

D_1 : écrêtage des impulsions positives.

T_3 : ampli. inverseur des impulsions négatives.

$T_4 T_5$: bascule bistable donnant des signaux carrés de fréquence moitié de celle des dents de scie.

$T_6 T_7$: transistors interrupteurs bloqués alternativement par les signaux précédents.

$D_4 D_5$: diodes bloquant alternativement les signaux de la voie 1 ou de la voie 2.

$T_9 T_{11}$ et $T_8 T_{10}$: «Darlington» adaptateurs d'impédances.

P_1 : permet de modifier les potentiels continus appliqués aux bases de $T_{10} T_{11}$ en sens inverse, donc de séparer verticalement les deux traces sur l'écran.

Les entrées 1 et 2 sont précédées de deux atténuateurs compensés.

2° Sondes

Les sondes servent à réunir le circuit d'où provient le signal à observer et l'entrée de l'oscilloscope. Elles doivent perturber le moins possible le circuit et donc présenter l'impédance la plus élevée possible.

a) Sonde transformateur d'impédances

En HF, pour réduire les pertes dues aux capacités parasites des liaisons, on utilise une sonde abaissant l'impédance (transistor à charge d'émetteur) et une liaison en basse impédance. Les avantages sont l'utilisation d'un fil de sonde très long avec impédance d'entrée très élevée (plusieurs M Ω et 4 pF), ce qui fait à 100 MHz une impédance de 40 Ω .

Une sonde à forte impédance d'entrée (transistor à effet de champ) est représentée à la figure 61.

b) Sonde réductrice ou sonde à faible capacité (fig. 62)

Les résistances R et C sont choisies en relation avec $(C_e + C_c)$ et R_e , comme pour l'atténuateur compensé de l'ampli. V .

R_e : résistance d'entrée de l'oscilloscope.

C_e : capacité d'entrée de l'oscilloscope.

C_c : somme des capacités réparties le long du câble.

Si $R = 10 \text{ M}\Omega$ et $R_e = 1 \text{ M}\Omega$, le rapport des réactances de C et $(C_e + C_c)$ devra être aussi de 10.

Avantages : réduction des capacités parasites et augmentation de l'impédance d'entrée. La capacité C , beaucoup plus faible que la capacité d'entrée de l'oscilloscope, ne perturbe pas les mesures effectuées aux bornes de circuits à haute impédance.

c) Sonde détectrice (fig. 63)

Elle permet, après détection par une diode au Ge (OA85), ou au Si (BA114), d'examiner la forme des signaux de modulation d'une onde haute fréquence.

3° Calibre d'amplitude

Sur oscilloscopes de haute qualité, on dispose de signaux de marquage étalonnés en tension sur l'axe des ordonnées. Ces tensions sont obtenues par écrêtage à deux diodes (ou diodes Zener) de la tension d'alimentation ou de la tension délivrée par un générateur de tensions rectangulaires.

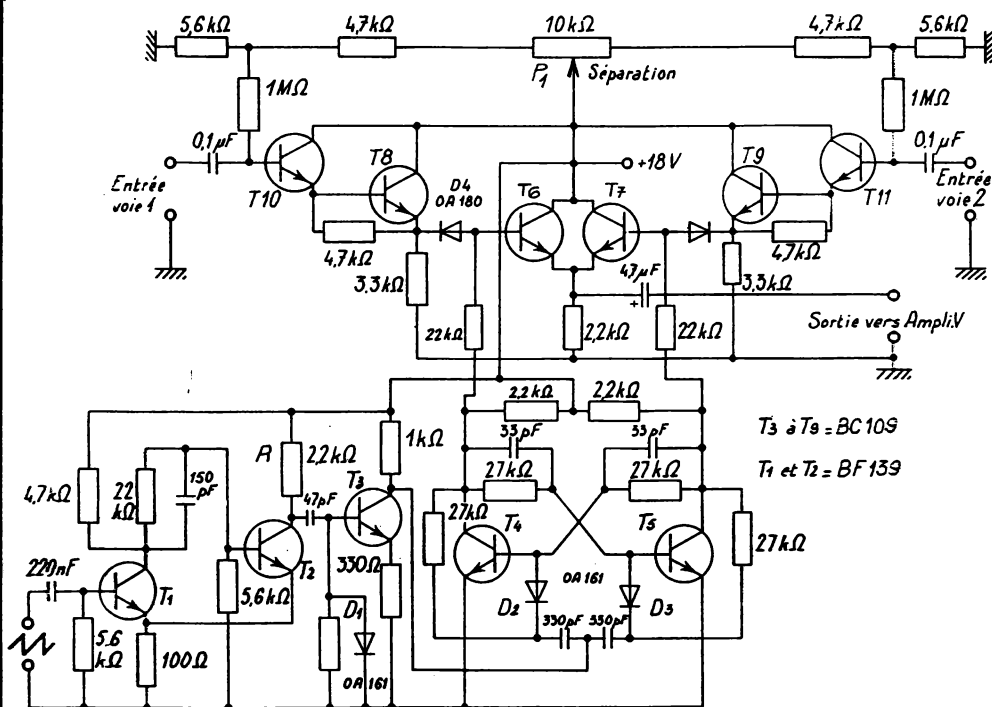


Fig. 60 — Commutateur électronique fonctionnant en alterné

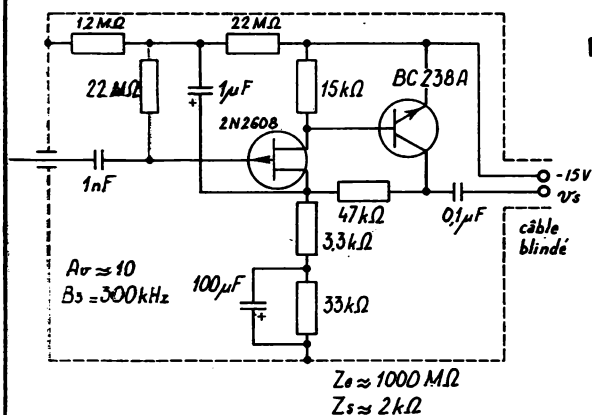


Fig. 61 — Sonde amplificatrice

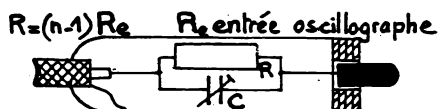


Fig. 62 — Sonde réductrice

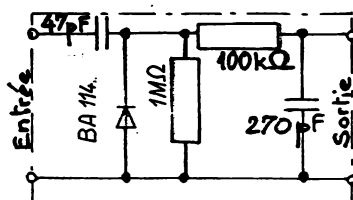
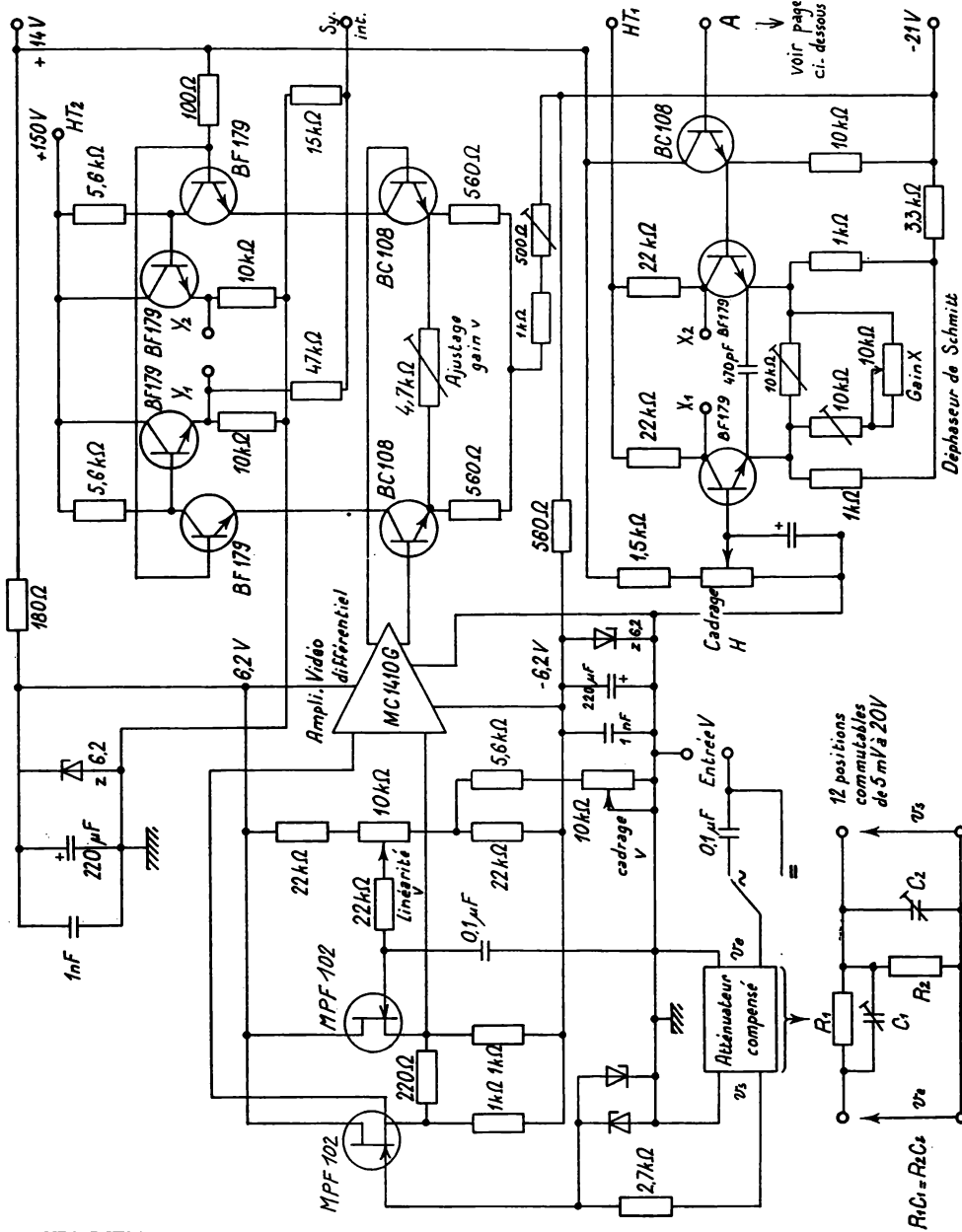


Fig. 63 — Sonde détectrice



I - GÉNÉRALITÉS

Les oscillateurs harmoniques comprennent :

- les oscillateurs à réaction (les plus nombreux),
- les oscillateurs à résistance négative.

Dans les oscillateurs à réaction, la production d'oscillations s'obtient en reportant une fraction du signal de sortie d'un amplificateur, sur l'entrée avec une phase correcte. Le signal de report doit être *en phase* avec le signal initial, ou tout au moins, satisfaire à certaines conditions de phase (critère de Nyquist).

On obtient une réaction positive telle que : $A_r = \frac{A}{1 - AB}$,

A : amplification sans réaction ;

A_r : amplification avec réaction ;

$B = v_e/v_s$: taux de réaction ;

AB : facteur de réaction.

Pour obtenir des signaux sinusoïdaux, il faut :

- ajuster AB un peu supérieur à 1 ;
- filtrer les harmoniques à l'aide de :
 - circuits à constantes localisées *LC* ou *RC* ;
 - circuits à constantes réparties (quartz, lignes ou cavités).

Un montage oscillateur doit par ailleurs :

- avoir une stabilité en fréquence plus ou moins poussée :
 - dérive de fréquence $= \Delta f/f_0$ (f_0 : fréquence nominale) ;
 - stabilité en fréquence $S_f = f_0 \Delta p / \Delta f$ (p : perturbation) ;
- avoir une stabilité en amplitude plus ou moins poussée :
 - stabilité en amplitude $S_a = \frac{\Delta S/p}{\Delta a/a}$ (p : perturbation) ;
- avoir une forme plus ou moins pure (taux d'harmoniques).

II - OSCILLATEURS TYPE RC

Ils sont surtout utilisés en AF car ils manquent de stabilité en RF du fait de la difficulté d'avoir des composants *R* et *C* suffisamment stables ($\Delta f/f < 10^{-2}$).

1° Oscillateur à réseau déphaseur (phase shift)

a) Principe

La tension de sortie d'un filtre *RC* est déphasée en arrière d'un angle φ par rapport à la tension d'entrée telle que $\tan \varphi = 1/RC\omega$. En choisissant *RC* tels que $\varphi = 60^\circ$, on peut obtenir, avec trois circuits *RC* placés dans une boucle de réaction, un déphasage de 180° compensant la rotation de phase d'un transistor (montage *EC*). L'amplification doit compenser l'atténuation due au réseau déphaseur à la fréquence d'oscillation.

b) Différents réseaux (fig. 1 à 6).

Le tableau de la page ci-contre donne les valeurs des fréquences et des atténuations pour les différents types de réseaux *RC* ou *CR*.

Les réseaux *CR* se prêtent mieux à la réalisation d'oscillateurs à fréquence basse ; les réseaux *RC* présentent l'avantage, dans le cas d'un réglage de fréquence, de pouvoir utiliser trois condensateurs variables dont une armature est à la masse. Le filtrage des harmoniques est meilleur avec 4 ou 5 cellules.

c) Montages

Fig. 7 - Oscillateur à quatre cellules *CR*.

La résistance d'entrée étant faible, le transistor est excité en courant. Il doit donner une amplification supérieure à 18,4. La polarisation, assez critique, doit être ajustée.

Fig. 8 - Oscillateur à trois cellules *RC*.

Pour exciter le transistor en courant, l'impédance de sortie du réseau doit être forte devant l'impédance d'entrée du transistor.

Dans ces deux montages, on peut remplacer le transistor par un étage Darlington, qui donne une grande amplification. Ils peuvent être stabilisés en température par R_E découplée.

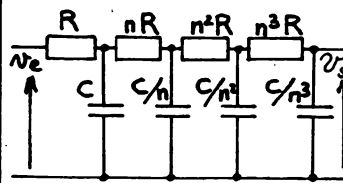
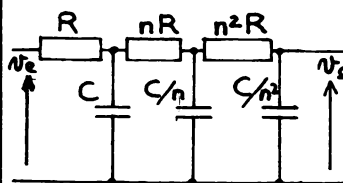
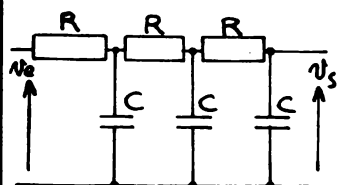


Fig. 1 à 3 — Filtres à résistances série

| Réseaux RC | $\frac{v_e}{v_s}$ | Réseaux CR |
|--|-------------------|--|
| $f_r = \frac{\sqrt{6}}{2\pi RC}$ | 29 | $f_r = \frac{1}{2\pi RC\sqrt{6}}$ |
| $n=2$ $f_r = \frac{2,06}{2\pi RC}$ | 16 | $n=2$ $f_r = \frac{1}{2\pi RC 2,06}$ |
| $n=3$ $f_r = \frac{1,94}{2\pi RC}$ | 12,8 | $n=3$ $f_r = \frac{1}{2\pi RC 1,94}$ |
| $n=1$ $f_r = \frac{1,2}{2\pi RC}$ | 18,4 | $n=1$ $f_r = \frac{1}{2\pi RC 1,2}$ |
| $n=2$ $f_r = \frac{1,06}{2\pi RC}$ | 8,6 | $n=2$ $f_r = \frac{1}{2\pi RC 1,06}$ |
| $n=3$ $f_r = \frac{1,025}{2\pi RC}$ | 6,54 | $n=3$ $f_r = \frac{1}{2\pi RC 1,025}$ |

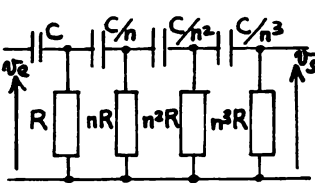
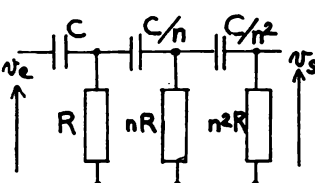
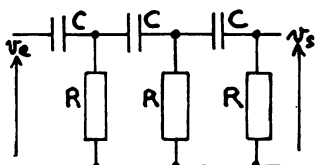


Fig. 4 à 6 — Filtres à condensateurs série

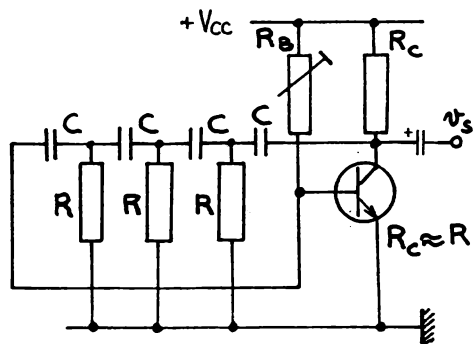


Fig. 7 — Oscillateur à 4 cellules CR

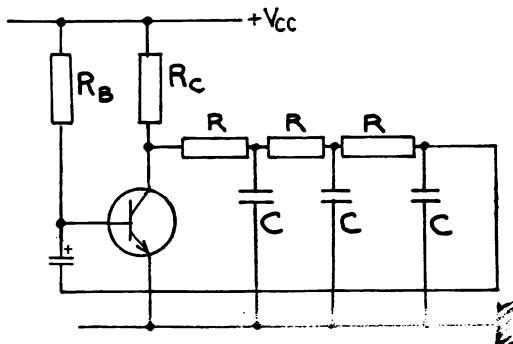


Fig. 8 — Oscillateurs à 3 cellules CR

2° Oscillateur à filtre sélectif**a) Principe (fig. 9)**

Un filtre sélectif incorporé dans une chaîne de réaction d'un amplificateur peut amener la production d'oscillations sinusoïdales aux conditions suivantes :

- la tension ramenée à l'entrée doit tomber en phase, compte tenu du déphasage introduit par le filtre et de celui du transistor ;
- le gain de l'amplificateur doit être légèrement supérieur à l'affaiblissement provoqué par le filtre ;
- si le filtre a une fréquence de transmission maximale, on l'introduit dans une boucle de réaction positive, et s'il a une fréquence de transmission minimale, on le place dans une boucle de réaction négative ;
- la résistance d'entrée du filtre doit être faible et sa résistance de sortie grande.

b) Exemple (fig. 11)

On utilise un filtre du type série-parallèle (fig. 9) possédant une fréquence de transmission maximale, qui doit donc être placé dans une boucle de réaction positive. La tension de sortie du filtre est en phase sur la tension d'entrée, d'où la nécessité d'avoir deux transistors en *EC* pour réaliser la condition de phase.

L'atténuation du filtre étant 3, l'amplification totale doit être légèrement supérieure à 3. On remarque que le schéma se déduit de celui d'un multivibrateur dont l'une des liaisons RC est remplacée par un filtre sélectif.

c) Caractéristiques des signaux

Fréquence : réglage par bonds : deux résistances *R* commutables } ou inversement.
réglage progressif : deux condensateurs *C* variables couplés }

Notons que sur ce schéma, il est difficile d'obtenir une variation progressive de fréquence, car le condensateur *C* est grand et la résistance *R* participe à la polarisation.

Stabilité. Le filtre est peu sélectif. Pour augmenter la stabilité, il faut utiliser l'amplificateur d'entretien réglé juste à l'accrochage. Le potentiomètre *P* permet de doser la réaction.

Le gain total étant faible, il est possible d'appliquer sur chaque transistor une forte réaction négative qui rend le gain de l'ensemble indépendant de la fréquence.

3° Oscillateurs à filtres en T**a) Principe**

Le filtre en double T (fig. 12) a une fréquence de transmission minimale (fig. 13) et sera placé dans une boucle de réaction négative. La tension de sortie du filtre est déphasée de 180° par rapport à la tension d'entrée.

Les filtres en T simple (fig. 15 et 16) ont au contraire une fréquence de transmission maximale (fig. 10).

b) Montages

Les filtres en T simple seront utilisés comme le filtre sélectif de la figure 11. Par contre, le filtre en double T ponté ne nécessitera qu'un transistor monté *EC*. Pour avoir un gain suffisant, on emploiera un étage Darlington. La figure 14 est un exemple avec utilisation d'un amplificateur opérationnel. La sortie est isolée de la charge par un amplificateur non inverseur ⁽¹⁾.

c) Avantages du filtre à double T

Le filtre en double T ponté est le plus utilisé car il est plus sélectif. Il se prête très bien à la réalisation d'oscillateurs à points fixes à fréquences relativement basses. La stabilité est meilleure et l'oscillation plus pure.

(1) Pour tous les oscillateurs RC, la sortie se faisant généralement à haute *Z*, il est recommandé d'isoler l'oscillateur de la charge au moyen d'un étage à haute impédance d'entrée : transistor *CC*, transistor à effet de champ, Darlington ou amplificateur opérationnel non inverseur.

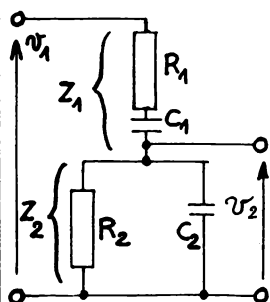


Fig. 9 — Filtre sélectif

$$f_r = \frac{1}{2\pi\sqrt{R_1 R_2 C_1 C_2}}$$

si $R_1 = R_2$
et $C_1 = C_2$

$$f_r = \frac{1}{2\pi RC}$$

$$\frac{v_1}{v_2} = 3$$

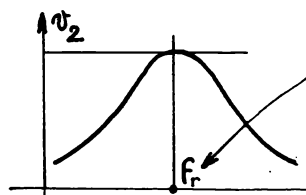


Fig. 10 — Courbe de transmission des fig. 9-15-16

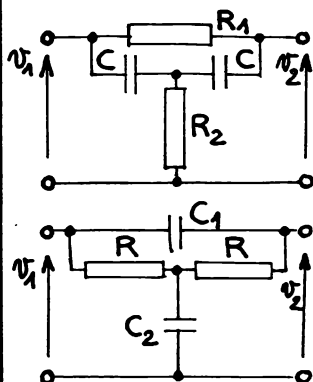


Fig. 15 et 16 — Filtres en T ponté

$$R = \sqrt{R_1 R_2}$$

$$R_1 = 3 \text{ à } 10 R_2$$

$$f_r = \frac{1}{2\pi RC}$$

$$C = \sqrt{C_1 C_2}$$

$$C_2 = 3 \text{ à } 10 C_1$$

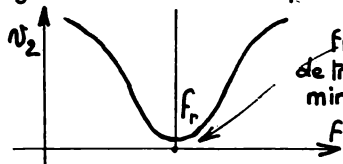


Fig. 13 — Courbe de transmission de la fig. 12

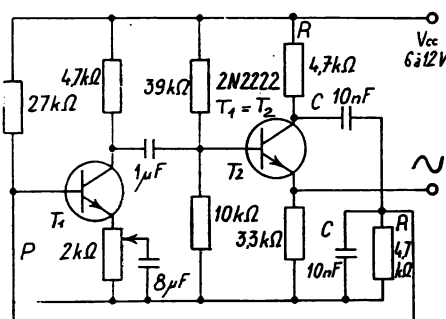


Fig. 11 — Oscillateur à filtre sélectif

$$f_r = \frac{\sqrt{n}}{2\pi RC}$$

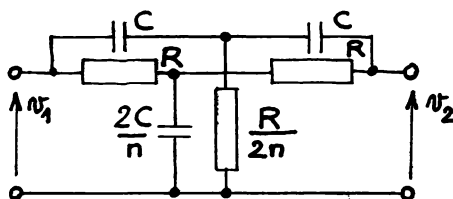


Fig. 12 — Filtre en double T

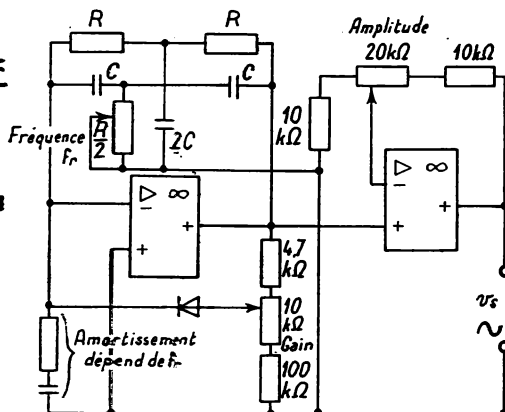


Fig. 14 — Oscillateur à filtre en double T

4° Oscillateurs à pont de Wien

a) Principe

Le pont de Wien (fig. 17 et 18) comporte une branche complexe formée des éléments RC ainsi qu'une branche réelle formée des résistances R_1 et R_2 . Pour des valeurs de R et C égales sur la branche complexe, le rapport des tensions v_1 sur v_2 est égal à $1/3$ ($v_1/v_2 = 1/3$ avec $\omega_0 = 1/RC$). L'amplification avec contre-réaction doit compenser l'atténuation du filtre RC.

Le filtre sélectif est incorporé dans une boucle de réaction positive et la branche $R_1 R_2$ est insérée dans une boucle de réaction négative. Le pont est équilibré pour la fréquence de transmission minimale.

Afin de pouvoir provoquer à la fois une réaction et une contre-réaction, l'amplificateur doit avoir un gain suffisant (deux transistors ou un ampli opérationnel : fig. 19 et 20).

b) Caractéristiques des signaux

- Fréquence

● Réglage progressif par condensateurs variables : c'est la solution adoptée sur les montages à grande résistance d'entrée. Les valeurs des CV normalisés étant faibles (quelques centaines de pF), il faut des résistances élevées dans la branche complexe du pont dans le cas de fréquences basses (32 M Ω pour $f = 10$ Hz). Dans ce cas, il faut tenir compte de la résistance d'entrée du montage pour calculer la fréquence d'oscillation.

La fréquence est réglable dans le rapport 1 à 10.

● Réglage progressif par résistances réglables : c'est la solution adoptée sur les montages à transistors. Les résistances R de quelques k Ω seulement réduisent l'influence de R_e faible de l'amplificateur à transistor. La fréquence peut varier dans un domaine plus étendu. On utilise des potentiomètres logarithmiques doubles de précision, afin d'obtenir une échelle de fréquence linéaire.

● Réglage par bonds : par résistances R commutables dans le premier cas, et condensateurs C commutables dans le deuxième cas.

● Stabilité en fréquence : elle est meilleure que celle des montages précédents.

- Amplitude

La stabilité en amplitude peut être améliorée en remplaçant R_2 par une résistance CTP (thermistance à fort coefficient de température positif) ou en utilisant pour la résistance R_1 une résistance CTN (thermistance à fort coefficient de température négatif du type perle à faible inertie thermique).

5° Choix des oscillateurs RC

- Pour f fixe (ou bande étroite) et simplicité : oscillateur à déphasage. La fréquence peut être ajustée en agissant sur une seule résistance, les autres composants n'ayant pas une très grande précision. La fréquence est affectée par la tension d'alimentation, la température, la charge.

- Pour f fixe et stabilité : oscillateur à double T avec des composants appariés à moins de 1%.

- Pour large bande jusqu'à 500 kHz : oscillateur à pont de Wien. L'onde produite n'est plus pure en dessous de 10 Hz environ.

- Pour HF jusqu'à plusieurs MHz : oscillateur à déphasage avec trois CV de 490 pF ayant leur rotor à la masse. Ce type d'oscillateur manque de précision et de stabilité.

- Pour TBF jusqu'à un centième de Hz : oscillateur à ampli. opérationnel avec entrée sans inversion (voir schéma d'application). L'impédance d'entrée très élevée permet de donner aux résistances du réseau déphaseur une valeur aussi grande que 100 k Ω avec très faible courant de polarisation. Une solution moins onéreuse peut être obtenue avec un double T passe-bande et un transistor à effet de champ.

6° Stabilisation de l'amplitude

On utilise un limiteur d'amplitude à diodes, ou mieux une régulation qui permet d'agir sur la pente d'un transistor en modifiant la polarisation à partir d'une composante continue obtenue après redressement et filtrage du signal de sortie.

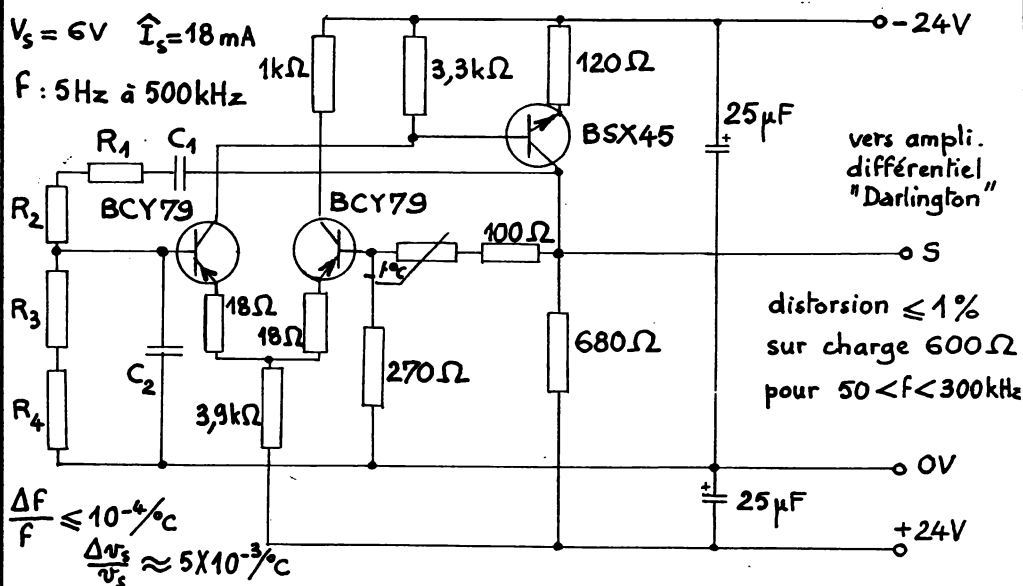
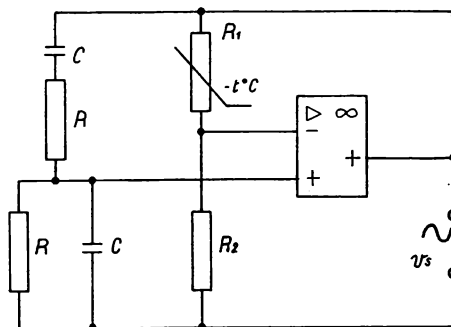
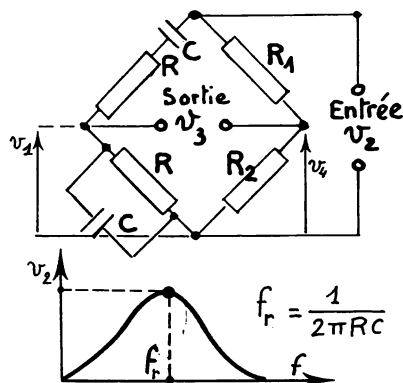


Fig. 20—Oscillateur à pont de Wien à transistors

III - OSCILLATEURS TYPE LC

1° Généralités

a) Principe

A partir d'un circuit oscillant, on peut obtenir des oscillations sinusoïdales entretenues (fig. 22) au lieu d'oscillations amorties (fig. 21), à condition de fournir un apport d'énergie en phase convenable qui annule l'amortissement. Il suffit de ramener l'énergie nécessaire à l'entretien des oscillations par une boucle de réaction positive dans un amplificateur (fig. 23).

Déphasage total 360° (ou 0°) égal déphasage du transistor 180° (ou 0°) plus déphasage du couplage 180° (ou 0°). La réaction entre entrée et sortie peut être obtenue par couplages inductif, capacitif ou mixte.

b) Particularités des montages

Alimentation

• *Série* (fig. 24). C'est le montage le plus simple. On peut être amené à fermer le circuit HF par un condensateur C' de faible valeur, afin d'éviter le retour par l'alimentation (LC ne formant circuit bouchon que pour la fréquence de résonance f_r).

• *Parallèle* (fig. 25). L et C ne sont plus soumis à $+V_{CC}$, ce qui facilite la commutation des circuits LC (gammas). Le condensateur C peut avoir une armature à la masse. Il faut par contre une impédance d'arrêt (ou de choc) HF vers l'alimentation. La sensibilité en fréquence est améliorée.

Polarisation

Le transistor oscillateur peut être polarisé en classe A ou B. La classe B a un rendement élevé. Elle est utilisée dans les oscillateurs appelés à fournir au circuit de charge une puissance relativement importante (par exemple oscillateur symétrique sur récepteurs de trafic amateur).

La valeur de R_B fixe la valeur du courant de polarisation I_{OB} . La polarisation peut être soit du type série (fig. 28), soit du type parallèle (fig. 26). La constante de temps $\tau = R_B C_B$ (fig. 26) doit être suffisamment faible devant la période de l'oscillation pour que le potentiel de base suive les fluctuations de la tension aux bornes du bobinage L_B . Sur la figure 28, la réactance de C_B à la fréquence d'oscillation doit être suffisamment faible pour considérer que le point A est à la masse en alternatif.

La figure 27 montre comment on choisit le point de repos A. Il se trouve à l'intersection de la droite de charge D_a de pente $1/Z_r$ passant par B (l'amplitude ne pouvant dépasser V_{CC}) et de la verticale passant par $V_{0CE} = V_{CC}$.

c) Fréquence f_r

Le calcul théorique appliqué à la figure 26 donne :

$$\omega_r^2 = \frac{1}{LC} \left(\frac{r_e^2 R^2 C^2}{M^2 A_i^2} \right)$$

La formule de Thomson $\omega_r^2 = \frac{1}{LC} \left(\text{ou } f_r = \frac{1}{2\pi\sqrt{LC}} \right)$ donne un résultat exact à moins

de 5% près. Le calcul précis montre quels sont les éléments (en particulier A_i et r_e) qui influencent la fréquence.

- Réglage par bonds : généralement bobinages commutables.
- Réglage progressif rapide : CV ou bobines à noyau plongeur.
- Réglage progressif lent : condensateur ajustable ou noyau à vis réglable (vernier).

d) Amplitude a

Pour obtenir une bonne stabilité en amplitude, il est nécessaire que le taux de réaction soit suffisant pour provoquer le blocage du transistor pendant la crête de l'alternance négative.

Si l'amplitude $|a|$ le transistor se bloque plus longtemps, le courant moyen de collecteur se trouve asservi à l'amplitude, ainsi que le taux de réaction qui diminue par suite de l'augmentation de la résistance d'entrée.

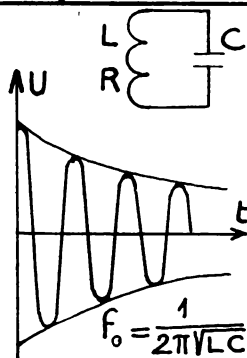


Fig. 21 — Oscillations amorties

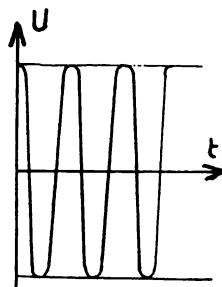


Fig. 22 — Oscillations entretenues

Conditions d'oscillation: $M \omega_0 \frac{A_i}{R} \sqrt{\frac{L}{C}} \geq r_e$
 $M^2 \approx L L'$ M : induction mutuelle

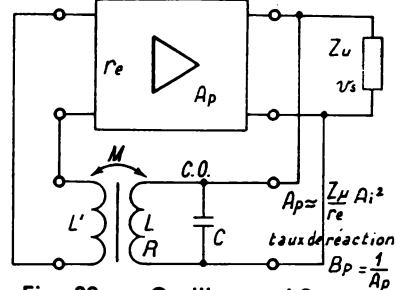


Fig. 23 — Oscillateur LC : principe

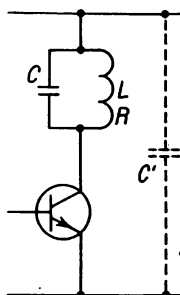


Fig. 24 — Alimentation série

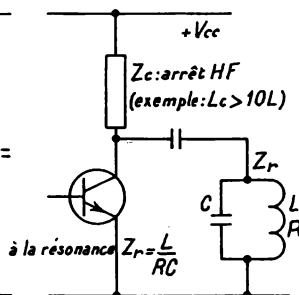


Fig. 25 — Alimentation parallèle

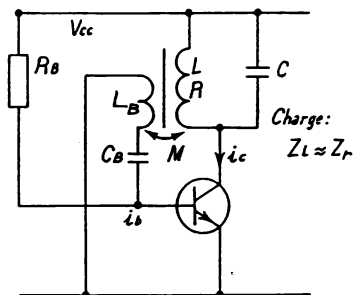


Fig. 26 — Oscillateur à collecteur accordé : Montage EC : principe

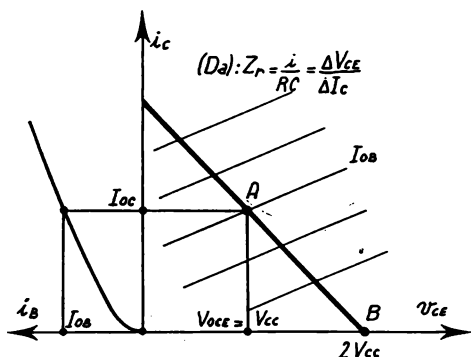


Fig. 27 — Réglage du point de repos en classe A

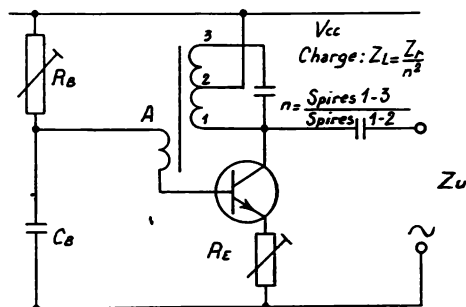


Fig. 28 — Oscillateur à collecteur accordé. Montage EC

2° Principaux montages

Fig. 28 - Oscillateur à collecteur accordé. Montage E.C.

Dans le montage EC, la résistance d'entrée étant faible ($r_e = 1 \text{ à } 2 \text{ k}\Omega$), le C.O. doit être placé sur le collecteur afin de ne pas être amorti ($r_s = 20 \text{ à } 50 \text{ k}\Omega$). Pour la même raison, il faut choisir un transistor ayant g_{22e} et C_{22e} faibles. La fréquence de transition du transistor f_T doit être supérieure à la fréquence d'oscillation f_0 .

Pour diminuer l'amortissement du C.O., il faut que l'impédance d'utilisation Z_u soit grande, et très souvent on réalise une prise intermédiaire sur le bobinage. Dans ce cas, la résistance de sortie r_s du transistor n'est plus en parallèle que sur une fraction seulement de la bobine.

R_B permet d'ajuster le courant de base au repos.

La mutuelle inductance étant difficile à déterminer avec précision, on prend une valeur plus importante et on introduit une CR d'intensité ajustable par R_E .

Fig. 29 - Oscillateur à collecteur accordé. Montage E.C.: variante

Régage du point de repos par potentiomètre ajustable.

Régage du taux de réaction par résistance en série avec la bobine de réaction.

Stabilisation en température par $R_E C_E$. Notons que dans les montages à deux enroulements, on est toujours maître de la phase de tension de réaction, car il suffit de brancher la bobine de réaction dans le sens convenable.

Fig. 30 - Oscillateur à émetteur accordé. Montage B.C.

En principe, les trois montages du transistor peuvent être utilisés pour réaliser un oscillateur, car ils amplifient tous trois en puissance. Le montage BC est celui qui permet d'atteindre la fréquence la plus élevée pour un transistor donné, puisque la fréquence de coupure en base commune est égale à celle en émetteur commun multipliée par h_{21e} .

Lorsque ce montage est utilisé en oscillateur variable avec un C.V. sur les récepteurs de radio, le condensateur C est réuni au circuit d'accord d'entrée.

Fig. 31 - Oscillateur à trois prises

La réaction est obtenue ici à l'aide d'un auto-transformateur, au lieu d'un transformateur. Ce montage est aussi utilisé sur récepteurs de radio.

Fig. 32 - Oscillateur à trois impédances

Le principe est illustré par les figures 32 et 33. Le circuit de réaction est un montage en π , les trois impédances pouvant être soit des capacités, soit des inductances, conduisant suivant les cas aux montages Colpitts, Hartley, Clapp, etc.

Fig. 34 et 35 - Oscillateur Colpitts

Les impédances Z_1 et Z_2 sont des capacités. La tension de réaction est ramenée sur l'entrée au moyen d'une prise intermédiaire capacitive. Ce montage est très utilisé car l'influence des capacités parasites en parallèle sur $C_1 C_2$ est négligeable. La commutation des bobinages (cas de plusieurs gammes) est facilitée puisqu'ils ne possèdent pas de prise intermédiaire. Pour des raisons de tropicalisation, on peut utiliser des condensateurs fixes en boîtier étanche et un réglage de f par inductance variable.

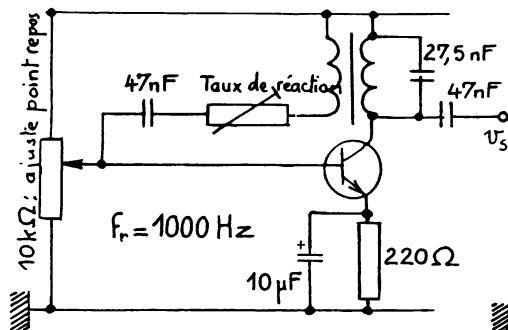


Fig. 29 — Oscillateur à collecteur accordé. Montage EC

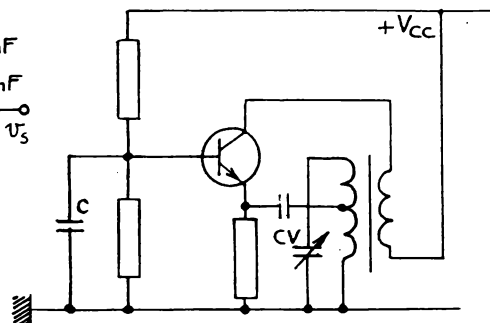


Fig. 30 — Oscillateur à émetteur accordé Montage BC

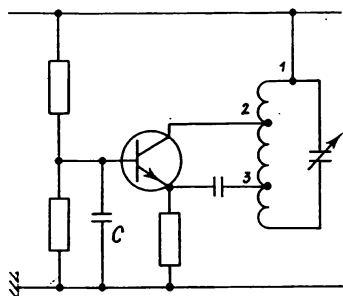


Fig. 31 — Oscillateur à 3 prises

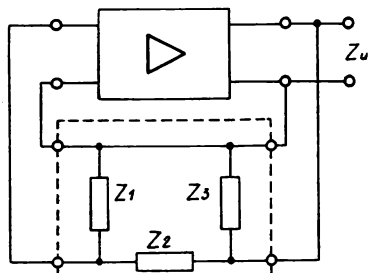


Fig. 32 — Oscillateur à 3 impédances

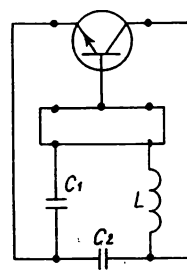


Fig. 33 — Exemple (Colpitts) Schéma simplifié en alternatif

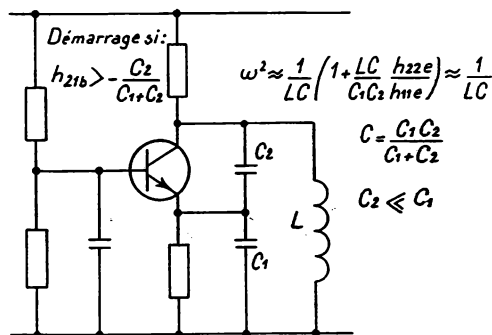


Fig. 34 — Oscillateur Colpitts. Montage BC

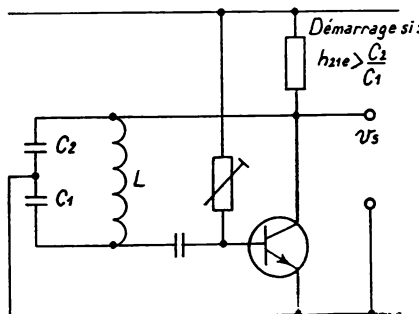


Fig. 35 — Oscillateur Colpitts. Montage EC

Fig. 36 et 37 - Oscillateur Hartley

Les impédances Z_1 et Z_2 de la figure 32 sont cette fois L_1 et L_2 . La tension de réaction est ramenée sur l'entrée au moyen d'une prise inductive. La limite d'entretien des oscillations est recherchée au moyen de la résistance ajustable R (réaction négative réglable sur la figure 36, pont diviseur réglable sur réaction positive à la figure 37).

Pour ce type d'oscillateur, si on emploie des CV ils doivent être isolés de la masse.

Aux fréquences élevées, on remplace R_g par une bobine d'arrêt HF.

La sortie peut se faire en basse impédance (fig. 36) ou en haute impédance (fig. 37).

Fig. 38 - Oscillateur Clapp

Ce schéma est dérivé du Colpitts en remplaçant L par un circuit accordé LC. La fréquence est déterminée par C . La grande valeur des condensateurs C_1 C_2 dont le rapport règle la réaction, rend négligeable l'influence des capacités parasites en parallèle. Ce montage très stable est très prisé par les radio-amateurs. Une réaction négative réglable par P permet de faire osciller l'oscillateur juste à l'accrochage.

Fig. 39 - Oscillateur à ampli. opérationnel

Le montage oscille si les pertes du CO sont compensées par la réaction positive réglée par la résistance R . Ce montage peut fournir une onde très pure ($D \leq 0,5\%$ entre 10 Hz et 100 kHz). On peut atteindre plusieurs MHz en utilisant des circuits intégrés plus performants.

Fig. 40 - Oscillateur Meshy

Les montages comportant un seul transistor sont polarisés en classe A. Lorsqu'on recherche un rendement élevé pour fournir au circuit de charge une puissance relativement élevée, on peut utiliser des montages symétriques tels que le «Mesny» polarisés en classe B ou C. Les harmoniques pairs sont supprimés.

Fig. 41 - Oscillateur à diode tunnel

La diode tunnel est une diode à jonction PN comportant une barrière de potentiel d'épaisseur très faible, de l'ordre de $0,01 \mu$. La traversée de la barrière pour les électrons du semi-conducteur de type N peut s'effectuer sans posséder l'énergie nécessaire déduite de la mécanique classique, mais explicable en mécanique ondulatoire par une probabilité non nulle. La caractéristique courant-tension montre une partie où la résistance dynamique est négative. Cet effet tunnel permet de réaliser des oscillateurs du type indiqué sur la figure avec des fréquences de quelques centaines de MHz (quelques gigahertz avec lignes ou cavités).

L'amortissement du CO est compensé par la résistance négative de la diode tunnel.

3° Choix des oscillateurs LC

- En H.F. En réception radio en A.M. (P.O., G.O.) ou pour d'autres applications, on utilise l'oscillateur à collecteur accordé, montage EC, ou l'oscillateur à trois prises.

En O.C. le transistor est monté BC car la fréquence de coupure est plus élevée.

En émission «radio-amateurs» pour les oscillateurs à fréquence variable (V.F.O.), le montage Hartley ne nécessite qu'un CV à une cage et le rapport du nombre de spires, déterminé une fois pour toutes, permet de conserver un taux de réaction à peu près constant sur toute la gamme.

- En V.H.F. Le montage BC est préférable. Les oscillateurs Colpitts et Clapp sont plus stables. Le Colpitts se prête mal à des V.F.O. à large gamme de fréquence et nécessite un C.V. à deux cages, inconvénients que ne présente pas le montage Clapp.

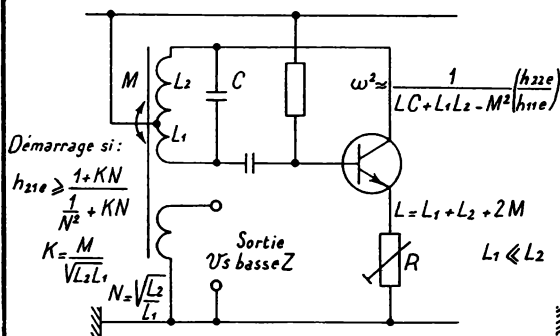


Fig. 36 — Oscillateur Hartley.
Montage EC

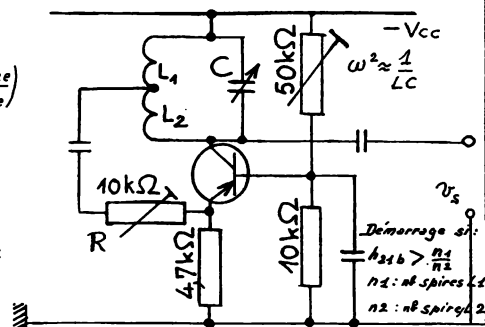


Fig. 37 — Oscillateur Hartley.
Montage BC

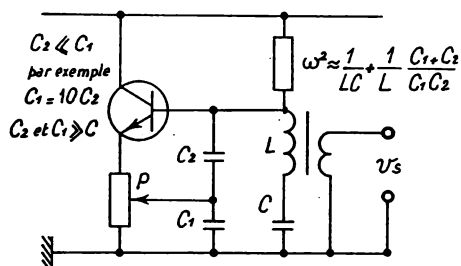


Fig. 38 — Oscillateur Clapp

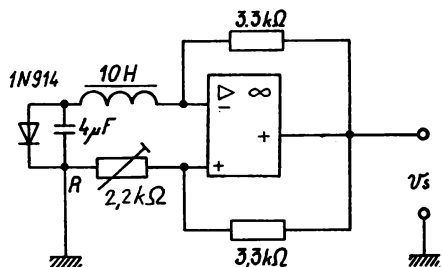


Fig. 39 — Oscillateur à ampli.
opérationnel

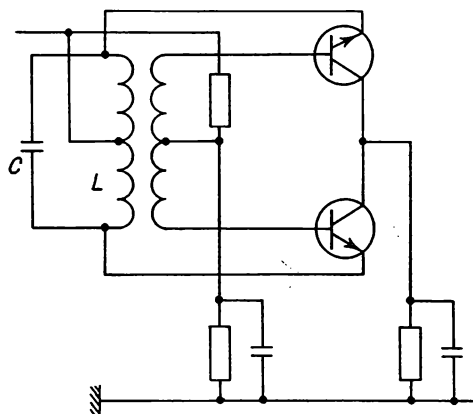


Fig. 40 — Oscillateur Mesny

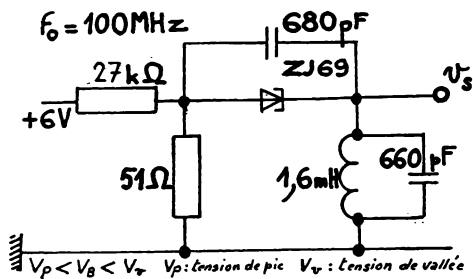


Fig. 41 — Oscillateur à diode tunnel

IV - OSCILLATEURS A QUARTZ

1° Généralités

a) Principe

L'utilisation d'un oscillateur piloté par quartz permet d'obtenir une grande précision et une haute stabilité.

Une lame parallélépipédique taillée dans un cristal de quartz (fig. 42) produit une ddp sur ses deux faces sous l'action de contraintes mécaniques. C'est l'effet *piézoélectrique* direct découvert par Pierre Curie. Le phénomène est réversible (effet inverse). Le circuit équivalent est dessiné à la figure 43 et les deux fréquences de résonance très rapprochées f_s et f_p sont mises en évidence sur les figures 44 et 45. La fréquence propre d'une lame est inversement proportionnelle à l'épaisseur.

b) Différentes tailles (ou coupes)

Taille X ou Curie : faces perpendiculaires à un axe électrique. La dérive de fréquence est importante avec les variations de température. $0,5 \text{ MHz} < f < 15 \text{ MHz}$ ($f = 2860/e$; e : épaisseur de la lame en mm, f en kHz). Taille ($X + 5^\circ$) plus stable avec $30 \text{ kHz} < f < 300 \text{ kHz}$.

Taille Y : faces perpendiculaires à un axe mécanique. Il se produit des sautes brusques de fréquence avec les variations de fréquence, mais les éléments peuvent vibrer sous une pression d'armatures quelconque ($f = 1960/e$).

Taille AT (fig. 47) : coefficient de température nul, d'où une excellente stabilité et utilisation comme étalons de fréquence. Absence de vibrations parasites. Oscillations sous une pression d'armatures quelconque.

$500 \text{ kHz} < f < 150 \text{ MHz}$ ($f = 1660/e$).

Taille BT (fig. 47) : $3 \text{ MHz} < f < 30 \text{ MHz}$ } Courbes de dérive facilement corrigées
Taille CT (fig. 47) : $100 \text{ kHz} < f < 600 \text{ kHz}$ } par thermostat.

Taille GT (fig. 48) : $80 \text{ kHz} < f < 500 \text{ kHz}$, pour étalons de fréquence. Taille difficile.

Taille MT : $50 \text{ kHz} < f < 100 \text{ kHz}$

Taille NT : $4 \text{ kHz} < f < 50 \text{ kHz}$

Taille ET : vibre sur 3° ou 5° harmonique et permet le travail dit « overtone »,
 $10 \text{ MHz} < f < 110 \text{ MHz}$.

c) Construction

Les lames de 1 cm^2 environ sont amincies par rodage à l'épaisseur convenable. Les armatures sont métallisées or ou argent. Les connexions sont soudées à l'étain (fig. 50) et sortent du boîtier métallique étanche (fig. 51) par perles de verre. Le quartz enfermé sous vide présente un amortissement presque nul ($10^2 < Q < 10^6$).

Certaines tailles peuvent être montées avec lame d'air (fig. 49), le réglage de la lame d'air permettant un léger réglage de fréquence. Pour les autres tailles, la fréquence peut être réglée dans de faibles limites en montant aux bornes du quartz une capacité ajustable (capacité de charge).

d) Qualités d'un bon quartz

— **Précision.** C'est la différence entre la fréquence réelle et la fréquence inscrite sur le boîtier à la température de 20°C .

— **Activité.** C'est l'aptitude d'un quartz à osciller. Elle est inversement proportionnelle à la résistance du circuit équivalent.

— **Coefficient de température** $\alpha = \Delta f/f \cdot \Delta t$. Il est fonction de la coupe utilisée (fig. 46); $\Delta f/f$ s'appelle la dérive de fréquence par degré Celsius.

— **Précision hors tout.** C'est la différence maximale entre f nominale et f réelle pour une température quelconque de la plage des températures prévues pour l'utilisation.

e) Stabilité

— Oscillateurs LC: $10^{-5} < \Delta f/f_0 < 10^{-4}$

— Oscillateurs à quartz: $10^{-7} < \Delta f/f_0 < 10^{-6}$

— Quartz enfermé dans une enceinte thermostatique: $\Delta f/f_0 < 10^{-7}$

— Si, de plus, l'alimentation est stabilisée: $\Delta f/f_0 < 10^{-8}$.

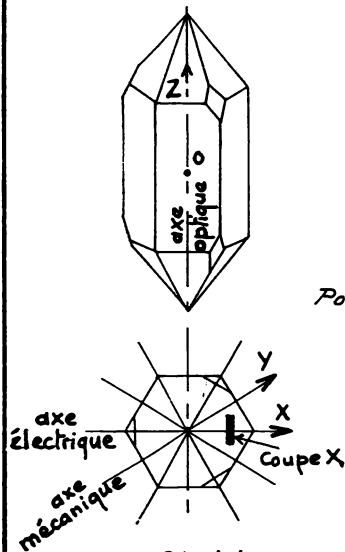
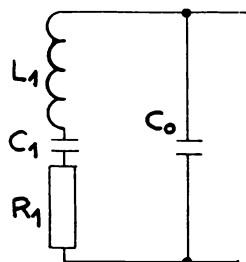


Fig. 42 — Cristal de quartz



Pour coupe AT de 1 à 100MHz

L_1 : 10 à 1000 mH

C_1 : 0,05 à 0,1 pF

R_1 : 10 à 2000 Ω

C_0 : 5 à 10 pF

Fig. 43 — Circuit équivalent

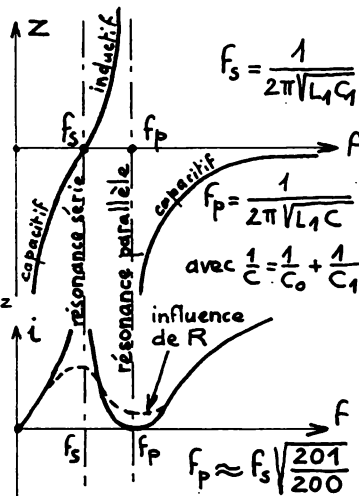


Fig. 44 et 45 — Impédance et courant en fonction de f

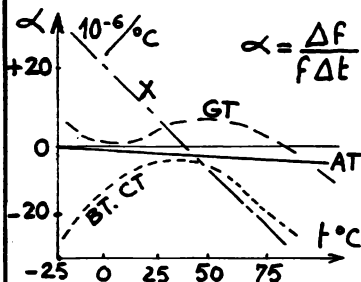


Fig. 46 — Variations du coefficient de température

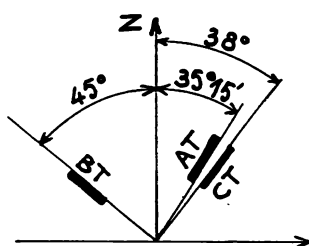


Fig. 47 et 48 — Angles de taille pour différentes coupes

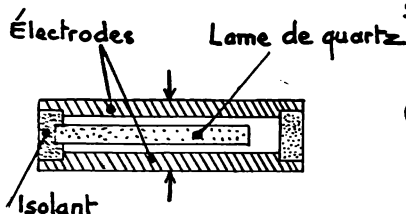
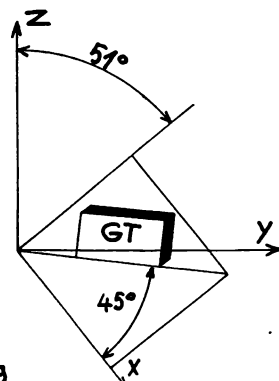


Fig. 49 — Montage d'une lame pour coupe AT ou GT

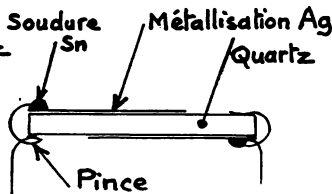


Fig. 50 — Montage d'une lame pour coupe CT, GT...

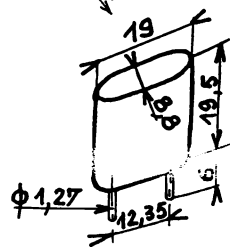


Fig. 51 — Boîtier

2° Différents montages

Un quartz peut être assimilé à un C.O. soit à résonance série, soit à résonance parallèle. Dans le premier cas, son impédance est très faible et il est placé dans une boucle de réaction positive (fig. 52). Le gain de boucle sera maximum pour la résonance série. Dans le second cas, l'impédance à la résonance parallèle sera très grande. La tension aux bornes sera maximale et le gain de boucle sera aussi maximal pour cette fréquence (fig. 53).

La plupart des montages sont prévus pour osciller à la fréquence d'anti-résonance. En fait, le quartz oscille sur une fréquence comprise entre f_p et f_s , compte tenu des transistors utilisés, des capacités parasites qui interviennent. Le C.O. à la sortie est accordé soit sur la fréquence fondamentale, soit sur les harmoniques électriques 3, 5 ou 7 (multiplicateurs de fréquence).

Les oscillateurs dits « overtone » oscillent exactement à la résonance. La fréquence est parfaitement définie. Le quartz vibre sur les harmoniques mécaniques (ou partiels) 3 ou 5.

Les oscillateurs standardisés sont ajustés de telle sorte que la capacité aux bornes de branchement du quartz soit de $32 \text{ pF} \pm 0,5 \text{ pF}$, le quartz n'étant pas connecté au circuit. Leur fréquence ne doit pas s'écarter de $\pm 5 \cdot 10^{-4}$ entre -55 et $+90^\circ \text{C}$.

Fig. 54 et 55 - Oscillateur Miller

L'entretien des oscillations se fait grâce à la capacité C (1).

Montage simple mais délivrant une faible puissance HF.

La fréquence du C.O. d'anode doit être légèrement supérieure à la fréquence du cristal pour les raisons suivantes :

- Pour avoir un déphasage π entre v_C et v_L (réaction positive) il faut que la branche de v_L soit inductive par rapport à la branche capacitive v_{cb} .

- Il faut $v_{cb} > v_L$ pour que la tension v_C déphasée de π ne s'annule pas (fig. 55). Le circuit constitué par le quartz et la capacité C_{cb} en série doit donc être capacitif, ou encore la branche comportant le C.O. doit être inductive par rapport au circuit précédent. Si on considère la courbe $z(f)$ de la figure 44 en J7, la fréquence du quartz f_q étant comprise entre f_s et f_p il faut que la fréquence f_q du C.O. soit légèrement supérieure à f_q pour que son impédance soit plus inductive que celle du quartz.

Des raisonnements analogues peuvent être faits pour les montages Pierce, Clapp..., afin de connaître quelle doit être la fréquence f_q du C.O. par rapport à la fréquence f_q du quartz (supérieure ou inférieure) dans le but d'éviter le décrochage des oscillations.

Fig. 56 - Oscillateur Pierce

C'est un montage analogue à l'oscillateur Colpitts. La charge est soit une résistance de collecteur R_c , soit un C.O. Le quartz doit osciller sur la fréquence de résonance série. La fréquence du C.O. doit être légèrement inférieure à la fréquence propre du cristal ; elle peut être ajustée par C_2 ou C_3 . C'est un montage très utilisé sur émetteurs de petite puissance en O.C. ayant une bonne stabilité. Z_{C_3} de 100 à 500 Ω et Z_{C_2} de 200 à 1000 Ω à la fréquence du quartz.

Fig. 57 - Oscillateur « overtone »

Beaucoup de schémas peuvent être conçus pour fonctionner sur les partiels du quartz à condition que celui-ci soit convenablement choisi (c'est la fréquence du partiel qui est indiquée sur le boîtier et non pas la fondamentale). Le C.O. est accordé sur l'harmonique 3 (ou 5, ou 7). On utilise ici un transistor à effet de champ monté en source commune.

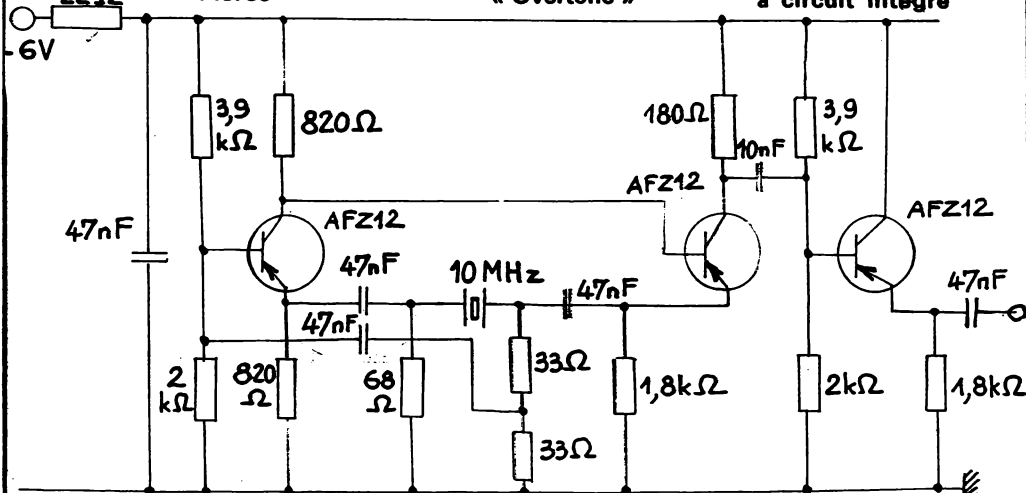
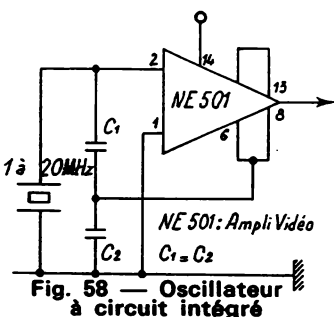
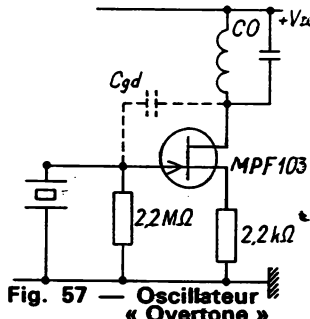
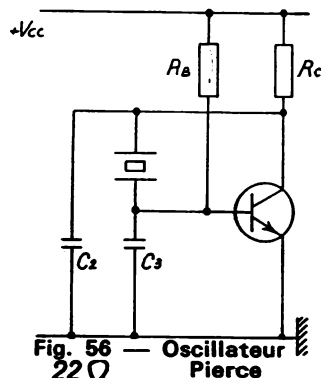
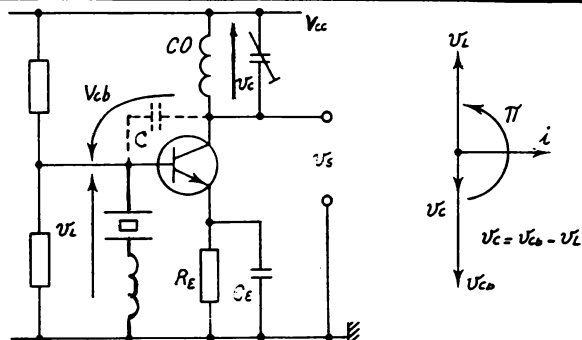
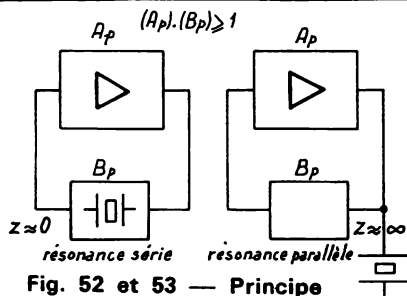
Fig. 58 - Oscillateur à circuit intégré (amplificateur opérationnel ou vidéo)

Le circuit intégré utilisé ici est un amplificateur vidéo NE501 ayant une bande passante de 150 MHz. Le montage est une adaptation du Pierce.

Fig. 59 - Oscillateur Butler

Ce schéma est dérivé du multivibrateur. Le quartz placé dans la boucle de réaction joue le rôle de filtre (résonance série) d'harmoniques. La stabilité est remarquable. La fréquence peut être ajustée par une capacité en parallèle sur le quartz (25 à 75 pF).

(1) Rappelons que l'effet Miller donne une capacité dynamique $C_e = C_{cb} (1 + A_v)$ qui sera ici en parallèle sur le quartz.



$\Delta f/f_r \leq 3 \times 10^{-3}$ à la résonance série
 Vieillessement $\leq 5 \times 10^{-8}$ / mois

V - OSCILLATEURS HYPERFRÉQUENCES

1° Oscillateurs à lignes

Les lignes résonnantes sont des circuits à *constantes réparties* constituées par des portions de câbles bifilaires ou de câbles coaxiaux ou par des portions de tubes en laiton argenté.

Si f est élevée, l'impédance caractéristique est $Z_c = \sqrt{L/C}$ (R ligne négligeable).

L : auto-inductance, et C : capacité par unité de longueur.

a) Principe d'un oscillateur à lignes

Une ligne peut remplacer un C.O. à *constantes localisées*.

Pour que les oscillations soient entretenues, l'amplification doit être supérieure à l'affaiblissement introduit par la ligne.

L'impédance d'entrée d'une ligne terminée par un court-circuit (ligne fermée : fig. 61) varie de 0 à ∞ suivant la longueur de la ligne (fig. 60).

Une ligne $1/4$ d'onde fermée est assimilable à un circuit bouchon (C.O.). Elle peut donc remplacer un C.O. dans des montages apparentés à ceux étudiés en J6. Exemple : montage Hartley (fig. 62). La liaison à l'amplificateur est adaptée en choisissant convenablement les points de connexion M et N sur la ligne.

b) Utilisations

Émetteurs AM en ondes métriques (VHF) jusqu'à 200 MHz, utilisés en émission de trafic amateur pour oscillateurs VFO.

2° Oscillateurs à cavités

— Une cavité résonnante possède une inductance L , une capacité C , une résistance HF, un coefficient de surtension $Q = 1/R \sqrt{L/C}$.

— Elle a une faible résistance en HF (laiton argenté ou doré). Le coefficient de surtension est élevé, d'où grande stabilité ($Q = 5000$, dans le cas de la figure ci-contre).

— Une cavité ne rayonne pratiquement pas, d'où faibles pertes.

a) Principe d'un oscillateur à cavité

La figure 63 indique le schéma de montage pratique, et la figure 64 le schéma équivalent.

Le transistor AF 239 permet d'atteindre 650 MHz. Ici $f_r = 250$ MHz ($\lambda = 120$ cm).

Les boucles de couplage sont constituées par du fil 12/10 isolé par perles de verre ou de stéatite. Le couplage est réglé juste suffisant pour entretenir les oscillations lorsque l'oscillateur est chargé, afin d'avoir une stabilité suffisante. La fréquence peut être ajustée en modifiant le volume de la cavité.

b) Utilisations

Émetteurs AM en ondes métriques au-delà de 200 MHz et en ondes décimétriques (UHF) au-dessus de 300 MHz pour oscillateurs à fréquence variable (VFO).

3° Oscillateurs à tubes spéciaux

En ondes décimétriques (UHF) ou centimétriques (SHF), on utilise des magnétrons pour oscillateurs de puissance (chauffage HF, radar) ou des klystrons réflex (fig. 65) en radar de 1000 à 30 000 MHz, ou comme source d'hyperfréquences de faible puissance.

VI - STABILISATION DES OSCILLATEURS EN FRÉQUENCE

1° Action sur les éléments du montage

a) Utiliser L et C (au mica) de haute qualité, évitant leurs variations sous l'influence de l'humidité, de Δt et du vieillissement. L'emploi de C céramiques de correction de dérive de fréquence à $\alpha(-)$ peut compenser le coefficient de température positif des bobines.

b) Emploi d'un C.O. à grand C et petite L car les faibles C manquent de stabilité.

c) Utilisation de bobines ayant un facteur de qualité $L\omega/R$ élevé.

d) En émission professionnelle, remplacer le C.O. par un quartz.

2° Réduction de l'influence des facteurs extérieurs

a) Blinder magnétiquement le circuit oscillateur.

b) Stabiliser la tension d'alimentation.

c) Utiliser une enceinte thermostatique (oscillateurs à quartz à haute stabilité).

d) Utiliser un étage séparateur à forte résistance d'entrée.

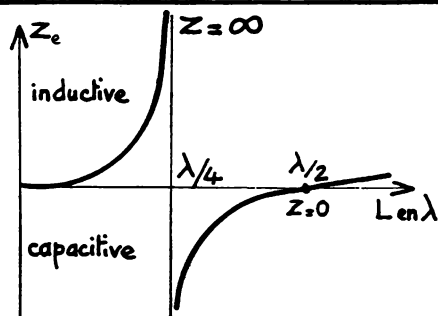


Fig. 60 — Impédance d'entrée d'une ligne fermée

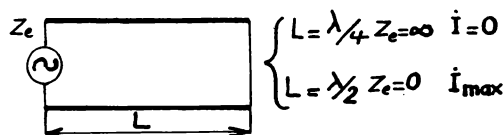


Fig. 61 — Ligne fermée

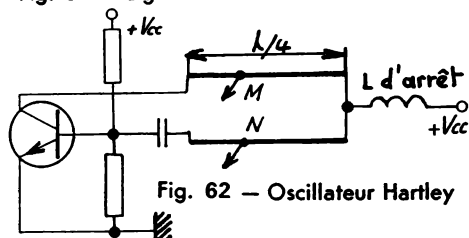


Fig. 62 — Oscillateur Hartley

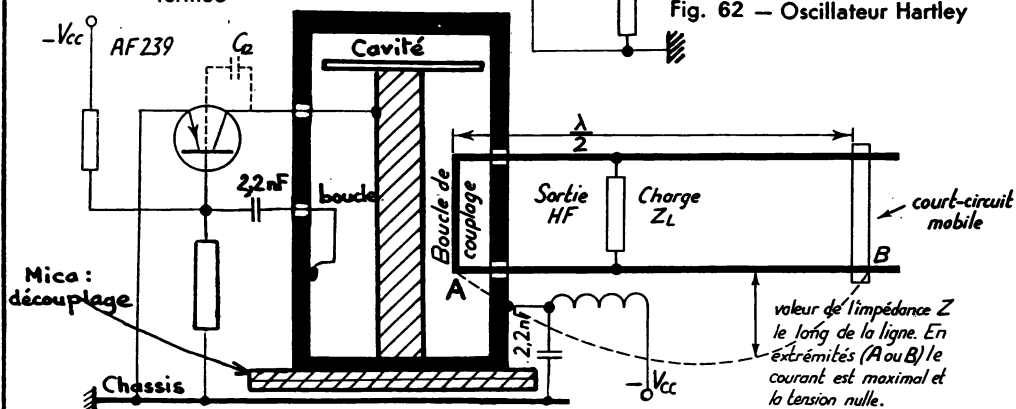


Fig. 63 — Schéma de montage

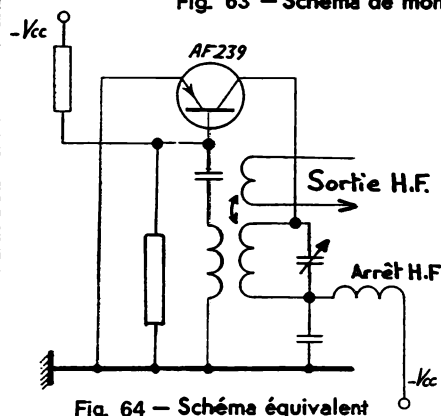


Fig. 64 — Schéma équivalent

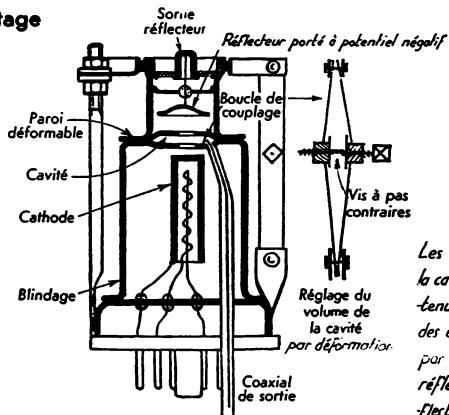


Fig. 65 — Klystron-réflex

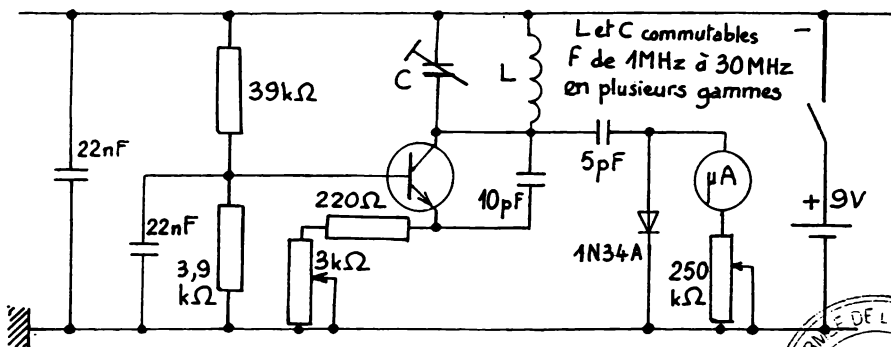


Fig. 69 — Ondemètre (montage BC)

Lorsqu'un CO est couplé à \bar{L} le courant d'oscillation diminue à l'excès.
On détermine ainsi la fréquence de résonance.

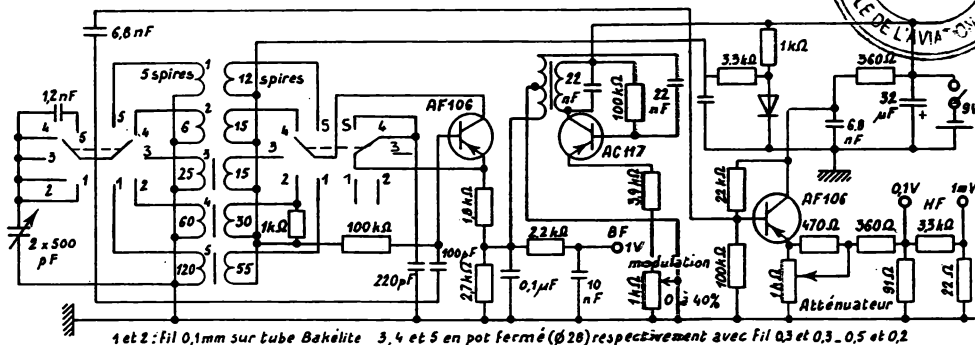


Fig. 70 — Générateur HF 120 kHz à 20 MHz en 5 gammes

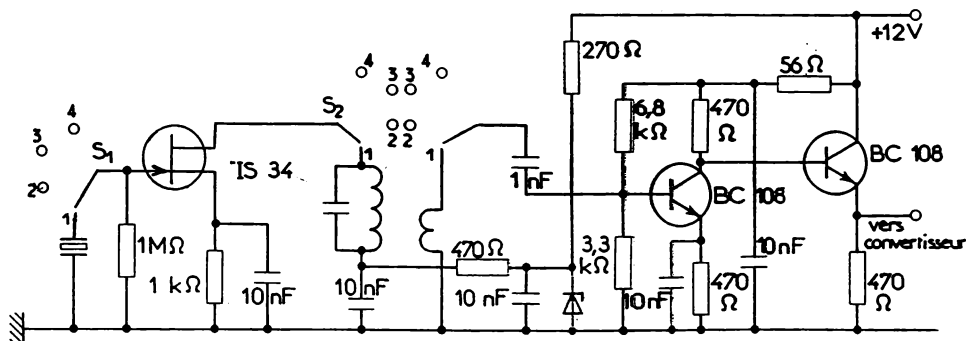
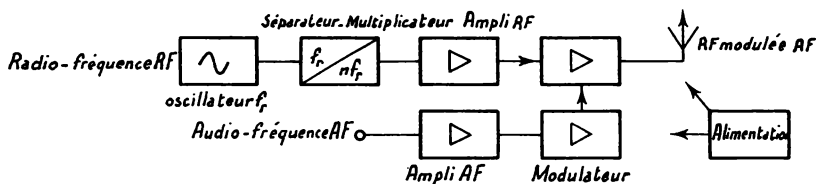


Fig. 71 — Oscillateur pour émetteur (4 fréquences fixes)

I - ÉMISSION EN MODULATION D'AMPLITUDE (M.A.)

1° Organigramme d'un émetteur M.A.



2° Etages intermédiaires

a) *Séparateur*: c'est un étage placé après l'oscillateur et constituant pour celui-ci une charge constante en vue d'améliorer la stabilité. Les variations de puissance en sortie n'influencent pas l'oscillateur. Un étage multiplicateur peut jouer le rôle de séparateur.

b) *Multiplieurs de fréquence*: ils permettent, à partir de f_r , d'obtenir une fréquence multiple. Les avantages sont:

- Stabilité des oscillateurs plus facile à obtenir lorsque la fréquence est basse.
- Quartz pour fréquence peu élevée moins coûteux et moins fragile, car il est plus épais.
- Un seul quartz suffit pour piloter sur plusieurs fréquences harmoniques.

Les différentes façons de procéder sont les suivantes:

- *Multiplieur oscillateur*: le quartz travaille sur un de ses partiels mécaniques (3, 5 ou 7) ou l'oscillateur est réglé pour obtenir de la distorsion harmonique. L'harmonique désiré est sélectionné par un C.O. accordé à la sortie.

- *Multiplieur indépendant* (fig. 1): c'est un étage polarisé (en classe C) de façon à travailler dans une région non linéaire de la caractéristique, d'où la production d'harmoniques. Le C.O. de sortie est accordé, comme ci-dessus, sur l'harmonique désiré.

- *Multiplieur à varactor* (fig. 2 et 3): ce sont des diodes au silicium à capacité variable dont on utilise la variation non linéaire de la capacité en fonction de la tension en vue de la production d'harmoniques. Le principe apparaît à la figure 2. F_1 est un filtre dont l'impédance est nulle pour la fréquence d'entrée f_r . F_2 est un filtre dont l'impédance est nulle pour la fréquence de sortie ($2f_r$ ou $3f_r$). Les bobinages L_1 et L_2 accordent C sur les fréquences d'entrée et de sortie. La figure 3 montre une réalisation pratique. Les varactors sont utilisés en VHF et UHF.

c) *Amplificateurs R.F.* (fig. 4 à 6).

Ce sont des étages accordés fournissant la puissance nécessaire à l'excitation de l'étage final. La figure 4 représente le montage le plus classique avec C.O. accordé au collecteur. La liaison à l'étage suivant se fait soit par transformateur, soit par autotransformateur avec capacité de liaison. Le principe de calcul exposé ci-contre fait apparaître la nécessité d'une prise intermédiaire (fig. 5). La capacité de neutrodynage C_n a pour but d'annuler les effets de la réaction positive créée par la présence de la capacité C_{12} du transistor entre collecteur et base. La tension ramenée par C_n doit être égale et en opposition de phase avec celle ramenée à l'entrée par C_{12} .

L'emploi d'un montage cascade à l'entrée procure un certain nombre d'avantages (voir fig. 64 en K11).

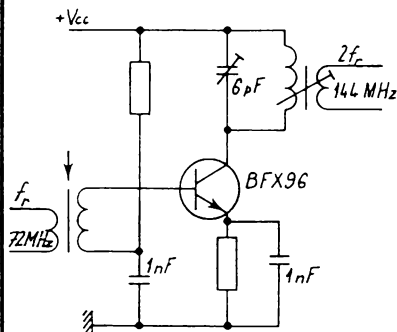


Fig. 1 — Doubleur de fréquence

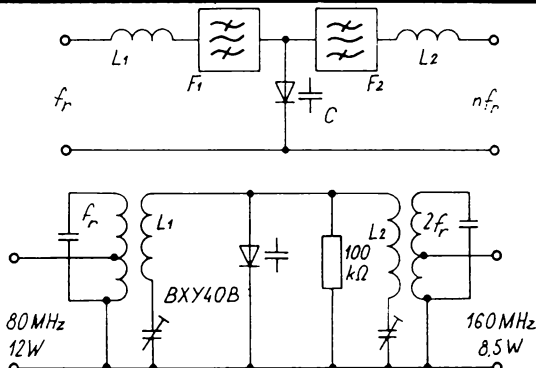


Fig. 2 et 3 — Multiplieurs à « varactor »

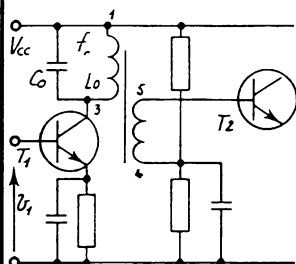
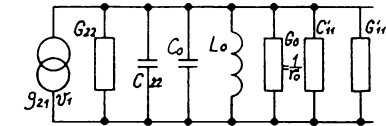
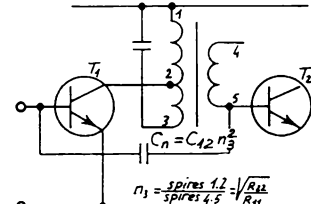
Fig. 4 —
Amplificateur RF à CO accordé

Fig. 5 — Schéma équivalent

Fig. 6 — Schéma amélioré



Élément de calcul:

— Choix des transistors $\rightarrow g_{21} C_{11} R_{11} C_{22} R_{22} C_{12}$ — Coefficient de qualité en charge $Q_c = \frac{f_r}{B_3}$ 

$$Q_0 = \frac{1}{f_0} \sqrt{\frac{L_0}{C_0}}$$

On évalue f_0 d'où $\frac{L_0}{C_0} = Q_0^2 r_0^2$
 et $L_0 C_0 = \frac{1}{\omega_0^2}$ } on en déduit L_0 et C_0 (somme des capacités en parallèle)

— Résistance d'amortissement en charge.

$$R_0 = \frac{Q_0 Q_c \sqrt{L_0 C_0}}{Q_0 - Q_c} = R'_{11} \parallel R'_{22} \quad \text{À l'adaptation on en déduit : } R'_{11} = R'_{22} = 2R_0$$

$$\text{— Rapport de transformation } n_1 = \frac{\text{spires } 1.3}{\text{spires } 4.5} = \sqrt{\frac{R'_{11}}{R_{11}}}$$

Comme R'_{22} ne correspond pas au R_{22} transistor, on réalise un point intermédiaire tel que $n_2 = \frac{\text{spires } 1.3}{\text{spires } 1.2} = \sqrt{\frac{R'_{22}}{R_{22}}}$
 On obtient ainsi la fig. 6 et $C_{11} = \frac{C_{11}}{n_1^2}$ $C_{22} = \frac{C_{22}}{n_2^2}$ d'où $C_0 = C - C_{11} - C_{22}$

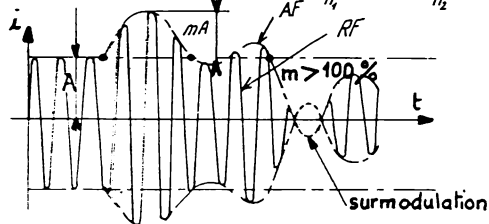
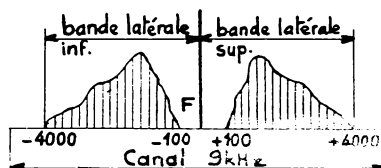


Fig. 7 — Onde porteuse modulée en amplitude

Fig. 8 — Modulation à porteuse
et double bande latérale : DBL

3° Modulation d'amplitude

a) Principe (fig. 9 et 10).

La modulation consiste à transposer sur la porteuse RF de fréquence F , d'amplitude A , le signal AF à transmettre de fréquence f d'amplitude mA (fig. 7).

L'amplitude de l'onde modulée peut s'écrire :

$$a = A(1 + m \cos \omega t) \cos \Omega t,$$

soit, après transformation trigonométrique :

$$a = A \cos \Omega t + \frac{mA}{2} \cos (\Omega - \omega) t + \frac{mA}{2} \cos (\Omega + \omega) t.$$

A : amplitude de l'onde porteuse de fréquence $F = \Omega/2\pi$

mA : amplitude de l'onde transposée de fréquence $f = \omega/2\pi$

m : rapport des deux amplitudes appelé taux de modulation (exprimé en %)

b) Puissance modulée

$$P_{\text{mod}} = P(1 + m^2/2)$$

P_{mod} : puissance totale

P : puissance de la porteuse.

Toutes choses égales par ailleurs, deux émetteurs doivent émettre sous des puissances P_1 et P_2 telles que $P_1/P_2 = (m_2/m_1)^2$ pour que les intensités à la réception soient égales.

Ainsi un émetteur de 10 W modulé à 100 % donnera les mêmes résultats qu'un émetteur de 40 W modulé à 50 %. On a donc intérêt à utiliser le taux de modulation le plus grand possible.

c) Bandes latérales

La formule ci-dessus montre que la transmission correcte d'une onde modulée en amplitude nécessite la transmission de trois fréquences ($F - f$), F , ($F + f$) d'amplitudes respectives $mA/2$, A et $mA/2$.

Les deux fréquences situées de part et d'autre de F s'appellent fréquences latérales.

Lorsque l'onde est modulée, non par une sinusoïde pure, mais par une modulation complexe comprenant toutes les fréquences de 100 Hz à 4000 Hz par exemple, le spectre comporte une fréquence porteuse centrale F entourée de deux bandes latérales comprises entre ($F - 4000$) et ($F + 4000$). La largeur de bande totale vaut 8 kHz. Elle ne doit pas dépasser la valeur du canal attribué à chaque émetteur fixée à 9 kHz (fig. 8).

d) Modulation en classe A.

La caractéristique de transfert entre l'entrée et la sortie d'un étage modulé doit être non linéaire pour qu'il y ait modulation. On peut utiliser la caractéristique d'un transistor à effet de champ *TEC* (fig. 11). Les deux tensions RF et AF sont appliquées à la grille (fig. 12). Le signal modulé est recueilli sur le *C.O.* du drain. Les bobines d'arrêt HF associées aux condensateurs de découplage ont pour but d'éviter la circulation de courants HF dans les circuits AF ou vers l'alimentation. Les *C.O.* sont accordés par capacités ajustables et les couplages entre secondaires et primaires sont réglés par des noyaux en ferrite ajustables. Le transformateur accordé en sortie doit avoir une forte sélectivité. Sa bande passante doit permettre le passage des bandes latérales et l'élimination des harmoniques.

Les inconvénients du système de modulation sont le taux de modulation $\leq 80\%$ et le faible rendement. Une variante à circuit intégré est représentée fig. 66 en K11.

e) Modulation en classe C (1).

Pour augmenter le rendement on règle l'amplificateur en classe C (fig. 13). Pour cela le transistor (fig. 14) est polarisé au-delà du blocage par une tension positive appliquée à l'émetteur par le pont diviseur $R_1 R_2$, la base étant à la masse en continu. La modulation par le collecteur (fig. 65 en K11) permet un taux de modulation plus élevé et des réglages plus faciles.

(1) Sur étage de puissance HF, la classe C permet des rendements de 90 à 100 %.

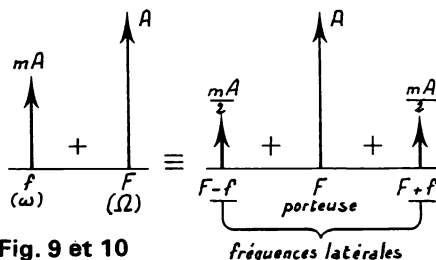


Fig. 9 et 10

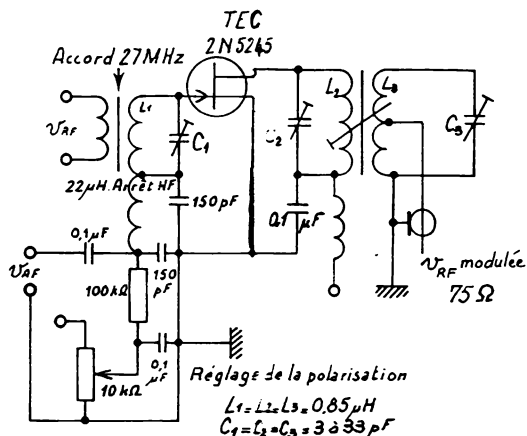
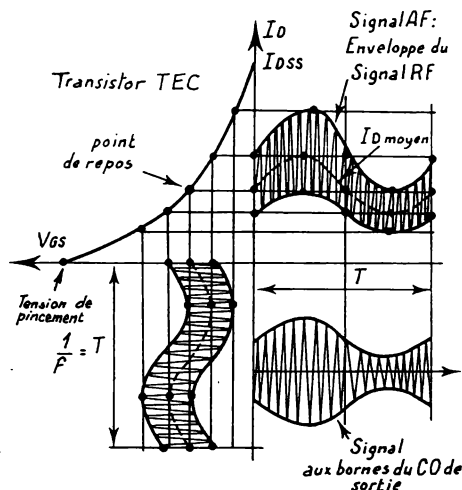


Fig. 12 Modulation par la grille d'un TEC

Fig. 11 — Modulation classe A

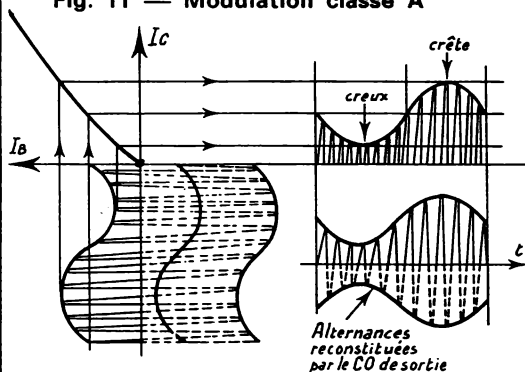


Fig. 13 — Modulation classe C

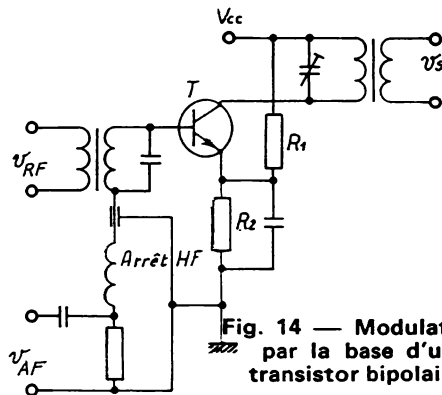


Fig. 14 — Modulation par la base d'un transistor bipolaire

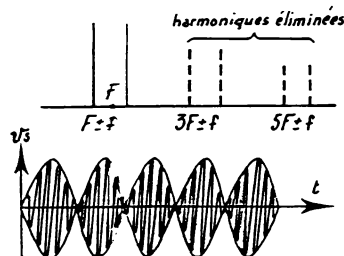
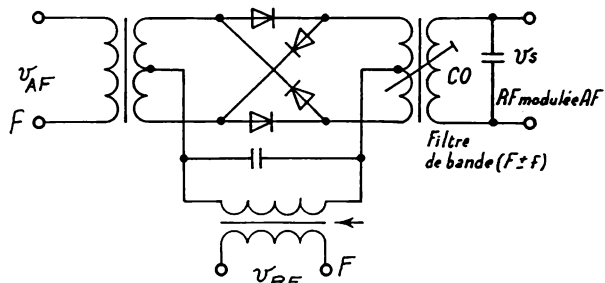


Fig. 15 à 17 — Modulateur en anneau

f) Modulation sans porteuse

Réalisée au moyen d'un modulateur en anneau (fig. 15 à 17) (fig. 67 en K11), elle permet d'obtenir deux raies latérales (deux bandes latérales dans le cas général) sans fréquence porteuse (fig. 16). Les harmoniques supérieurs sont éliminés par filtrage. Toute l'information AF étant contenue dans une seule bande latérale, on élimine l'autre par filtrage (émission à bande latérale unique BLU). Les avantages principaux sont :

- efficacité d'une émission BLU huit fois supérieure à celle d'une émission classique ;
- place occupée en fréquence moitié moindre (3000 Hz en téléphonie) ;
- discrétion relative des communications, car la réception n'est pas possible sur un récepteur ordinaire ; il faut rétablir la porteuse centrale pour pouvoir démoduler.
- économie d'énergie (énergie véhiculée par la porteuse supprimée).

Une modulation sans porteuse peut être obtenue au moyen de circuits intégrés spéciaux (fig. 68 et 70 en K11).

II - ÉMISSION EN MODULATION DE FRÉQUENCE (M.F.)

1° Principe

Les figures 18 à 20 montrent comment s'effectue la modulation. La fréquence porteuse RF varie de part et d'autre de la fréquence centrale au rythme de la modulation AF.

Théoriquement, la MF nécessite la transmission d'une infinité de raies latérales. Pratiquement, on limite l'excursion à 150 kHz sans inconvénient (fig. 21 et 22).

Les caractéristiques normalisées des émissions en MF sont portées dans le tableau ci-contre.

2° Procédés de modulation (1)

a) Microphone HF (fig. 23)

C'est un microphone à condensateur mis en parallèle sur le C.O. d'un oscillateur HF. La variation de capacité du microphone module directement la HF de l'oscillateur.

b) Modulation par diode à capacité variable «Varicap» (fig. 24)

La capacité de la diode polarisée en inverse par la tension V_0 est mise en parallèle sur le C.O. La modulation se fait en superposant la tension AF à V_0 . La capacité de la diode varie au rythme de la modulation. Il faut appliquer ΔV_0 relativement faible pour limiter la distorsion pendant une alternance. C'est le procédé le plus utilisé.

c) Modulation par noyau en ferrite saturé (fig. 25)

La tension V crée un champ H qui sature le noyau. Lorsqu'on superpose à la tension V la tension de modulation, le champ H est modulé au même rythme, ainsi que la perméabilité μ du noyau (fig. 26). Il en résulte que l'inductance du circuit oscillant $L = k\mu$ varie aussi au même rythme. L'inconvénient du procédé est qu'il nécessite un champ H_0 élevé (V_0 grande). De plus, les variations rapides sont mal reproduites.

d) Modulation par Cl-8038 (fig. 69 en K11)

3° Avantages de la modulation de fréquence

- Haute fidélité : reproduction correcte des fréquences jusqu'à 15000 Hz.
- Dynamique orchestrale respectée.
- Taux de modulation non limité.
- Peu sensible aux parasites d'amplitude.
- Insensibilité aux parasites renforcée par l'utilisation d'antennes directives.
- Meilleure sélectivité.
- Puissance émise à l'émission constante.

4° Inconvénients

- Bruit de fond élevé. On augmente le rapport signal/bruit de fond à l'émission au moyen d'un filtre de préaccentuation qui élève le niveau des hautes fréquences. On fait l'opération inverse (filtre de désaccentuation) à la réception pour rétablir le niveau.
- Rayonnement des émetteurs localisé.
- Circuits de réception plus compliqués, donc plus coûteux.
- La propagation des ondes en ligne droite en VHF limite la portée et il faut des relais pour les liaisons à longue distance.

(1) D'après $LC\omega^2 = 1$, il existe deux groupes de procédés pour moduler en fréquence, ceux utilisant les variations de C en fonction du signal modulant et ceux qui utilisent les variations de L .

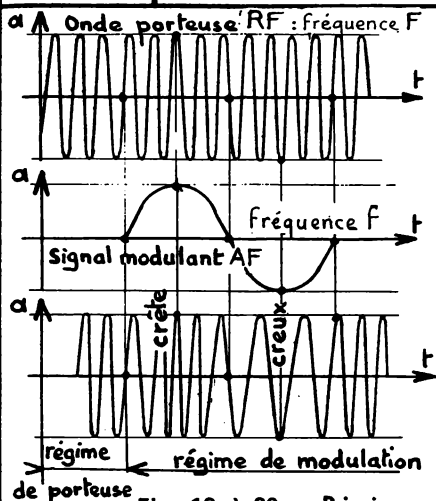


Fig. 18 à 20 — Principe

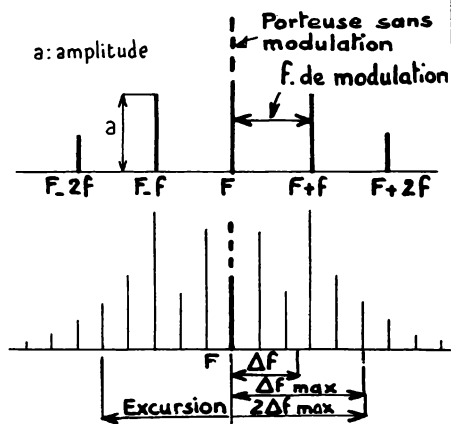


Fig. 21 et 22 — Raies latérales

CARACTÉRISTIQUES NORMALISÉES

| | |
|---|--|
| Gamme des émissions F.M. | 87,5 à 100 MHz |
| Largeur d'un canal | 200 kHz |
| Nombre de canaux | 62 |
| Excursion de fréquence | $2\Delta f_{\max} = 150 \text{ kHz}$ |
| Déviation de fréquence | $\Delta f_{\max} = \pm 75 \text{ kHz}$ |
| Fréquence intermédiaire à la réception | FI : 10,7 MHz |
| Bande passante des étages FI à la réception | 200 kHz |
| Constante de temps du filtre de préaccentuation | $\tau = RC = 75 \mu s$ |
| Indice de modulation | $n = \Delta f_{\max}/f$ |

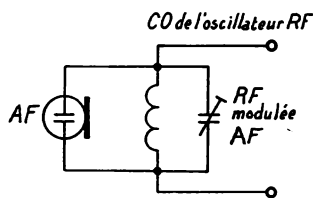


Fig. 23 — Microphone HF (ou RF). Modulation par capacité variable

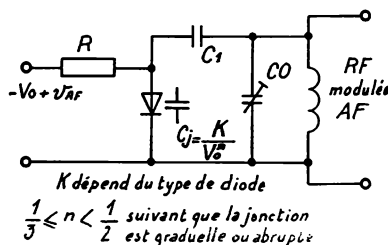


Fig. 24 — Modulation par diode à capacité variable « varicap »

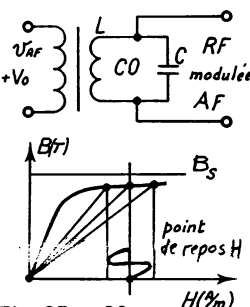
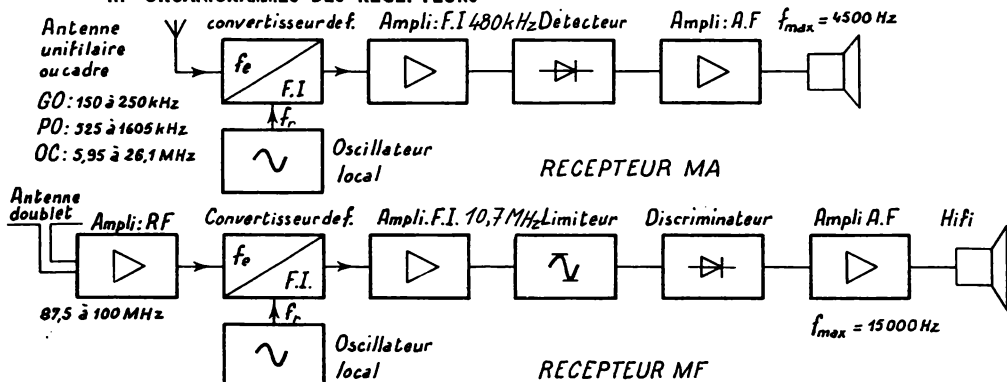


Fig. 25 et 26 — Modulation par noyau de ferrite saturé

III - ORGANIGRAMMES DES RÉCEPTEURS



IV - CHANGEMENT DE FRÉQUENCE (ou conversion de fréquence)

1° Principe

Récepteur à amplification directe : récepteur dans lequel l'amplification avant démodulation est réalisée uniquement sur la fréquence porteuse et les fréquences voisines. Ils ont de nombreux inconvénients (manque de stabilité, faible rendement, manque de sélectivité, difficulté de réglage) et ne sont plus utilisés que pour des récepteurs très simples (radio commande).

Récepteur hétérodyne : récepteur d'ondes entretenues dans lequel l'onde incidente est rendue audible par battement avec une oscillation de fréquence voisine fournie par un oscillateur de battement. Ce mode de réception est utilisé en télégraphie.

Récepteur superhétérodyne : récepteur dans lequel les oscillations produites par l'onde incidente sont combinées avec celles provenant d'un oscillateur local pour donner des oscillations à fréquence fixe (fréquence intermédiaire FI). C'est ce type de réception qui est utilisé sur tous les récepteurs de radiodiffusion «grand public».

2° Méthode des battements

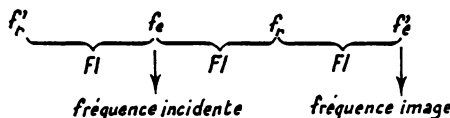
Lorsqu'on superpose à la fréquence d'entrée f_e la fréquence de l'oscillateur local f_r , on obtient un signal résultant complexe comprenant les fréquences f_e , f_r , $f_e \pm f_r$, et de nombreux harmoniques des fréquences précédentes.

Si la charge du transistor qui réalise la superposition est un circuit bouchon accordé sur $FI = f_r - f_e = 480$ kHz (ou 455 kHz), seule cette fréquence sera sélectionnée.

En ondes kilométriques (GO) et hectométriques (PO), on utilise le battement infradyne ($f_e < f_r$). La fréquence f_r étant plus élevée, les CV sont plus petits donc moins encombrants et moins coûteux.

En ondes décamétriques (PO), on utilise le battement supradyné ($f_r < f_e$), car la fréquence de l'oscillateur local étant plus faible, elle est plus facile à maintenir constante.

3° Fréquence image



Si la fréquence de l'oscillateur local est f_r , on remarque que la fréquence intermédiaire peut être obtenue par une autre fréquence d'entrée f'_e symétrique de la fréquence f_e par rapport à f_r . Cette fréquence f_e est appelée fréquence image et donne lieu à une réception parasite.

Cette réception produit un sifflement si la plage de fréquences est supérieure à la différence $f'_e - f_e = 2 FI = 960$ kHz (ou 910 kHz).

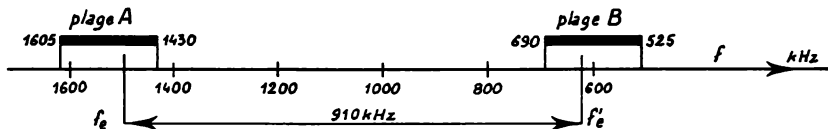
3° Fréquence image (suite)

a) Ondes kilométriques (GO)

Le battement sur la fréquence image n'est pas à craindre, car la plage de fréquences (150 à 250 kHz) est nettement inférieure aux valeurs ci-dessus.

b) Ondes hectométriques (PO)

Le battement sur la fréquence image est possible, comme le montre le graphique ci-dessous.



Avec $FI = 455$ kHz, nous voyons par exemple qu'en recevant une émission sur la plage A nous pourrions avoir une émission parasite par un émetteur situé sur la plage B.

- Ce risque est diminué
- en augmentant la sélectivité,
 - en augmentant la valeur de la FI (480 kHz meilleur que 455 kHz),
 - en utilisant à l'entrée un circuit présélecteur.

c) Ondes métriques (OC)

Le risque est grand de recevoir la fréquence image du fait de la plage de fréquences étendue (20 MHz), d'où l'intérêt d'utiliser des bandes étalées pour rejeter la fréquence image en dehors. Certains récepteurs professionnels ou militaires utilisent une fréquence intermédiaire assez élevée.

4° Choix du mode de changement de fréquence

a) Changement de fréquence additif

Les signaux d'entrée et de l'oscillateur local sont appliqués en série sur le circuit base émetteur du transistor convertisseur. La tension de sortie est proportionnelle à la somme des deux tensions d'entrée. C'est le mode le plus utilisé en radiodiffusion et télévision, car c'est le plus simple à mettre en œuvre.

b) Changement de fréquence multiplicatif

Les signaux d'entrée et de l'oscillateur local sont appliqués sur chacune des portes d'un transistor MOS à double porte. La tension de sortie aux bornes de la charge est proportionnelle au produit des deux tensions d'entrée. La distorsion est plus faible, le rayonnement ⁽¹⁾ négligeable, le taux de transmodulation ⁽²⁾ dix fois plus faible qu'avec les transistors bipolaires.

c) Changement de fréquence par détection diode

En UHF on utilise une détection par diode à cristal, car le temps de transit est plus faible.

d) Double changement de fréquence

Utilisé sur récepteurs de trafic en MA ou sur récepteurs professionnels, il permet une augmentation importante de la sélectivité.

5° Avantages du changement de fréquence

- Réglages simplifiés : les circuits à fréquence intermédiaire sont fixes.
- Amplification à FI facile, importante et uniforme sur toutes ondes.
- Excellent rendement en ondes décamétriques (et métriques), car dans un amplificateur à FI les pertes sont plus faibles que dans un amplificateur RF et le gain est plus élevé.
- Rendement de démodulation augmenté à cause de l'amplification préalable importante permettant une démodulation linéaire.
- Sélectivité élevée : l'écart relatif entre deux stations est plus grand en moyenne fréquence qu'en haute fréquence et les $C.O.$ sont accordés au minimum de couplage.

(1) Rayonnement : émission par l'antenne des fréquences f_0 de l'oscillateur local ou de la FI .

(2) Transmodulation : influence d'un « brouilleur » sur la fréquence utile.

6° Inconvénients du changement de fréquence

- Difficulté de réaliser un écartement constant (455 ou 480 kHz) entre les fréquences f_e et f_r .
- A sensibilité égale, le bruit de fond ou souffle est plus grand qu'en réception directe. On diminue le bruit de fond en augmentant la pente de conversion ou en utilisant un amplificateur RF à l'entrée. Celui-ci augmente par ailleurs la sélectivité.
- Du glissement de fréquence peut apparaître, par suite du manque de stabilité de l'oscillateur local (surtout sensible en OC).
- Production de sifflements provoqués par :
 - la fréquence image,
 - la réception d'une fréquence voisine de la fréquence intermédiaire: par exemple un signal sur 452 kHz combiné à 455 kHz donnera un sifflement de fréquence 3000 Hz; c'est la raison pour laquelle la FI est choisie dans une gamme pratiquement non utilisée;
 - la composition entre les harmoniques de la FI et la fréquence d'un émetteur perturbateur reproduisant f_e ; on diminue les harmoniques de la FI en utilisant un couplage lâche du CO de l'oscillateur local.
- Le rayonnement extérieur provoqué à l'antenne par la FI et pouvant perturber des récepteurs proches. On utilise dans ce cas, si nécessaire, un circuit accordé éliminant la FI à l'entrée du récepteur (réjecteur FI).
- Le rayonnement extérieur sur la fréquence f_r de l'oscillateur local dû aux capacités parasites ou à un couplage magnétique amenant f_r sur le circuit d'entrée. Pour l'annuler, on utilise un amplificateur RF présélecteur à l'entrée et on blinde les bobinages d'entrée et de l'oscillateur.

7° Convertisseurs en modulation d'amplitude

Fig. 30 - C'est un montage type employé lorsque la fréquence incidente est inférieure à 2 MHz. Les valeurs des condensateurs variables normalisés sont 280 pF \times 2 et 280/120 pF. Dans ce dernier cas, la valeur du CV oscillateur étant plus petite, le «padding» est supprimé.

L'oscillateur est à transistor BC, montage présentant une résistance d'entrée faible (quelques dizaines d'ohms). Il faut prévoir l'adaptation au primaire du CO par prise intermédiaire.

En général, le signal incident est appliqué à la base et le signal de l'oscillateur local à l'émetteur.

L'enroulement d'entretien sur le collecteur est déterminé en fonction de la tension à obtenir aux bornes du CO.

Fig. 31 - Ce montage est utilisé lorsque la fréquence incidente est supérieure à 2 MHz. Il nécessite l'emploi de transistors à diffusion dont la fréquence de coupure est élevée.

Le montage précédent est modifié pour tenir compte :

- De l'angle de phase de la pente de conversion, d'autant plus différent de 180° que la fréquence est plus élevée.

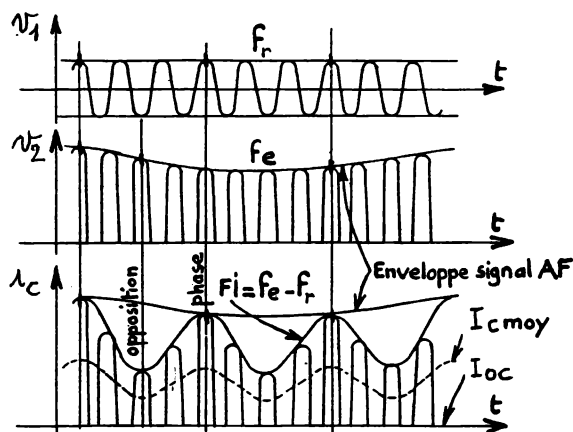
La valeur du condensateur C_1 est choisie de façon à compenser le retard de phase du courant collecteur par rapport au signal d'entrée. Ce condensateur forme avec la résistance d'entrée en BC du transistor un circuit déphaseur.

- De la faible différence relative de la fréquence du signal incident et de la fréquence de l'oscillateur local, risquant de provoquer le blocage par entraînement du circuit d'entrée.

Pour cela, il ne faut pas que le signal en provenance de l'oscillateur n'apparaisse entre base du transistor et le point zéro. On utilise un montage en pont, obtenu en pratiquant une prise médiane sur l'enroulement de couplage et en compensant la résistance et la capacité d'entrée par les éléments externes R_2 et C_2 .

Autres procédés :

Nous avons déjà mentionné le changement de fréquence multiplicatif utilisant un transistor MOS à double porte. Divers montages peuvent être étudiés à partir de circuits intégrés comme le modulateur en anneau (fig. 15 en K2), le détecteur de produit (fig. 68 en K11) et le circuit multiplieur (fig. 70 en K11). Dans chaque cas, on sélectionne en sortie la fréquence ($f_e - f_o$) au moyen d'un filtre sélectif.



Fréquence intermédiaire :

$$F_i = f_e - f_r$$

Fréquence image, f'_e telle que :

$$F_i = f_r - f'_e$$

Pente de conversion :

$$S_c = \frac{\Delta I_c}{\Delta V_{BE}} \leftarrow \text{fréquence } F_i$$

Elle est maximale si le transistor est polarisé en classe B au repos ($I_{oc} = 0$)

$$S_{c_{max}} = \frac{S}{\pi} \approx \frac{g_m}{\pi}$$

Fig. 27 à 29 — Principe du changement de fréquence additif

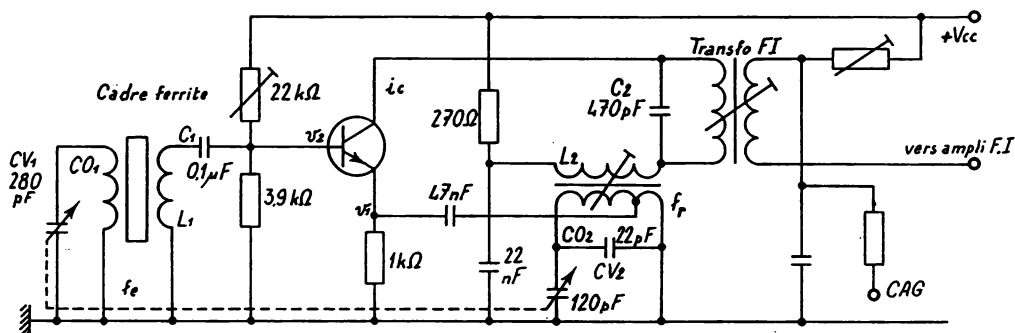


Fig. 30 — Oscillateur-mélangeur pour récepteur MA (gamme PO)

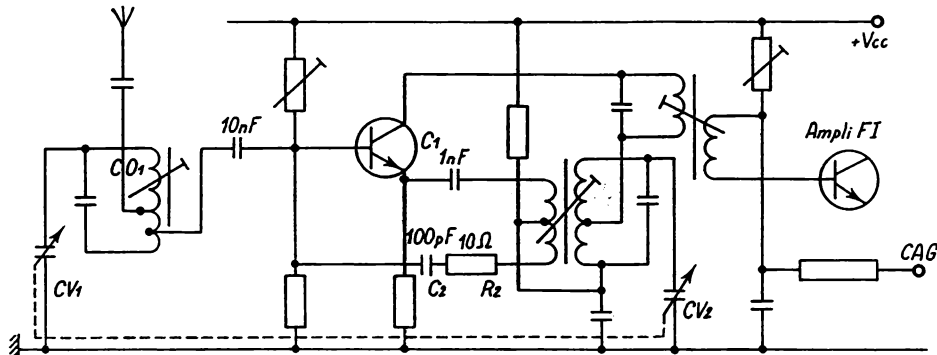


Fig. 31 — Oscillateur-mélangeur pour récepteur MA (gamme OC)

8° Convertisseur en modulation de fréquence (fig. 32)

Les transistors sont du type plan épitaxié dont la fréquence de coupure peut atteindre 500 MHz. Le premier étage (transistor BF 215) est un amplificateur RF.

Un fonctionnement stable sans neutrodynage nécessite un montage de transistor à base commune. Le circuit oscillant d'entrée est accordé sur le milieu de la bande. L'amortissement provoqué par l'antenne et par l'impédance d'entrée du transistor est tel que la bande de 86 à 100 MHz est couverte.

Le circuit oscillant du collecteur est accordé par un CV de 13 pF. On place une bobine d'arrêt RF sur le négatif de l'alimentation.

Le convertisseur (transistor BF 226) est du type additif. Le transistor est monté en base commune, le circuit oscillant de l'oscillateur est placé dans le circuit collecteur et le mélange des deux fréquences se fait sur l'émetteur.

L'oscillateur à collecteur accordé à ses oscillations entretenues par la réaction obtenue au moyen du condensateur ajustable de 6 pF qui permet de régler la réaction.

L'accord est obtenu par les bobinages variables LV_1 , LV_2 à noyaux plongeurs en ferrite, couplés mécaniquement. L_3C_3 est un réjecteur (ou trappe) accordé sur 10,7 MHz évitant à la FI d'être rayonnée par l'antenne.

• Commande automatique de gain (CAG)

Elle est obtenue par un dispositif automatique ayant pour but de maintenir sensiblement constant le niveau de la porteuse du signal utile avant détection, en agissant sur l'amplification des étages précédents.

Cette régulation est rendue nécessaire par les écarts de tension à l'entrée du récepteur pouvant varier entre 1 et 100 000. D'autre part, des phénomènes d'évanouissement plus ou moins périodiques (fading), dus à des défauts de propagation des ondes dans l'atmosphère, nécessitent d'augmenter l'amplification lorsque le signal diminue à l'entrée et inversement.

On utilise à cet effet la pente réglable des transistors RF. Lorsque la valeur moyenne de la tension détectée diminue, la polarisation du transistor RF commandée par la tension de CAG se déplace du côté de l'augmentation de pente, d'où une amplification plus grande.

• Commande automatique de fréquence (CAF)

Elle permet de compenser automatiquement la dérive de fréquence de l'oscillateur. Sur récepteur FM, le système est simple puisqu'on possède déjà le détecteur de fréquence. La composante continue détectée fournit une tension dont le sens varie en même temps que les variations de la FI. Il suffit de placer en parallèle sur le CO de l'oscillateur une diode à capacité variable avec la tension qui lui est appliquée (Varicap). Sa variation de capacité compense exactement la dérive de fréquence.

9° Commande unique

Quelle que soit la fréquence du signal à l'entrée, la fréquence intermédiaire FI doit rester constante. Cet écart constant doit être maintenu en commandant avec le même axe (commande unique) les deux CV, celui du circuit d'entrée et celui de l'oscillateur local.

Cette solution rigoureuse nécessite des bobines identiques et des CV à variation linéaire de fréquence dont les rotors sont décalés d'un angle convenable.

Pour des raisons de prix, on utilise deux CV «standard» identiques à profil circulaire (1) et des bobines différentes. Mais la différence FI ne peut plus être constante (fig. 33). On peut néanmoins, avec des condensateurs ajustables incorporés au CO de l'oscillateur local, obtenir une caractéristique corrigée qui coïncide en trois points avec la caractéristique idéale (fig. 37).

Deux dispositions peuvent être adoptées (fig. 34 et 35) :

- le condensateur en série C_p avec la bobine est appelé «padding» ;
- le condensateur en parallèle C_t avec le CV est appelé «trimmer».

Généralement C_p est fixe, le réglage se faisant avec C_t et L_0 . Le montage de la figure 34 permet un calcul précis des éléments du CO, alors que le montage de la figure 35 ne permet qu'un calcul approximatif.

L'action du trimmer est surtout sensible aux fréquences élevées (fig. 36 et 37).

L'action du padding est surtout sensible aux fréquences basses.

En OC on supprime le padding et le réglage se fait en deux points seulement.

(1) Pour la normalisation des CV standard ou midline, voir *Technologie d'électronique*, du même auteur. Quelquefois, on utilise des inductances variables (LV) à la place des condensateurs variables (CV). Un exemple est donné à la figure 32.

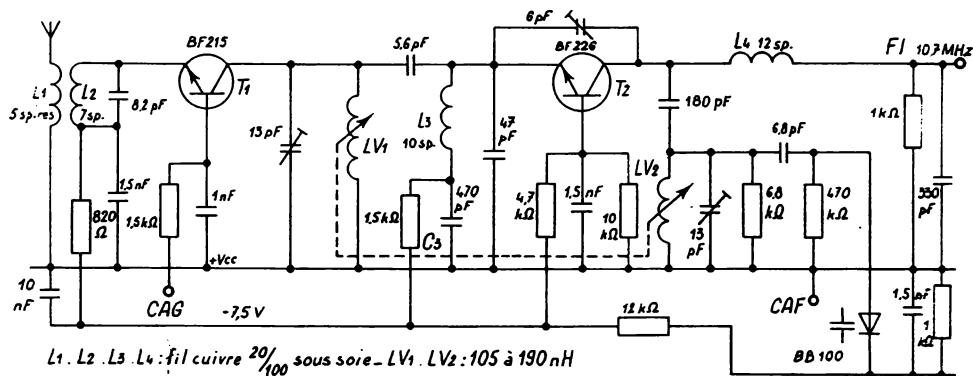
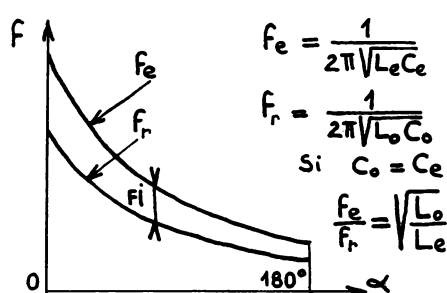
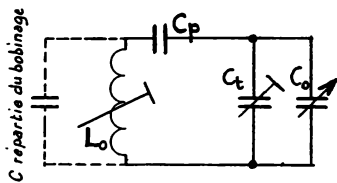
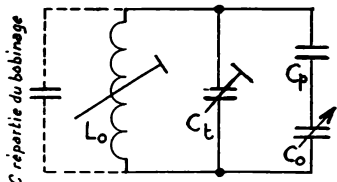
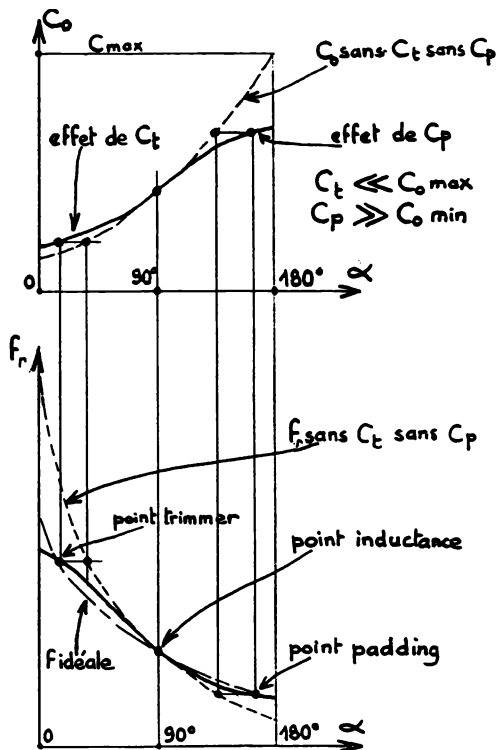


Fig. 32 — Ampli RF et oscillateur-mélangeur pour récepteur MF

Fig 33- Variation de f_e et f_o sans correctionFig. 34 C_p en série avec L_o Fig.35- C_p en série avec C_o Fig. 36 et 37 - Variation de f_o avec correction

V - CIRCUITS D'ENTRÉE

1° Réception sur antenne

Fig. 38 - Bloc d'accord type pour trois gammes d'ondes :

| | | | |
|----|-----------------|------------------|-------------------------|
| GO | 150 à 285 kHz | T_1 à T_6 : | condensateurs «trimmer» |
| PO | 525 à 1 605 kHz | P_1 et P_2 : | condensateurs «padding» |
| OC | 6 à 18 MHz | | |

Le changement de gammes se fait au moyen d'un commutateur rotatif à galettes, ou bien par un commutateur à tiroirs commandés par touches ou boutons poussoirs.

Les antennes pour récepteurs AM sont non directives ou peu directives. Elles doivent recevoir de larges bandes de fréquences et ne sont pas accordées.

L'antenne théorique quart d'onde est assimilable à un circuit oscillant ouvert avec un nœud d'intensité (ou un ventre de tension) au sommet (Z_{\max}) et un ventre d'intensité (ou un nœud de tension) à la base (Z_{\min}). Elle est le siège d'ondes stationnaires. L'antenne devant recevoir une large bande de fréquences, elle n'est pas accordée pour la plupart des fréquences. Elle est alors le siège d'ondes progressives et son efficacité est faible. Lorsqu'on ajoute une inductance en série, la longueur d'onde à la résonance est plus grande, ou une capacité en série, la longueur d'onde à la résonance est plus faible. L'effet est inverse si on place des réactances en parallèle.

La hauteur efficace d'une antenne d'appartement est d'environ 0,4 m.

Le couplage au circuit d'entrée peut être du type capacitif ou inductif. Celui de la figure 38 est du type à mutuelle inductance. Le gain est faible, mais si $L_1 > L_2$, il est relativement constant sur toute la gamme. Ce montage est très utilisé.

Fig. 40 - Bobinages d'accord avec bande étalée (BE utilisée sur gamme OC)

L'étalement des gammes d'ondes courtes est obtenu par deux condensateurs dont la valeur dépend de la bande choisie. Le condensateur C_2 abaisse les fréquences correspondant à la gamme normale, tandis que C_1 les augmente (fig. 39).

Parfois on utilise des CV auxiliaires de faible capacité, entraînés par le même axe que les CV habituels. Ils permettent un étalement continu de la gamme de fréquences.

— Sur certains récepteurs, le commutateur permet d'obtenir des stations prééglées.

Sur des récepteurs de bas prix de revient, les bobinages sont simplifiés. Ils sont montés en autotransformateur avec une partie commune aux différentes gammes d'ondes.

2° Réception sur cadre

Les cadres sont des collecteurs d'ondes sensibles à la composante magnétique du champ (1); les bobinages sont enroulés sur un bâtonnet en ferrite doux à grande perméabilité. Ils constituent les inductances du CO d'entrée. La réception en ondes décamétriques (OC) se fait généralement sur antenne.

Avantages : l'orientation du cadre dans la direction de l'émetteur le rend peu sensible aux parasites venant d'une direction perpendiculaire, et il permet d'éliminer des émetteurs gênants.

D'autre part, les parasites faisant surtout sentir leur action par la composante électrostatique, les cadres y sont peu sensibles.

Ils sont sélectifs, peu encombrants et universellement adoptés en réception grand public.

Fig. 41 - Bloc d'accord avec deux positions : antenne ou cadre

La touche C est liée mécaniquement à la touche A. En appuyant sur C on libère A, et les contacts supérieurs de A sont établis. La touche PO est solidaire de la touche GO. Il ne peut y en avoir qu'une d'enfoncée.

(1) La hauteur équivalente d'un cadre (H) correspond à la hauteur effective d'une antenne donnant une tension aux bornes du circuit d'entrée du récepteur équivalente à celle donnée par le cadre.

Hauteur effective : $h = 2\pi\mu n s / \lambda$.

$H = Q \cdot h$.

μ : perméabilité effective

s : section du cadre en m^2

n : nombre de spires

λ : longueur d'onde en m.

Cadre ferrite à haute impédance : $h = 0,006$ à $0,008$ m.

Le coefficient de qualité Q atteint pratiquement 250 à 1 MHz.

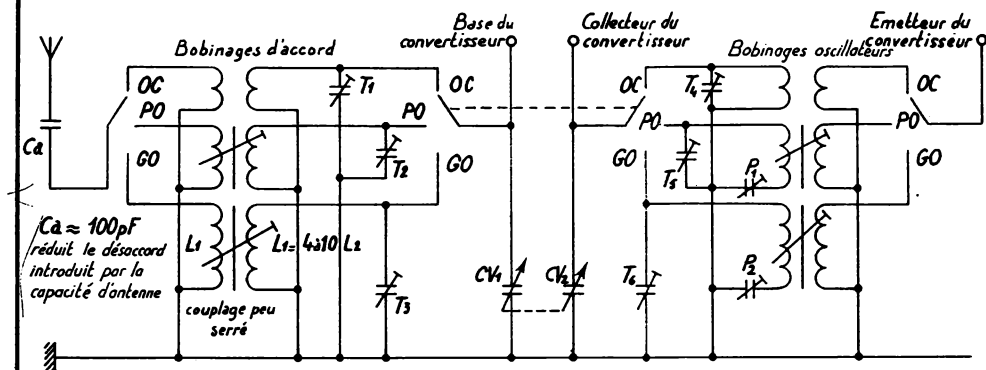


Fig. 38 — Bloc d'accord type avec réception sur antenne

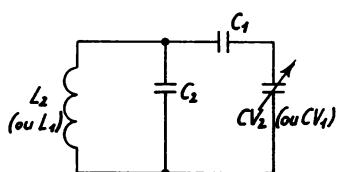
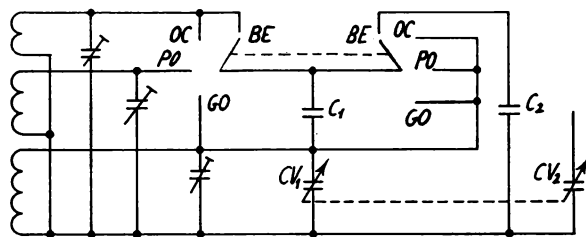
Fig. 39 — CO pour
bande étalée (BE)

Fig. 40 — Commutation avec bande étalée (BE)

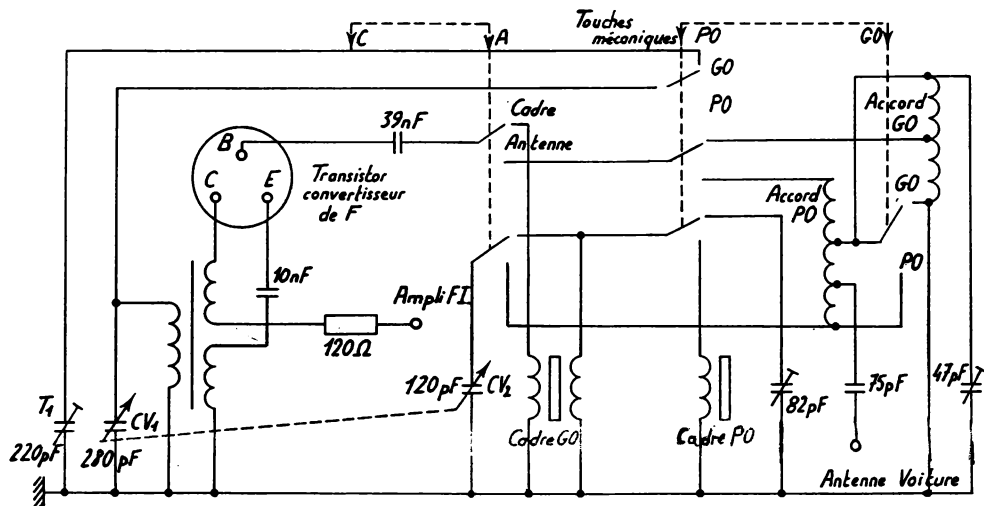


Fig. 41 — Bloc d'accord avec réception sur cadre ferrite

VI - AMPLIFICATION DE LA F.I.

1° Réception en MA

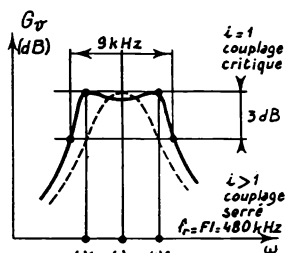
a) Principe

Après le changement de fréquence, la fréquence intermédiaire normalisée et fixe peut être amplifiée par des transistors HF de type «plan épitaxié» ou par des circuits intégrés spécialement étudiés pour cet usage avec des circuits pré-réglés.

Les liaisons entre les étages FI (deux étages) se font par des transformateurs accordés, ayant une excellente courbe de sélectivité tout en ayant une bande passante globale à 3 dB égale à 9 kHz afin de laisser passer convenablement le signal AF ($B_3 = 6$ kHz en téléphonie).

Les transformateurs sont différents et peuvent être soit à primaire seul accordé, soit à primaire et secondaire accordés.

Les deux premiers transformateurs sont réglés au couplage critique ($i = 1$) ou très légèrement au-dessus, le troisième avec un couplage plus serré ($i = 1,5$) pour compenser l'amortissement introduit par la diode de détection. Le couplage est réglé au moyen d'une vis en ferrite douce que l'on enfonce plus ou moins dans les bobinages. La courbe de sélectivité globale doit avoir la forme de la courbe en trait plein ci-contre ($B_3 = 9$ kHz).



$$\omega_1 = \omega_p / \sqrt{1+k} \quad \omega_2 = \omega_p / \sqrt{1-k}$$

$$\text{Facteur de couplage } k = M / \sqrt{L_1 L_2}$$

$$\text{Indice de couplage } i = k \sqrt{Q_1 Q_2}$$

$L_1 L_2$ inductances du primaire et du secondaire

$Q_1 Q_2$ coefficient de qualité de L_1 et L_2

b) Application

Fig. 42 - On utilise en général deux étages à FI, soit trois transformateurs. Les prises intermédiaires sur les enroulements permettent de diminuer l'amortissement provoqué par les faibles résistances en parallèle sur les CO. La fréquence de coupure des transistors doit être comprise entre 5 et 10 MHz. Ils sont polarisés et stabilisés de façon classique. La diode SFD106 est une diode d'amortissement utilisée en complément de la CAG qui polarise le premier transistor amplificateur (voir principe CAG en K6).

Le courant I_B du premier transistor amplificateur FI est commandé par la tension de CAG. Pour les signaux faibles, la diode D_1 est polarisée au blocage par la résistance R . Pour les signaux forts, le potentiel en A diminue par suite de la diminution de I_C consécutive à la diminution de I_B contrôlée par CAG. La diode se débloquent et amortit le CO, compensant ainsi partiellement l'augmentation de la résistance d'entrée du transistor. Le gain diminue et la bande passante du transformateur augmente.

La tension de CAG est à seuil réglable par le potentiomètre P .

En principe, il n'y a pas lieu de neutrodynage avec les transistors BF 233. Si un accrochage se produit, il suffit de brancher sur T_2 (éventuellement sur T_1) un condensateur céramique de 3,3 pF (C_n en pointillés sur la figure: voir principe du neutrodynage sur amplificateurs RF en K1).

2° Réception en MF

a) Principe

Les différences avec l'amplification FI en MA sont:

- $FI = 10,7$ MHz et $B_3 = 200$ kHz. (Pour obtenir une large bande les circuits sont surcouplés.)

- Nécessité d'utiliser trois à quatre étages d'amplification.

- Neutrodynage de chaque étage si nécessaire (cela dépend des types de transistors utilisés).

- Dernier étage fonctionnant généralement en limiteur d'amplitude. Il permet d'éliminer les parasites d'amplitude et d'appliquer au discriminateur un niveau constant. Il suffit pour cela de régler convenablement la polarisation du dernier étage pour que l'écrouissage (ou limitation) se fasse à la saturation. Dans ce cas, on ne neutrodynage pas.

b) Applications

Fig. 43 - La tension de CAG prévue pour agir sur l'étage amplificateur RF est obtenue par détection et filtrage à partir du collecteur de T_2 . Les résistances de 1 kΩ en série sur les collecteurs diminuent l'amortissement des CO.

Fig. 44 - L'amplificateur est réalisé au moyen de trois circuits intégrés utilisés avec des transformateurs à primaire et secondaire accordés. Le dernier étage joue aussi un rôle de limiteur.

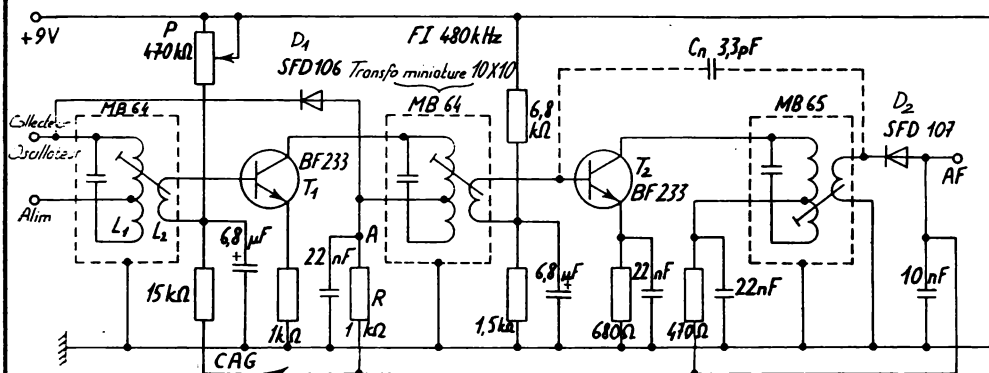


Fig. 42 — Étages amplificateurs à FI en MA

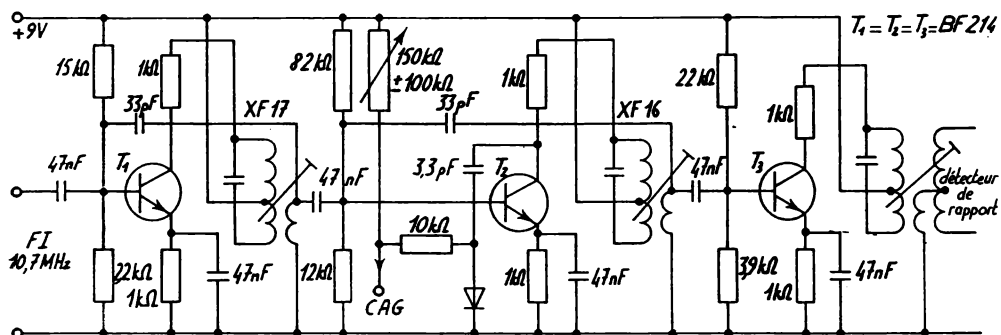


Fig. 43 — Étages amplificateurs à FI en MF

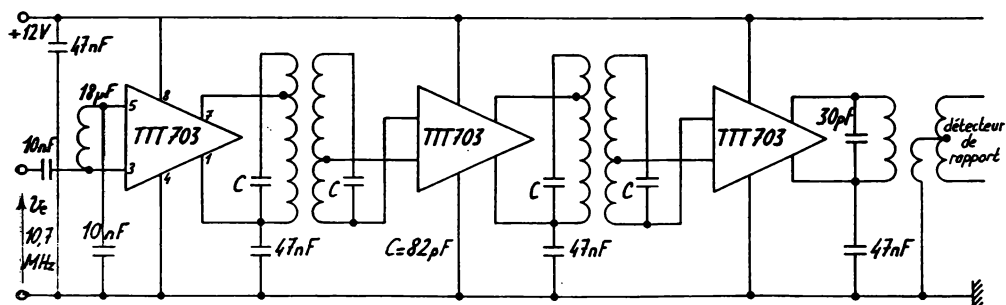


Fig. 44 — Étages amplificateurs à FI en MF avec circuits intégrés

VII - DÉTECTION EN MA

1° Principe de la détection (fig. 54).

- *Détection*: démodulation en vue d'obtenir le signal modulant, dans le cas d'une MA.

Le signal à l'entrée du détecteur est celui de la figure 45. Le circuit, monté suivant le schéma de la figure 50, agit comme un redresseur et ne laisse passer que les alternances positives (fig. 46). La cellule de détection $R_d C_d$ a une constante de temps telle qu'à ses bornes ne se développe que le signal AF auquel est superposé un signal résiduel FI (fig. 47) que l'on élimine au moyen d'un filtre RC (fig. 48 et 53).

La composante continue est éliminée par le condensateur de liaison (fig. 49).

2° Influence des éléments

a) Fidélité

Les éléments doivent être choisis de façon à permettre un taux de modulation le plus grand possible (fig. 51).

$$R'_d / R_d \geq m \text{ (taux de modulation) avec } R'_d = R_d \parallel R_e.$$

Si R_e augmente et R_d diminue, le taux de modulation peut être plus grand mais R_d ne peut être trop diminuée à cause de l'amortissement du CO attaquant l'étage détecteur.

La tension de commande automatique de gain (CAG en K6) est obtenue après filtrage de la tension AF. $T_{AF} < \tau < T$ (T_{AF} : période AF la plus basse, et T : période la plus petite de l'évanouissement).

Les figures 52 et 53 indiquent les variantes avec un potentiomètre de contrôle de volume sonore.

Si le potentiomètre est parcouru par une composante continue et sujet à crachements, il doit être d'excellente qualité.

- La FI résiduelle doit être éliminée par un filtre $R_1 C_1$ (fig. 53) dont la constante de temps τ est telle que:

$$T_{FI} \ll \tau_1 \ll T_{AF} \quad \tau_1 < 10^{-4} \text{ s}$$

R_1 en série avec R_2 constitue la résistance de détection R_d . Cette résistance R_1 doit être relativement faible pour ne pas diminuer le taux de modulation admissible.

- Le choix des éléments $R_d C_d$ de la cellule de détection doit être tel que la constante de temps τ soit \gg que la période de la FI et $<$ que la période la plus petite du signal AF à transmettre.

$$T_{FI} \text{ (25 à 30 fois)} \ll \tau \leq T_{AF} \quad \tau = R_d C_d$$

Si la constante de temps τ est trop grande, C_d ne se décharge pas assez vite et ne peut suivre la modulation. Pratiquement:

$$5 \times 10^{-5} < \tau < 2 \times 10^{-4}.$$

b) Sensibilité

- Elle est donnée par le rapport v_s/v_e .

Si la capacité C_{ak} de la diode (fig. 55) est grande, elle constitue avec C_d un diviseur de tension capacitif qui diminue la sensibilité. On a intérêt à utiliser des diodes à cristal dont la capacité est faible.

- La résistance d'entrée R_e (1) doit être assez grande pour ne pas amortir le CO de l'étage précédent, ce qui diminuerait la sélectivité et le gain. Pour un rendement $\eta > 90\%$, on a:

• détection quadratique (distorsion avec harmoniques pairs) $R_e = \rho$ diode

• détection linéaire série (R_d en série avec la diode) $R_e = R_d / 2$

• détection linéaire parallèle (R_d en parallèle avec la diode) $R_e = R_d / 3$

d'où l'avantage d'avoir une grande résistance interne ρ et d'utiliser une détection linéaire série.

D'autre part, on peut, au moyen d'une prise médiane sur le secondaire du transformateur FI, diminuer l'amortissement du CO par le détecteur.

(1) Résistance d'entrée: celle qui, substituée au circuit détecteur, dissipe la même puissance active.

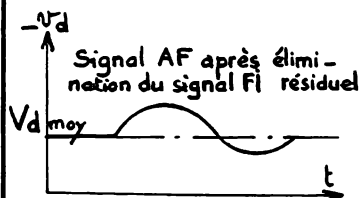
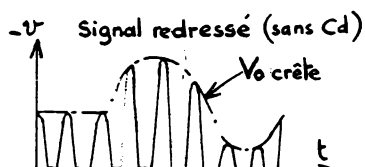
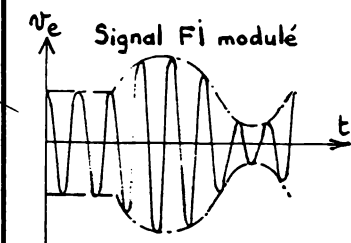


Fig. 45 à 49 Principe de la détection

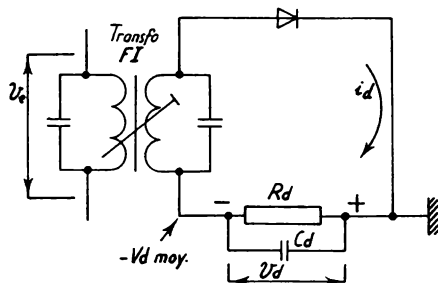


Fig. 50 - Etage détecteur

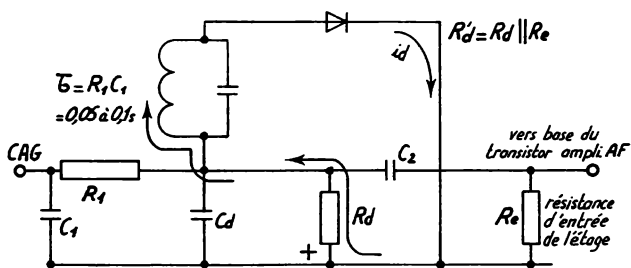


Fig. 51 - Liaison à l'étage suivant

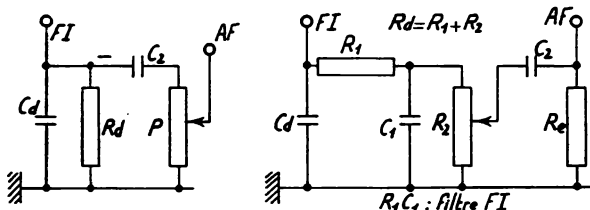


Fig. 52 et 53 - Variantes

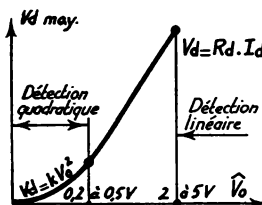
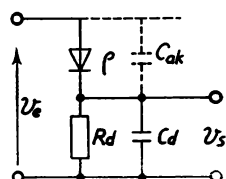
Fig. 54 —
Caractéristique de détection

Fig. 55 —

Influence de Cak

VIII - DÉMODULATION EN MF OU DISCRIMINATION

1° Discriminateur de phase (discriminateur Foster-Seelay)

a) Principe (fig. 56)

Le circuit secondaire est accordé sur la FI. Le condensateur C amène la tension primaire aux bornes de R . La tension aux bornes de R est pratiquement égale à la tension au primaire V_p . Les tensions V_{s1} et V_{s2} sont à tout instant égales et en opposition de phase.

Les figures 57 à 59 montrent ce que deviennent les tensions à détecter V_{d1} et V_{d2} lorsque la fréquence s'écarte plus ou moins de la FI.

— La tension AF aux bornes de R_{d1} , R_{d2} est égale à la différence des tensions aux bornes de R_{d1} et R_{d2} . La différence est d'autant plus grande que le décalage de fréquence par rapport à la fréquence intermédiaire est plus grand.

b) Critique

Le système est sensible à la MA et il doit être précédé d'un limiteur d'amplitude efficace. La symétrie est difficile à obtenir. On ne dispose pas de tension négative de CAG.

2° Discriminateur de rapport

a) Principe (fig. 60 et 61)

Les diodes sont disposées en série dans le circuit de détection. Le condensateur de $10 \mu F$ donne une tension AF nulle aux bornes de AB. Les tensions à détecter déterminent la tension AF entre les points EF.

— Si la fréquence à détecter F_0 est égale à FI: $L_{s1} \omega = 1/C_s \omega$ et $L_{s2} \omega = 1/C_s \omega$,
 $V_{s1} = V_{s2}$ et $V_{c1} = V_{c2}$,

$V_{AF} = V_{c1} - V_{R1} = V_{c2} - V_{R2} = 0$, d'où $V_{R1} = V_{R2}$.

— Si la fréquence à détecter F_0 est plus grande que la FI: $L_{s1} \omega > \frac{1}{C_s \omega}$.

La composition vectorielle de V_{s1} et V_{s3} d'une part, et de V_{s2} et V_{s3} d'autre part, donne, comme pour le discriminateur de phase, $V_{c1} < V_{c2}$, tandis que l'on a toujours $V_{R1} = V_{R2}$.

$V_{AF} = V_{R1} - V_{c1} = V_{c2} - V_{R2}$ soit $V_{AF} = \frac{V_{c2} - V_{c1}}{2}$.

— Si la fréquence à détecter F_0 est plus petite que la FI, on a: $1/C_s \omega > L_{s1} \omega$. La composition vectorielle des tensions donne un résultat inverse et $V_{AF} = \frac{V_{c1} - V_{c2}}{2}$.

$V_{c1} + V_{c2} = C^{te}$ et la tension détectée est d'autant plus grande que le rapport V_{c1}/V_{c2} s'éloigne de un.

b) Critique

Ce système simple a une action de limiteur, car la constante de temps $R \cdot R_2 \cdot C_3$ est élevée. En A la tension négative peut être utilisée comme tension de CAG.

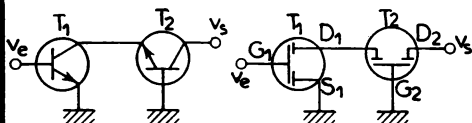
Pour ne pas trop amortir l'étage précédent, on préfère prélever la tension de référence par un enroulement tertiaire, couplé serré avec le primaire, et l'angle de déphasage de la tension tertiaire ne varie pratiquement pas avec la fréquence.

La sensibilité est moitié de celle du discriminateur de phase, car il ne travaille que pendant une alternance, au lieu de deux.

c) Variante: fig. 62 et 63

C'est le montage le plus utilisé. Les deux tensions RF, correspondant à l'alternance redressée, se referment par le condensateur C , aux bornes duquel on prélève la tension AF (fig. 37). La résistance R de 47Ω évite une surcompensation des écarts d'amplitude et un désamortissement du primaire.

Le circuit $R_1 C_1$, filtre de désaccentuation dont la constante de temps est normalisée à $75 \mu s$, a pour but de ramener les aiguës à leur niveau d'origine, car à l'émission ils sont renforcés pour augmenter le rapport signal bruit.



Montage cascode à T. bipolaires et son équivalent à MOST

T₁ désadapté en sortie permet d'avoir une bonne stabilité
T₂ monté BC (ou GC) permet d'avoir un gain élevé sans neutrodynage. Une CAG peut être appliquée sur la base (ou grille) de T₂
Avec MOSFET la grande Z_e n'amortit pas le CO d'entrée (g^{de} sélectivité)

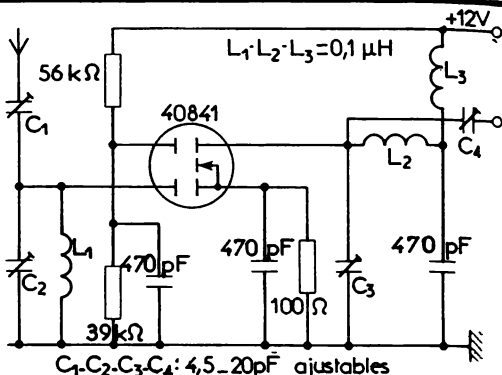


Fig. 64 — Préampli. HF accordé dans la gamme 152-154 MHz

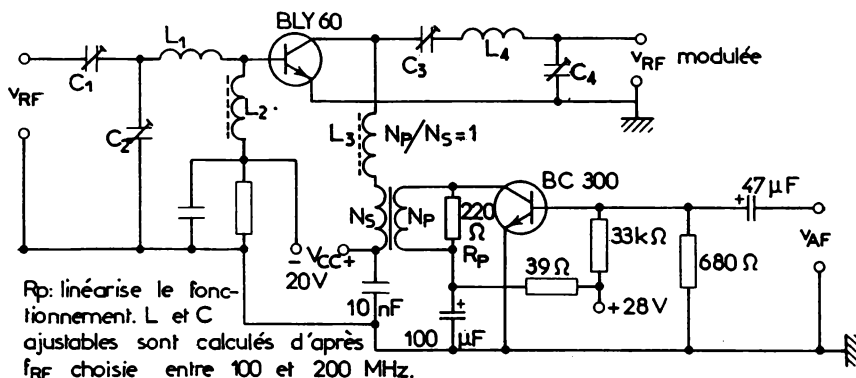
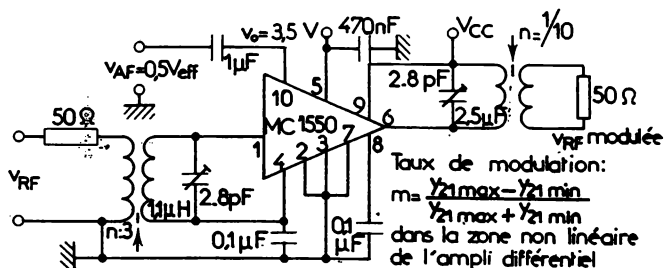
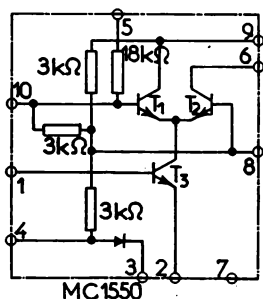
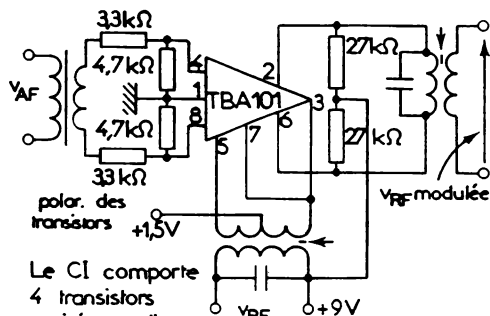


Fig. 65 — Etage ampli. HF : Modulation par le collecteur



T₁ T₂: ampli différentiel dont la source de courant T₃ est modulée par le signal RF (ou encore T₂ T₃: montage cascode dont le courant de T₃ est modulé à travers T₁ par le signal AF)

Fig. 66 — Modulation d'amplitude par CI (revoir D2 : Ampli. différentiel)



Le CI comporte 4 transistors croisés au lieu de 4 diodes. Les transistors fonctionnent en commutateur et découpent le signal AF à la fréquence porteuse

Fig. 67 — Modulateur en anneau

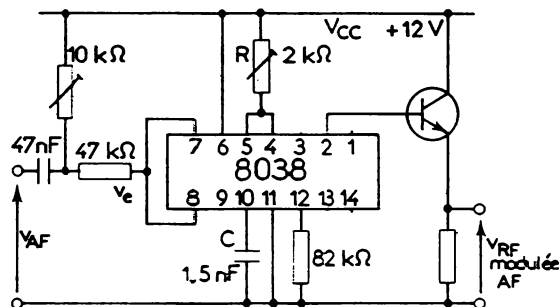


Fig. 69 — Modulation de fréquence par circuit intégré 8038

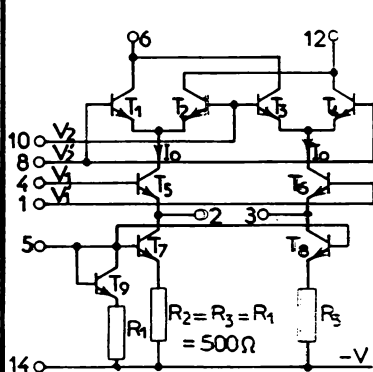
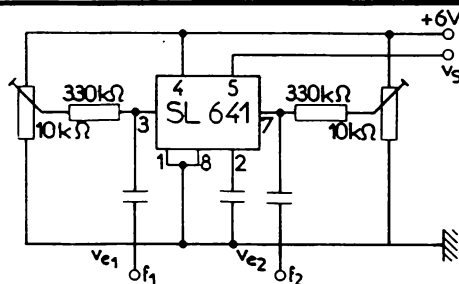


Fig. 70 — Circuit multiplieur (LM 1496 - MC 1496 - CA 3091 etc.)



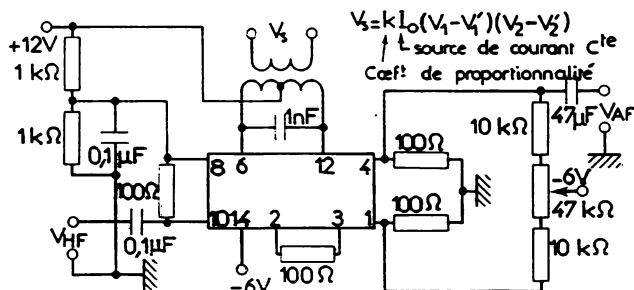
En V_5 on recueille un signal modulé sans porteuse. ($f_1 \pm f_2$, plus harmoniques). Si on sélectionne par filtrage ($f_1 - f_2$) on obtient un convertisseur de fréquence.

Fig. 68 — Détecteur de produit
($V_5 = V_{e1} \cdot V_{e2}$)

Le circuit intégré 8038 est un générateur de fonction dont l'organisation interne est donnée en F9. Le conformateur interne à transistors transforme le signal triangulaire en sinusoïdal de fréquence $f = \frac{3(V_{CC} - V_e)}{4 V_{CC} RC}$

En l'absence de V_e , $f_0 = \frac{0.75}{RC}$. Avec

$V_e = V_{AF}$ la haute fréquence (fonction de V_e) varie au rythme du signal AF.



Suivant les signaux appliqués en V_1, V_2, V_3 , le circuit peut être utilisé en ampli. parabolique, en détecteur, en doubleur de fréquence, en multiplieur. Ici avec $V_1 - V_2 = V_1 \sin \omega t$ et $V_2 - V_3 = V_2 \sin \Omega t$ on a un modulateur.

Le circuit intégré TBA 570 (ATC) comporte 31 transistors, 2 diodes et 30 résistances

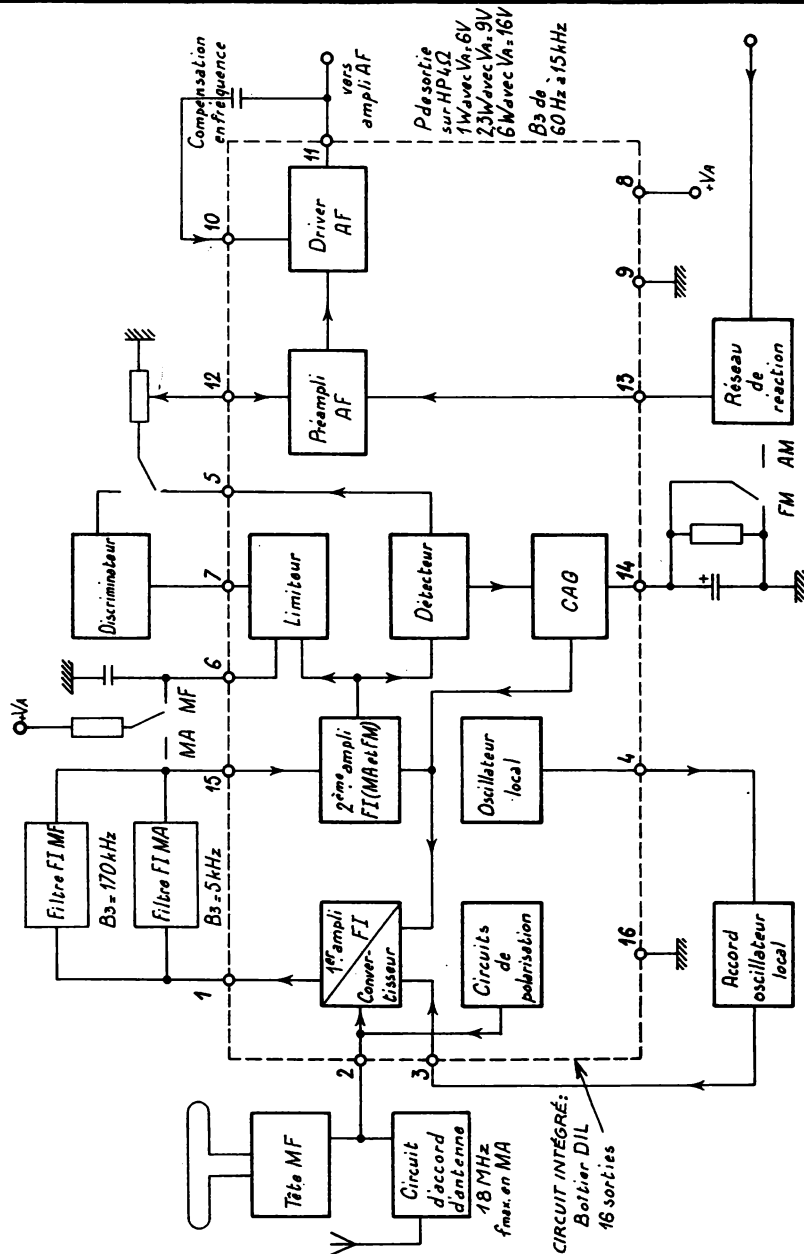


Fig. 72 — Récepteur mixte MA-MF à circuit intégré (Schéma synoptique)

L'utilisation d'un CI apporte à la fois une solution économique, fiable et performante. Il peut être alimenté sous 6-9 ou 16 V et associé à un étage de puissance adéquat

I - DÉFINITIONS

1° Conversion analogique-numérique : CAN

Elle consiste à transformer une tension électrique en un nombre la représentant. Ce nombre est en général exprimé dans le système binaire ou dans l'un de ses systèmes de numération dérivés.

2° Conversion numérique-analogique : CNA

Elle réalise la transformation inverse et associe donc à un nombre une tension électrique qui en est l'image.

3° Échantillonnage. Blocage (fig. 1)

La conversion analogique-numérique n'est pas instantanée. Aussi, à des intervalles de temps réguliers, on prélève la valeur de la tension à convertir (échantillonnage, fig. 1b) et on la garde dans une mémoire (blocage) jusqu'à la prise d'échantillon suivante (fig. 1c).

Pour que l'échantillonnage donne une image fidèle de la tension échantillonnée, il est nécessaire que la fréquence d'échantillonnage soit supérieure au double de la plus grande fréquence contenue dans la tension à échantillonner (théorème de Shannon).

II - CODES LES PLUS FRÉQUENTS

Les codes numériques utilisés dans les deux types de conversion sont du type binaire ou dérivé. Ce sont des codes pondérés, c'est-à-dire qu'à chaque chiffre binaire (ou bit) est affecté une puissance de 2. Le bit de plus fort poids est appelé MSB ; celui de plus faible poids est appelé LSB.

Le nombre de chiffres binaires utilisés dans ces codes est fini.

1° Binaire naturel (nombres positifs) (fig. 2)

A chaque bit est associée une puissance entière de 2. Si n est le nombre de chiffres binaires et N un nombre :

$$(N)_2 = (x_{n-1} x_{n-2} \dots x_1 x_0) \quad \text{où} \quad \begin{cases} x_i : \text{chiffres binaires} \\ x_i = 0 \text{ ou } 1. \end{cases}$$

$$(N)_{10} = \sum_{i=0}^{n-1} x_i 2^i$$

La capacité décimale d'un tel code est : $K = 2^n - 1$.

Par exemple, si $n = 4$; $K = 15$ (nombres décimaux de 0 à 15).

2° Décimal codé binaire (nombres positifs) (fig. 2)

Dans ce code, chaque chiffre décimal est codé en binaire naturel mais conserve son poids décimal (puissance de 10). On a ainsi p groupes de 4 chiffres binaires :

$$(N)_{10} = \sum_{j=0}^{p-1} 10^j \left(\sum_{i=0}^3 x_i 2^i \right) \quad \text{où} \quad x_i = 0 \text{ ou } 1.$$

3° Nombres négatifs (fig. 3)

a) Représentation en valeur absolue et en signe : on code la valeur absolue en binaire naturel ou en BCD suivant le cas, et on ajoute un bit supplémentaire appelé bit de signe. En général, ce bit est 0 pour les nombres positifs et 1 pour les nombres négatifs.

b) Représentation en complément à 2 : on complémente à 2 l'opposé. Si le code est à n bits, y compris le bit de signe :

$$(N)_2^- = 2^n - (N)_2.$$

c) Représentation en binaire décalé : on fait un décalage d'origine de telle sorte que la valeur binaire 0 corresponde au nombre le plus négatif.

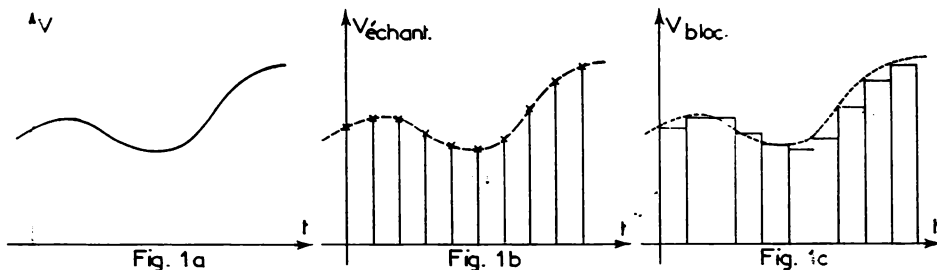


Fig. 1 — Echantillonnage. Blocage

| | bin. nat. | D. C. B |
|----|-------------------|-------------------|
| 15 | 1 1 1 1 | 0 0 0 1 0 1 0 1 |
| 14 | 1 1 1 0 | 0 0 0 1 0 1 0 0 |
| 13 | 1 1 0 1 | 0 0 0 1 0 0 1 1 |
| 12 | 1 1 0 0 | 0 0 0 1 0 0 1 0 |
| 11 | 1 0 1 1 | 0 0 0 1 0 0 0 1 |
| 10 | 1 0 1 0 | 0 0 0 1 0 0 0 0 |
| 9 | 1 0 0 1 | 0 0 0 0 1 0 0 1 |
| 8 | 1 0 0 0 | 0 0 0 0 1 0 0 0 |
| 7 | 0 1 1 1 | 0 0 0 0 0 1 1 1 |
| 6 | 0 1 1 0 | 0 0 0 0 0 1 1 0 |
| 5 | 0 1 0 1 | 0 0 0 0 0 1 0 1 |
| 4 | 0 1 0 0 | 0 0 0 0 0 1 0 0 |
| 3 | 0 0 1 1 | 0 0 0 0 0 0 1 1 |
| 2 | 0 0 1 0 | 0 0 0 0 0 0 1 0 |
| 1 | 0 0 0 1 | 0 0 0 0 0 0 0 1 |
| 0 | 0 0 0 0 | 0 0 0 0 0 0 0 0 |
| | $2^3 2^2 2^1 2^0$ | $2^3 2^2 2^1 2^0$ |
| | | $10^1 10^0$ |

Exemples:

-Binaire $(10110)_2$

$$= 1 \times 2^4 + 0 \times 2^3 + 1 \times 2^2 + 1 \times 2^1 + 0 \times 2^0$$

$$= 16 + 4 + 2 = (22)_{10}$$

-Décimal $(19)_{10}$

$$= 1 \times 2^4 + 0 \times 2^3 + 0 \times 2^2 + 1 \times 2^1 + 1 \times 2^0$$

$$= (10011)$$

-DCB (Décimal Codé Binaire)

$$\begin{matrix} (0110) & (1000) \\ 10^1 & 10^0 \end{matrix} \text{ DCB} = 10^1(2^2+2^1) + 10^0(2^3)$$

$$= 60 + 8$$

$$= (68)_{10}$$

$$(237)_{10} = \begin{matrix} (0010) & (0011) & (0111) \\ 10^2 & 10^1 & 10^0 \end{matrix} \text{ DCB}$$

| | val. abs. signe | bin. décalé | compl. à 2 |
|----|-----------------|-------------|------------|
| 7 | 0 1 1 1 | 1 1 1 1 | 0 1 1 1 |
| 6 | 0 1 1 0 | 1 1 1 0 | 0 1 1 0 |
| 5 | 0 1 0 1 | 1 1 0 1 | 0 1 0 1 |
| 4 | 0 1 0 0 | 1 1 0 0 | 0 1 0 0 |
| 3 | 0 0 1 1 | 1 0 1 1 | 0 0 1 1 |
| 2 | 0 0 1 0 | 1 0 1 0 | 0 0 1 0 |
| 1 | 0 0 0 1 | 1 0 0 1 | 0 0 0 1 |
| 0 | 0 0 0 0 | 1 0 0 0 | 0 0 0 0 |
| -1 | 1 0 0 1 | 0 1 1 1 | 1 1 1 1 |
| -2 | 1 0 1 0 | 0 1 1 0 | 1 1 1 0 |
| -3 | 1 0 1 1 | 0 1 0 1 | 1 1 0 1 |
| -4 | 1 1 0 0 | 0 1 0 0 | 1 1 0 0 |
| -5 | 1 1 0 1 | 0 0 1 1 | 1 0 1 1 |
| -6 | 1 1 1 0 | 0 0 1 0 | 1 0 1 0 |
| -7 | 1 1 1 1 | 0 0 0 1 | 1 0 0 1 |
| -8 | | 0 0 0 0 | 1 0 0 0 |

Exemples:

-Binaire valeur absolue et signe

$$(01101)_{\text{vas}} = (+13)_{10}$$

$$(11010)_{\text{vas}} = (-10)_{10}$$

-Binaire décalé

$$(N)_{10} = -2^{n-1} + \sum_{i=0}^{n-1} \alpha_i b_i$$

$$(1001)_{\text{bd}} = -2^3 + 9 = (-7)_{10} \quad (n=3)$$

-Complément à 2

$$(N)_{10} = -\alpha_{n-1} 2^{n-1} + \sum_{i=0}^{n-2} \alpha_i b_i$$

$$\begin{aligned} (1001)_2 &= -1 \times 8 + 1 = (-7)_{10} \\ (0101)_2 &= 0 \times 8 + 5 = (+5)_{10} \end{aligned} \quad n=3$$

Fig. 2 — Codes binaires unipolaires

Fig. 3 — Codes bipolaires

III - CONVERTISSEUR NUMÉRIQUE ANALOGIQUE (CNA)

1° Structure générale (fig. 4).

Il s'agit de transformer un nombre (binaire ou BCD) en une tension électrique (ou un courant électrique).

Le principe général des CNA est de commuter sur un réseau de résistances une ou des sources de tensions de référence (ou courants de référence) et d'en faire la somme. La commutation est faite avec des inverseurs à contacts mécaniques ou à portes analogiques MOS. Dans les deux cas, il faut tenir compte de ces résistances dues à la commutation.

2° Binaire signé (en valeur absolue et signe) (fig. 5)

On utilise deux sources de tension de référence opposées, un réseau de résistances pondérées suivant les puissances de deux, et un amplificateur opérationnel monté en sommateur. Un tel convertisseur est dit à *résistances pondérées*.

Si $(b_s, b_{n-1}, b_{n-2}, \dots, b_2, b_1, b_0)$ est le nombre binaire en valeur absolue et en signe, on a :

$$V_s = (-b_s + \bar{b}_s) \frac{V_{ref}}{2^{n-1}} \sum_{i=0}^{n-1} 2^i b_i$$

Bit de signe $b_s = 0$ et $\bar{b}_s = 1$ pour les nombres positifs, l'inverse pour les nombres négatifs. C'est le convertisseur le plus simple. Sa précision dépend de la stabilité des éléments et des précisions relatives des résistances entre elles. Sa capacité est limitée car on ne peut augmenter indéfiniment la valeur des résistances.

3° DCB signé (à résistances pondérées) (fig. 6)

On peut reprendre le montage précédent avec des résistances $R, 2R, 4R, 8R, 10R, 20R, 40R, 80R, 100R, \dots$ On arrive rapidement à des valeurs prohibitives. Aussi, on utilise des décades que l'on somme de façon pondérée suivant les puissances de 10 sur un autre amplificateur opérationnel.

Si p est le nombre de décades :

$$V_s = \frac{V_{ref}}{10^{p-1} \cdot 2} (-b_s + \bar{b}_s) \sum_{j=0}^{p-1} 10^j \left(\sum_{i=0}^3 2^i d_{ji} \right)$$

Dans ce code, toutes les combinaisons possibles des chiffres binaires ne sont pas utilisées.

4° CNA à échelle $R/2 R$

a) Réseau $R/2 R$ (fig. 7a, 7b) : chaque générateur voit un diviseur de rapport 1/3 et chaque nœud voit un diviseur de rapport 1/2.

La résistance de sortie de ce réseau est toujours égale à R .

b) Convertisseur en binaire naturel (fig. 7c) : si l'inverseur p met la source de tension correspondante en service, $V_p = V/3 = V_0$, quel que soit le point P choisi. Le point A voit une tension $V_A = V_0/2^p$ dans ce cas. Quand plusieurs sources sont connectées, on a :

$$V_s = -\frac{V_0 \cdot k}{2^{n-1}} \sum_{i=0}^{n-1} 2^i b_i$$

L'amplificateur opérationnel permet de ne pas désadapter la sortie du réseau en échelle.

5° CNA à code binaire décalé et binaire, complément à 2

a) Binaire décalé (fig. 8a) : il suffit par exemple de rajouter en permanence une tension égale à $-V_{ref}$.

$$V_s = -V_{ref} + \frac{V_{ref}}{2^{n-1}} \sum_{i=0}^{n-1} 2^i b_i$$

b) Complément à 2 et réseau $R/2 R$ (fig. 8b) : ici, la source V_{ref} supplémentaire est commandée par le bit de signe

$$V_s = -V_0 k b_{n-1} + k \frac{V_0}{2^{n-1}} \sum_{i=0}^{n-2} 2^i b_i$$

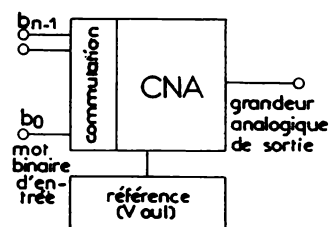


Fig. 4 — Structure générale

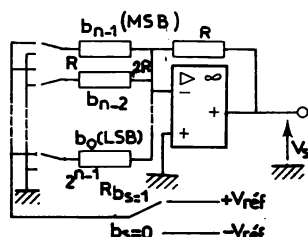


Fig. 5 — Binaire signé

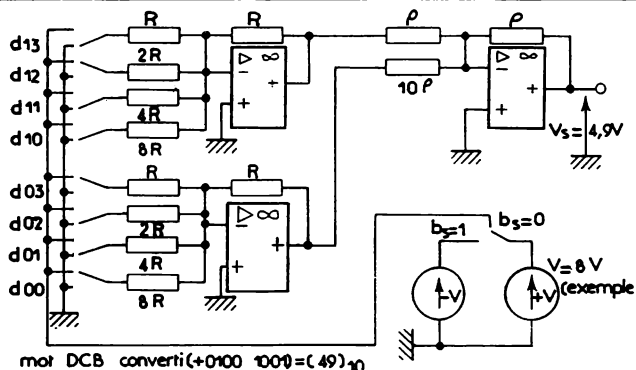


Fig. 6 — DCB signé

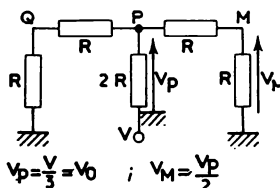


Fig. 7b

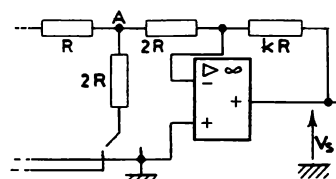


Fig. 7c

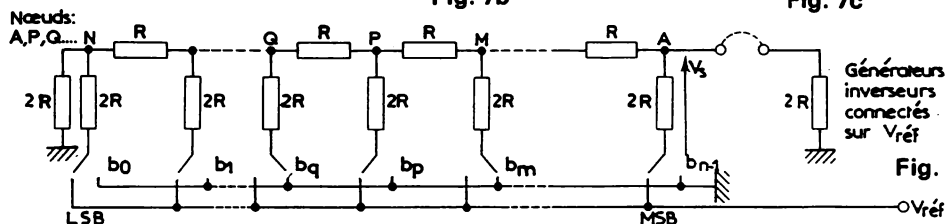


Fig. 7 — CNA à échelle R/2 R

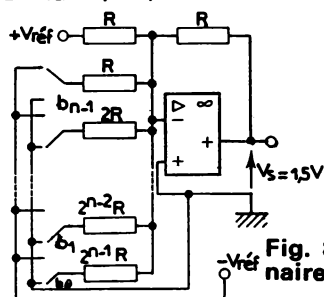
Ex: $V_{ref}=4V, n=4$, code: 1011

Fig. 8a — Binaire décalé

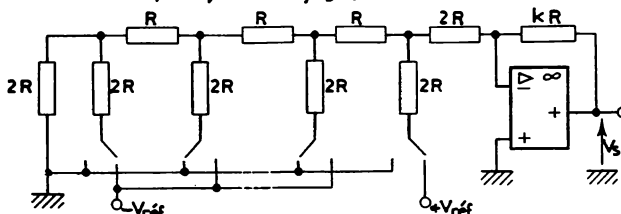
Ex: $V_{ref}=12V, n=4$, code: 0011, $V_s=1.5V$ 

Fig. 8b — Binaire, complément à 2

Fig. 8 — CNA à code binaire

IV - CONVERTISSEUR ANALOGIQUE-NUMÉRIQUE (CAN) PAR UTILISATION D'UN CNA

1° Structure générale (fig. 9)

Il s'agit de transformer une tension électrique en un nombre binaire. Pour cela, on fabrique à l'aide d'une logique appropriée un nombre binaire. Celui-ci est envoyé à tout instant sur un CNA qui le transforme en une tension. Cette dernière est comparée en permanence avec la tension à convertir au moyen d'un comparateur. Lorsque l'égalité est réalisée, on arrête la génération du nombre binaire. La dernière valeur de celui-ci est l'équivalent binaire de la tension à convertir.

2° CAN incrémental (à rampe numérique) (fig. 10)

Un compteur binaire naturel commandé par une horloge génère une suite de nombres binaires croissants, la différence entre deux nombres consécutifs étant égale à 1. L'horloge est commandée par la sortie du comparateur. Dès que $V_{CNA} = V_{entrée}$, l'horloge ne fournit plus d'impulsions et le comptage s'arrête. Le contenu du compteur est l'image numérique de la tension d'entrée.

3° CAN à essais successifs (fig. 11)

On essaie tout d'abord le bit de plus fort poids. Si la conversion analogique de ce dernier donne une valeur inférieure à la tension à convertir, on conserve ce bit et on essaie le bit immédiatement inférieur et on compare à nouveau, etc.

Lorsque la conversion donne un résultat supérieur à la tension à convertir, on remplace le dernier bit essayé par un 0 et on essaie le suivant. Ceci jusqu'à l'épuisement des bits. L'image de la tension à convertir est égale au contenu du registre de sortie de la logique.

Ce type de convertisseur est plus compliqué que le précédent. Mais, il est plus rapide. Si n est le nombre de bits possibles dans les deux cas, il faut ici au plus n essais pour réaliser une conversion complète, soit n tops d'horloge. Dans le cas du convertisseur incrémental, il faut 2^n tops d'horloge au plus pour réaliser une conversion complète.

V - CAN A CONVERSION TENSION-FRÉQUENCE (fig. 12)

La tension à convertir commande un oscillateur commandé par une tension (V.C.O.). Cet oscillateur fournit une fréquence proportionnelle à la tension à convertir.

Une logique comprenant une base de temps et un système de comptage constitue un fréquencemètre (on compte le nombre de périodes pendant une durée constante et connue). Après chaque comptage, le contenu du compteur est l'équivalent numérique de la tension à convertir.

VI - CAN A CONVERSION TENSION-DURÉE

1° CAN à simple rampe

Cité pour mémoire car peu fiable et peu précis. Il a été abandonné au profit du convertisseur à double rampe.

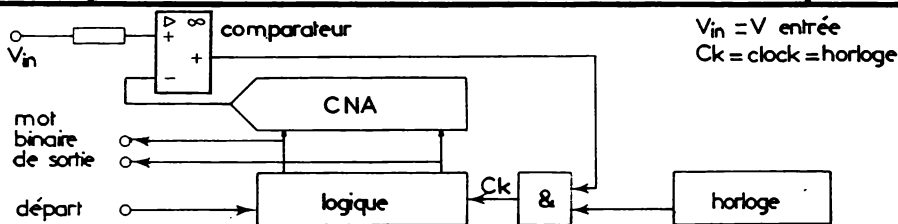


Fig. 9 — Structure générale

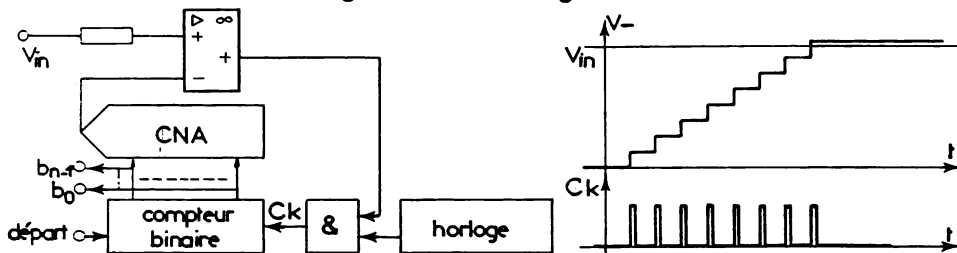


Fig. 10 — CAN incrémental (à rampe numérique)

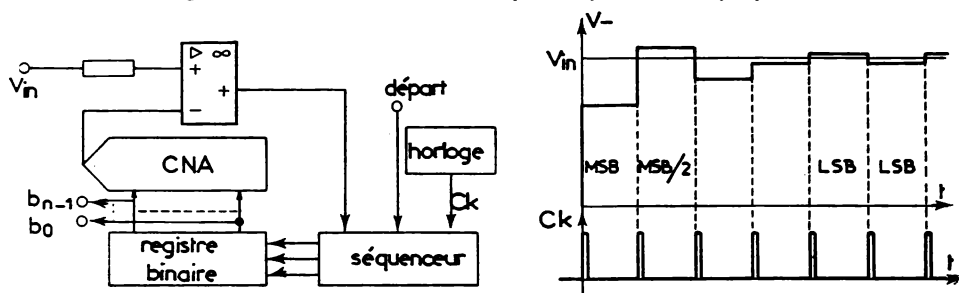


Fig. 11 — CAN à essais successifs

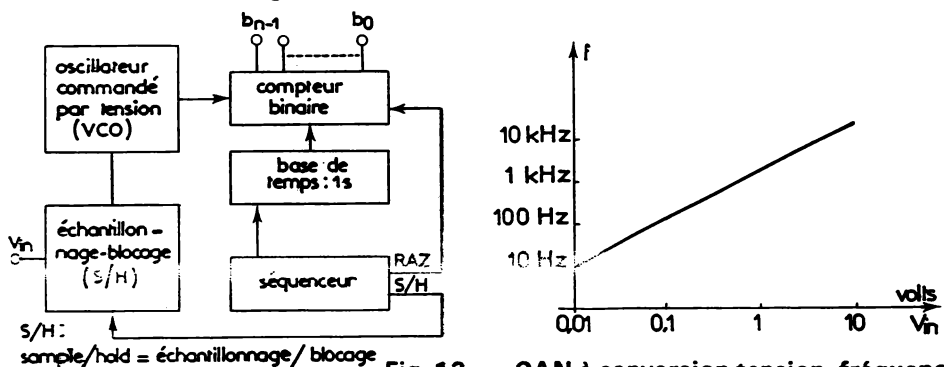


Fig. 12 — CAN à conversion tension-fréquence

2° CAN à double rampe (fig. 13a-13b)

Il est souvent utilisé dans les indicateurs de tableau ou les voltmètres numériques.

Principe :

Premier temps : Une capacité porte à l'origine une charge Q_{i0} . A partir d'un instant t_0 , on la charge à courant constant, courant proportionnel à la tension à convertir. Cette charge a lieu pendant une durée fixée.

Second temps : La capacité est déchargée à courant constant, ce courant étant fixé. Cette décharge dure jusqu'à ce que la capacité porte une charge Q_{i1} égale à Q_{i0} . On mesure le temps de cette décharge et on l'exprime en binaire ou en DCB. Cette expression est l'image numérique de la tension à convertir.

A l'instant origine t_0 , la capacité porte une charge Q_{i0} . Soit $(t_1 - t_0)$ la durée de charge à courant constant inconnu i_c :

$$i_c = \frac{V_x}{R}$$

La variation de charge portée par C est :

$$\Delta Q_1 = \frac{V_x}{R} (t_1 - t_0) = Q_{i1} - Q_{i0}$$

On décharge la capacité jusqu'à ce qu'elle porte $Q_{i2} = Q_{i0}$. Soit $(t_2 - t_1)$ la durée de cette décharge. Le courant de décharge est :

$$i_d = \frac{V_{\text{réf.}}}{R}$$

La variation de charge est :

$$\Delta Q_2 = \frac{V_{\text{réf.}}}{R} (t_2 - t_1) = Q_{i2} - Q_{i1}$$

$Q_{i2} = Q_{i0}$ implique que $\Delta Q_1 = \Delta Q_2$, alors :

$$t_2 - t_1 = (t_1 - t_0) \frac{V_x}{V_{\text{réf.}}}$$

$(t_2 - t_1)$ est bien proportionnel à la tension V_x à convertir. Si on compte des impulsions de fréquence f pendant cet intervalle de temps, on en comptera :

$$N = f(t_2 - t_1)$$

De plus, si $t_1 - t_0 = k/f$ où k est un entier, alors :

$$N = k \frac{V_x}{V_{\text{réf.}}}$$

Dans le cas idéal, la précision ne dépend que de la stabilité de $V_{\text{réf.}}$. En réalité, la dérive de l'intégrateur et l'erreur du comparateur sont deux sources d'imprécision non négligeables.

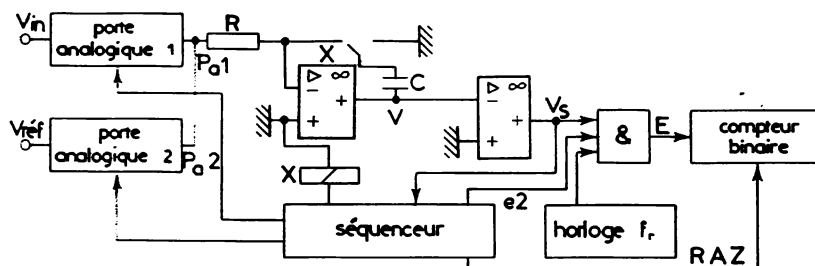


Fig. 13a — Principe d'un CAN tension-durée

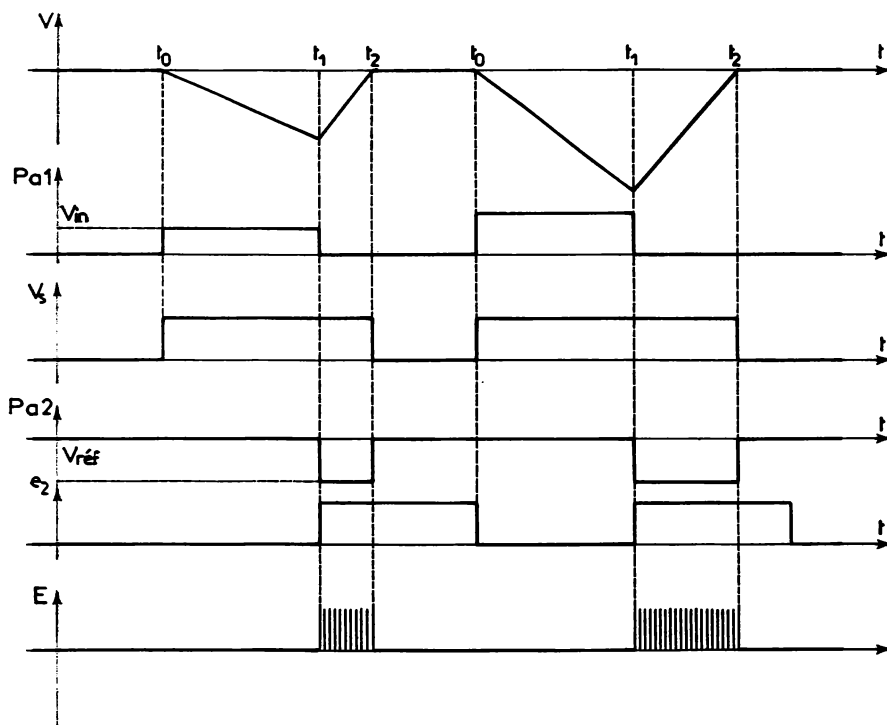


Fig. 13b — Chronogrammes

V - PRINCIPALES SPÉCIFICATIONS ET ERREURS D'UN CNA

- *Pleine échelle* : amplitude maximale de la grandeur de sortie. Dans ce cas, tous les bits du mot d'entrée sont à 1.
- *Résolution* : amplitude de la plus petite variation de la sortie. Elle correspond au LSB. Elle est équivalente au nombre de bits du mot d'entrée.
- *Temps de conversion* : temps nécessaire pour que la sortie prenne la valeur indiquée par le code d'entrée et soit stable.
- *Précision* : elle définit l'écart entre la valeur réelle de la sortie et celle qui est prévue en fonction du mot présent à l'entrée. On l'exprime en % de la pleine échelle ou du LSB.
- *Erreur de décalage* : c'est la tension (ou courant) qui existe à la sortie quand on applique le mot « 00 ... 0 » à l'entrée.
- *Erreur de linéarité* : c'est l'écart qui existe entre la valeur de la sortie et la valeur prévue pour un mot quelconque d'entrée. Lorsque cette erreur est inférieure à $LSB/2$ (en valeur absolue), le convertisseur est dit linéaire (fig. 14).
- *Monotonie* : chaque mot d'entrée doit donner une sortie supérieure ou au moins égale à la sortie fixée par le mot immédiatement précédent pour que le convertisseur soit monotone. Pour que le système reste linéaire, l'erreur de monotonie doit être inférieure à $LSB/2$ (fig. 15).
- *Erreur de gain* : elle dépend de la température, et correspond à la dérive de la source de référence. Elle se traduit par un changement de pente de la caractéristique (fig. 16).

VI - PRINCIPALES SPÉCIFICATIONS ET ERREURS D'UN CAN

- *Echelle* : étendue de la grandeur analogique d'entrée.
- *Résolution* : même définition que pour un CNA.
- *Temps de conversion* : comme pour un CNA. Ici, il dépend de la valeur de la grandeur à convertir. On le définit pour la conversion de la pleine échelle.
- *Erreur de décalage* (fig. 17) : c'est l'écart existant entre la valeur réelle de la grandeur d'entrée et la valeur théorique de cette grandeur qui fournirait le même mot binaire en sortie.
- On appelle tension de décalage l'écart entre la tension d'entrée qui met le LSB à 1 et la tension théorique d'entrée qui aurait le même effet.
- *Erreur de gain* (fig. 16) : elle traduit que le plus grand mot binaire de sortie ne correspond pas au maximum de la grandeur d'entrée.
- *Erreur de linéarité* (fig. 17) : c'est l'écart existant entre les valeurs théoriques de la grandeur d'entrée provoquant certains changements du mot binaire de sortie et les valeurs réelles de la grandeur d'entrée qui provoquent les mêmes changements.
- Le convertisseur est dit linéaire lorsque cette erreur reste comprise entre $+ LSB/2$ et $- LSB/2$ (fig. 18).
- *Monotonie* (fig. 19) : elle traduit le fait que chaque fois que la grandeur d'entrée varie de 1 LSB, le mot de sortie doit varier de 1 LSB également ou au moins rester inchangé.
- Le système est dit non monotone quand cette condition n'est pas respectée.
- Par définition, les convertisseurs à approximations successives ne sont pas monotones.
- *Erreur de quantification* : elle est systématique de la conversion analogique-numérique.
- Elle vaut toujours

$$\pm \frac{1}{2} LSB \left(= \pm \frac{1}{2} \frac{V_{ref}}{2^n - 1} \right).$$

VII - COMPOSANTS RÉELS

Tous ces convertisseurs existent plus ou moins intégrés. On aura toujours intérêt à les choisir les plus intégrés possibles. En effet, l'intégration permet d'augmenter considérablement la stabilité thermique et de compenser au mieux les dérives.

Extrait de caractéristiques : ADC 89A (Datal) : CAN 8 bits.

| Alimentation | Echelle | Code | Résolution | Dérive | Temps de conversion |
|--------------------------|-------------------------------|------------------------------|-------------------|-------------------|---------------------|
| + 15 V, - 15 V, + 5 V | 0, + 10 V, - 5 V, + 5 V | binaire binaire décalé | 8 bits (1 256) | gain 50 ppm/°C | 200 µs max |

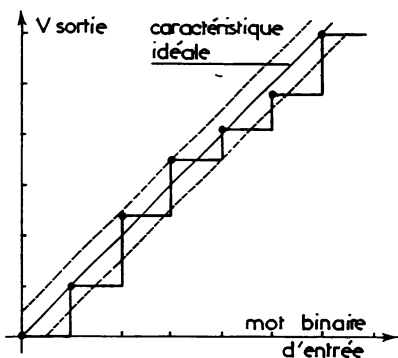


Fig. 14 — CNA linéaire

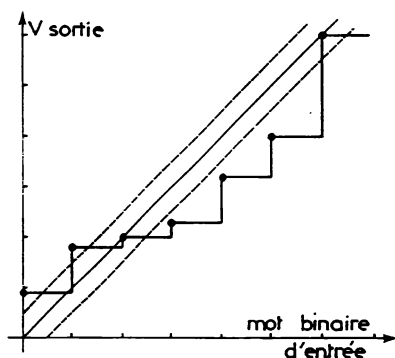


Fig. 15 — CNA monotone non linéaire

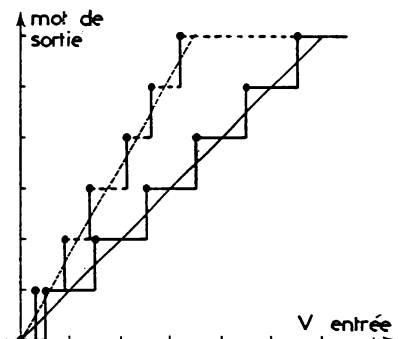


Fig. 16 — CAN, erreur de gain

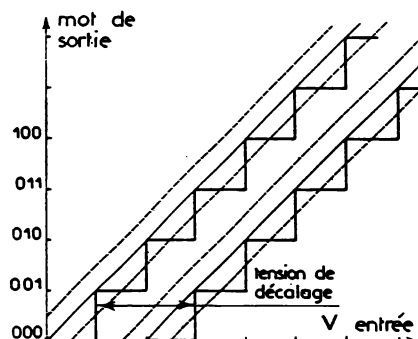


Fig. 17 — CAN linéaire, erreur de décalage

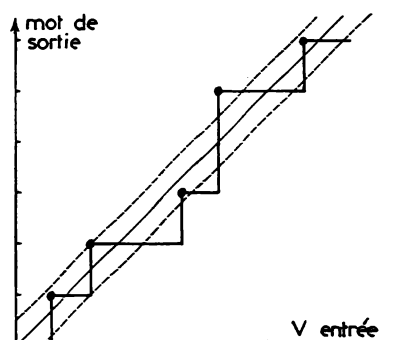


Fig. 18 — CAN monotone, non linéaire

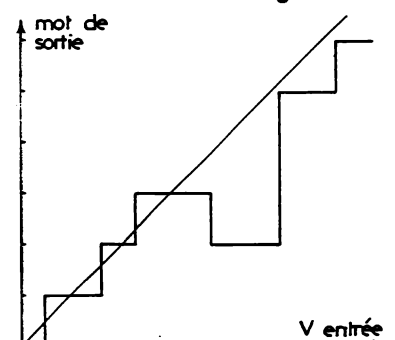


Fig. 19 — CAN, non monotone

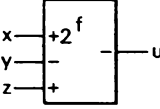
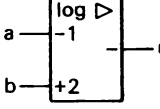
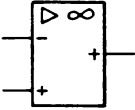
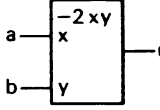
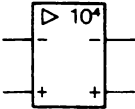
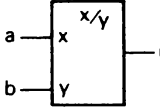
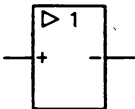
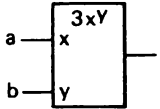
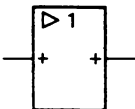
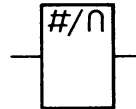
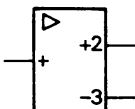
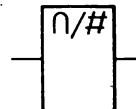
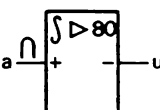
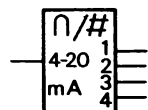
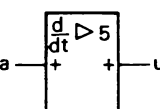
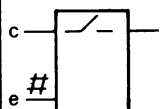
Les symboles suivants relatifs aux télécommunications et à l'électronique sont extraits des chapitres I et II du fascicule de documentation UTE C 03-002. Ce document de 58 pages comporte en outre les symboles littéraux à utiliser pour : la propagation des ondes radioélectriques, la propagation dans les guides d'ondes, les antennes, l'électroacoustique, les cristaux piézoélectriques, les convertisseurs statiques, l'automatique, les réseaux linéaires à n accès.

| SYMBOLES | | UNITÉS |
|------------------------|---|------------|
| S | Signal. S_1, S_2 signaux d'entrée et de sortie. Si le type de grandeur est connu utiliser le symbole approprié. | |
| P_s | Puissance de signal. | W |
| L | Niveau de signal. $L = k \lg S/S_{\text{réf}} $ | dB, Np |
| N | Bruit. Lorsque la grandeur physique est connue (tension, courant, pression...) lui affecter l'indice n. Exemple : V_n (tension de bruit). | |
| P_n | Puissance de bruit. | |
| F | Facteur de bruit. | |
| H | Fonction de transfert $H = S_2/S_1$, S_1 et S_2 sont les représentations complexes des signaux. | dB, Np |
| G | Gain. $G = k \lg P_2/P_1$ | |
| Γ | Exposant de transfert. Lorsque H est sans dimension $H = \exp(-\Gamma)$ $\Gamma = A + jB$ | |
| A | Affaiblissement de transfert, atténuation. | dB, Np |
| B | Déphasage de transfert. | rad, degré |
| f_r | Fréquence de résonance. | Hz |
| f_c | Fréquence de coupure. | Hz |
| B | Largeur de bande. | Hz |
| m | Facteur de modulation. | % |
| δ | Indice de modulation. | rad |
| Ω | Pulsation de l'oscillation porteuse. | rad |
| ω | Pulsation de l'oscillation modulante. | rad |
| Δf | Écart de fréquence. | Hz |
| Δf | Déviation de fréquence. | Hz |
| $\Delta \varphi$ | Écart de phase. | rad |
| $\hat{\Delta \varphi}$ | Déviation de phase. | rad |
| d | Facteur de distorsion, avec indice éventuel. Exemple d_n (distorsion harmonique). | % |
| Z_1 | Impédance d'entrée. | Ω |
| Z_2 | Impédance de sortie. | Ω |
| Z_0 ou Z_c | Impédance caractéristique. | Ω |
| Z_i ou Z_{im} | Impédance image. | Ω |
| Z_k ou Z_{it} | Impédance itérative. | Ω |

COMPLÉMENTS

OPÉRATEURS ANALOGIQUES

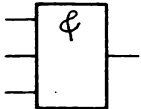
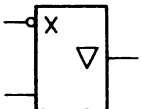
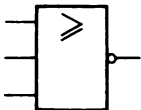
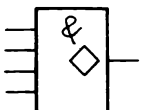
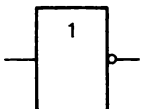
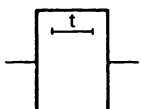
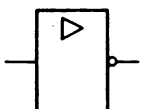
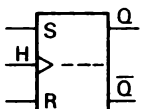
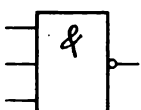
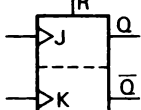
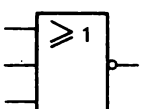
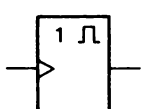
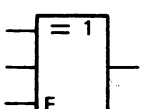
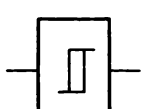
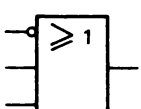
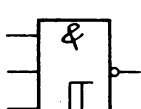
225

| | | | |
|---|--|---|---|
|  | <p>Opérateur dans lequel $u = -f(2x, -y, z)$</p> |  | <p>Amplificateur logarithmique $u = -\lg(-a + 2b)$</p> |
|  | <p>Amplificateur opérationnel (Ampli. différentiel à haut gain)</p> |  | <p>Multiplieur analogique $u = -2ab$</p> |
|  | <p>Amplificateur à haut gain ($A_v = 10^4$) et deux sorties complémentées</p> |  | <p>Diviseur analogique $u = a/b$</p> |
|  | <p>Amplificateur inverseur $A_v = -1$</p> |  | <p>Fonction exponentielle $u = 3a^b$</p> |
|  | <p>Etage suiveur $A_v = +1$</p> |  | <p>Convertisseur numérique analogique (CNA)</p> |
|  | <p>Amplificateur à deux sorties. Une directe: $A_v = 2$ Une inverseuse: $A_v = -3$</p> |  | <p>Convertisseur analogique numérique (CAN)</p> |
|  | <p>Amplificateur intégrateur $u = -80 \int_0^t a dt$</p> |  | <p>CAN transformant le domaine 4-20 mA de l'entrée analogique en code binaire pondéré à 4 éléments binaires</p> |
|  | <p>Amplificateur différentiateur $u = 5 \frac{da}{dt}$</p> |  | <p>Le signal analogique peut passer entre c et d tant que le signal binaire sur e est à 1</p> |

226

COMPLÉMENTS OPÉRATEURS LOGIQUES

D'après
NF C 03
108 (1970)
212 (1984)

| | | | |
|---|---|---|---|
|  | ET (And) |  | Porte avec sortie 3 états |
|  | OU (Or) |  | Nand avec sortie collecteur ouvert (OC, fantôme) |
|  | NON (Inverseur) (négation logique à la sortie) |  | Opérateur qui affecte les 2 transitions d'un même retard |
|  | NON à sortance élevée |  | Bascule RSH (H : horloge sur entrée dynamique) |
|  | NON-ET (Nand) |  | Bascule JK (R et S peuvent être éventuellement supprimés) |
|  | OU-NON (Nor) |  | Monostable (Ici déclenchement par front montant) |
|  | OU exclusif (avec entrée d'expansion E) |  | Bascule de Schmitt (Trigger) |
|  | OU-NON avec entrée complémentée (négation logique à l'entrée) |  | Nand à entrée de type Trigger |

| | | |
|------|------------------------------|---|
| ACK | acknowledge | suffixe : demande acceptée |
| AD | address data bus | bus d'adresses et de données |
| ABUS | address bus | bus d'adresses |
| ALE | address latch enable | validation d'adresse par bascule |
| BA | bus available | bus disponible |
| BACK | bus acknowledge | reconnaissance de bus |
| BRQ | bus request | demande de bus |
| BUSY | busy | occupé |
| CAS | column address select | sélection adresse de colonne |
| CLK | clock | entrée/sortie d'horloge |
| CS | chip select | sélection du boîtier |
| CTS | clear to send | prêt à émettre |
| DBUS | data bus | bus de données |
| DCD | data carrier detect | détection de porteuse |
| DMA | direct memory access | accès direct de mémoire |
| DRQ | DMA request | demande de DMA |
| DSR | data set ready | poste de données prêt |
| DTR | data terminal ready | terminal de données prêt |
| EN | enable | validation, utilisable comme suffixe |
| HLDA | hold acknowledge | reconnaissance de maintien |
| HOLD | hold | maintien |
| HRQ | hold request | demande de maintien |
| INT | interrupt | interruption |
| INTA | interrupt acknowledge | reconnaissance d'interruption |
| IRQ | interrupt request | demande d'interruption |
| MR | master reset | remise à zéro générale |
| MRDY | memory ready | mémoire prête |
| NMI | non maskable interrupt | interruption non masquable |
| R | reset | remise à zéro |
| RACT | receiver active | réception en cours valide |
| RAS | row address select | sélection d'adresse de rangée |
| RD | read | lecture |
| RD/W | read/write | lecture/écriture |
| RDA | receiver data available | données reçues disponibles |
| RDY | ready | prêt |
| RSA | receiver status available | mot d'état réception valide |
| RSOM | receiver start of message | début de message réception |
| RTS | request to send | demande pour émettre |
| RX | receiver serial (SID) | entrée série réception |
| STB | strobe | échantillonnage, utilisable comme suffixe |
| STBY | standby | repos |
| TACT | transmitter active | transmission en cours valide |
| TBMT | transmitter buffer empty | tampon émission vide |
| TEOM | transmitter end of message | fin de message émission |
| TIM | timer | temporisation |
| TSA | transmitter status available | mot d'état émission valide |
| TSC | three-state control | commande du 3 ^e état |
| TSOM | transmitter start of message | début de message émission |
| TX | transmitter serial (SOD) | sortie série émission |
| VMA | valid memory address | adresse mémoire valide |
| VPA | valid peripheral address | adresse périphérique valide |
| W | write | écriture |
| WAIT | wait signal | attente |
| XTAL | 0. xtal. extal clock | horloge externe du microprocesseur |

| NOM | ANGLAIS | FRANÇAIS |
|--------|---|--|
| ACC | asynchro. communicat. controller | contrôleur de communications asynchrones |
| ACIA | asynchro. communicat. interface adapter | adaptateur d'interface |
| ADLC | advanced data link controller | Cde de transmission de données |
| ALU | arithmetic logic unit | unité arithmétique et logique |
| ART | asynchro. receiver transmitter | émetteur récepteur asynchrone |
| CAM | content addressable memory | mémoire adressable par le contenu |
| CLK | clock | horloge |
| CPG | carry propagated and generated | générateur de retenue anticipée |
| CPU | computer unit | microcalculateur |
| CRTC | CRT controller | contrôleur de tube cathodique |
| CTR | counter | compteur |
| CTRDIV | counter divider | compteur diviseur |
| DMAC | direct memory access controller | commande d'accès direct mémoire |
| DMC | dynamic memory controller | contrôleur de mémoire dynamique |
| DMX | demultiplexer | démultiplexeur |
| DPY | display | afficheur |
| EDC | error detection and correction | détecteur correcteur d'erreurs |
| EPROM | erasable programmable ROM | mémoire PROM reprogrammable |
| EEPROM | electrical erasable programmable | EPROM effaçable électriquement |
| FDC | floppy disk controller | contrôleur de disque souple |
| FIFO | first in-first out | mémoire premier entré premier sorti |
| HPRI | highest priority encoder | codeur de priorité |
| IORAM | input output random access memory | coupleur d'entrée sortie avec RAM |
| LIFO | last in-first out | mémoire dernier entré premier sorti |
| MC | microprogram controller | séquenceur de microprogramme |
| MEM | memory | mémoire |
| MOD | modulator | modulateur |
| MODEM | modulator demodulator, modem | modulateur-démodulateur, modem |
| MPU | microprocessing unit | microprocesseur |
| MULDEX | multiplexer-demultiplexer | multiplexeur-démultiplexeur |
| MUX | multiplexer | multiplexeur |
| PCI | programmable communication interface | interface de communication programmable |
| PIA | peripheral interface adapter | adaptateur d'interface de périphérique |
| PIC | programmable interruption controller | contrôleur d'interruption programmable |
| PLA | programmable logic array | réseau logique programmable |
| PPC | programmable protocol controller | contrôleur de protocole programmable |
| PROM | programmable read only memory | mémoire ROM programmable |
| PTM | programmable timing module | temporisateur programmable |
| RAM | random access memory | mémoire à accès aléatoire |
| RAMC | random access memory controller | contrôleur de mémoire à accès aléatoire |
| REG | register | registre |
| RMS | root mean square | dispositif de calcul de valeur efficace |
| ROM | read only memory | mémoire à lecture seule |
| RTC | real time clock | horloge temps réel |
| SAR | successive approximate register | registre à approximations successives |
| SIO | serial input output | contrôleur d'entrée sortie série |
| SRG | shift register | registre à décalage |
| SSDA | synchronous serial data adapter | adaptateur de données séries synchro. |
| TDSR | transmitter data shift register | registre à décalage données émises |
| UART | univ. asyn. receiver/transmitter | émetteur-récepteur asynchro. univ. |
| USRT | univ. sync. receiver/transmitter | émetteur-récepteur synchro. univ. |

| | | |
|--|-----------|--|
| A | | |
| Additionneur | 75 | |
| Adaptateur d'impédances | 75 | |
| Alimentations | 27-29-153 | |
| Alimentation à découpage | 26 | |
| Allumage du spot | 164 | |
| Amplificateur à courant continu | 38 | |
| — à large bande | 52 | |
| — de déviation verticale | 158 | |
| — de puissance | 40 | |
| — différentiel | 38-64 | |
| — inverseur | 74 | |
| — logarithmique | 82 | |
| — opérationnel | 66 | |
| — pour capteur | 81 | |
| Antenne | 202 | |
| Antiverrouillage | 72 | |
| Atténuateur | 160 | |
| Avalanche (transistor en) | 140 | |
| B | | |
| Balayage | 154 | |
| Bascule astable | 122 | |
| — de Schmitt | 130 | |
| — bistable | 130 | |
| — monostable | 128 | |
| Base de Puckle | 147 | |
| Bases de temps | 154 | |
| Batteurs | 196 | |
| Baxandall (correcteur) | 113 | |
| Blanking | 164 | |
| Blocking | 144 | |
| Bootstrap | 48-147 | |
| C | | |
| Cadrage | 152 | |
| Cadre | 202 | |
| CAF | 200 | |
| CAG | 200 | |
| Capacités | 134 | |
| Caractéristique de lecture | 92 | |
| Caractéristiques des transistors | 32 | |
| Cavités résonantes | 186 | |
| Cellules photoélectriques | 96 | |
| Changement de fréquence | 196 | |
| Circuit à retard | 85 | |
| Circuit intégré | 68 | |
| Clamping | 164 | |
| Classes d'amplification | 42-46 | |
| Commande unique | 200 | |
| Commutateur électronique | 164 | |
| Comparateur | 78 | |
| Compensation en fréquence | 70 | |
| Compensation RIAA | 61-109 | |
| Constante de temps | 118 | |
| Contre-réaction | 54 | |
| Contrôle de puissance | 106 | |
| Contrôle de tonalité | 112 | |
| Convertisseur courant-tension | 74 | |
| Convertisseur d'impédances | 83 | |
| Convertisseur phase-amplitude | 83 | |
| Convertisseur analogique-numérique | 218 | |
| Convertisseur numérique-analogique | 216 | |
| Convertisseur continu-alternatif | 153 | |
| Conversion de fréquence | 196 | |
| Correcteurs | 108 | |
| D | | |
| Darlington | 40 | |
| Décalage des potentiels | 38-62 | |
| Démodulation | 206 | |
| Dents de scie | 136 | |
| Déphaseur à circuit intégré | 83 | |
| — à transistors | 44 | |
| — à transformateur | 44 | |
| — à transformateur | 44 | |
| — à Schmitt | 44 | |
| Dérivateur | 78-118 | |
| Détecteur de produit | 211 | |
| Détecteur de seuil, de zéro | 79-81 | |
| Détection | 206 | |
| Déviations verticales | 158 | |
| Diffractiomètre | 118 | |
| Diode Schottky | 142 | |
| — tunnel | 180 | |
| — Zener | 22 | |
| Discriminateur | 208 | |
| Diviseur | 74 | |
| Doubleur de tension | 21 | |
| Droite de charge | 34 | |
| E | | |
| Ecclès-Jordan | 130 | |
| Écrêteur | 120 | |
| Effet-Miller | 51-136 | |
| Égaliseur | 110 | |
| Electrophone | 90 | |
| Emission | 190 | |
| Enregistrement | 98 | |
| Etages symétriques | 46 | |
| F | | |
| Fader | 106 | |
| Filtrage | 20 | |
| Filtres pour HP | 87-115 | |
| Filtres actifs | 79-85 | |
| Fréquence image | 196 | |
| Fréquence intermédiaire | 204 | |
| G | | |
| Générateur AF | 188 | |
| — de rampes de tension | 140 | |
| — de rampes de courant | 144 | |
| Graetz (pont de) | 19 | |
| Graveur de disques | 90 | |
| Greiner (montage) | 85 | |
| Gyrateur | 20 | |
| H | | |
| Harmoniques | 170 | |
| Haut-parleurs (montage des) | 100 | |
| I-J | | |
| Impédance d'une ligne | 186 | |
| Intégrateur | 118-136 | |
| Interphone | 91 | |
| Jauges de contrainte | 234 | |
| L | | |
| Latour (doubleur de tension) | 20 | |
| Lecteurs de disques | 92 | |
| Liaisons directes | 38 | |
| Liaisons entre étages | 34 | |
| Ligne 500 Ω | 105 | |
| Lignes (oscillateurs à) | 186 | |
| Limiteur | 51-120 | |
| Linéarité des dents de scie | 146 | |
| Loupe électronique | 162 | |
| M | | |
| Magnétophones | 98 | |
| Marqueur | 162 | |
| Mélangeur | 108 | |
| Microphones | 94 | |
| Miller effect | 136 | |
| Modulation d'amplitude | 190-210 | |
| Modulation de fréquence | 194 | |
| Multiplicateur de tension | 20-74 | |
| Multiplicateurs de fréquence | 190 | |
| Multiplicateur | 88-211 | |
| Multivibrateur | 122 | |
| N | | |
| Nomenclature | 14 | |
| Normes | 1 | |
| Notations | 5 | |
| O | | |
| Ondemètre | 189 | |
| Oscillateur à cavité | 186 | |
| — à déphasage | 170 | |
| — à diode tunnel | 180 | |
| — à filtre sélectif | 170 | |
| — à grille accordée | 191 | |
| — à lignes | 186 | |
| — amorçé | 177 | |
| — à pont de Wien | 174 | |
| — à quartz | 182 | |
| Oscillateur bloqué | 144 | |
| — Butler | 184 | |
| — Clapp | 180 | |
| — Colpitts | 178 | |
| — de marquage | 162 | |
| — de polarisation magnétique | 188 | |
| — Hartley | 180 | |
| — LC | 176 | |
| — Miller | 184 | |
| — Overton | 184 | |
| — Pierce | 184 | |
| — RC | 170 | |
| — V.F.O. | 189 | |
| Oscillographe | 148 | |
| Oscilloscope | 150 | |
| Overton | 184 | |
| P | | |
| Pick-up | 92 | |
| Piezoelectricité | 182 | |
| Polarisation des circuits intégrés | 68 | |
| — interne des circuits intégrés | 62 | |
| — des oscillateurs | 176 | |
| — des transistors | 36 | |
| Pont de Graetz | 18 | |
| Pont de Wien | 174 | |
| Puissance (base de) | 147 | |
| Puissance | 40 | |
| Push-pull | 46 | |
| Q | | |
| Quartz | 182 | |
| R | | |
| Radiorecepteurs | 90 | |
| Rapport de réjection RRM | 68 | |
| Réaction négative | 54 | |
| Rectangulaires (signaux) | 118 | |
| Redressement à alternance | 16 | |
| Redressement deux alternances | 18 | |
| Redresseur | 16-80 | |
| Récepteur | 110 | |
| Relaxateurs | 140 | |
| Rendement des amplificateurs | 42-46 | |
| Réseaux de caractéristiques | 31 | |
| Réverbération artificielle | 102 | |
| S | | |
| Schenkel (doubleur) | 20 | |
| Schmitt (bascule de) | 132 | |
| Schmitt (déphaseur de) | 44 | |
| Séparateur | 190 | |
| Signaux en dents de scie | 136 | |
| Signaux rectangulaires | 118 | |
| Sonde | 166 | |
| Source de courant constant | 39-62-83 | |
| Source de tension de référence | 82 | |
| Constructeur | 76 | |
| Stabilisation de tension | 22 | |
| — d'intensité | 26 | |
| — des transistors | 36 | |
| Stéréophonie | 102 | |
| Suiveur | 75 | |
| Synchriseur | 72 | |
| Synchronisation | 162 | |
| Symboles | 3 | |
| T | | |
| Thyristor (relaxateur à) | 138 | |
| Tonalité (contrôle de) | 112 | |
| Trace de retour | 164 | |
| Transistor en commutation | 122 | |
| — de décharge | 142 | |
| — unijonction | 142 | |
| Tube cathodique | 150 | |
| Tubes photoélectriques | 96 | |
| U-V-W | | |
| Unijonction (U.J.T.) | 142 | |
| Univibrateur | 128 | |
| Vacuum | 180 | |
| VFO | 189 | |
| Wien (pont de) | 174 | |

